

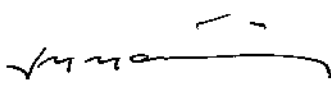
**O Método de Projeções Ortogonais Sucessivas num  
Problema de Controle**

**Antonio Carlos Moretti**

O Método de Projeções Ortogonais Sucessivas num  
Problema de Controle

Este exemplar corresponde a  
redação da tese defendida pelo Sr. Antonio Carlos Mo-  
retti e aprovada pela comissão julgadora.

Campinas, 30 de Agosto de 1985

  
Prof. Dr. José Mário Martinez

Dissertação apresentada ao  
Instituto de Matemática, Estatística e Ciência da Com-  
putação, UNICAMP, como requisito parcial para a obten-  
ção do título de Mestre em Matemática Aplicada, área  
Otimização e Pesquisa Operacional .

*Observações:*

*Este exemplar foi cuidadosamente  
corrigido*

**UNICAMP**  
**BIBLIOTECA CENTRAL**

## Agradecimentos

Aos meus pais, pela vida e constante incentivo .

Aos meus irmãos , pela amizade e apoio .

A Flávia , pelo amor, carinho e energia .

Ao pessoal do CCUEC , em especial ao Buzato e Reynaldo , pela amizade e favores prestados.

Ao pessoal do CCJR da Física, em especial ao Mário, pelos " galhos quebrados " .

Ao Martínez , pela orientação tanto em termos matemáticos quanto em termos de vida .

A todos, colegas e amigos , do Departamento de Matemática Aplicada e da UNICAMP , que de uma forma ou de outra incentivaram - me para que este trabalho se concretizasse .

## **índice**

<b>Capítulo 1</b>	: Introdução .....	01
<b>Capítulo 2</b>	: O Algoritmo Utilizado .....	04
<b>Capítulo 3</b>	: O Modelo Matemático em Educação	
3.1	: Introdução .....	07
3.2	: Formulação Matemática do Modelo	
3.2.1	: Definição das Variáveis .....	08
3.2.2	: Definição das Restrições do Modelo .....	09
3.2.3	: Significado das taxas a .....	10
3.2.4	: Diagrama de Fluxo .....	11
3.3	: Estrutura da Matriz Tecnológica .....	12
3.4	: Número de Restrições e Número de Variáveis .....	14
<b>Capítulo 4</b>	: Resolução Computacional do Modelo Matemático em Educação	
4.1	: Introdução .....	15
4.2	: Estrutura de Dados do MINOS ..	16
4.2.1	: O Vetor de Trabalho Z .....	19
4.3	: Experiências Computacionais ..	29

4.3.1 : Introdução .....	29
4.3.2 : O Modelo Matemático em Educação com Horizonte de 15 anos .....	29
4.3.3 : Executando o programa com Horizonte de Quinze Anos e e Número de Períodos igual a três .....	33
4.3.4 : Os Gráficos Obtidos .....	36
4.3.5 : Executando o problema com Horizonte de Quinze Anos e e Número de Períodos igual a cinco .....	39
4.3.6 : Outros gráficos .....	40
<b>Capítulo 5 : Conclusão .....</b>	<b>41</b>

## Capítulo 1 : Introdução

A motivação inicial geradora do tema desta tese foi dada pela necessidade de se resolver sistemas de inequações lineares esparsos de porte enorme com características de controle. O termo "porte enorme" se refere àqueles problemas que, apesar da característica esparsa que porventura possam ter, não podem ser armazenados de uma maneira global na memória física do computador, mesmo que seja utilizado para sua resolução um programa que contenha uma boa estrutura de dados. Nós tínhamos um problema deste tipo. Trata - se do Modelo Matemático em Educação, um modelo desenvolvido por Martinez [ 4 ] , que tem como objetivo gerar uma política ótima de decisões de tal maneira que num dado horizonte de anos possa se ter uma proporção mais razoável e coerente entre o número de alunos e professores nas escolas. A saída do modelo diz aos planificadores do ensino em quais fases da formação educacional devem ser promovidos incentivos para que possa ser atingido o objetivo acima citado. Este modelo será melhor definido e discutido no Capítulo 3, onde é feita a sua formulação matemática e são definidos os dados principais do modelo.

A partir deste momento, quando nos referirmos ao algoritmo de projeção para sistemas de inequações lineares de porte enorme, estaremos nos referindo especificamente ao algoritmo de projeção aplicado ao Modelo Matemático em Educação ( MME ) .

A medida que acrescemos o horizonte de anos no MME o sistema de inequações lineares gerado pelas restrições torna - se maior. Suponhamos então que nós queremos resolve - lo para um horizonte de anos suficiente para que este seja considerado de porte enorme. A idéia do algoritmo de projeção é dividir o sistema desenvolvido para um horizonte total de anos em sistemas menores que representam períodos menores de anos, de tal maneira que cada período possa ser resolvido utilizando - se a memória principal disponível. Uma vez feita esta partição, fazemos projeções do período 1 sobre o período 2, do período 2 sobre o período 3, e assim por diante, até que seja feita a projeção do período ( n-1 ) sobre o período n. Desta maneira fica definida uma iteração do nosso algoritmo. Cada projeção de um período sobre o período consecutivo é um problema de programação quadrática. No capítulo 3 fazemos a apresentação formal, matemática do algoritmo utilizado.

Para se resolver estes problemas de programação quadrática foi utilizado o sistema MINOS [ 7 ]. O MINOS, é um pacote computacional que resolve problemas de otimização que contenham função objetivo linear ou não - linear e restrições lineares. Ele foi escolhido

por se tratar de um pacote computacional robusto, eficiente e que contém uma ótima estrutura de dados. Por sinal, no Capítulo 4 é desenvolvida a estrutura de dados utilizada pelo MINOS . A inclusão deste capítulo neste trabalho tem como objetivo orientar os futuros usuários que tenham a necessidade de se utilizar do MINOS de maneira iterativa. É bom ressaltar que o estudo da estrutura de dados do MINOS foi motivado pela necessidade de entrar com os dados do problema diretamente na memória, sem utilizar arquivos no disco, que é a maneira tradicional que o MINOS usa para receber os dados do problema. Observamos que o algoritmo de projeção é por si só lento e se utilizássemos o disco ele se tornaria mais lento ainda, tendo em vista que o procedimento de entrada e saída é o que se tem de mais lento na execução de um processo.

No Capítulo 4 são apresentados os resultados das experiências computacionais que foram realizadas em um computador **VAX - 11 / 780** . São discutidos em detalhes as saídas gráficas geradas pela resolução do modelo.

## **Capítulo\_2\_ : O\_Algoritmo\_utilizado**

O algoritmo implementado para a resolução de sistemas de inequações lineares que tenham características de problemas de controle é uma derivação do método de projeções ortogonais sucessivas proposto por **Gubin et al [ 3 ]**. O algoritmo é um procedimento iterativo onde a solução do sistema global é encontrada resolvendo - se uma sequência de problemas quadráticos com q restrições cada um. Vamos entender melhor isto. Suponha que nós temos um sistema com M inequações lineares, sistema este considerado de porte enorme e com características de controle, portanto, não pode ser representado inteiramente na memória física do computador em uso. Uma versão informal do algoritmo pode ser escrita como :

### **Passos :**

( 1 ) Dividir o sistema de M restrições em R blocos, ou subsistemas, cada contendo q restrições, onde  $q = M/R$

( 2 ) Dê um ponto inicial qualquer

( 3 )  $It = 1$  (  $It$  = índice da iteração )

( 4 )  $Ip = 1$  (  $Ip$  = índice do período ou bloco )

( 5 ) Resolva o seguinte problema :

$$\text{Min } \sum (x^{it} - x^{it-1})^2$$

s/a

{ Restrições que pertencem ao bloco  $ip$  }

( 6 ) Se  $ip \leq R$  então :  $Ip = Ip + 1$

Vá para o passo 5

( 7 ) Se  $\|x^{it} - x^{it-1}\| \leq Eps$  então

pare;

( 8 )  $It = It + 1$

( 9 ) Vá para 4

**Observação :** Devido a sua característica de controle, quando dividimos o sistema em blocos, nós teremos variáveis que são comuns a dois blocos sucessivos. A essas variáveis nós daremos o nome de variáveis de acoplamento. Observe que ao terminarmos a resolução para um bloco qualquer, digamos o bloco  $b$ , as variáveis de acoplamento entre o bloco  $b$  e o bloco ( $b+1$ ) entrarão na resolução deste último com seus valores alterados pela última projeção. Isto será melhor visto e explicado no Capítulo 4, onde exemplificaremos o método utilizando o Modelo Matemático em Educação.

Em outras palavras, o método consiste em efetuar projeções ortogonais entre os vários conjuntos convexos. Achar uma projeção ortogonal entre dois con-

juntos convexos é resolver um problema de programação quadrática no caso em que as restrições são lineares.

Este método tem convergência quando o interior do politopo definido pelas inequações lineares é não vazio. Neste trabalho nós não vamos nos ater em demonstrações de convergência do método, pois isso já foi exaustivamente colocado em outros artigos e teses ( vide [ 1,2,3,5,6,8 ] )

## **Capitulo 3 : O Modelo Matematico em Educacao**

### **3.1 - Introducao**

Melhorar o nivel da educacao e estender seus beneficios a todas as camadas da populacao e ( ou pelo menos deveria ser ) uma das metas prioritarias de qualquer pais em desenvolvimento.

Essa melhora no nivel educacional deve ocorrer em todas as fases do processo educacional : 1. grau , 2. grau , graduacao universitaria e pos - graduacao. O investimento financeiro, material e ate politico que nao fosse efetuado em conjunto com as quatro fases citadas acima, criaria uma desaquecacao prejudicial ao processo educacional como um todo, pois os alunos do 1. grau precisam de professores formados, no minimo, pelo 2. grau que, por sua vez, necessitam de mestres com, pelo menos, o nivel universitario e assim por diante.

Portanto, a pergunta a ser respondida e : O pais e capaz de produzir os quadros educacionais e profissionais necessarios para satisfazer certas necessidades quantificaveis ao longo de um periodo de tempo ? O **Modelo Matematico em Educacao** tenta

responder a esta pergunta.

### **3.2 - Formulacao Matematica do Modelo**

Neste trabalho de tese nos vamos utilizar uma versao simplificada do modelo original pois a nossa intencao inicial e verificar como funciona o algoritmo de projecao proposto no capitulo anterior para sistemas de inequacoes lineares com caracteristicas de controle. A versao simplificada do Modelo Matematico em Educacao conserva a caracteristica de problema de controle e e mais facil de se implementar computacionalmente. E tambem, a resolucao do modelo simplificado nos permite entender melhor as caracteristicas qualitativas do modelo original.

#### **3.2.1 - Definicao das Variaveis**

##### **( A ) Variaveis Exogenas**

$Es(t)$  = Numero de estudantes secundarios no ano  $t$

$Pop(t)$  = Populacao total no ano  $t$ .

##### **( B ) Variaveis Endogenas**

$Sct(t)$  = Numero de estudan-

tes com secundario

completo que nao

estudam no ano t.

$Eu(1,t)$  = Estudantes universitarios que nao trabalham

$Eu(2,t)$  = Estudantes universitarios que trabalham

$Gu(t)$  = Estudantes que tem a graduacao universitaria completa

$V(1,t)$  = Vagas correspondentes a  $Eu(1,t)$

$V(2,t)$  = Vagas correspondentes a  $Eu(2,t)$

### 3.2.2 - Definicao das restricoes do modelo

#### (A) Equacoes Dinamicas

$$Sc(t+1) = a_1 Sc(t) + a_2 Es(t) - V(1,t+1) - V(2,t+1)$$

$$Eu(1,t+1) = (a_3 - a_4) Eu(1,t) + V(1,t+1)$$

$$Eu(2,t+1) = (a_5 - a_6) Eu(2,t) + V(2,t+1)$$

$$Gu(t+1) = a_6 Gu(t) + a_4 Eu(1,t) +$$

$$+ a_5 Eu( 2, t )$$

### ( B ) Restricoes de Continuidade

de

$C_2 X( t ) \leq X( t+1 ) \leq C_1 X( t )$  ; para todas  
variaveis do modelo exceto para  $V( 1, t )$  e  $V( 2, t )$

$$V( 1, t+1 ) \geq V( 1, t )$$

$$V( 1, t+1 ) + V( 2, t+1 ) \geq V( 1, t ) + V( 2, t )$$

### ( C ) Restricoes de suprimento

$$Sc( t ) + 0.5Eu( 2, t ) \geq b_1 Pop( t ) + b_2 Ep( t )$$

$$Gu( t ) \geq b_3 Pop( t ) + b_4 Es( t ) + b_5 ( Eu( 1, t ) \\ + Eu( 2, t ) )$$

### ( D ) Restricoes de Nao - Negatividade

Todas as variaveis devem ser maiores ou iguais  
a zero

#### 3.2.3 - Significado das taxas a

$a_1 Sc( t )$  = Estudantes com secundario completo que nao estudam no ano  $t$

e ainda vivem no ano ( t+1 )

$a_2 Es(t)$  = Estudantes secundarios no ano t que completam os estudos e nao continuam estudando

$a_3 Eu(1,t)$  = Estudantes universitarios, que nao trabalham, no ano t e que ainda vivem no ano ( t+1 )

$a_4 Eu(1,t)$  = Estudantes universitarios, que nao trabalham, no ano t que se graduaram no ano ( t+1 )

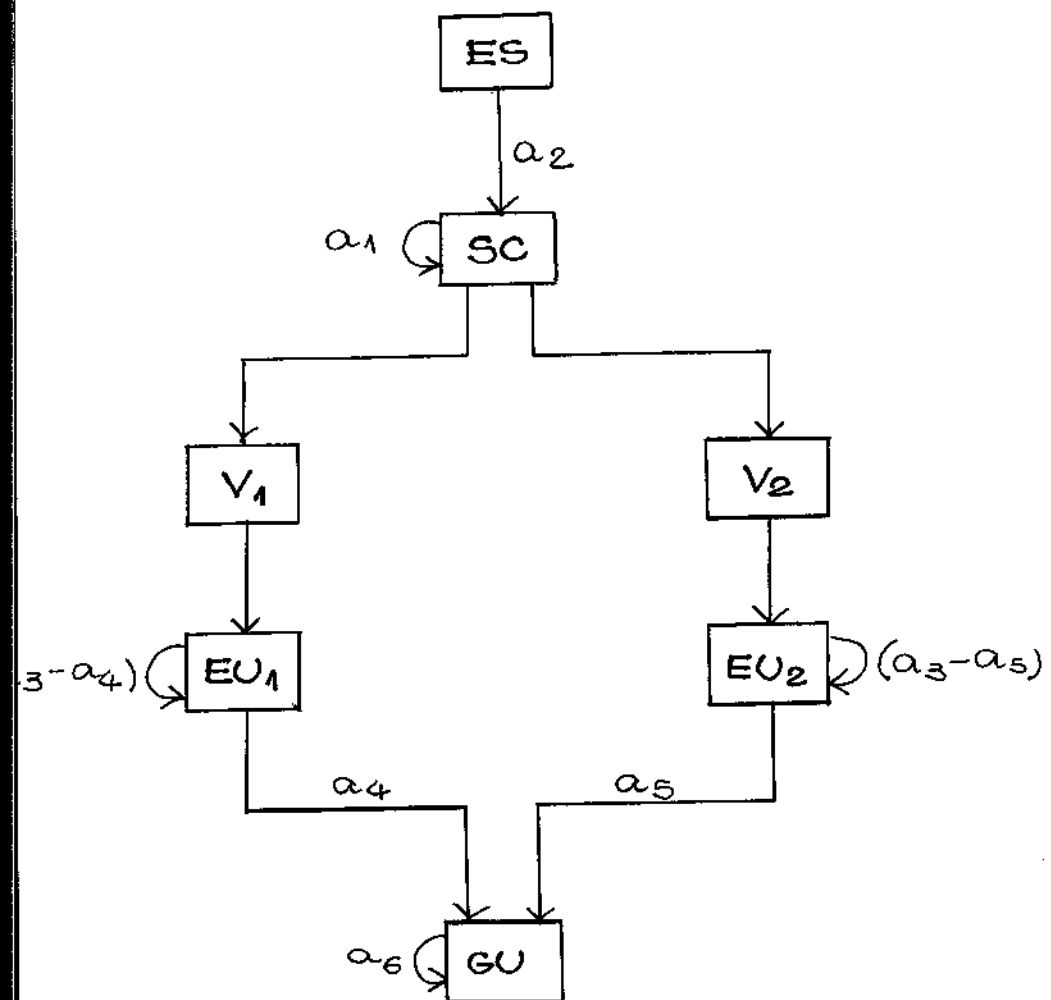
$a_5 Eu(2,t)$  = Idem a  $a_3 Eu(1,t)$ , so que trabalham

$a_6 Eu(2,t)$  = Idem a  $a_4 Eu(1,t)$ , so que trabalham

$a_6 Gu(t)$  = Estudantes com graduacao completa no ano t e que ainda vivem no ano ( t+1 )

### 3.2.4 - Diagrama de Fluxo

O diagrama de fluxo descrito abaixo, com certeza, dara uma visao melhor de como funcionam as restricoes do modelo.



### 3.3 - Estrutura da Matriz Tecnologica

Chamando de :

- \* EdSc = Equacoes dinamicas das variaveis Sc
- \* EdEui = Equacoes dinamicas das variaveis Eui
- \* EdEu2 = Equacoes dinamicas das variaveis Eu2
- \* EdGu = Equacoes dinamicas das variaveis Gu
- \* RcSc = Restricoes de continuidade das variaveis Sc
- \* RcEui = Restricoes de continuidade das variaveis Eui
- \* RcEu2 = Restricoes de continuidade das variaveis Eu2
- \* RcGu = Restricoes de continuidade das variaveis Gu
- \* RcV1 = Restricoes de continuidade das variaveis V1
- \* RcVq = Restricoes de continuidade das variaveis V1 e V2
- \* RsSc = Restricoes de suprimento das variaveis Sc
- \* RsGu = Restricoes de suprimento das variaveis Gu

A estrutura da matriz tecnologica pode ser representada pela figura 1.

	$SC$	$EU_1$	$EU_2$	$GU$	$V_1$	$V_2$
$EdSC$	X					
$EdEU_1$		X				
$EdEU_2$			X			
$RCEU_1$				X		
$RCEU_2$					X	
$RCGU$						X
$RCV_1$						
$RCV_2$						
$RSGU$						

Por uma simples inspecao no quadro da figura 1, verificamos que a estrutura da matriz e uma estrutura escada com blocos internos esparsos, que e uma estrutura caracteristica dos problemas de controle.

### **3.4 - Número de Restrições e Número de Variáveis**

O numero de restrições e de variáveis do problema global cresce a medida que se aumenta o horizonte de anos. A saber :

$$\text{Número de Variáveis} : 6 * (\text{Horizonte de anos})$$

$$\text{Número de Restrições} :$$

$$\text{Equações dinâmicas} = 4 * (\text{Horizonte de anos})$$

$$\text{Restrições de Continuidade} = 10 * (\text{Horizonte de anos})$$

- 9

$$\text{Restrições de Suprimento} = 2 * (\text{Horizonte de anos})$$

---

$$\text{Total} = 16 * (\text{Horizonte de anos})$$

- 9

## **Capítulo 4 : Resolução Computacional do Modelo Matemático em Educação**

### **4.1 - Introdução**

Como já foi dito anteriormente o algoritmo de projeção descrito no Capítulo 2 é um processo iterativo, onde cada iteração é a resolução de um problema de programação quadrática com restrições lineares.

Para resolver esses problemas de programação quadrática foi utilizado o **MINOS** [ 7 ]. No caso específico deste trabalho, o **MINOS** foi alterado para comportar a entrada dos dados do problema bem a utilização de acesso a disco. Isto foi necessário para agilizar a aquisição dos dados do problema pelo **MINOS**, tendo em vista que, cada iteração se resume na resolução de vários problemas de programação quadrática e portanto, várias definições de diferentes problemas de programação quadrática.

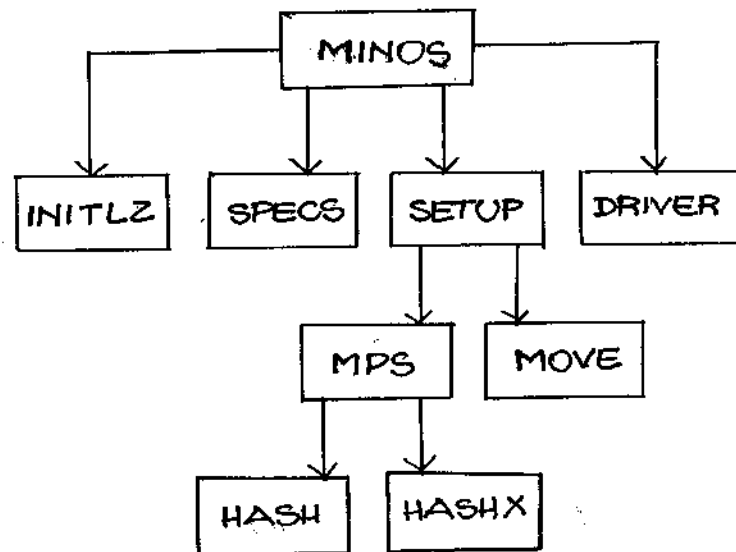
Na secção seguinte será apresentado a estrutura de dados do **MINOS** que servirá de auxílio para que outros usuários possam se utilizar do **MINOS** iterativamente.

Na secção 4.3 são apresentadas

as experiências numéricas que foram feitas para se resolver o **Modelo Matemático em Educação** utilizando o algoritmo de projeção.

#### 4.2 - Estrutura de Dados do MINOS

O fluxograma abaixo ilustra o roteiro das rotinas utilizadas pelo **MINOS** para efetuar a entrada dos dados de um problema qualquer.



onde :

( 1 ) Subroutine INITLZ :

Fixa os parâmetros de dependê-

cia da máquina, as constantes de precisão da máquina, bem como as tolerâncias do problema.

### ( 2 ) Subroutine Specs :

Realiza a leitura do arquivo Specs, arquivo este que contém os parâmetros que definem o problema a ser resolvido, tais como, tipo da otimização ( Minimização ou Maximização ), estimativa superior dos números de restrições e de variáveis do problema, número de variáveis não lineares ( se o problema tiver ), número máximo de iterações, etc .

Na modificação realizada no MINOS esta rotina foi desconsiderada e seus parâmetros foram assinalados diretamente no programa.

### ( 3 ) Subroutine Mps :

Efetua a leitura do arquivo Mps que contém os dados do problema a ser resolvido. Este arquivo Mps é dividido em várias seções. A saber :

( 1º Seção ) : **NAME** - define - se o nome do problema a ser resolvido.

( 2º Seção ) : **ROWS** - define - se o tipo das restrições e

seus respectivos  
nomes.

( 3º Secção ) : **COLUMNS** - define - se as variáveis do problema, a restrição onde esta variável se encontra e seu respectivo coeficiente.

( 4º Secção ) : **RHS** - define - se o lado direito das restrições do problema.

( 5º Secção ) : **BOUNDS** - define - se as variáveis canalizadas do problema.

( 6º Secção ) : **RANGES** - define - se as restrições canalizadas do problema.

Neste trabalho o arquivo Mps

desaparece, pois os dados do problema foram armazenados pelo MINOS sem a necessidade de acesso a disco. A maneira de como isto foi realizado será mostrada mais adiante.

#### ( 4 ) Subroutine Setup :

Esta é a rotina - mestre da entrada de dados do MINOS. É ela que comanda as chamadas da rotina Mps, passando os apontadores dos vetores que guardarão as informações obtidas por Mps.

Uma vez feita a apresentação das rotinas que efetuam a entrada de dados, vamos mostrar como o MINOS guarda e manipula estas informações adquiridas.

##### 4.2.1 - O Vetor de Trabalho Z

O MINOS não trabalha com matrizes, ele " lineariza tudo ", isto é, trabalha com um vetor trabalho, Z , de dupla precisão ( portanto, ocupa 2 palavras de memória = 8 Bytes ) . Este vetor Z é posteriormente " quebrado ", de acordo com as necessidades, em vetores inteiros e reais de precisão simples. Esta " quebra " no vetor Z é implementada através de truques computacionais, seja através da utilização de passagem de parâmetros, bem como, através de multipli-

cação de números inteiros por uma potência conveniente de dois.

Os principais vetores que estão "embutidos" dentro do vetor de trabalho Z e suas respectivas funções no processo de entrada de dados, são apresentados a seguir :

\* HRTYPE

Este vetor de dimensão igual ao número de restrições + 1, guarda a informação do tipo da restrição, isto é,

HRTYPE( i ) = 

-1 ; se a i-ésima restrição é do tipo ">"
0 ; se a i-ésima restrição é do tipo "="
1 ; se a i-ésima restrição é do tipo "<"
2 ; se a i-ésima restrição é do tipo livre

HRTYPE é um vetor inteiro de M posições, onde M = número de restrições + 1

\* A

A é um vetor real de precisão

simples que contém informações pertinentes aos coeficientes da matriz tecnológica.

#### \* HE

O conteúdo da posição  $HE(j)$  contém o ( $\text{endereço} - 1$ ) da  $j$ -ésima variável no vetor IA (que vai ser definido logo a seguir). HE é um vetor inteiro de dimensão NPI, onde  $NPI = \text{número de restrições} + \text{número de variáveis} + 2$ .

#### \* IA

É um vetor inteiro que contém informações sobre as variáveis do problema. Cada posição de IA guarda duas informações, pois ele é quebrado em duas metades, através da simples multiplicação de uma das informações por uma potência adequada de 2. A metade esquerda contém o índice da restrição na qual se encontra a  $j$ -ésima variável. A metade direita contém o endereço em A do coeficiente que a  $j$ -ésima variável tem na restrição definida na metade esquerda.

Este procedimento de quebra de um vetor inteiro de 4 bytes em 2 vetores inteiros de 2 bytes não é difícil de se entender. Suponha que nós trabalhando com um computador de 32 bits, como o inteiro tem representação estendida no computador nós pode-

mos quebrá - lo em 2 inteiros da seguinte maneira :

$$IA = 2^{15} * (\text{informação 1}) + (\text{informação 2})$$

a representação desta operação é :

$$IA = \boxed{\begin{array}{|c|c|} \hline \text{Informação 1} & \text{Informação 2} \\ \hline \end{array}}$$

com a ressalva de que tanto o valor da Informação 1 quanto o valor da informação 2 não devem exceder  $2^{15} = 32768$ . Os dois bits restantes não são considerados por uma questão de segurança .

Para recuperarmos estas informações fazemos :

$$\text{Informação 1} = \text{Int}(IA / 2)$$

$$\text{Informação 2} = \text{Mod}(IA / 2)$$

onde Int = função de biblioteca que nos dá a parte inteira do argumento

Mod = função de biblioteca que nos dá o resto da divisão do argumento

Estes vetores apresentados acima são os principais vetores utilizados para se guardar as informações dos dados do problema. Um exemplo prático servirá para solidificar a compreensão desta estrutura.

Suponha que nós queremos resolver o seguinte problema :

$$\text{Min } z = x^2 + (y - 1)^4 - 4x + z$$

s/a

$$x + y \leq ?$$

$$x + y - z = 0$$

$$x \geq 0$$

$$1 \leq z \leq 5$$

y livre

Em primeiro lugar o **MINOS** calcula os apontadores do vetor Z que dará a posição inicial dos vetores "embutidos" dentro do vetor Z. Estes apontadores são calculados abaixo .

\* KHR = 1

O apontador acima marca o inicio de HRTYPE no vetor Z. Como HRTYPE representa o tipo das restrições e da função objetivo, sua dimensão é igual ao número total de restrições + 1, vamos chamar este valor de M. Devemos ter em mente também, que HRTY-

PF é um vetor inteiro e portanto gasta exatamente M/2 posições no vetor Z, logo o apontador do próximo vetor HE no vetor Z é :

$$* \text{KHE} = \text{KHR} + M/2 + 1$$

HE representa o número de variáveis do problema, incluindo as variáveis de folga, logo sua dimensão é igual ao (número de variáveis originais + número de restrição + 1 + 1), aqui vale uma observação : O primeiro + 1 refere - se à função objetivo e o segundo refere - se ao vetor b que é encarado como mais uma variável do problema. Vamos chamar de NP1 o valor calculado acima. Sabendo - se que HE é precisão simples temos que o apontador do vetor LA em Z será :

$$* \text{KLA} = \text{KHE} + \text{NP1}/2 + 1$$

LA contém informações implícitas a respeito dos coeficientes da matriz tecnológica, portanto, sua dimensão é exatamente o número de elementos não nulos da matriz. Sendo LA um vetor de precisão simples, ele ocupa MELMS/2 posições no vetor Z, onde MELMS = número de elementos não nulos na matriz tecnológica. Logo, o apontador do próximo vetor em Z será :

$$* \text{KAX} = \text{KLA} + \text{MELMS}/2 + 1$$

A contém os coeficientes das

variáveis na matriz tecnológica. Este vetor guarda apenas os coeficientes não nulos e diferentes entre si, portanto, sua dimensão é MDIST, onde MDIST = número de elementos não nulos distintos entre si. Como A é real de precisão simples, o próximo apontador será :

$$* KBL = KAX + MDIST/2 + 1$$

BL é o vetor que contém os limites inferiores das variáveis do problema, incluindo as de folga e o vetor b. Sua dimensão é N = número de restrições + 1 + número de variáveis + 1. BL também é um vetor real de precisão simples, portanto, o próximo apontador é calculado :

$$* KBU = KBL + N/2 + 1$$

B<sub>U</sub> é um vetor real que contém os limites superiores das variáveis do problema, portanto, tem as mesmas características de BL. Então, o próximo apontador será :

$$* KHB = KBU + N/2 + 1$$

I<sub>B</sub> é um vetor inteiro que contém os índices das variáveis básicas e superbásicas. Sua dimensão é MN = número de restrições + número de variáveis originais. Portanto, o próximo apontador em

Z começará em :

$$* \mathbf{KXN} = \mathbf{KHB} + \mathbf{MN}/2 + 1$$

XN é um vetor real de dupla precisão que contém os valores das variáveis que aparecem de maneira não linear na função objetivo. Sua dimensão é NN = número de variáveis não lineares. E, consequentemente, o próximo apontador do vetor será :

$$* \mathbf{KHS} = \mathbf{KXN} + \mathbf{NN}$$

HS é um vetor inteiro que contém informações a respeito do estado da j-ésima variável na matriz [ A b I ]. Este vetor é utilizado no caso de querermos entrar com uma base inicial.

Os vetores definidos acima, bem como seus apontadores, são os principais vetores utilizados para a manipulação dos dados de entrada do MINOS. Para maiores esclarecimentos veja referência [ 7 ].

O esquema abaixo mostra como são representados os vetores definidos acima no vetor de trabalho Z :

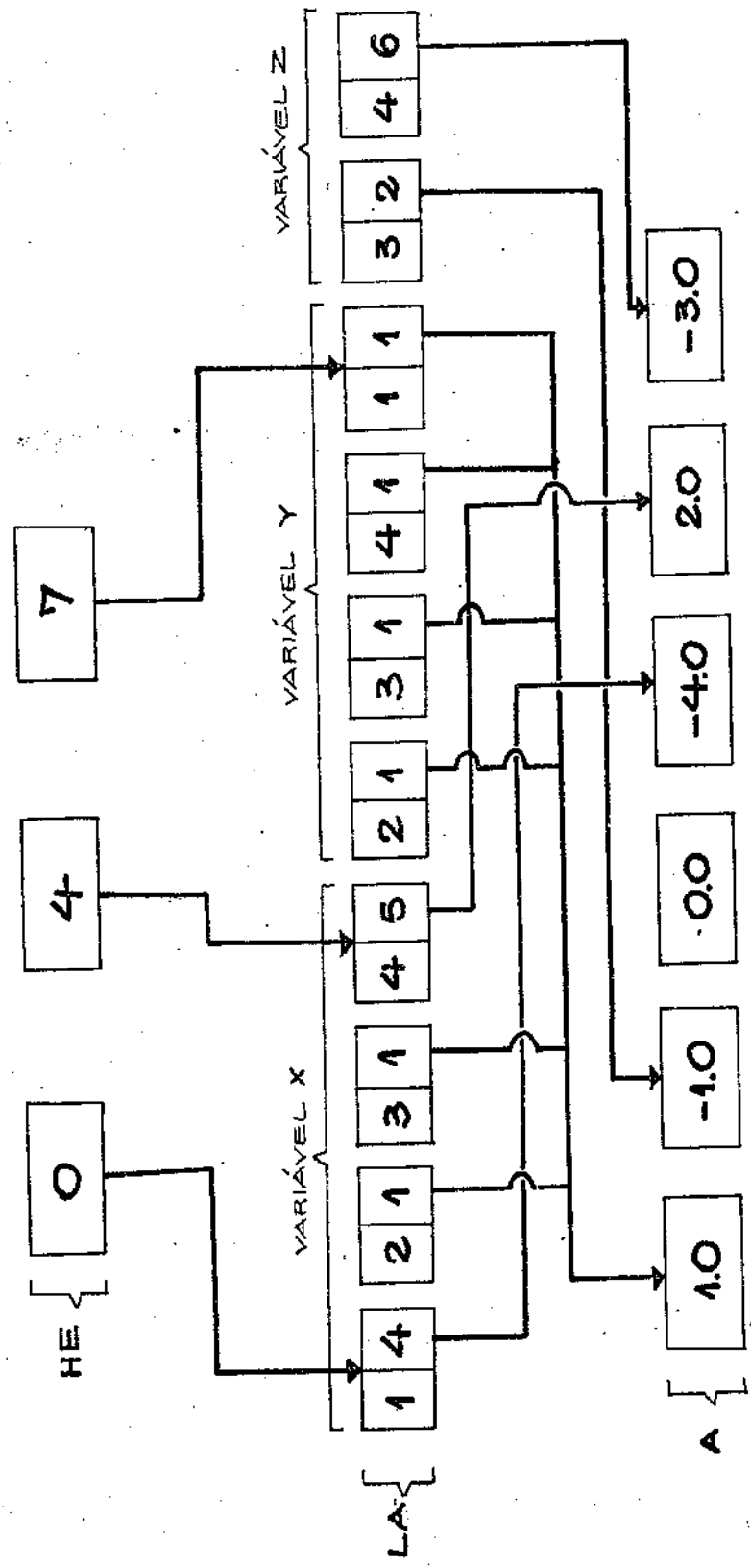
Z( 1 )	=	Irrtype( 1 )		Irrtype( 2 )
Z( 2 )	=	Irrtype( 3 )		Irrtype( 4 )
.....		.....		.....
.....		.....		.....

$Z(M/2)$	=	Hrtype( M-1 )	Hrtype( M )
$Z(1+M/2+1)$	=	He( 1 )	He( 2 )
$Z(1+M/2+2)$	=	He( 3 )	He( 4 )
.....		.....	.....
.....		.....	.....
$Z(M/2+2+NP1)$	=	He( NP1-1 )	He( NP1 )
$Z(M/2+NP1+3)$	=	La( 1 )	La( 2 )
$Z(M/2+NP1+4)$	=	I.a( 3 )	I.a( 4 )
.....		.....	.....
.....		.....	.....
$Z(M/2+NP1+Meims)$	=	La( Meims-1 )	La( Meims )

e assim por diante.

A representação da estrutura de dados do MINOS para o exemplo dado é :

ESTRUTURA DE DADOS  
NO MÍNOS



## **4.3 - Experiências Computacionais**

### **4.3.1 - Introdução**

A nossa intenção neste trabalho era verificar como funcionava o algoritmo de projeção, descrito no Capítulo 2, para problemas com características de controle. Com este propósito, nós desenvolvemos o Modelo Matemático em Educação para um horizonte de 15 anos.

### **4.3.2 - O Modelo Matemático em Educação com Horizonte de 15 Anos**

Baseado na estrutura do Modelo Matemático em Educação, desenvolvido para um horizonte de 15 anos, podemos calcular alguns parâmetros do problema que serão úteis na resolução computacional. A saber :

#### **( A ) Número de variáveis ( N )**

$$\text{Período } 1, 2, 3, \dots = 6 * ih$$

onde  $ih = (\text{Horizonte de anos}) / (\text{Número de períodos})$

#### **( B ) Número de restrições ( M )**

Período 1 = 16 \* lh + 8

Período 2,3,... = 16 \* lh + 1

**( C ) Número de elementos não nulos**

Período 1 = 44 \* lh + M + 22

Período 2,3,... = 44 \* lh + M

**( D ) Número de elementos distintos entre si**

Período 1 = 3 \* lh + 17

Período 2,3,... = 3 \* lh + 13

**( E ) Memória gasta pelo MINOS para resolver o MME para um horizonte de t anos**

Memória =  $36t^2 + 505t + 117$

Portanto, ao resolvemos o MME com um horizonte de 15 anos utilizando 3 períodos temos um problema com as seguintes características :

\* Número de variáveis por período

Período 1,2 e 3 = 30 variáveis

\* Número de restrições por período

Período 1 = 72 restrições

Período 2 e 3 = 81 restrições

\* Número de elementos não nulos por período

Período 1 = 270 elementos não nulos

Período 2 e 3 = 301 elementos não nulos

\* Número de elementos distintos entre si por período

Período 1 = 32 elementos distintos

Período 2 e 3 = 28 elementos distintos

\* Memória gasta por período

Período 1,2 e 3 = 3542 posições de memória

Se nós considerássemos o MNE com horizonte de quinze anos, sem dividir - lo em perfodos, nós teríamos :

* Número de variáveis	= 90
* Número de restrições	= 232
* Número de elementos não nulos	= 892
* Memória utilizada	= 15.792
	posições
	= 31
	Kwords

Como vimos a relação entre memória x anos não é linear, portanto, para um número suficientemente grande, a idéia de se quebrar o problema original em vários blocos pode ser a única maneira viável de resolve - lo .Observe, também, que no cálculo da memória nós não consideramos a memória gasta pelo pacote Minos que é cerca de 104 Kbytes, o que sem dúvida é uma quantia considerável.

O gráfico da figura 3 representa a quantidade de memória necessária para rodar o programa sem particioná - lo em perfodos

#### 4.3.3 - Executando o programa com horizonte de quinze anos e número de períodos igual a três

A primeira experiência numérica que nós fizemos foi a resolução do MNE com horizonte de 15 anos e número de períodos igual a 3. A nossa expectativa inicial em relação a este tipo de algoritmo era otimista, tendo em vista que a literatura do assunto indicava experiências bem sucedidas na aplicação do algoritmo [ 3,5 ].

O esquema abaixo representa o algoritmo para o problema com horizonte de 15 anos e 3 períodos.

##### Passos :

- ( 1 ) Dé o ponto inicial  $X$
- ( 2 ) Especifique o número máximo de iterações
- ( 3 ) Dé o Epsilon do critério de parada
- ( 4 ) Faça  $It = 1$  ( índice da Iteração )
- ( 5 ) Faça  $Ip = 1$  ( índice do Período )
  
- ( 6 ) Gere os dados do problema referentes ao período ( bloco )  $Ip$
- ( 7 ) Resolva o problema de programação quadrática correspondente ao bloco

- Ip
- ( 8 ) Se  $I_p \leq 3$  então :  $I_p = I_p + 1$   
Vá para o passo 6
- ( 9 ) Se  $\| X^{I_p} - X^{I_p-1} \| \leq Eps$   
então: Vá para o passo 13
- ( 10 ) Se  $It =$  Número máximo de iterações  
então : Vá para para o passo 13
- ( 11 )  $It = It + 1$
- ( 12 ) Vá para o passo 5
- ( 13 ) Fim do procedimento.

O Eps utilizado para a primeira execução do programa foi de  $10^{-3}$  e o número máximo de iterações foi igual a 100.

Após as 100 iterações permitidas não foi alcançada a precisão desejada. Com os resultados obtidos das impressões entre cada iteração nós calculamos quantas iterações seriam necessárias para que se alcançasse a precisão de  $10^{-3}$ . A taxa de convergência do algoritmo pode ser facilmente calculada. Com esta taxa de convergência em mãos, o número de iterações necessárias para que obtivéssemos a precisão de  $10^{-3}$  saiu da relação :

$291152.36 * (0.9430)^n < 10^{-3}$   
 dif. max. taxa eps  
 da 1<sup>a</sup> lt. de  
 conv.

n > 333 iterações

Isto queria dizer que precisávamos de 333 iterações para alcançarmos a precisão de  $10^{-3}$ . Como cada iteração consumia em média 25 segundos de CPU, este problema seria resolvido utilizando - se cerca de 8325 segundos de CPU , ou 2.3 horas de CPU, o que , sem dúvida é uma enormidade !

O fato de se ter uma taxa de convergência próxima de 1, e pior ainda, de o algoritmo " realizar " assimptoticamente esta taxa é explicado por alguns autores para outras generalizações do Método de Projeção ( ver [ 1,2,3 ] ) . O termo " taxa de convergência " deve ser entendido como  $\|X^{t+1} - X^t\|$  dividido por  $\|X^t - X^{t-1}\|$  , e ele será usado em outras partes deste texto com este sentido. É uma limitação natural, e séria, deste tipo de métodos. Na prática resulta na impossibilidade de resolver problemas com precisão alta. Problemas práticos onde a precisão requerida é baixa existem. Os problemas de reconstrução de imagens pertencem muitas vezes a esta classe.

O problema de controle que estudamos neste trabalho também é deste tipo!

As razões são as seguintes :

( 1 ) O " resultado " esperado é uma saída gráfica ( saídas numéricas são poucos manejáveis ) onde a precisão está limitada pela resolução do sistema e a capacidade visual do observador.

( 2 ) O modelo , e seus parâmetros , são em si mesmo poucos precisos devido ao assunto que representam : é o caso de todos os modelos econômicos - sociais . Logo, tem pouco significado exigir uma alta precisão na solução quando esta não existe nos dados, nem na própria estrutura do modelo.

Com estes argumentos em mente, realizamos novamente as experiências numéricas utilizando como precisão requerida a " precisão visual " do observador. Para isto foi plotado o resultado do processo iterativo de 5 em 5 iterações. O processo termina quando as variáveis de acoplamento, isto é, as variáveis que são comuns a dois blocos sucessivos, se aproximam uma da outra até que não sejam mais notadas diferenças entre dois gráficos consecutivos.

#### 4.3.4 - Os gráficos obtidos

Os gráficos correspondentes aos resultados obtidos executando o programa para um horizonte de 15 anos e número de períodos igual a 3 são apresentados no Apêndice I . Inicialmente é apresentado o

ponto inicial e os demais gráficos são apresentados de 5 em 5 iterações para cada variável do modelo. Note que à medida que o processo vai avançando a distância entre cada variável de acoplamento vai diminuindo e as 3 curvas que representam os resultados de cada bloco vão se transformando em apenas uma curva. Em conjunto com as curvas de cada bloco é apresentada também a curva que corresponde a resolução do modelo sem particioná-lo em blocos ( vide a curva representada pelo simbolo " + " ). É interessante notar que ao longo das iterações as curvas correspondentes aos blocos vão tomando a forma da curva gerada pela resolução do modelo sem partição mas não passa exatamente em cima de todos os pontos, isto ocorre porque o nosso problema é achar um ponto factível do nosso sistema de inequações e não necessariamente precisamos ter a mesma resolução do modelo resolvido globalmente .

Os gráficos são apresentados até a iteração 80, onde a precisão visual foi alcançada.

Os gráficos correspondentes às variáveis V1 e V2 indicam ao planificador de que forma ( linear ou não ) ele deve manipular as vacas, representada pelas variáveis V1 e V2, de maneira a acarretar o desenvolvimento das variáveis Sc , Eu1 , Eu2 e Gu conforme descrito pelos gráficos correspondentes. É importante ressaltar que o planificador , ao tomar qualquer atitude, deve ter em mente que na resolução de um

problema de controle os últimos estágios ( anos no nosso caso ) não devem serem considerados pois são resultados não confiáveis . No nosso problema com horizonte de quinze anos , é prudente considerar as respostas até os cinco primeiros .

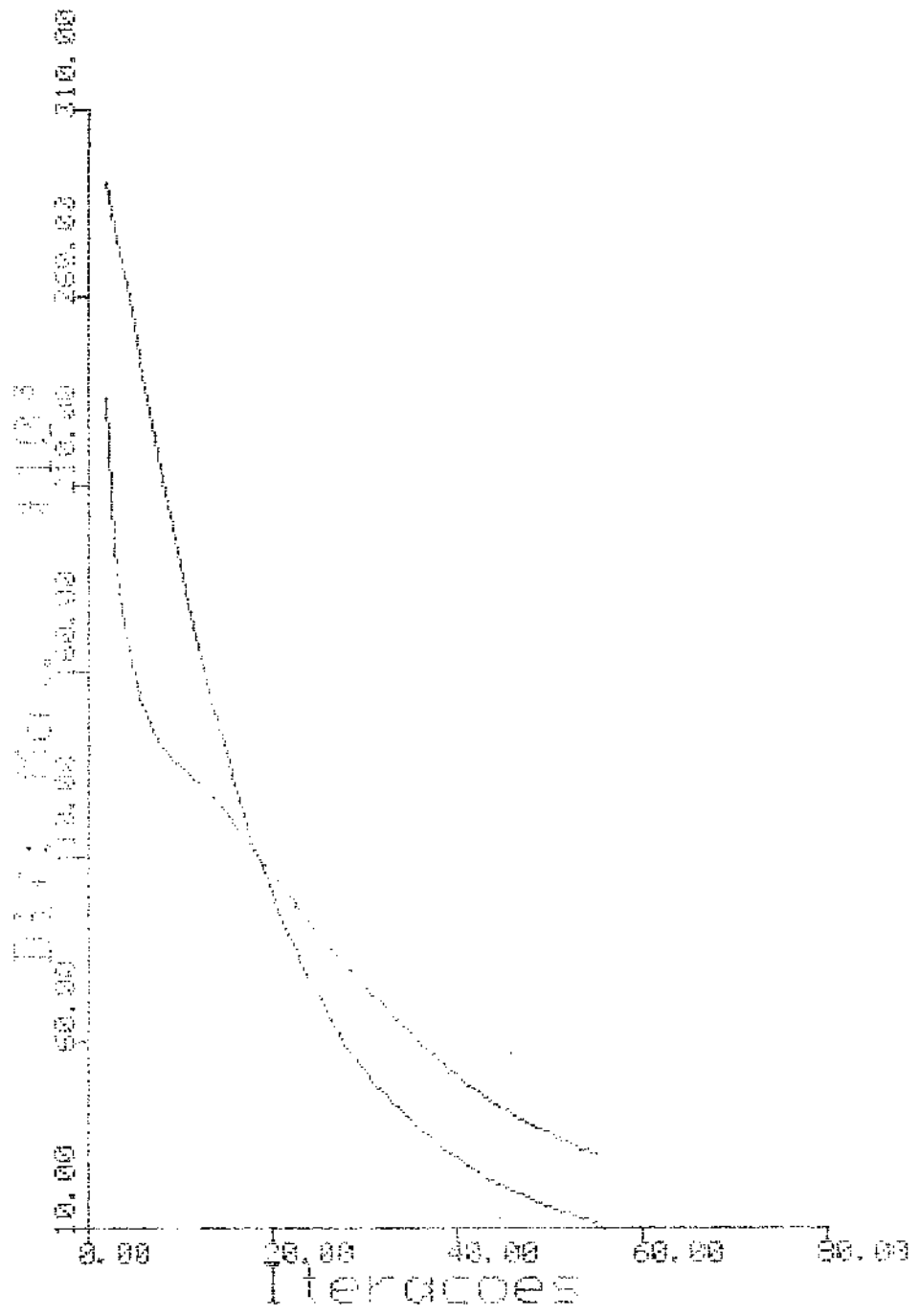
#### 4.3.5 - Executando o problema com horizonte de quinze anos e número de períodos igual a cinco

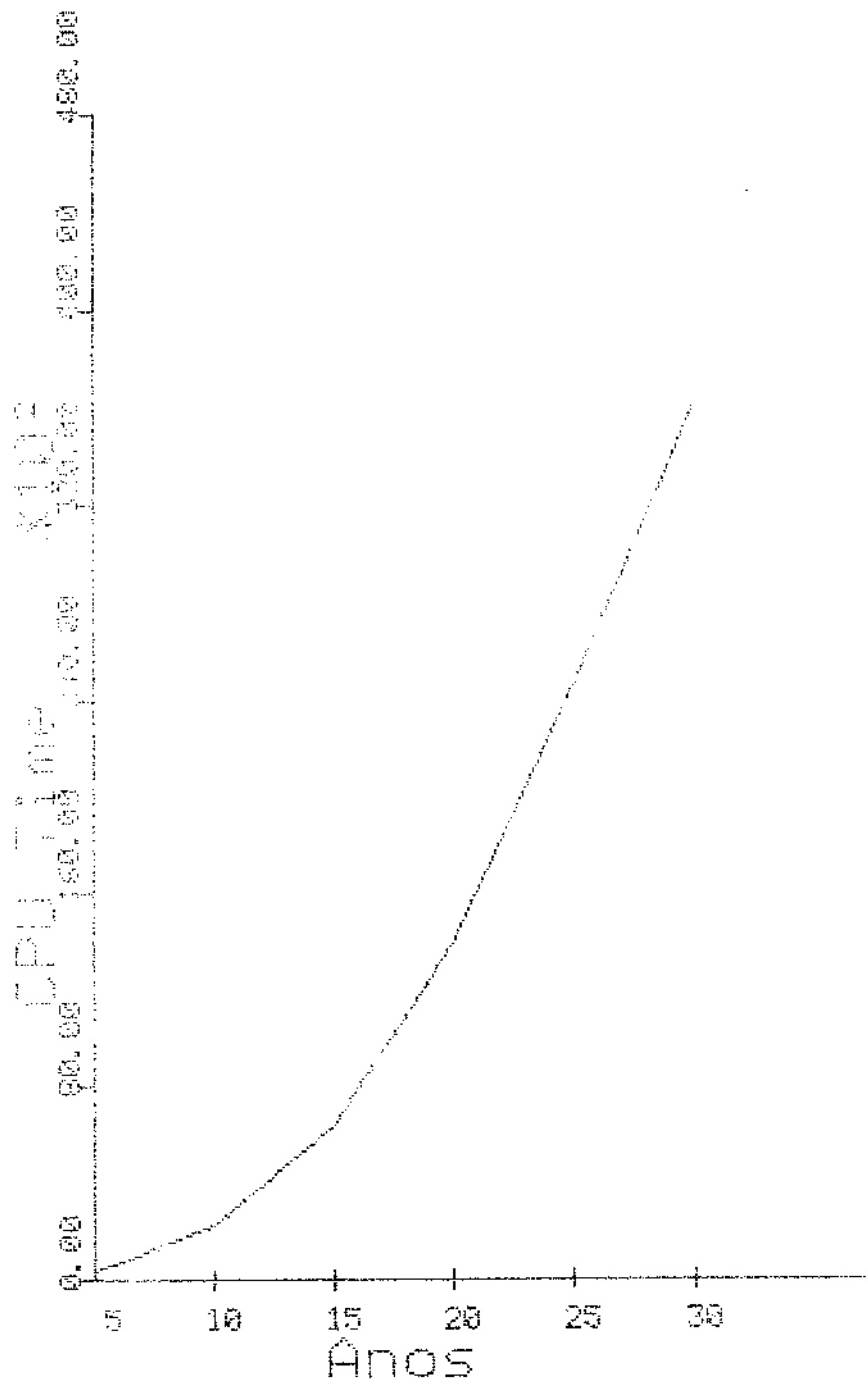
A taxa de convergência para este caso é mais próxima de 1 do que considerando o problema com número de períodos igual a 3. Ela é da ordem de 0.9629, o que nos dá um número de iterações maior ou igual a 510 para que a precisão de  $10^{-3}$  fosse alcançada. Isto quer dizer que o problema particionado em 3 blocos converge mais rapidamente. Isto pode ser notado examinando os gráficos do Apêndice II com os do Apêndice I.

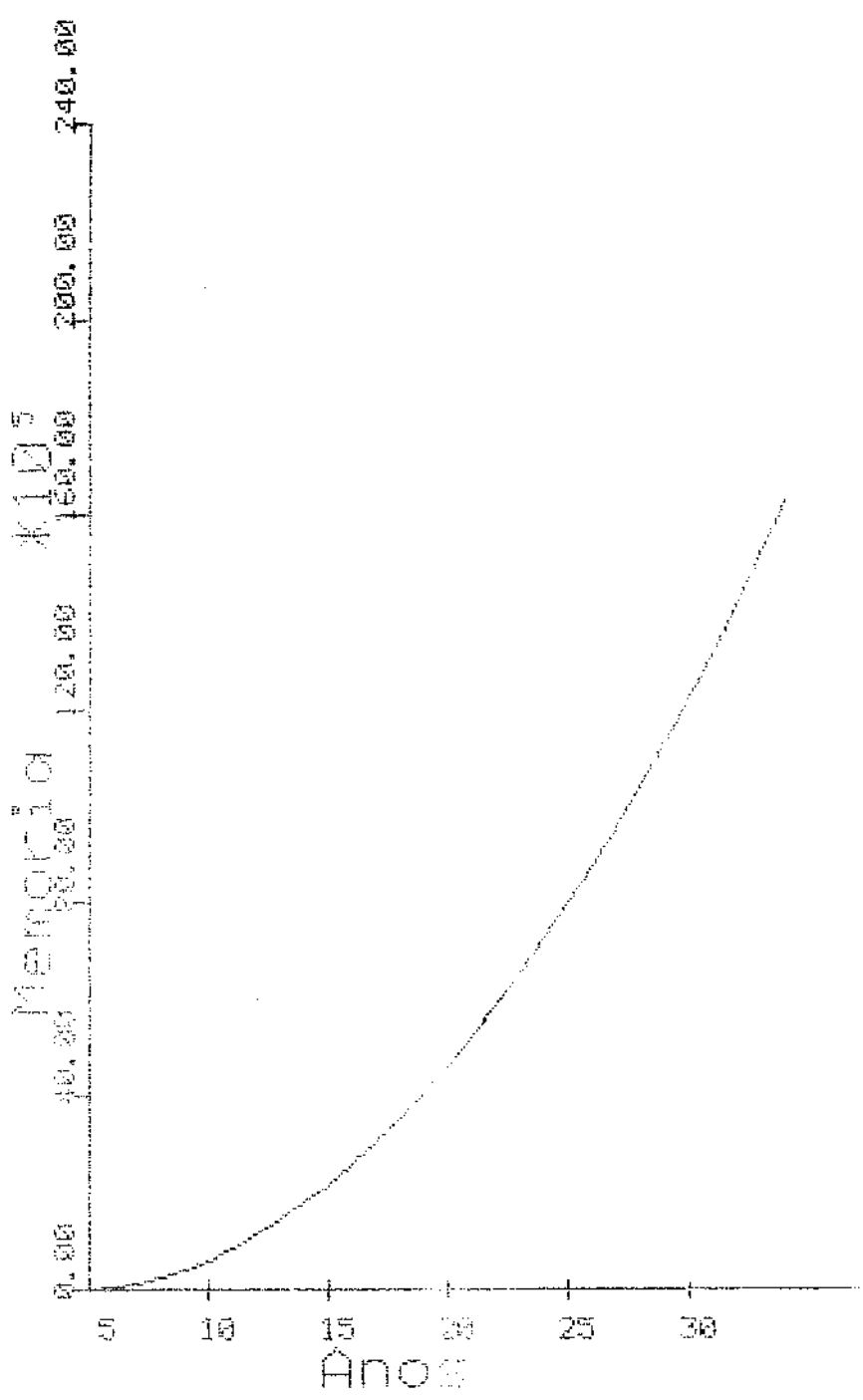
#### 4.3.6 - Outros gráficos

O gráfico das figura 4 mostra a progressão da diferença máxima versus número de iterações considerando - se os dois casos estudados. Olhando o gráfico é fácil verificar qual curva pertence ao problema particionado em 3 blocos e qual pertence ao problema particionado em 5 blocos. Este gráfico nos dá duas informações importantes : ( 1 ) Devemos dividir o sistema global no menor número de blocos possível pois , assim a convergência é mais rápida. ( 2 ) O método converge rapidamente nas primeiras iterações, ou seja, alcança uma precisão razoável em poucas iterações mas a partir daí o processo torna - se lento . Isto significa que para problemas que requeiram pouca precisão o método torna - se operacional .

O gráfico da figura 5 refere - se ao tempo de CPU gasto para se resolver globalmente o Modelo Matemático em Educação.







## Capítulo\_5 : Conclusão

Com o desenrolar da tese pudemos verificar que os métodos de projeção funcionam bem para aqueles problemas que não exigem uma precisão muito forte, ou seja, para alguns problemas do tipo de reconstrução de imagens, bem como problemas econômicos - sociais. Para problemas que necessitam de uma precisão mais apurada nós não indicamos o uso dos métodos de projeção devido a sua característica de ter uma taxa de convergência muito próxima de 1, e não ser que o artifício de se quebrar o problema em blocos seja a única maneira de resolvê-lo. Mesmo assim é bom ter em mente se a sua resolução compensa economicamente falando, pois com certeza uma grande quantidade de tempo de CPU será gasta.

Um outro ponto que pode ser explorado é em relação ao número ideal de blocos. O bom senso nos diz que se o problema em mãos é de porte enorme, então nós devemos particioná-lo na menor quantidade de blocos possível, de tal maneira que cada bloco possa ser manipulado pela memória física do computador. Veja os gráficos expostos na secção 4.3.6 .

Sem dúvida as pesquisas dos mé-

todos de projeção continuarão, pois mesmo considerando seus aspectos negativos, os métodos de projeção podem se constituir na única ferramenta possível para a resolução de alguns problemas de porte enorme.

## BIBLIOGRAFIA

- [ 1 ] Carlos , L.A. - " Métodos de projeção para problemas de porte enorme "
- Tese de Mestrado - IMECC
- Unicamp - Dez / 84
- [ 2 ] Gastinel , N - " Analyse Numérique Linéaire "
- Herman , Paris , 1966
- [ 3 ] Gubin , L.G. , Polyak , R.T. & Raik , E.V. -
- " Methods of projections for finding the common point of convex sets "
- U.S.S.R. Computational Mathematics and Mathematical Physics
- Nº 7 - 1967 - pag 1 --> 24
- [ 4 ] Martinez , J.M. - " Modelo de Educação : Um problema para o G.T.O. "
- Relatório Interno nº 240
- [ 5 ] Martinez , J.M. - " Solving systems of nonlinear equations by means of accele-

rated sucessive orthogonal " projections methods  
( a ser publicado )

[ 6 ] Martinez , J.M. & Sampaio , R.J.B - " Parallel and sequential Kaczmarz methods for solving under - determined nonlinear equations " Journal of Computational and Applied Mathematics  
( por aparecer )

[ 7 ] Murtagh , B & Saunders - " A Modular In - Core Nonlinear Optimization System " Pacote computacional disponível no LABMA

[ 8 ] Santos , L.T. - " Métodos de projeção do sub - gradiente para o problema de factibilidade convexa " Tese de Mestrado - IMECC Unicamp

**Apêndice I**

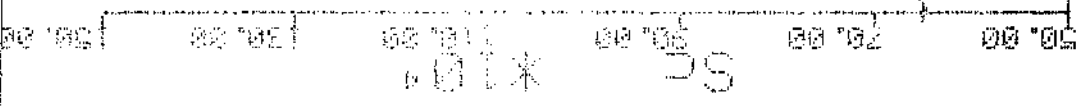
**Horizonte de Quinze Anos**

**Número de Períodos Igual a Três**

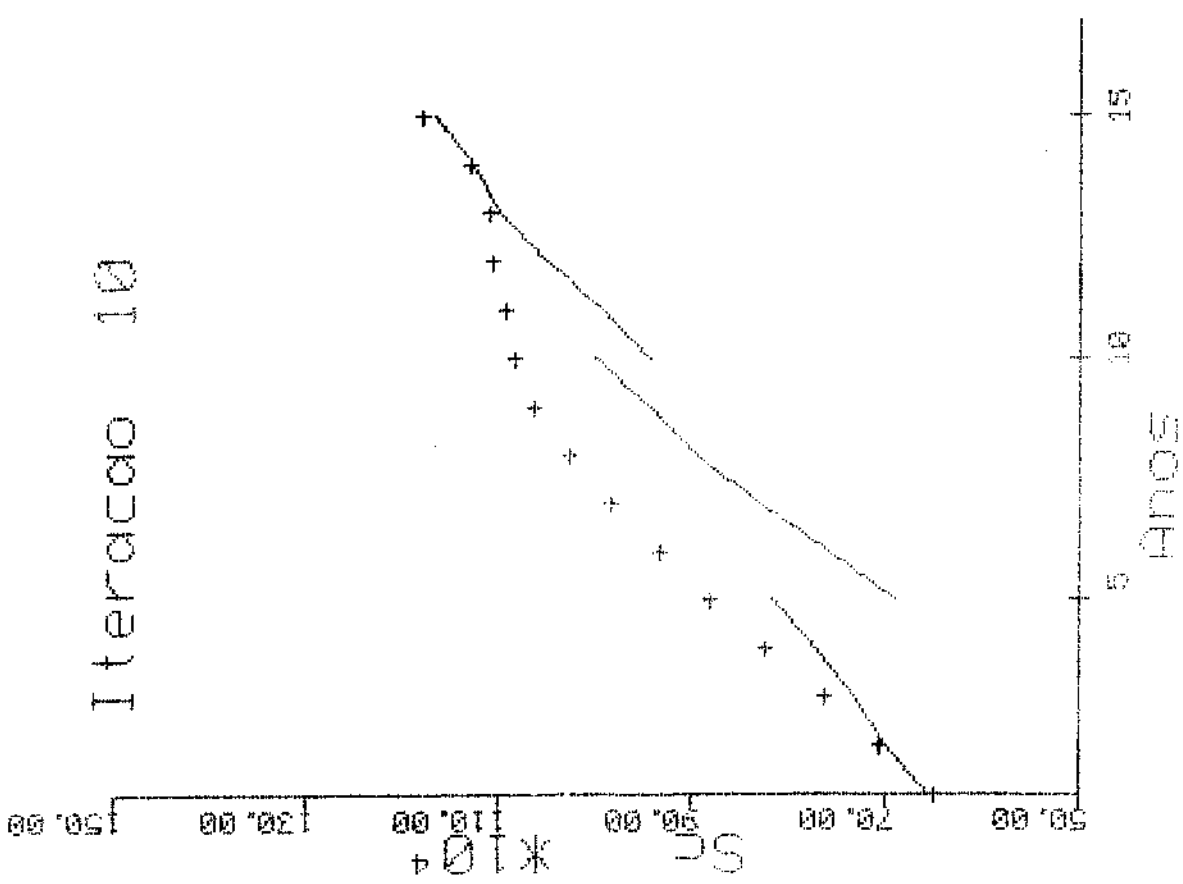
INTERCACCIA



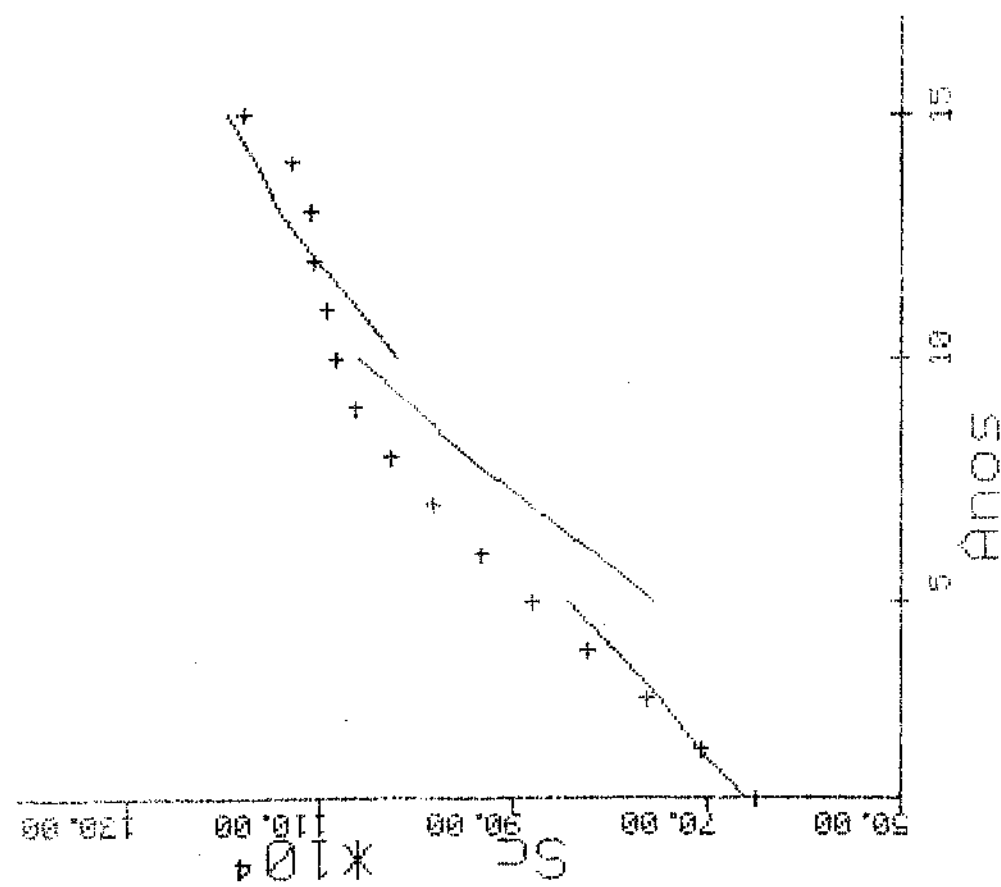
INTERCACCIA



Intercâcio 160



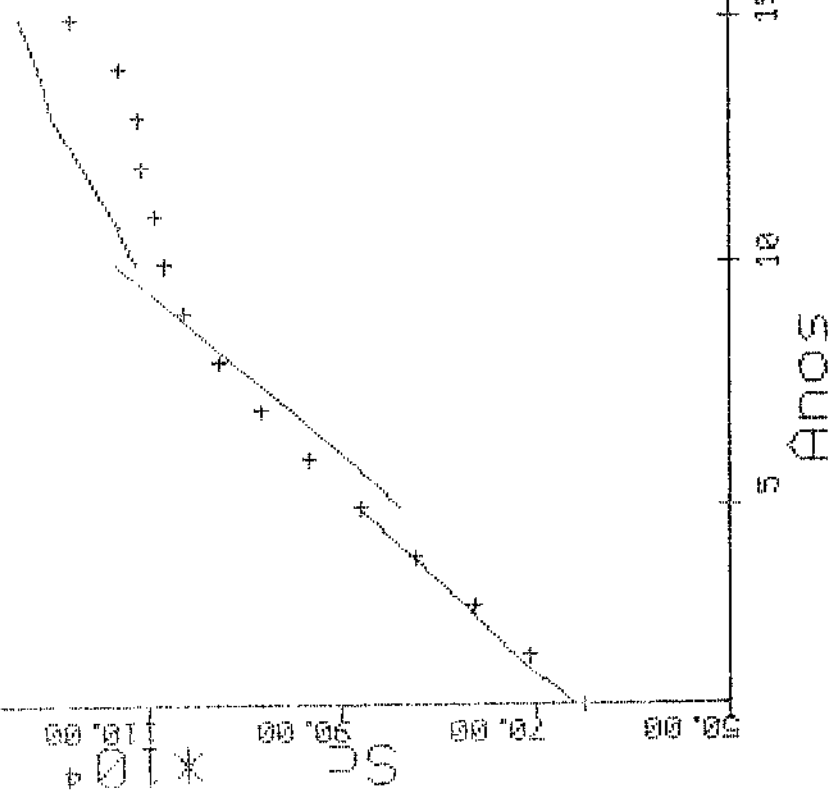
Intercâcio 155



25

14 DE SEPTIEMBRE

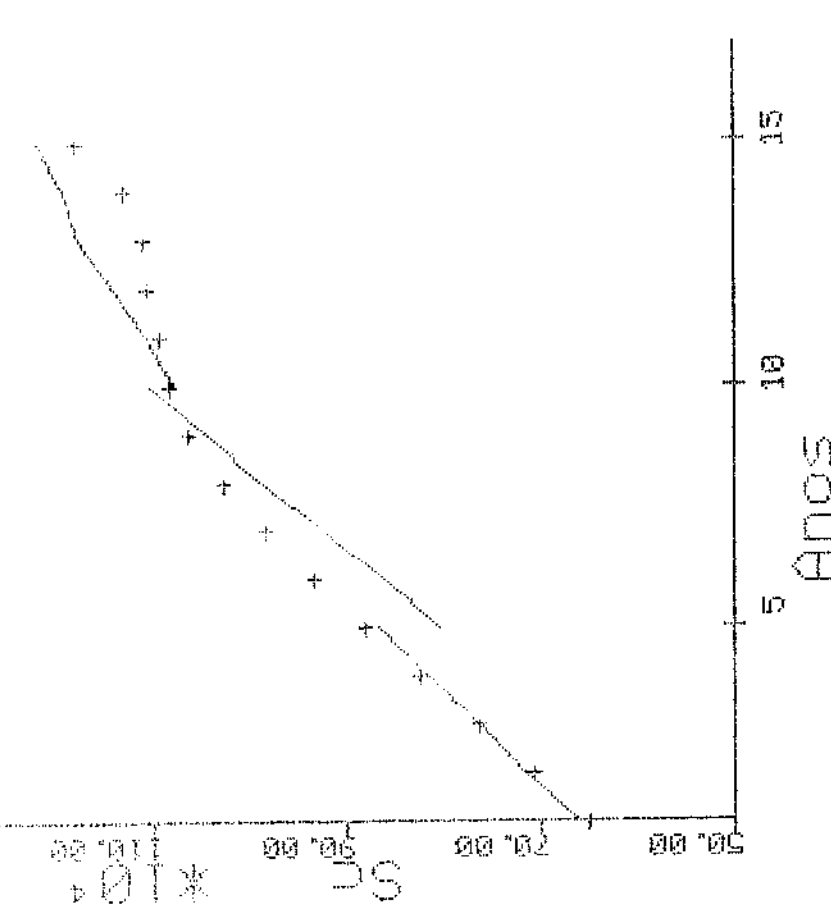
1990



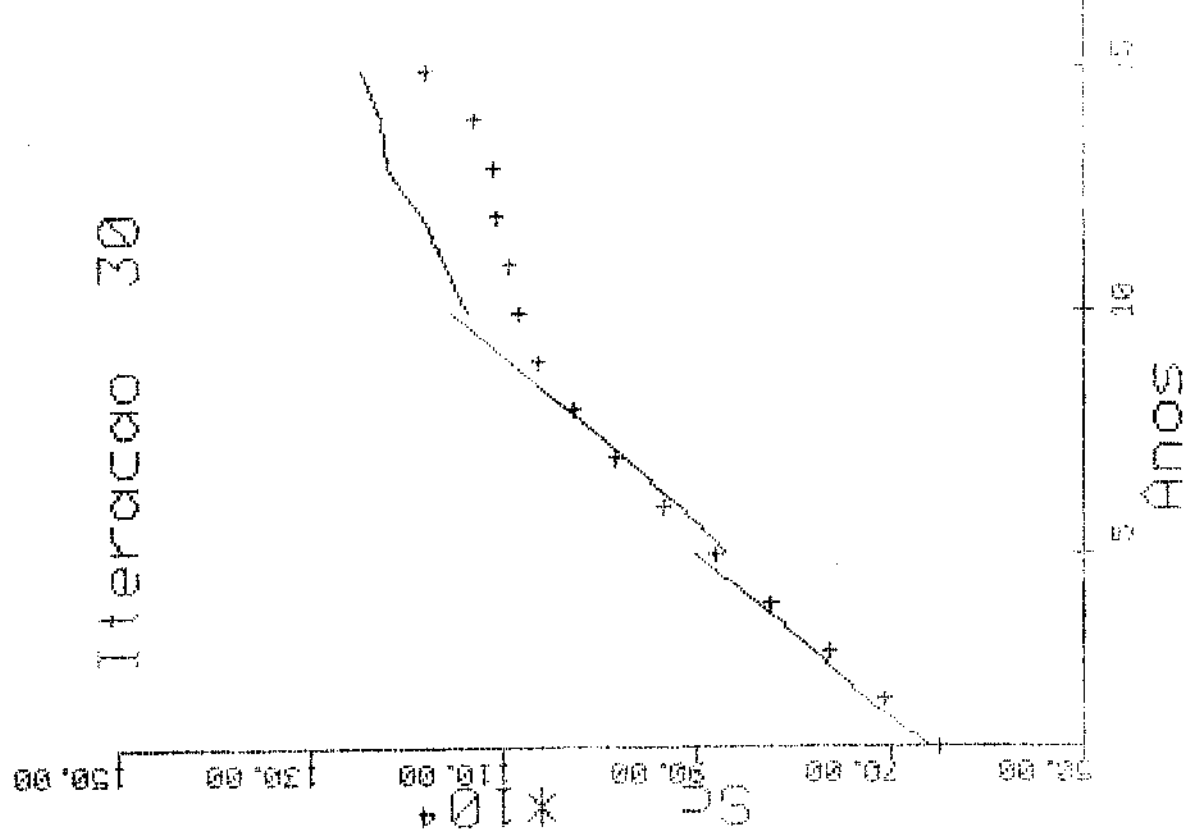
26

14 DE SEPTIEMBRE

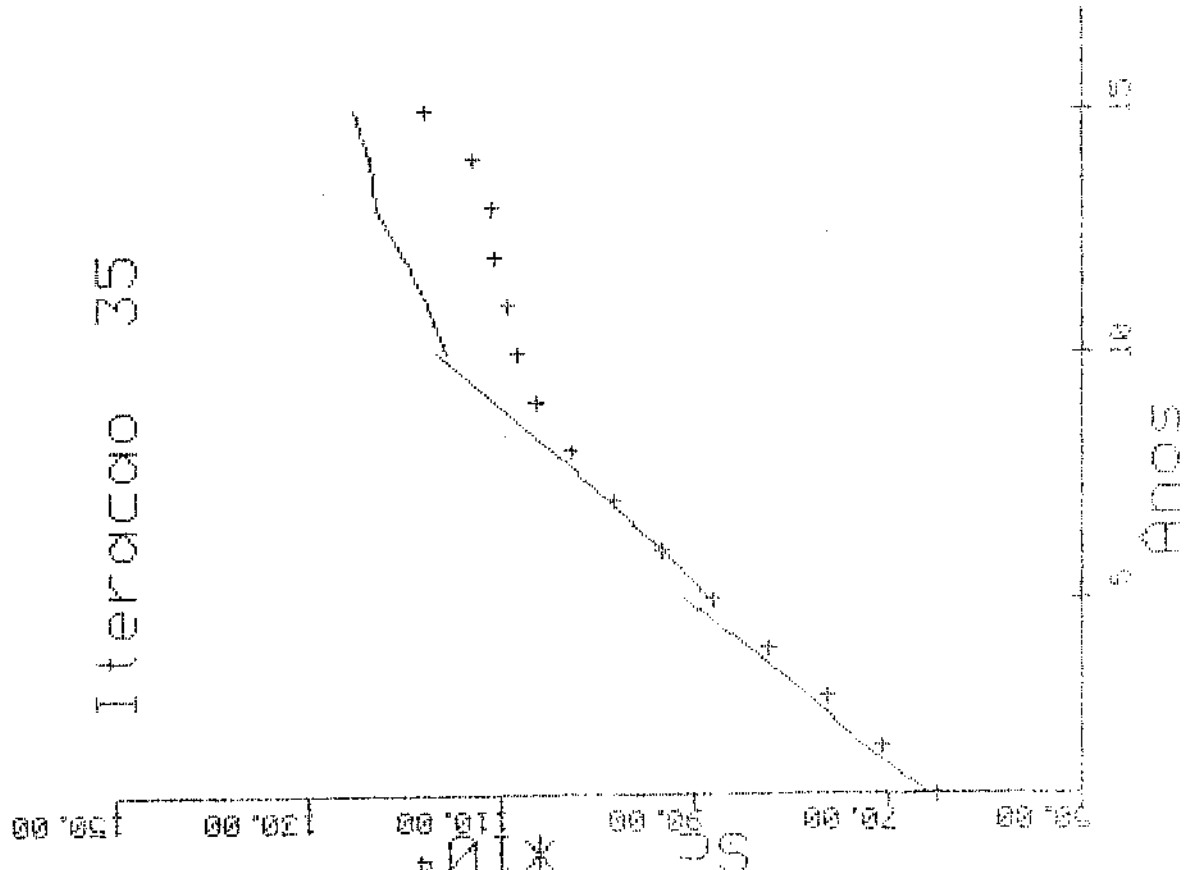
1990

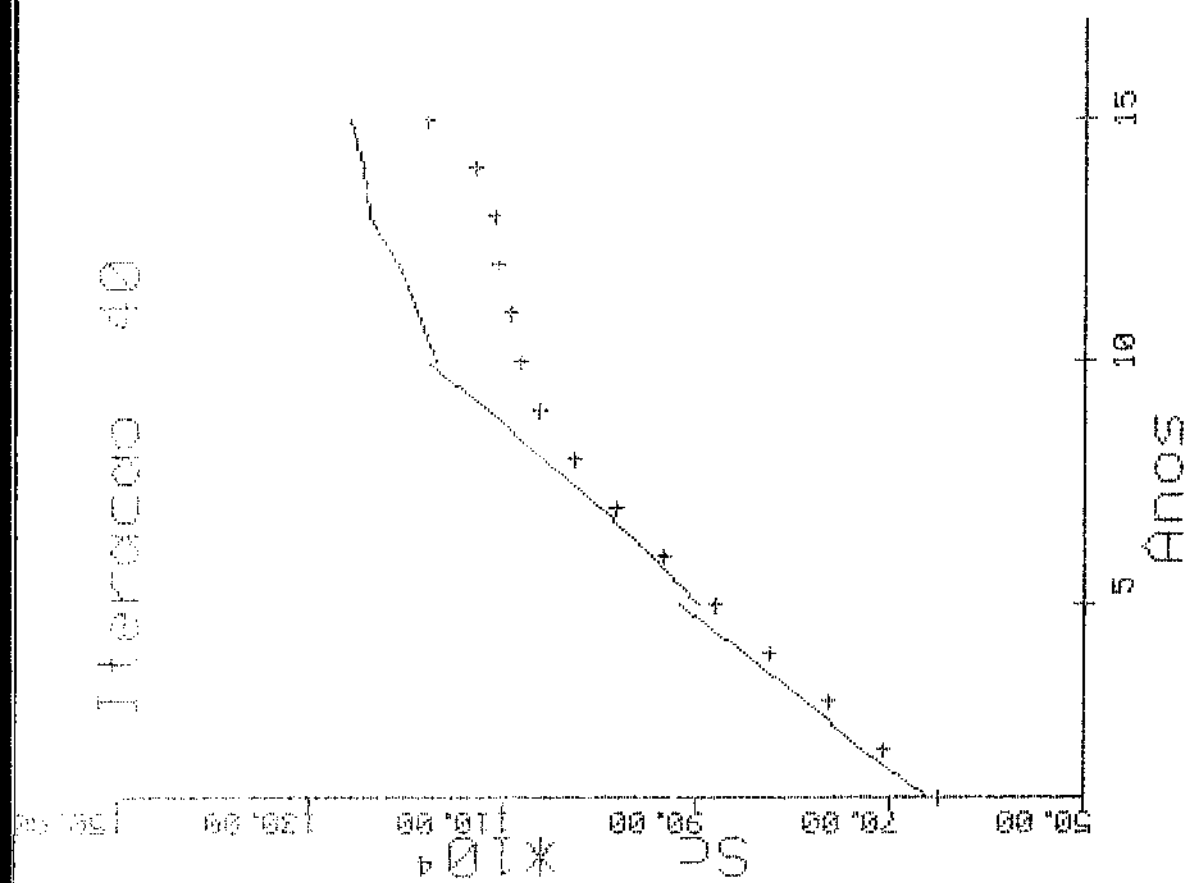
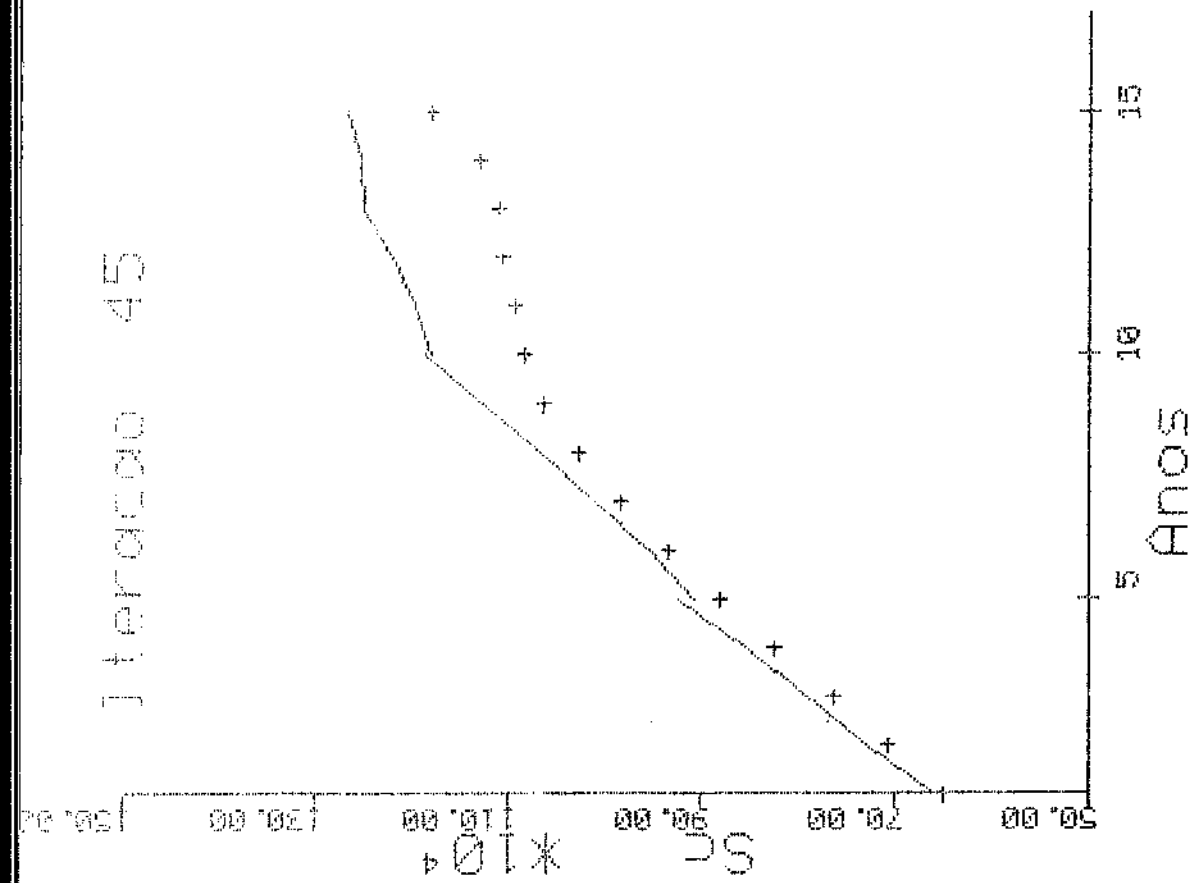


litteracio 30

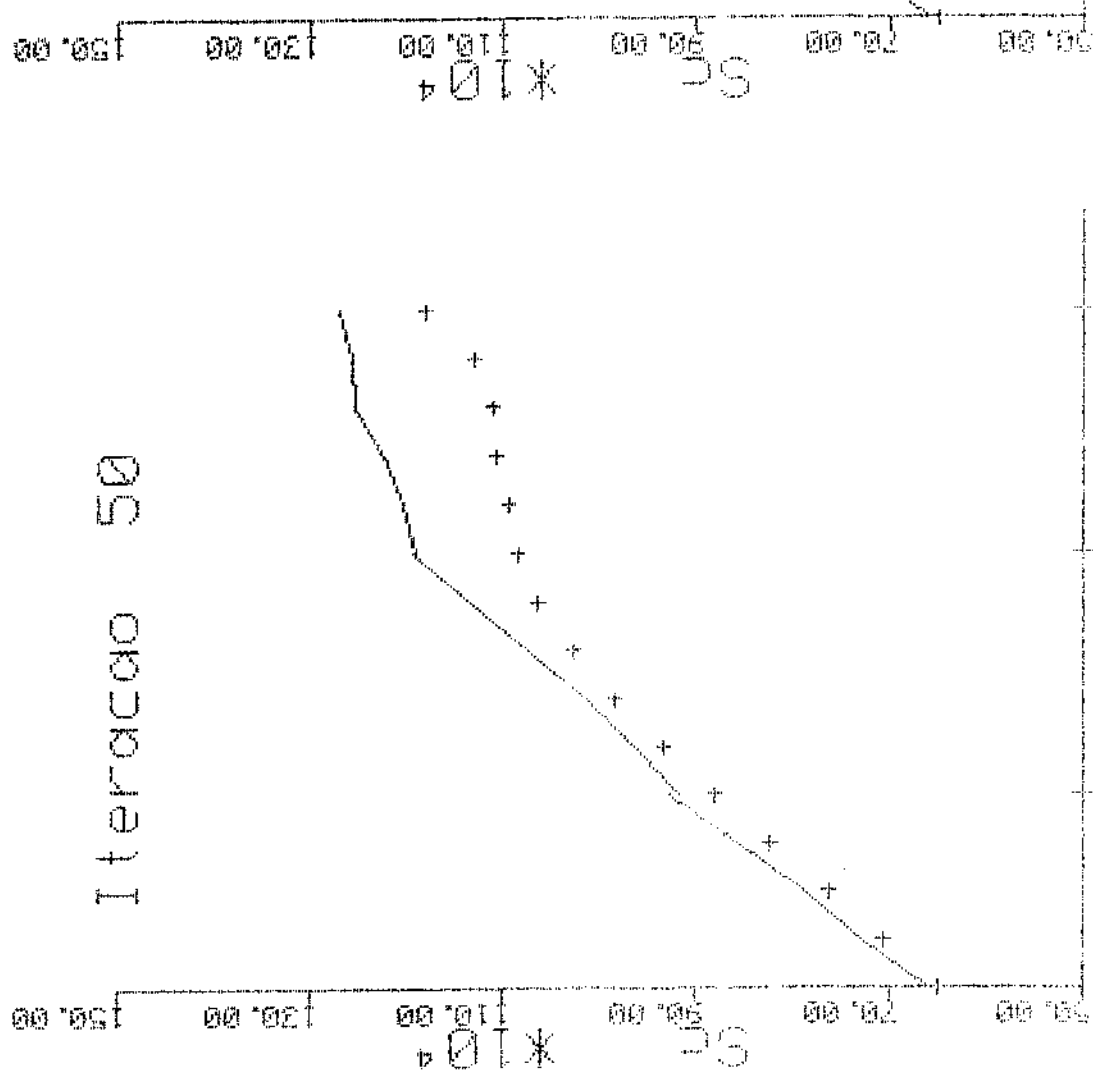


litteracio 35

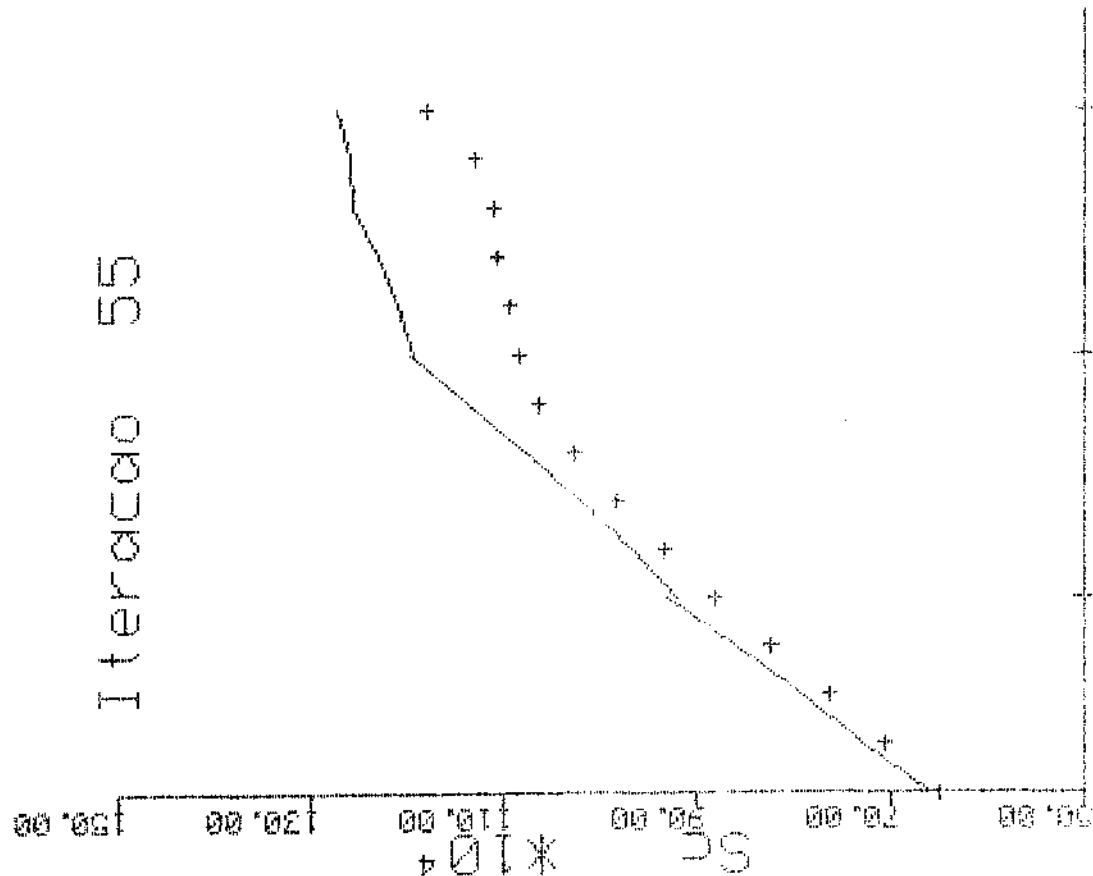


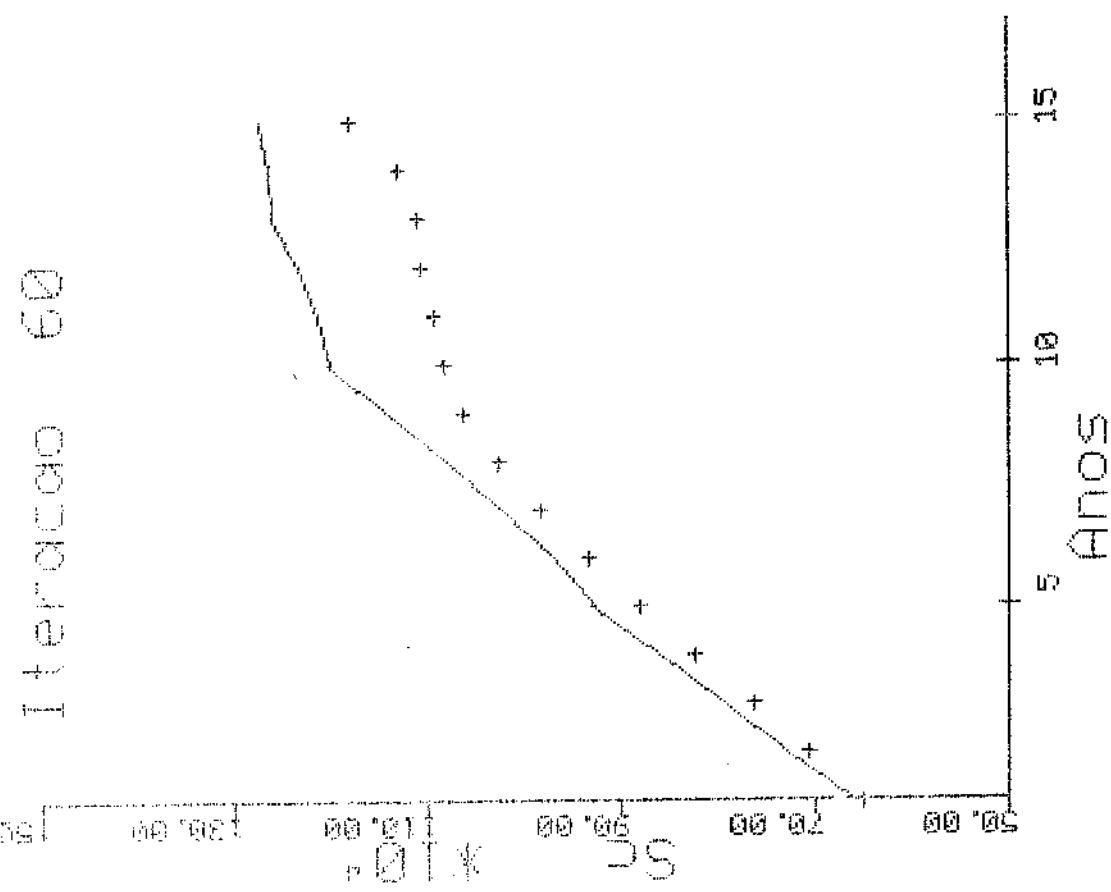
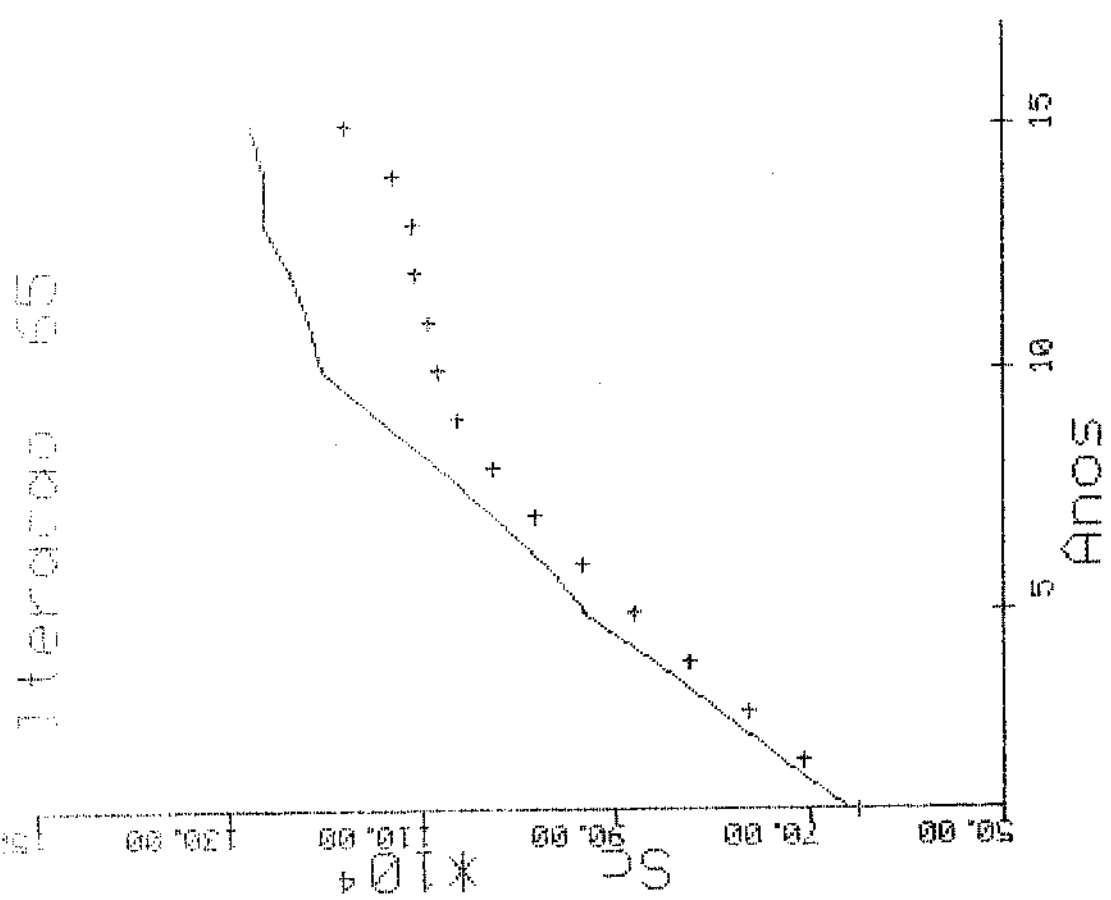


Intercambio 50

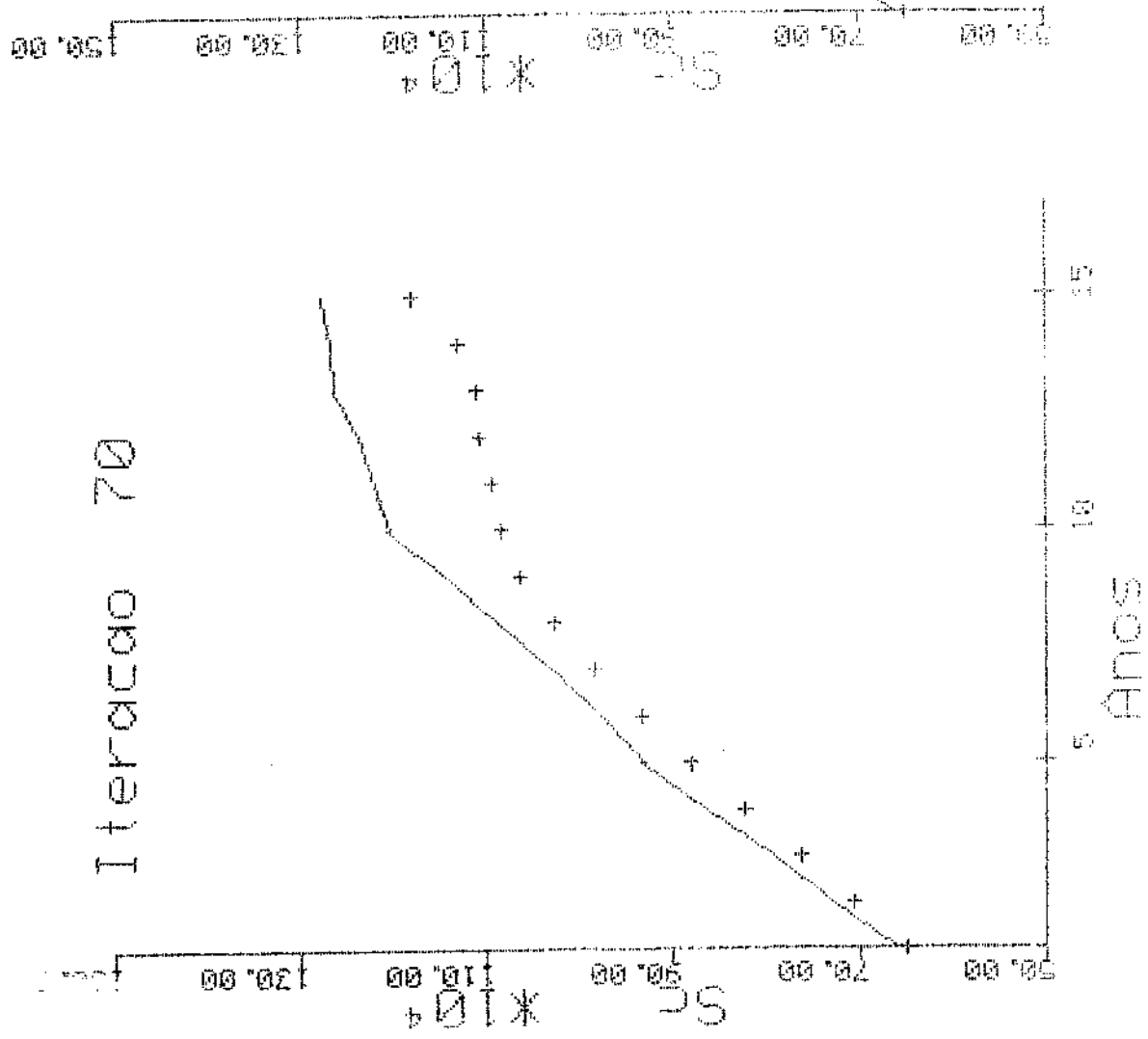


Intercambio 55

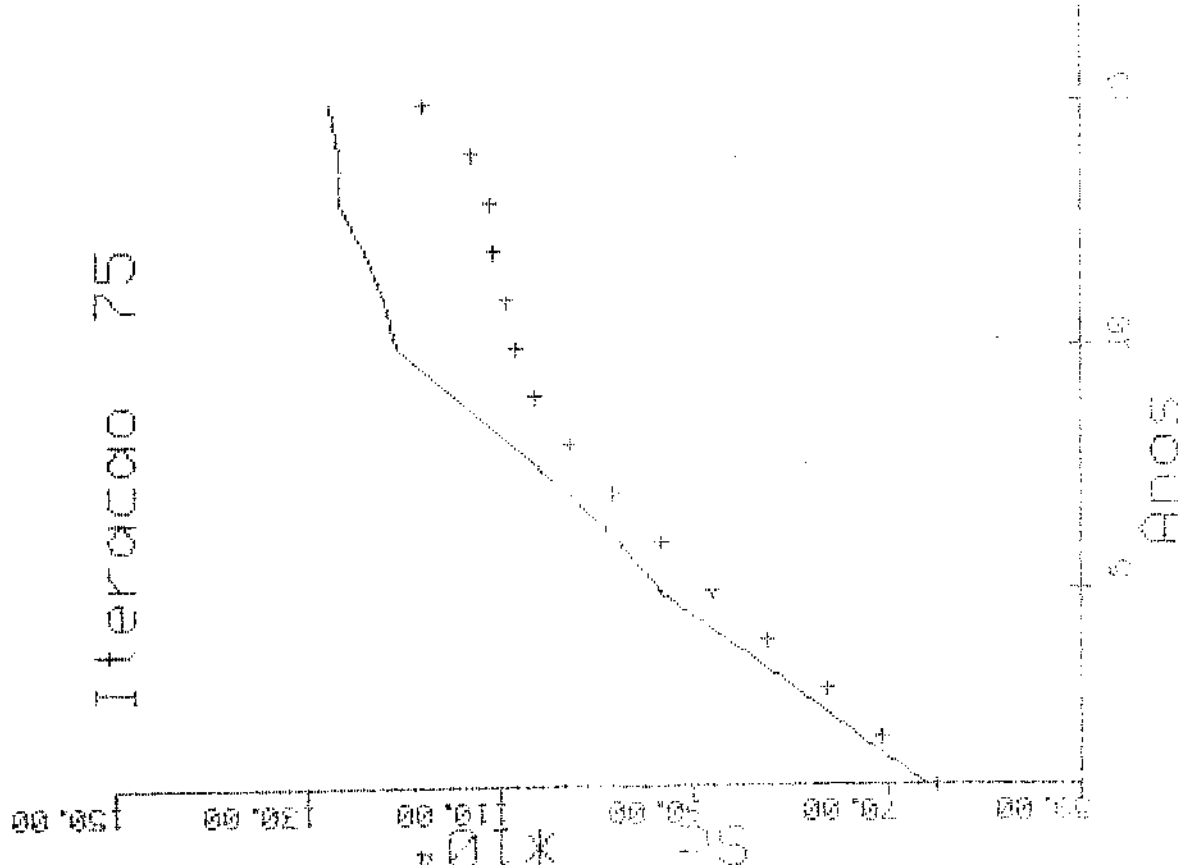


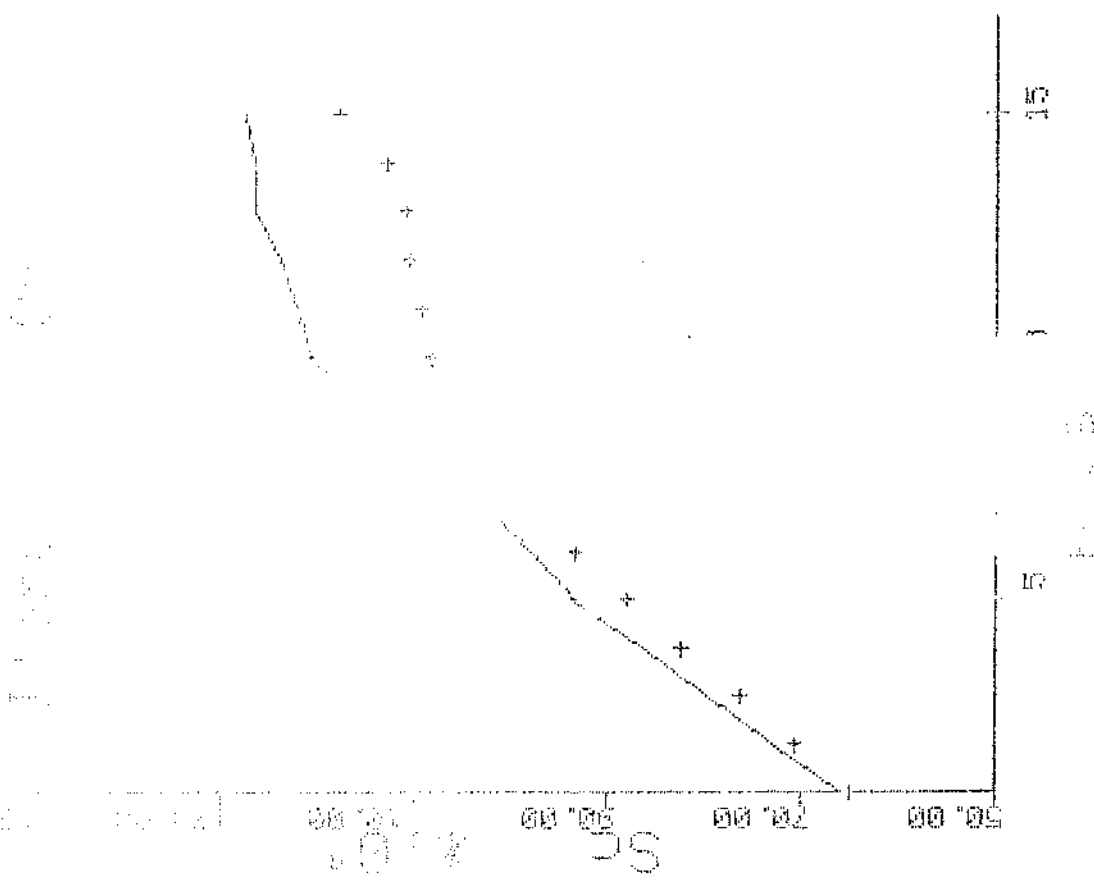


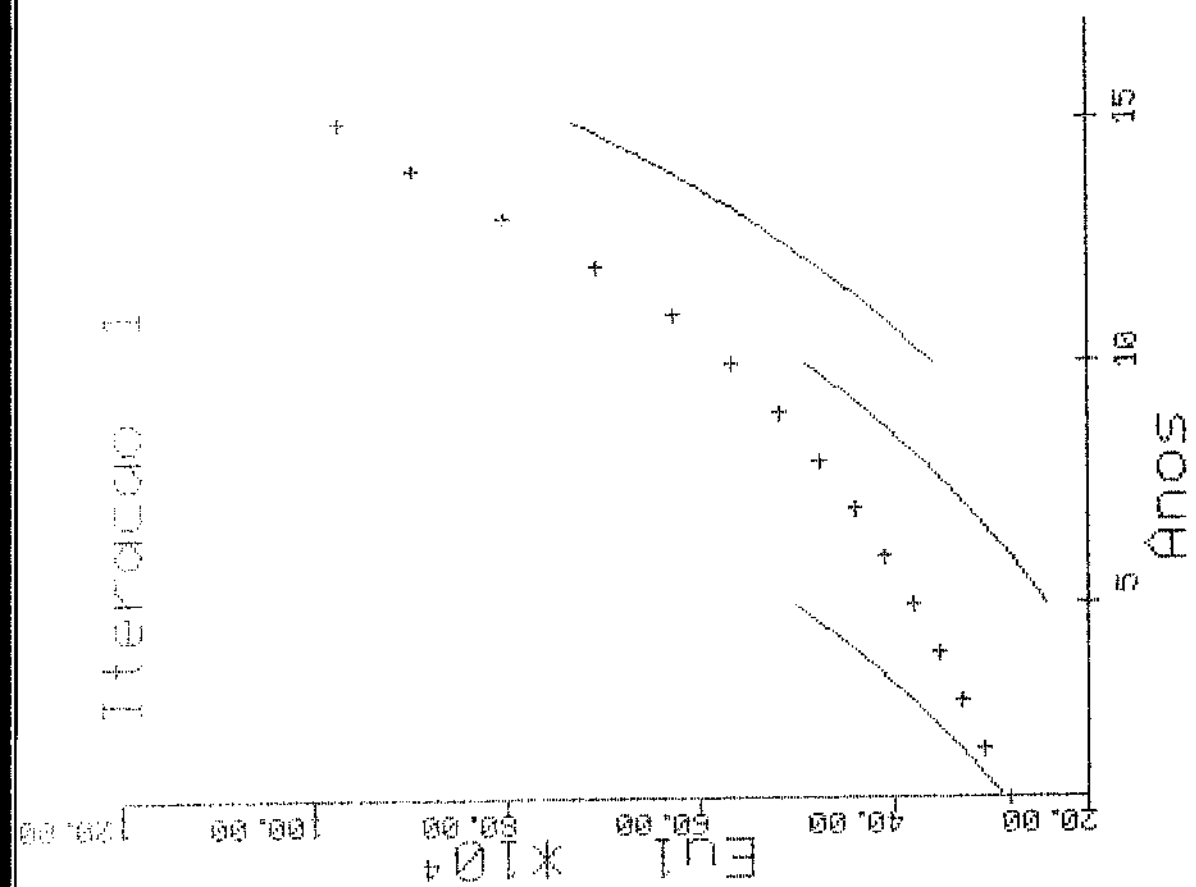
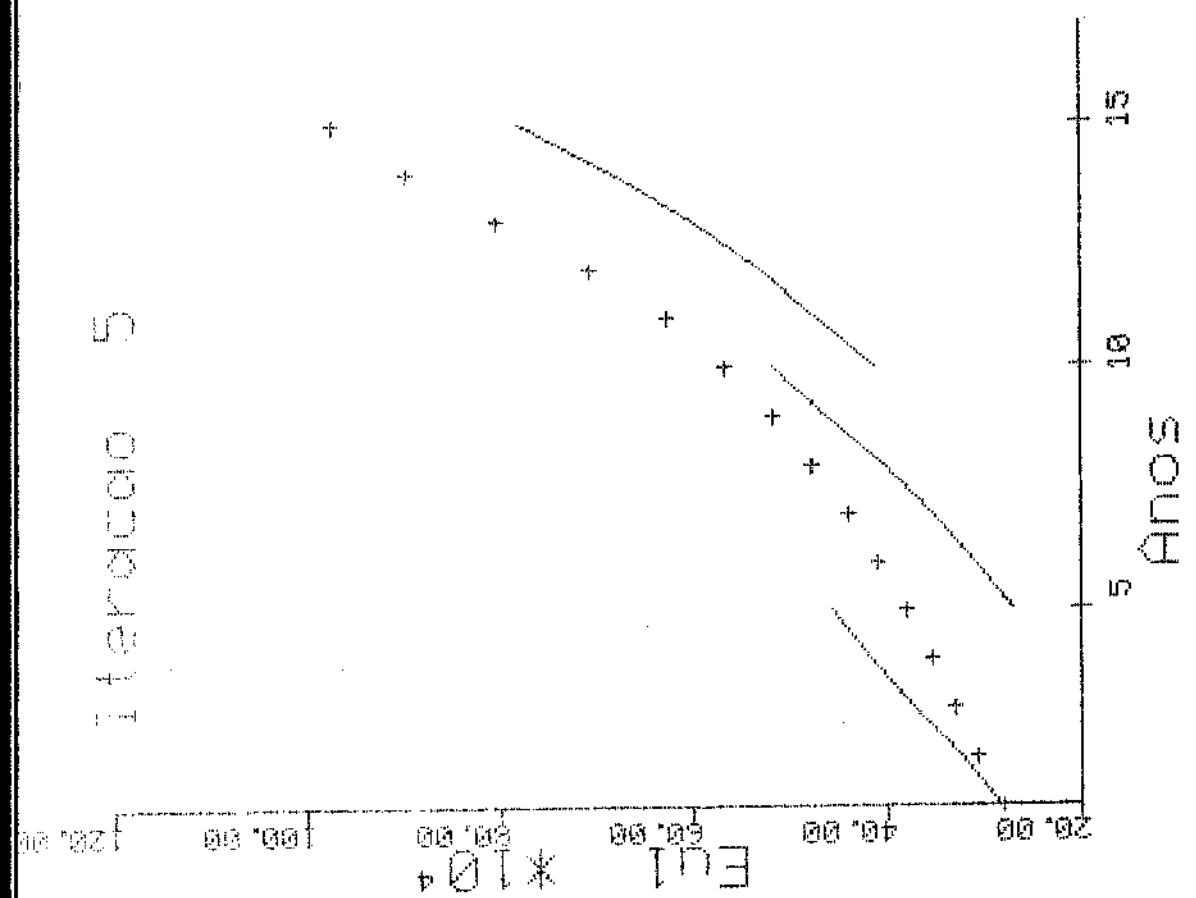
Itinerario 70



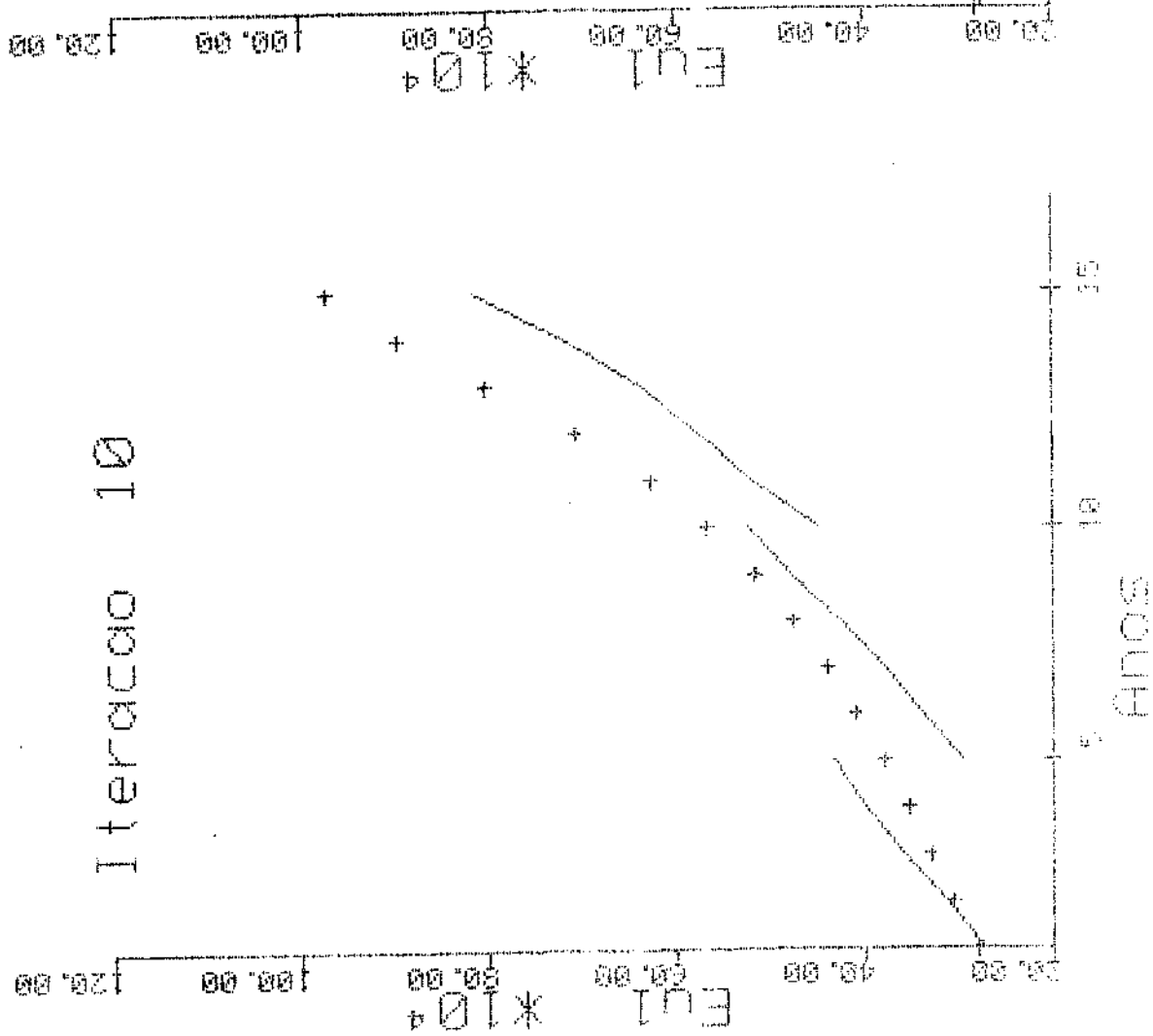
Itinerario 75



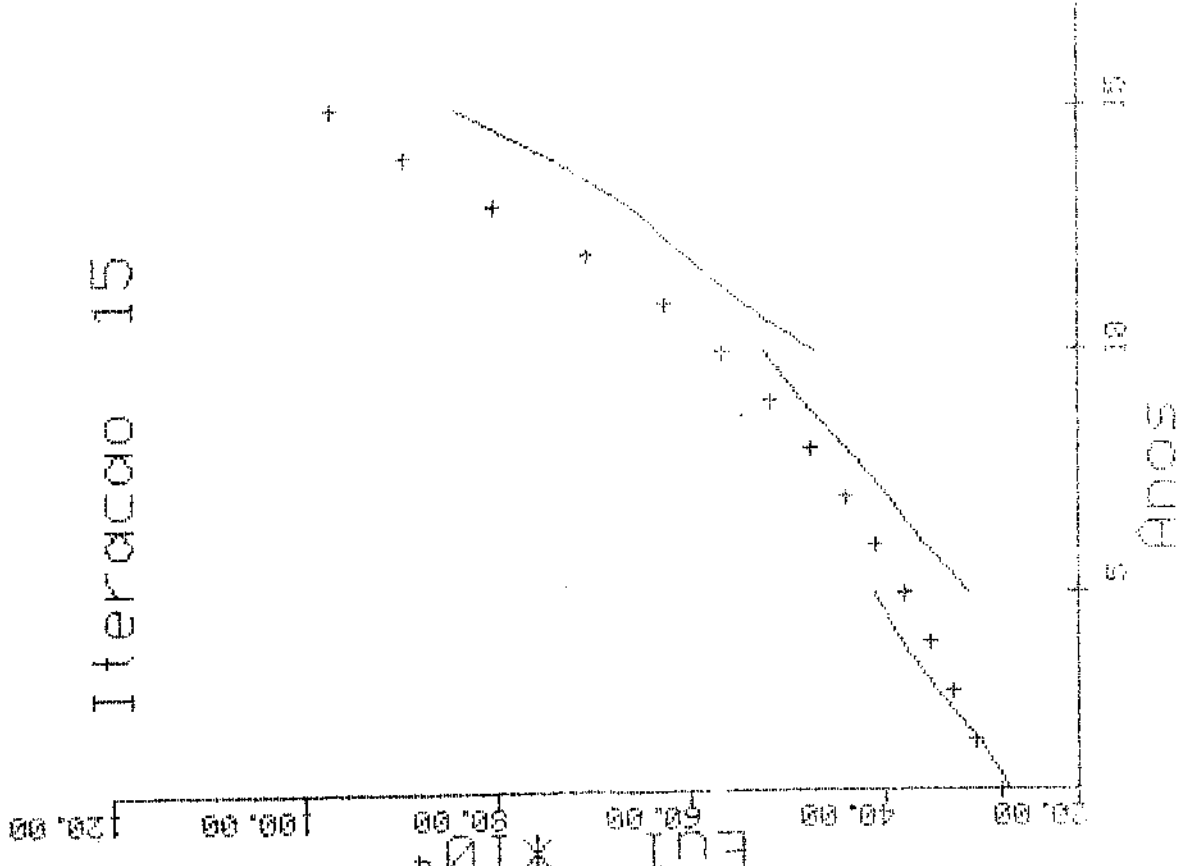


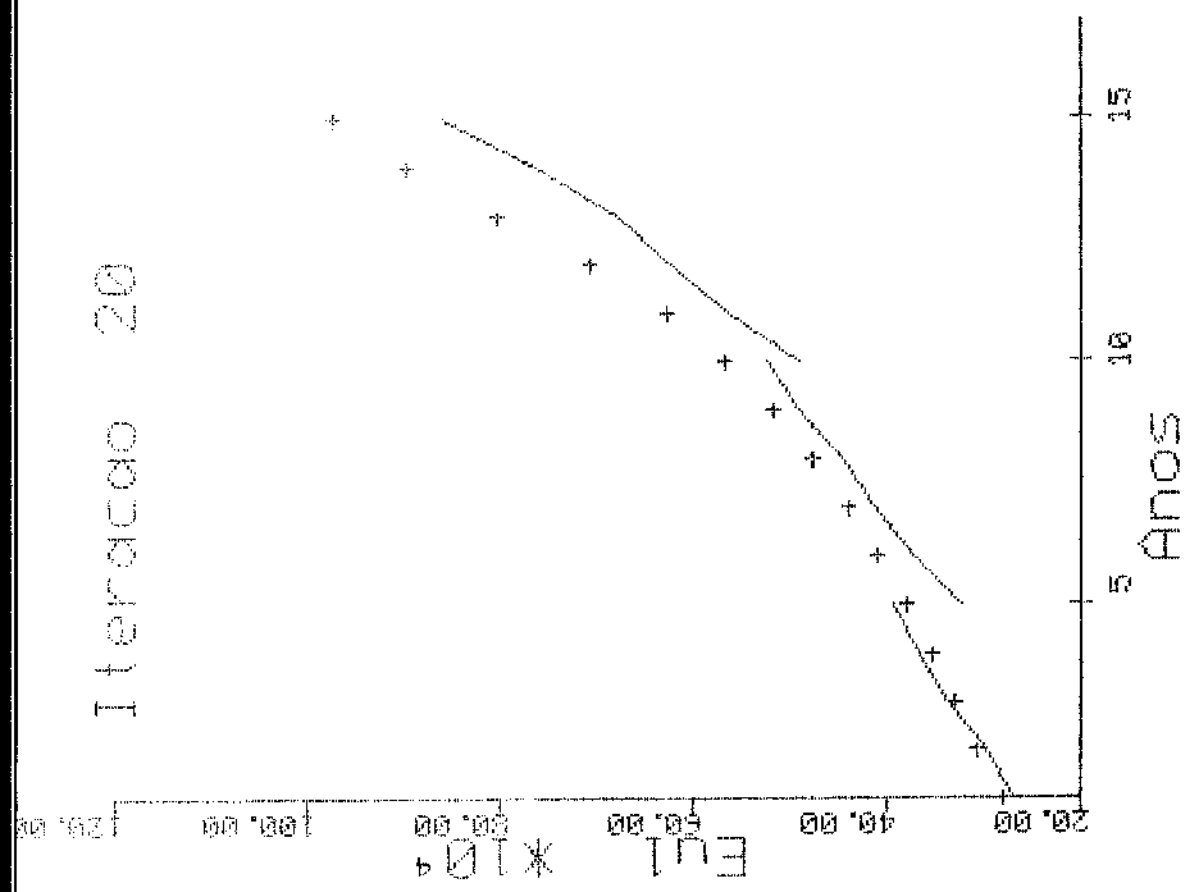
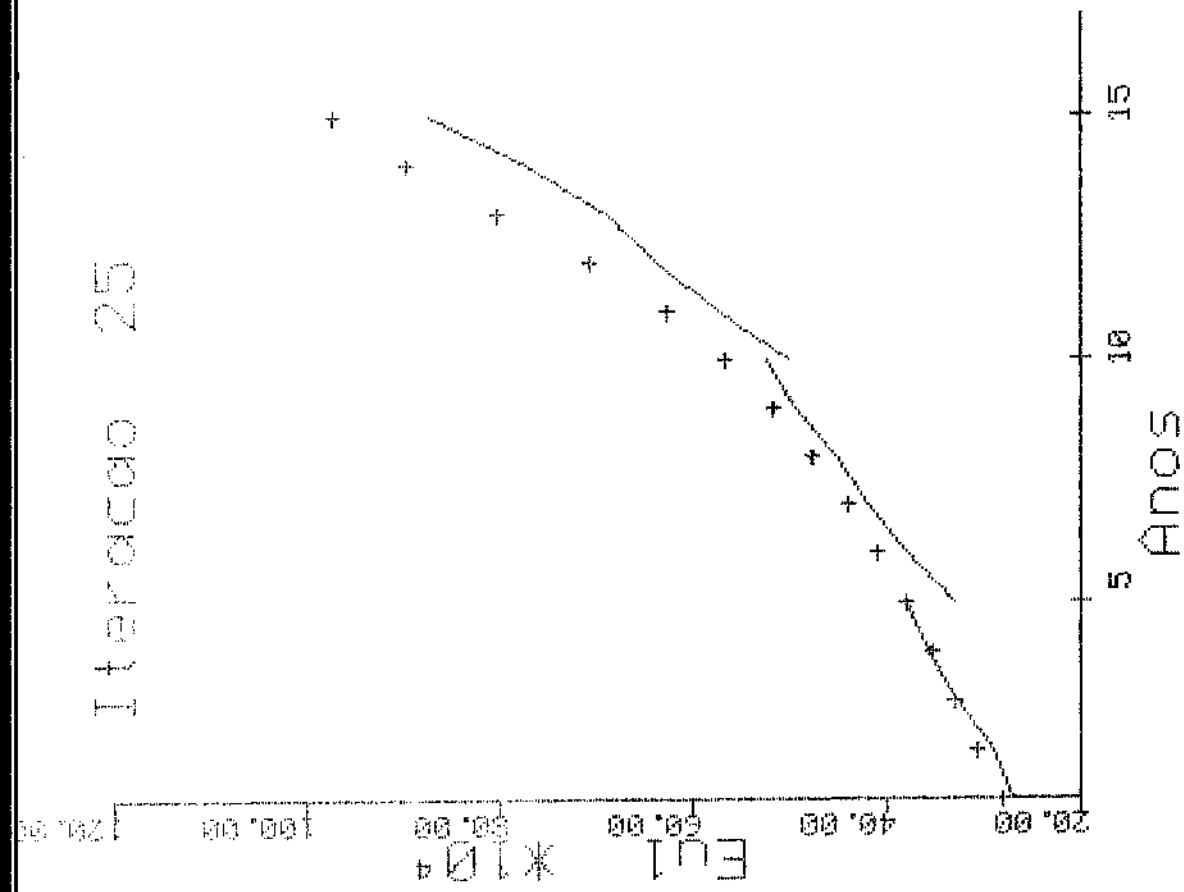


Iteracao 10

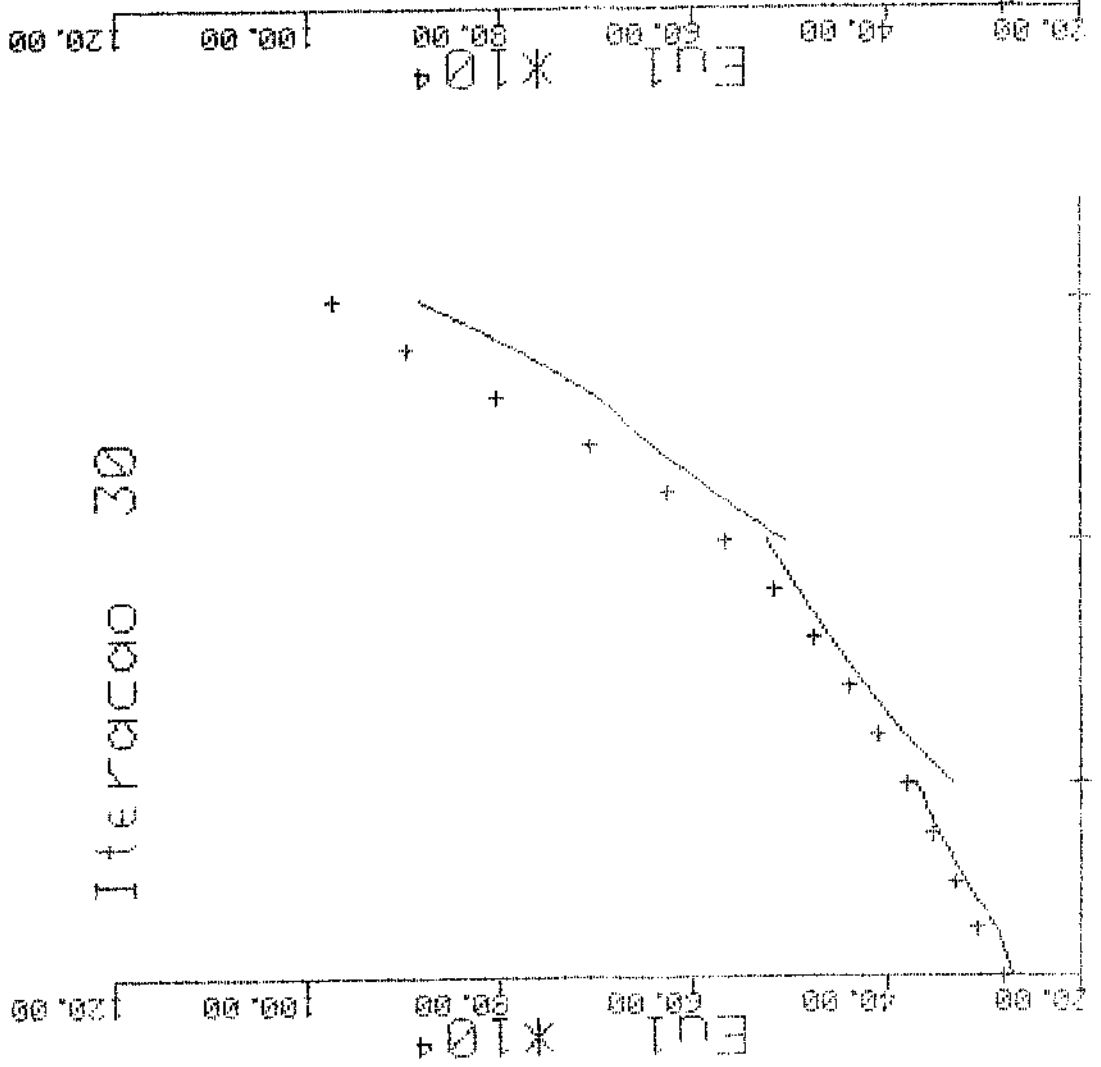


Iteracao 15

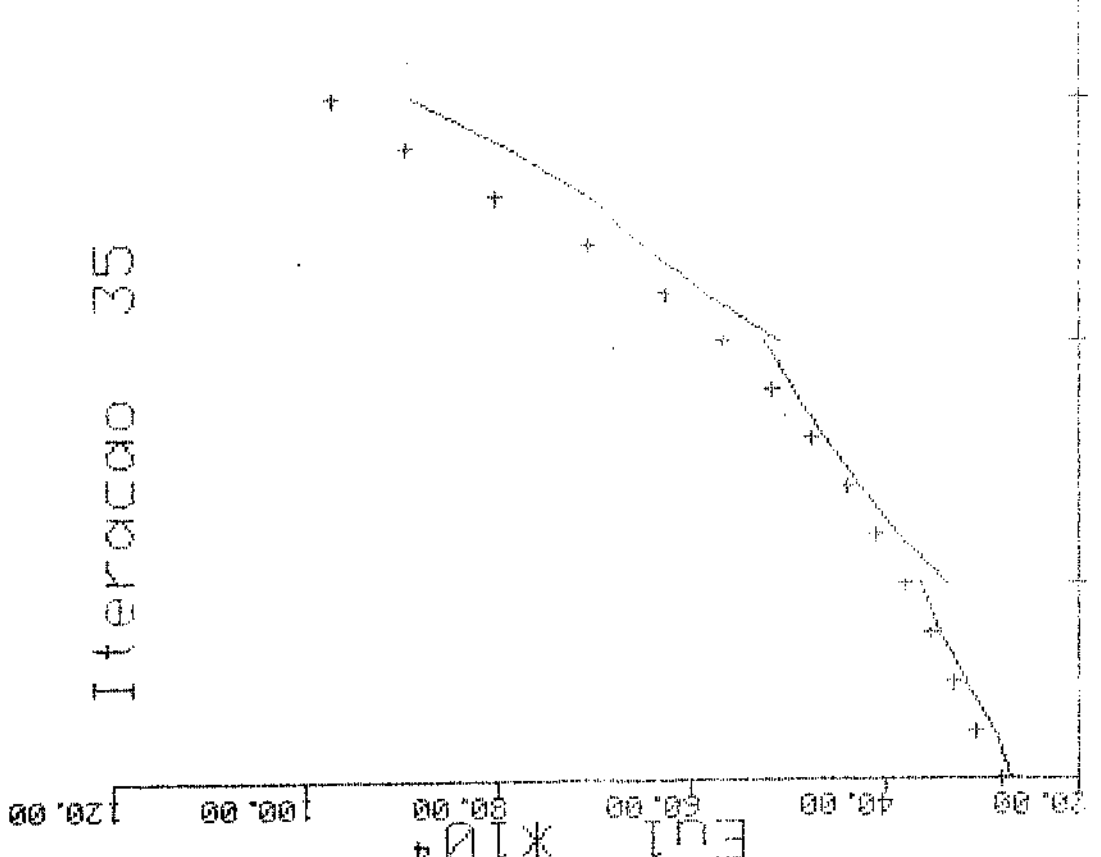


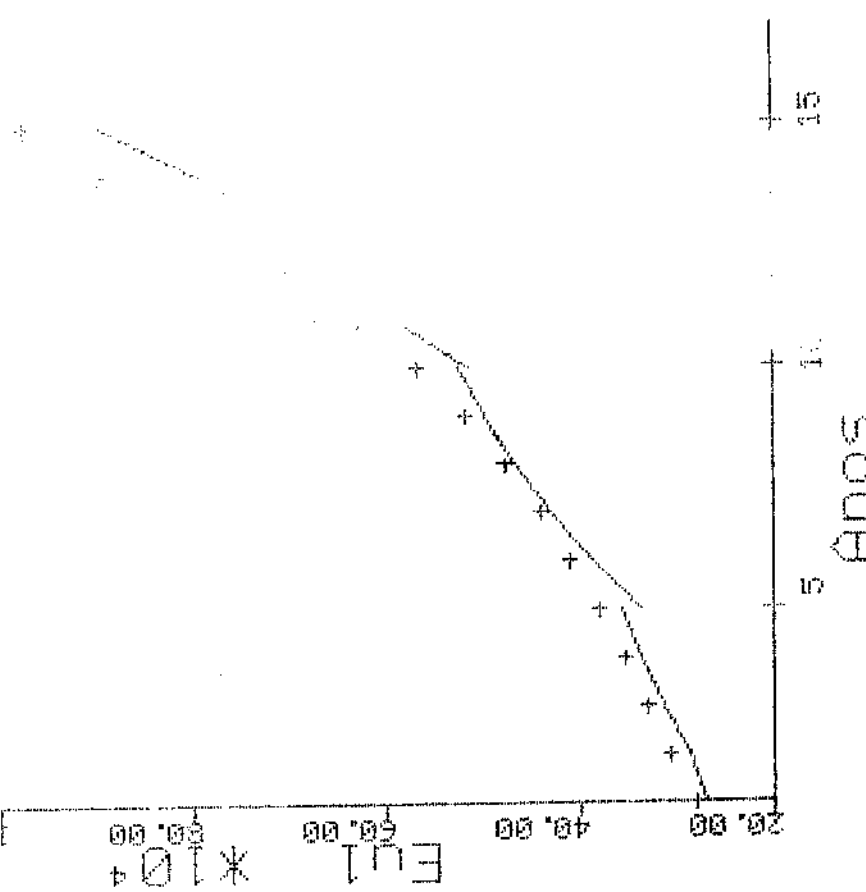
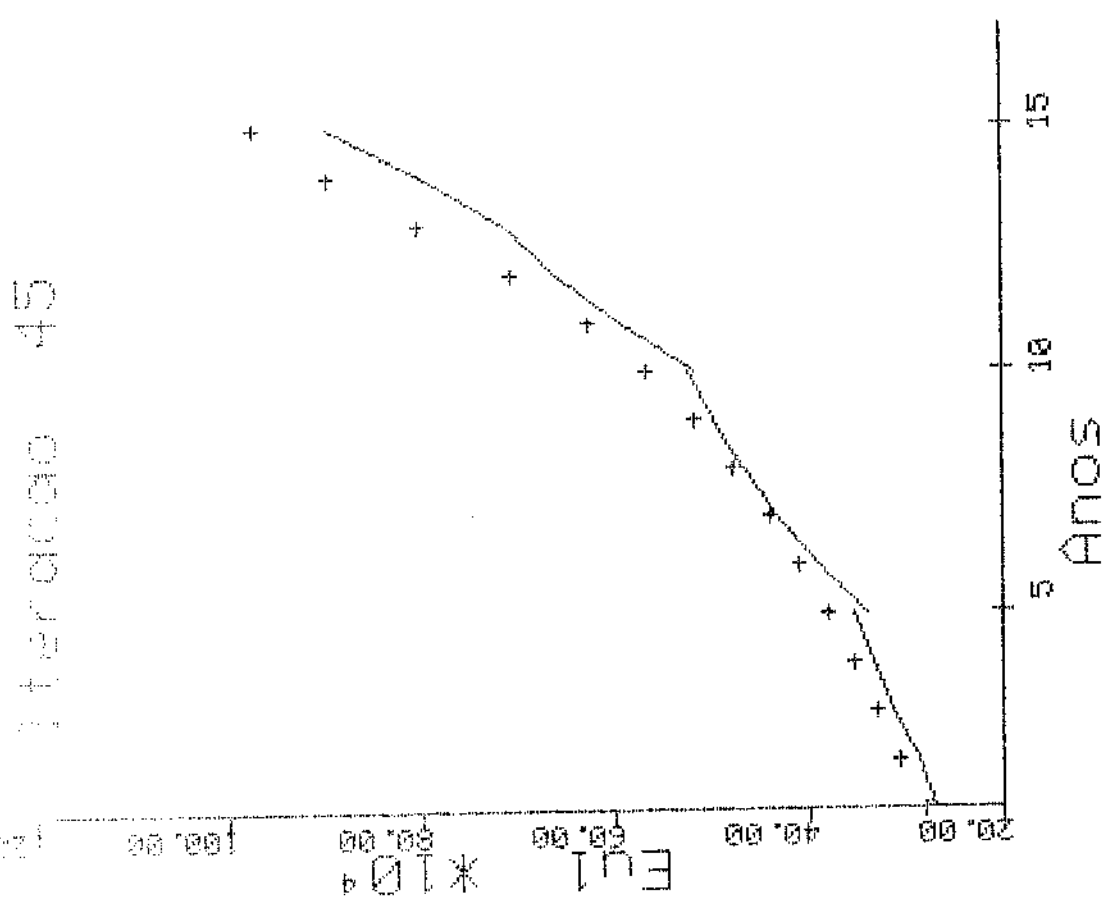


Iteracao 30

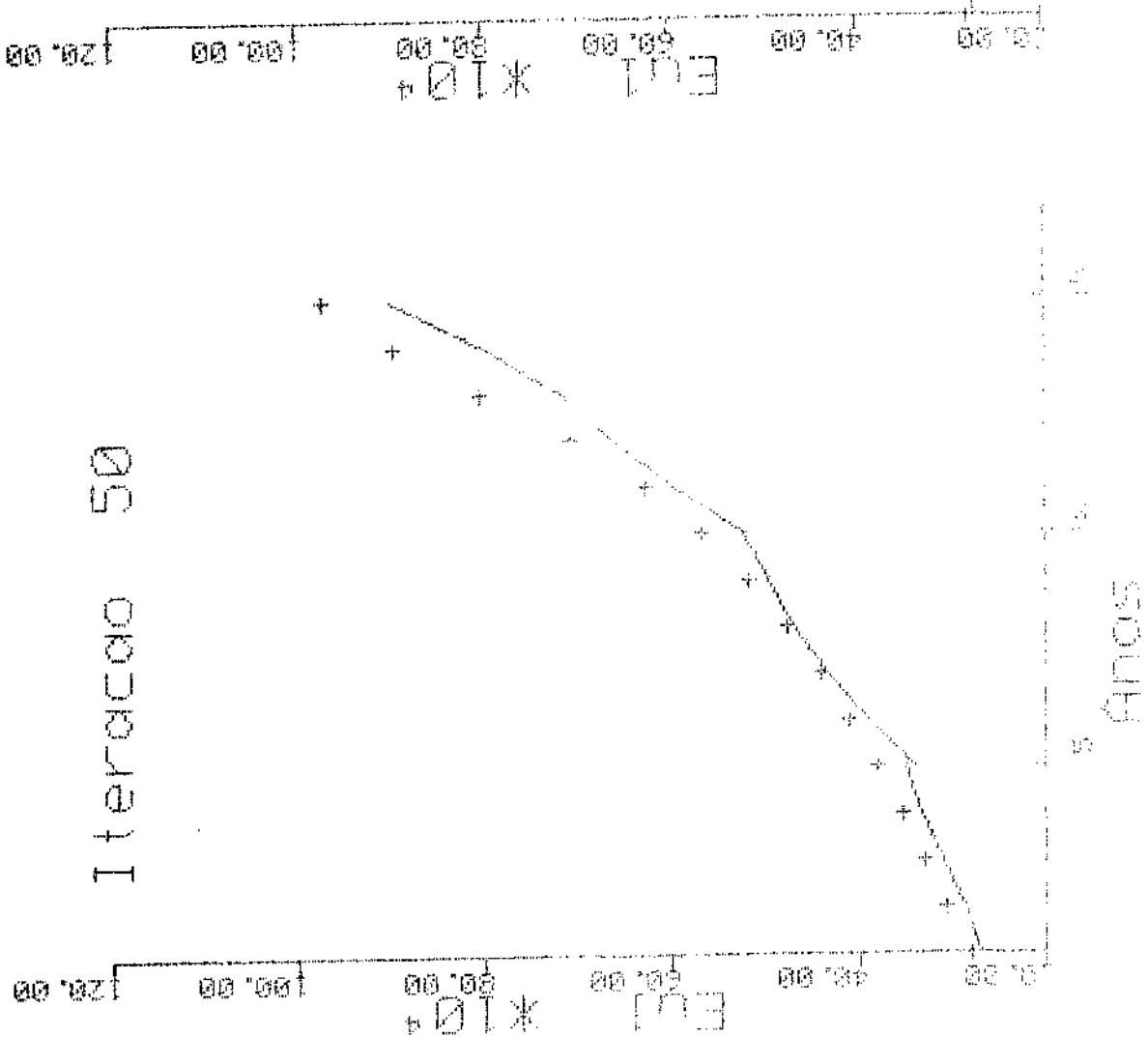


Iteracao 35

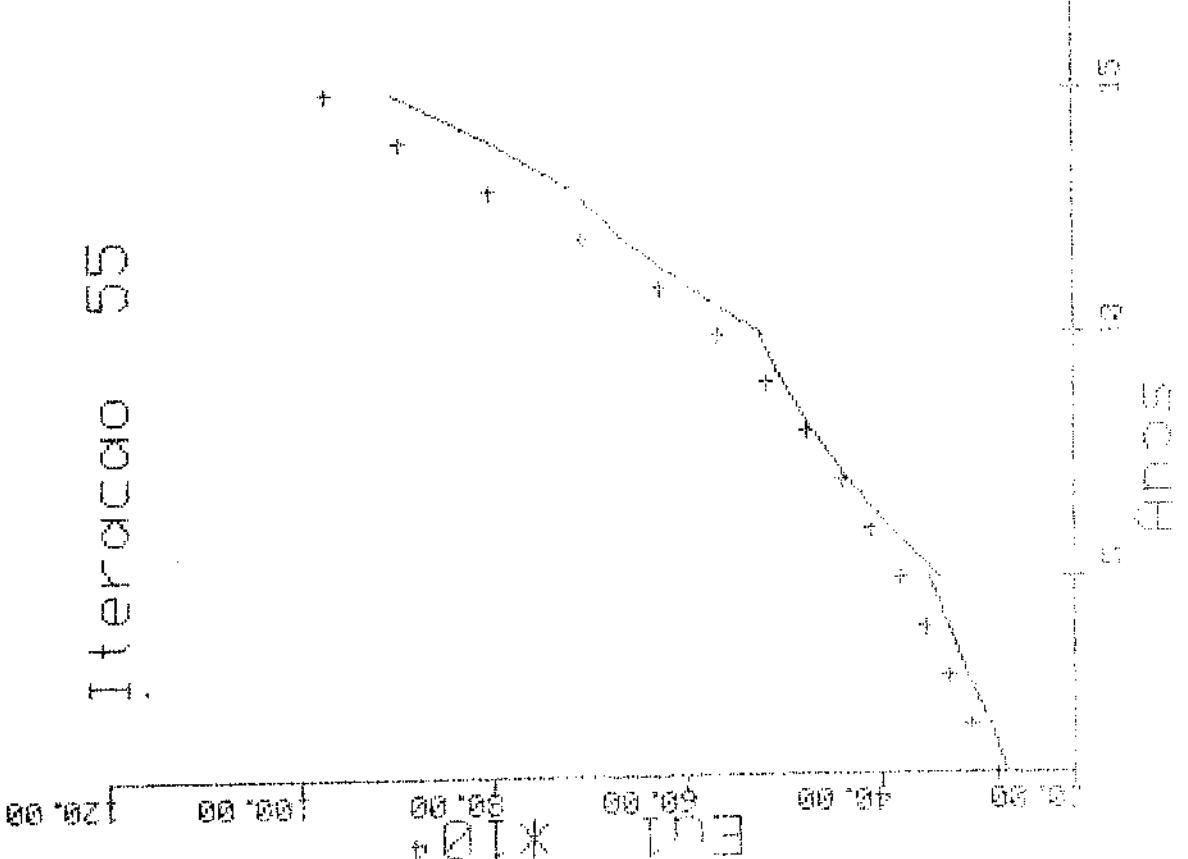




Itenerario 50



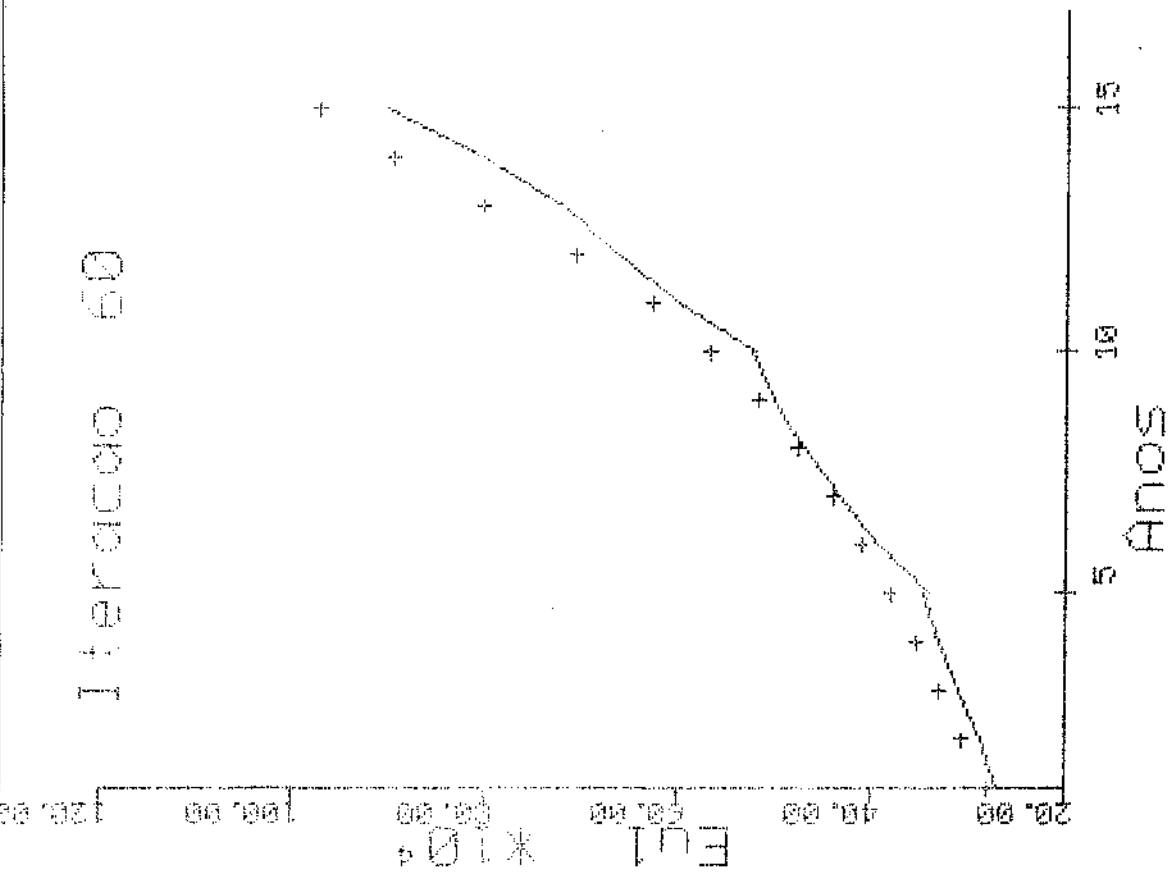
Itenerario 55



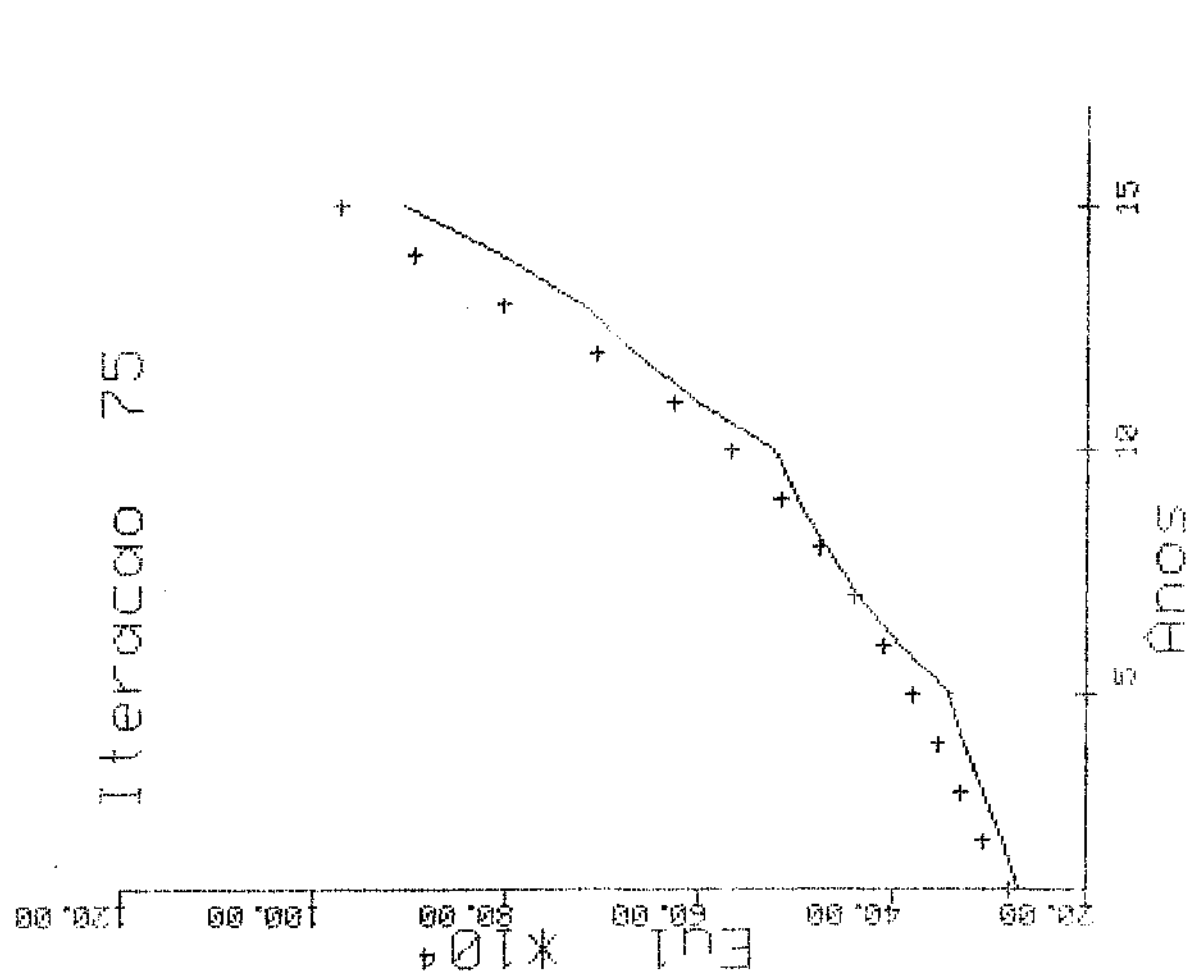
TITULO DO DOCUMENTO



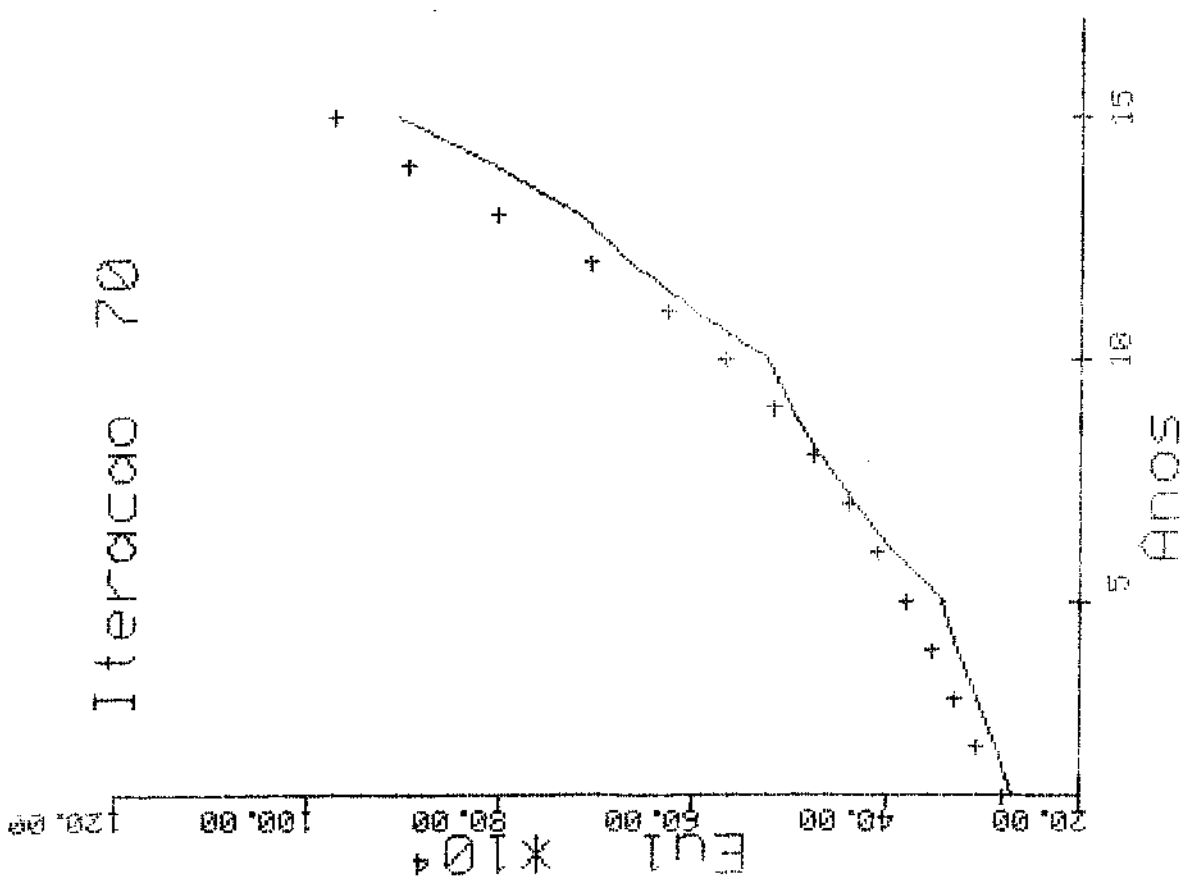
TITULO DO DOCUMENTO



Intercâmbio 75



Intercâmbio 70



TIPO DE  
TITULO

+-----+

+-----+

+-----+

+-----+

+-----+

+-----+

+-----+

+-----+

+-----+

+-----+

+-----+

+-----+

+-----+

TITULO

00.00

00.00

00.00

00.00

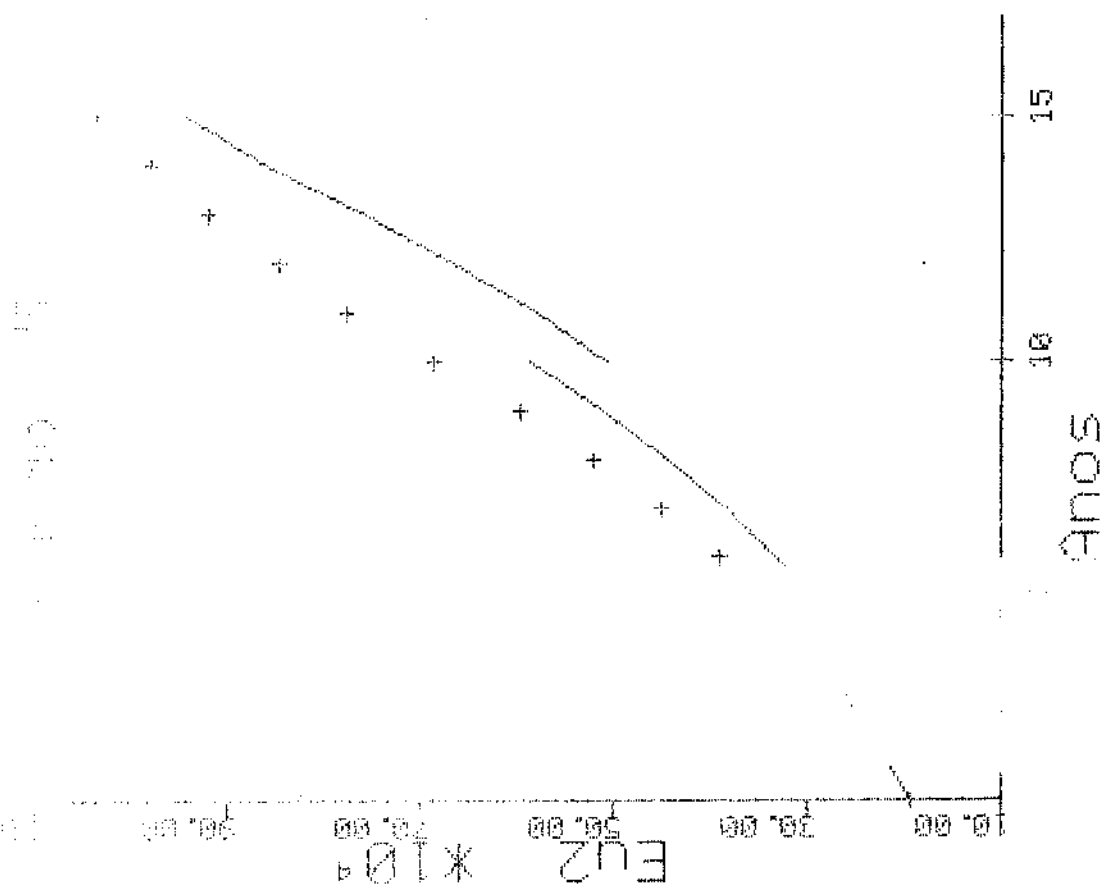
ANOS

15

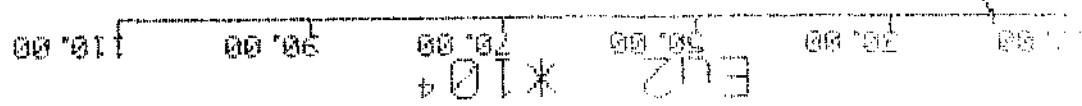
10

5

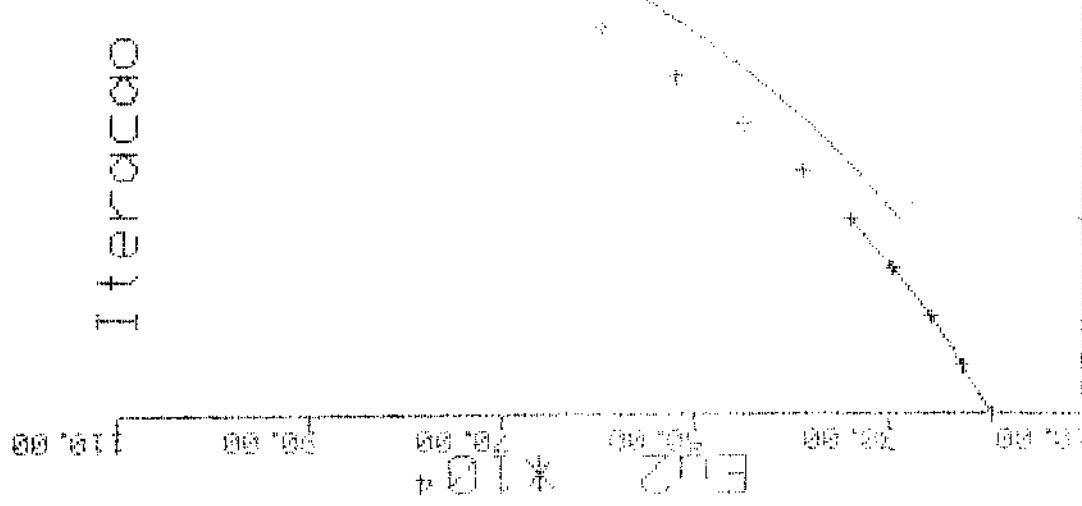
0

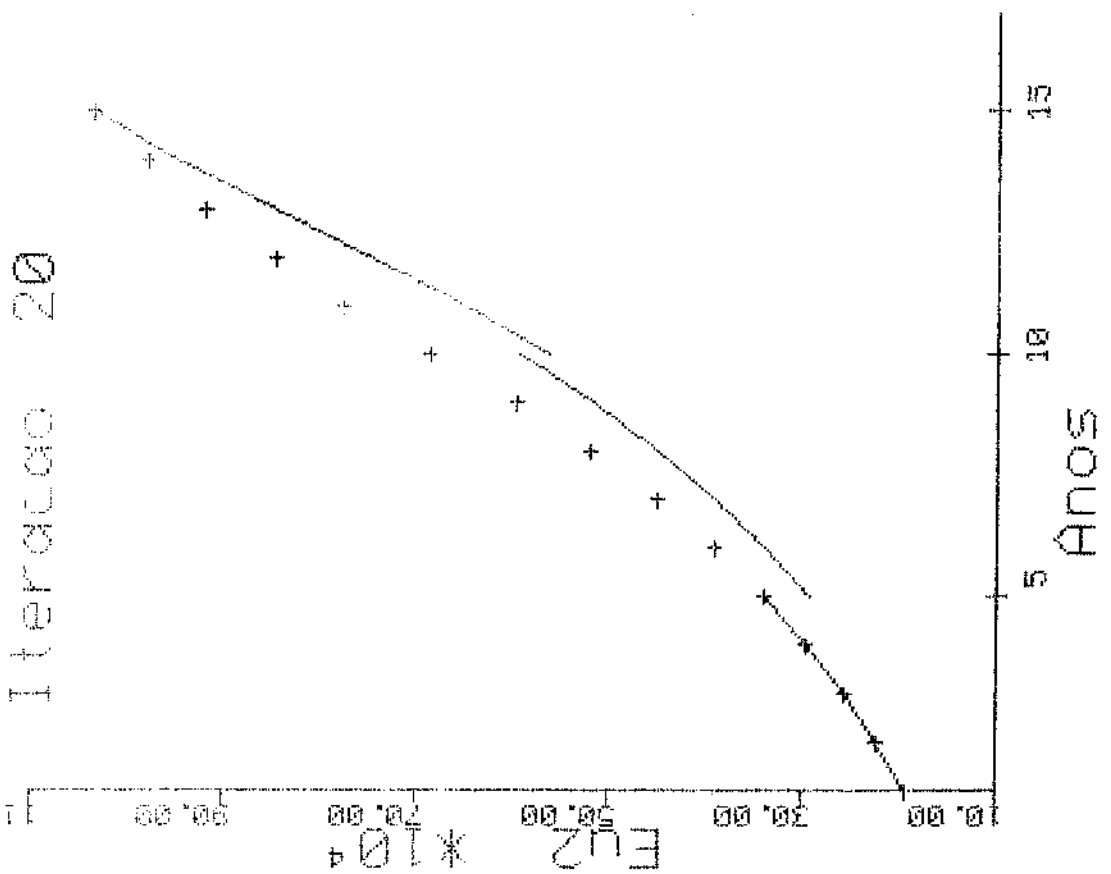
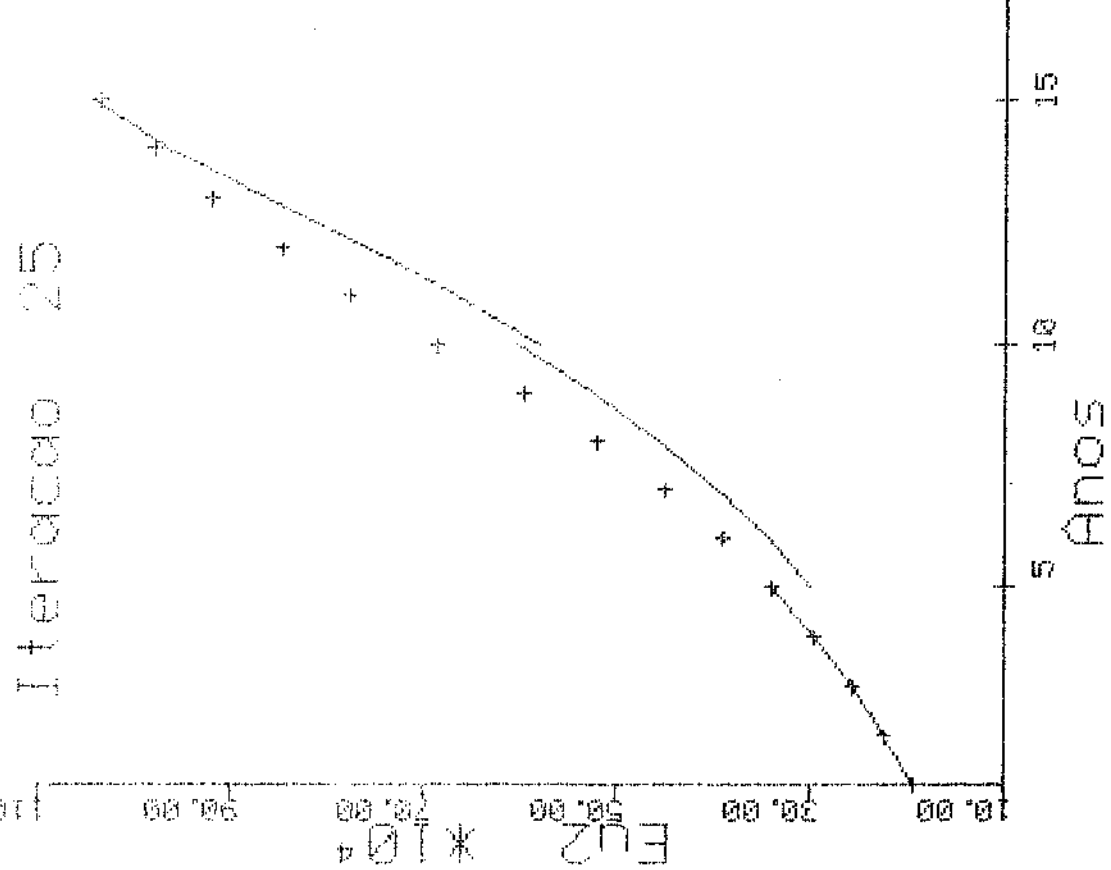


Interacao 15



Interacao 10





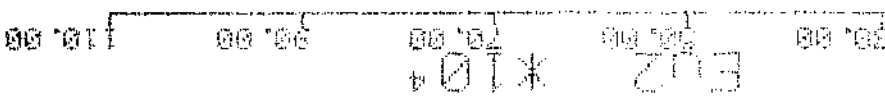
Intercal 35

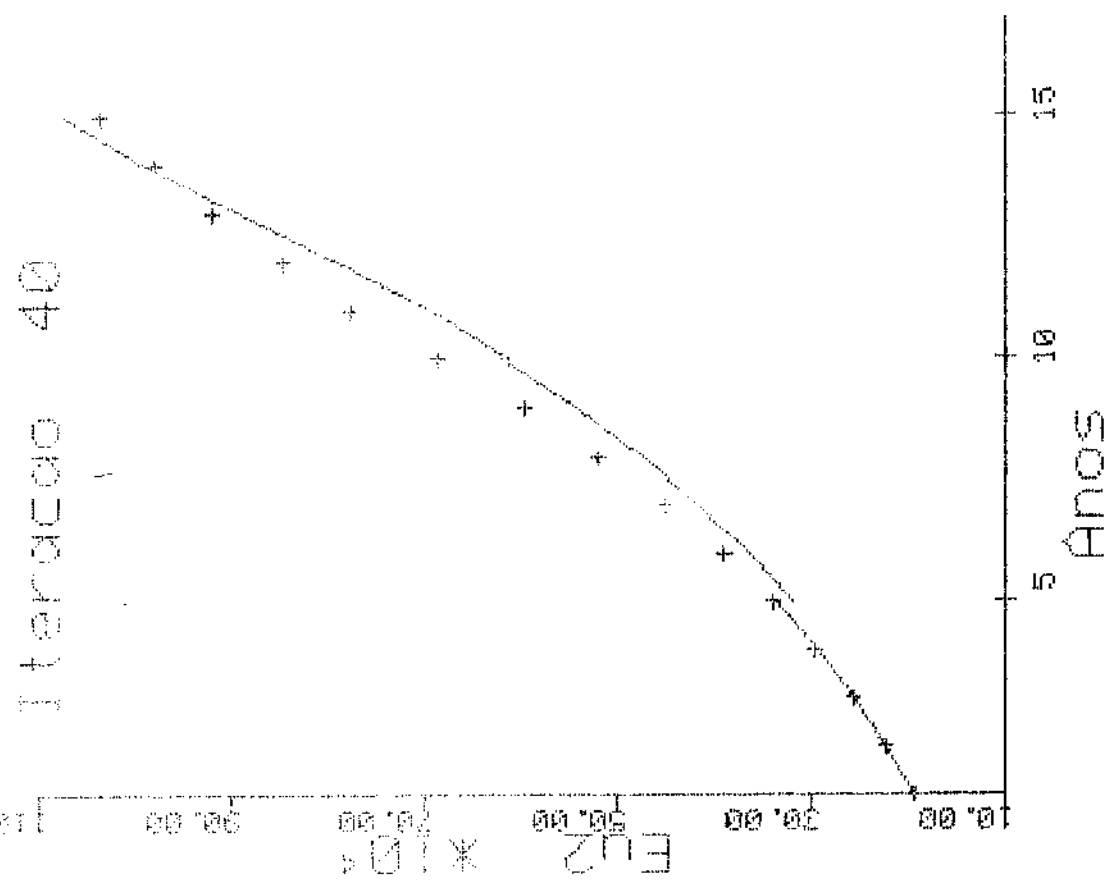
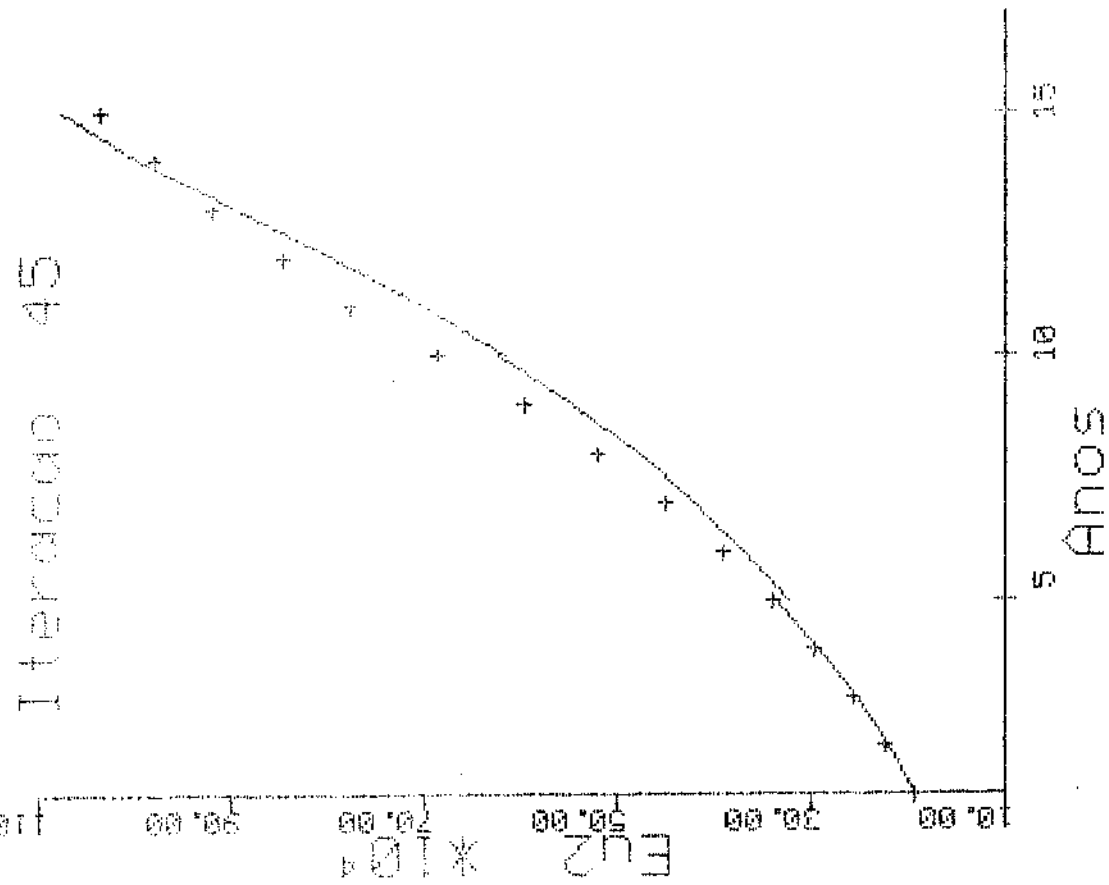


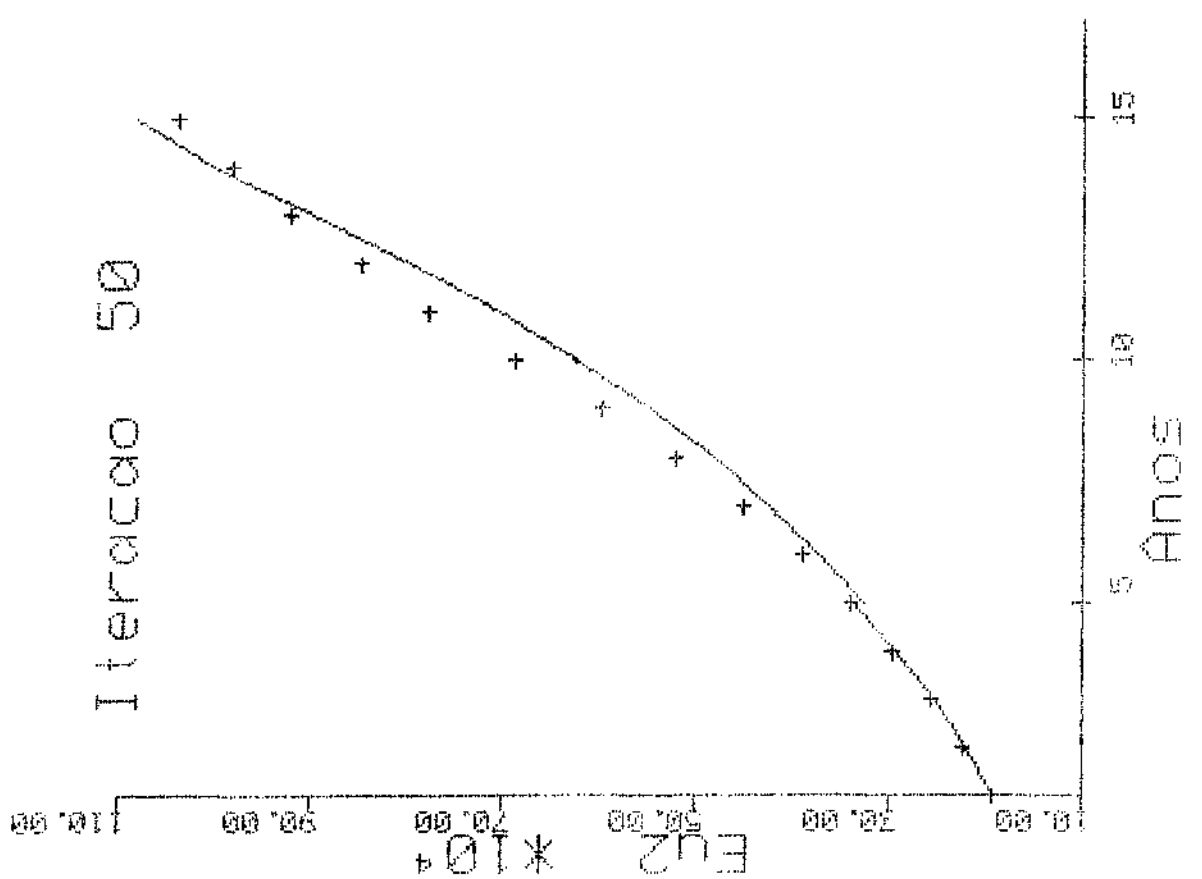
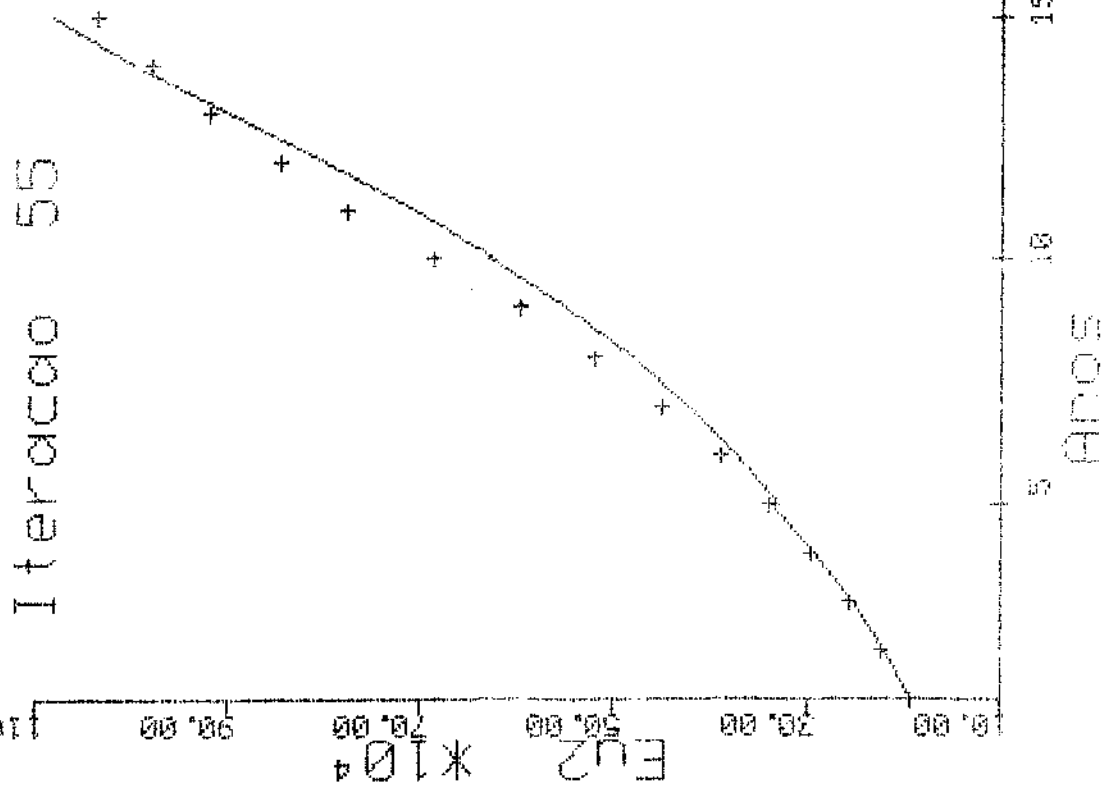
Ano

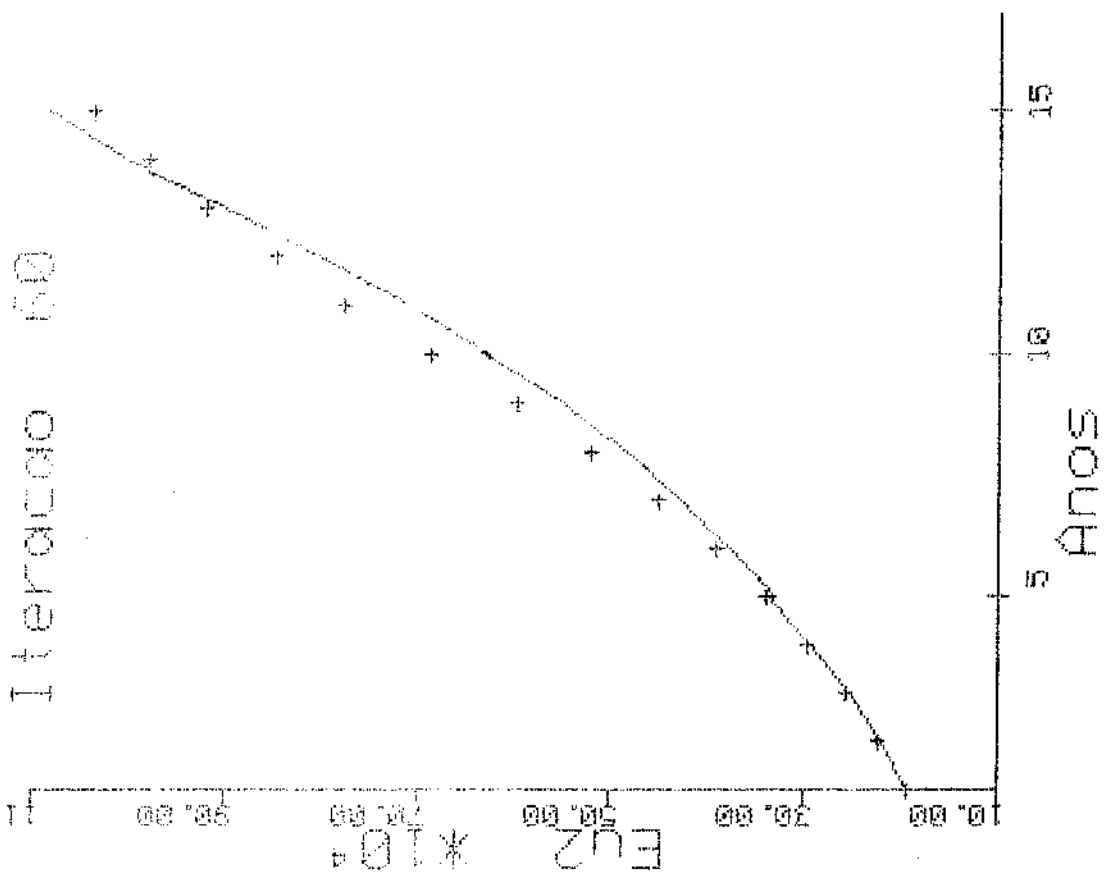
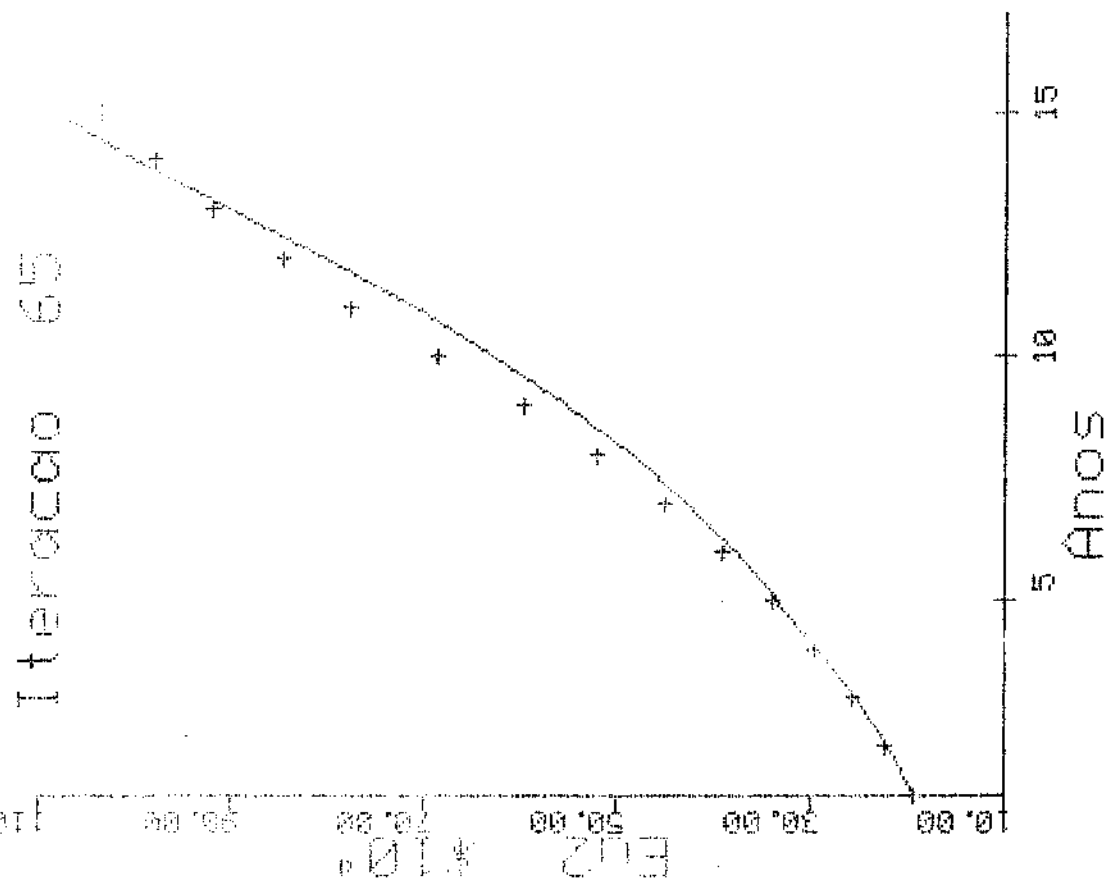
Anos

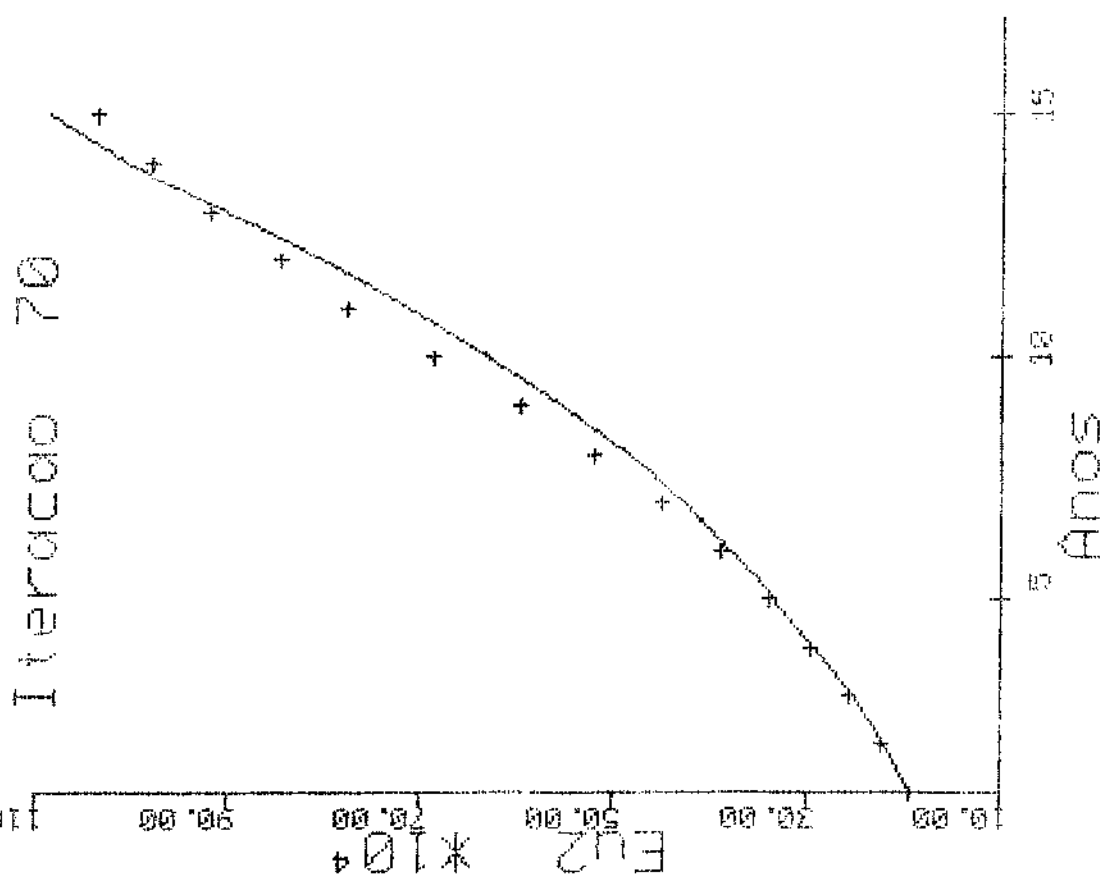
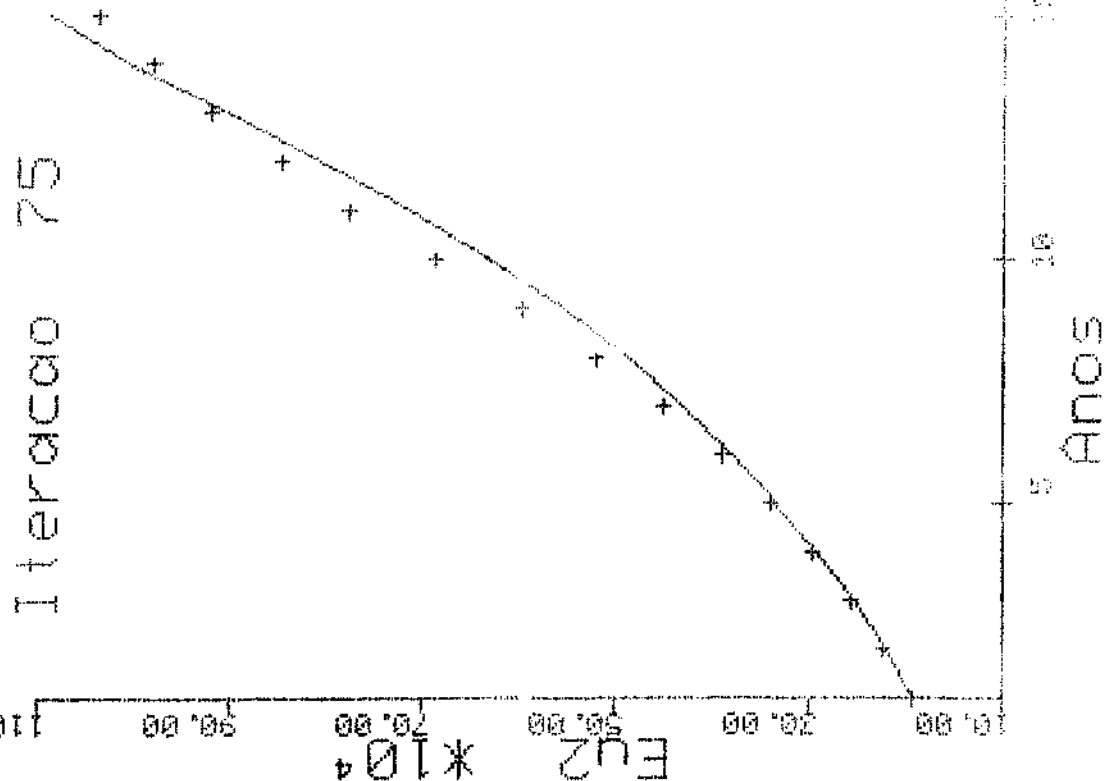
Intercal 30

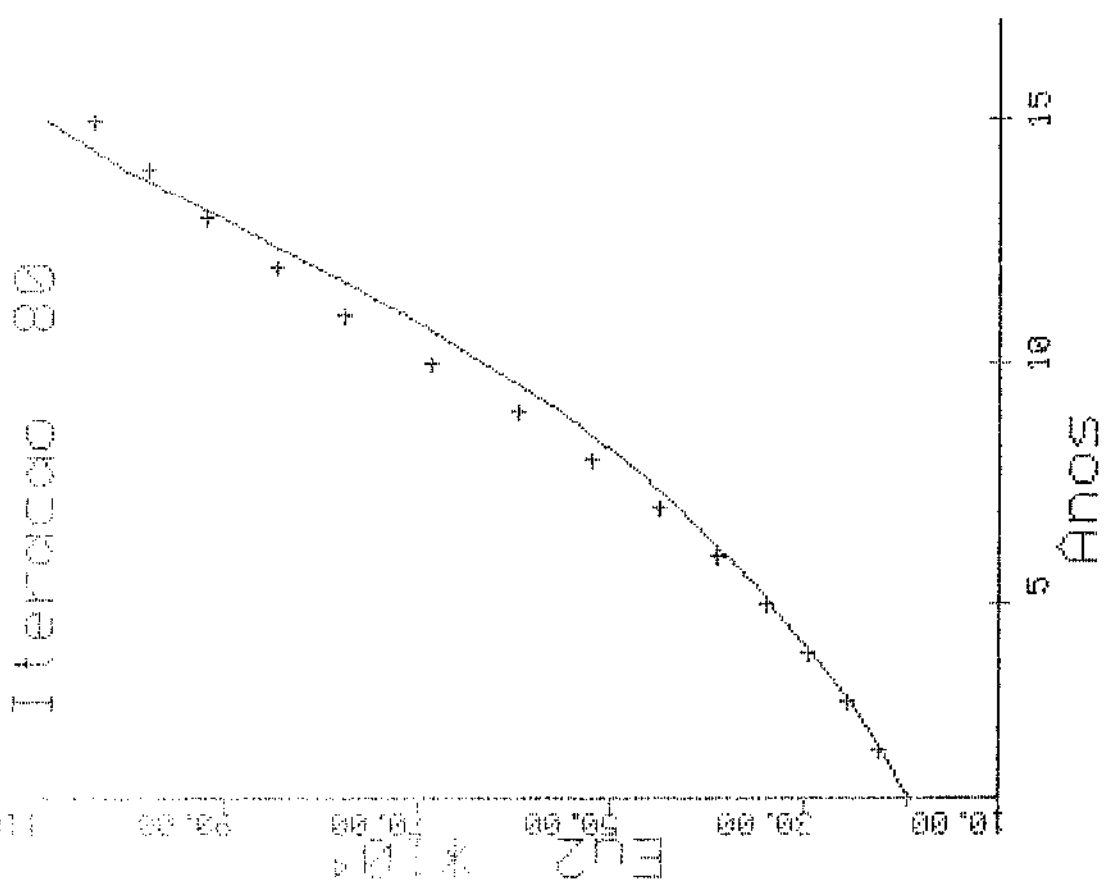


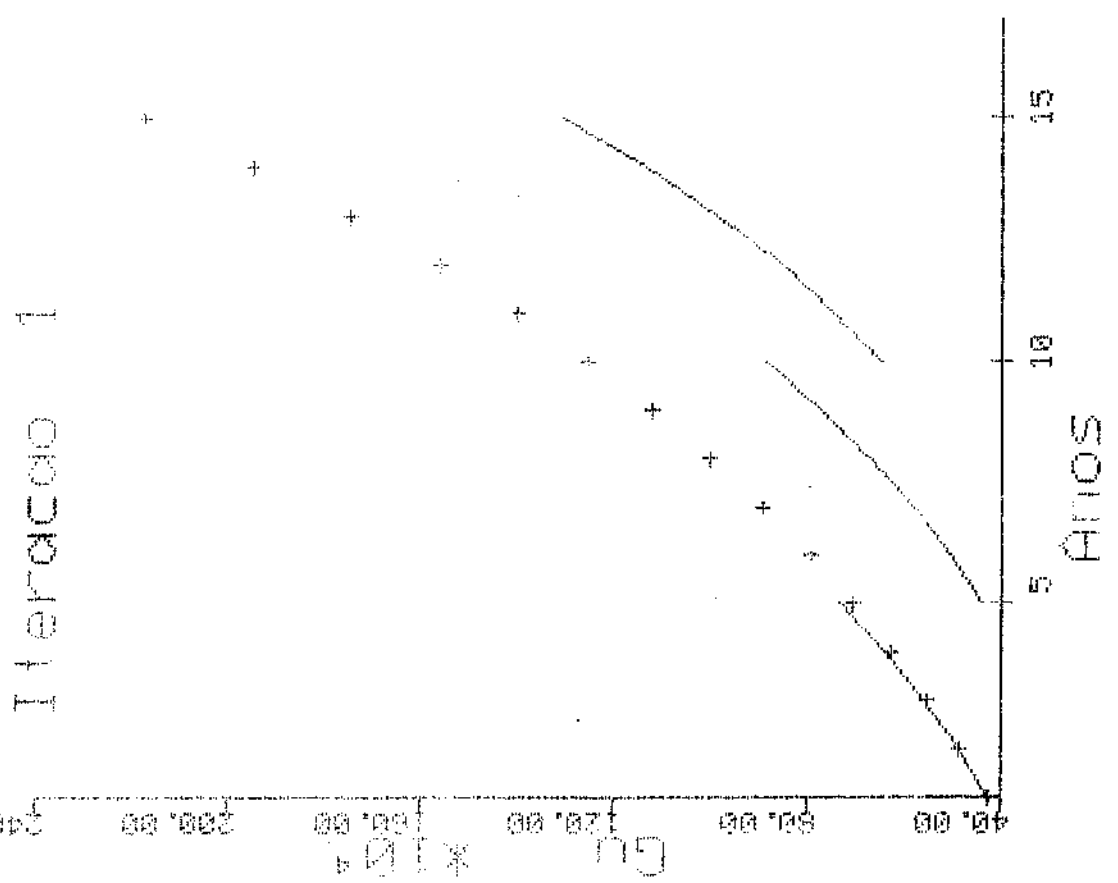
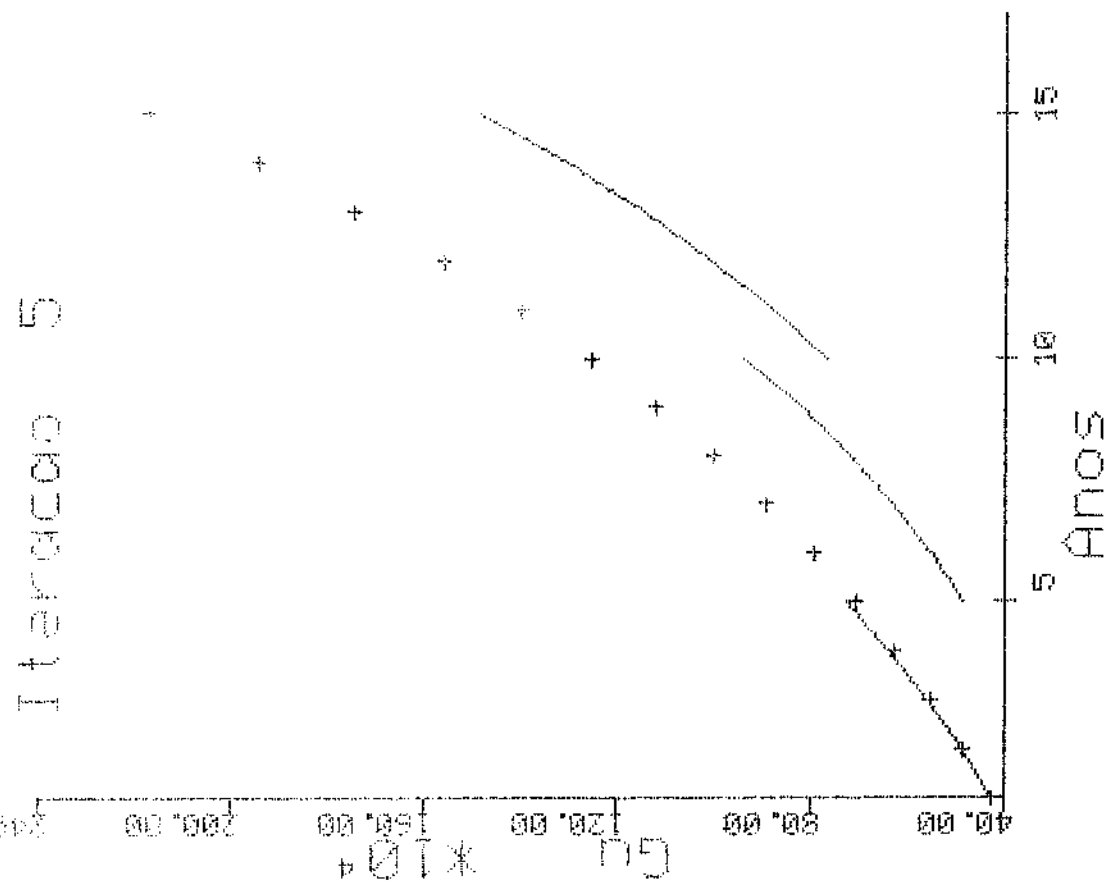




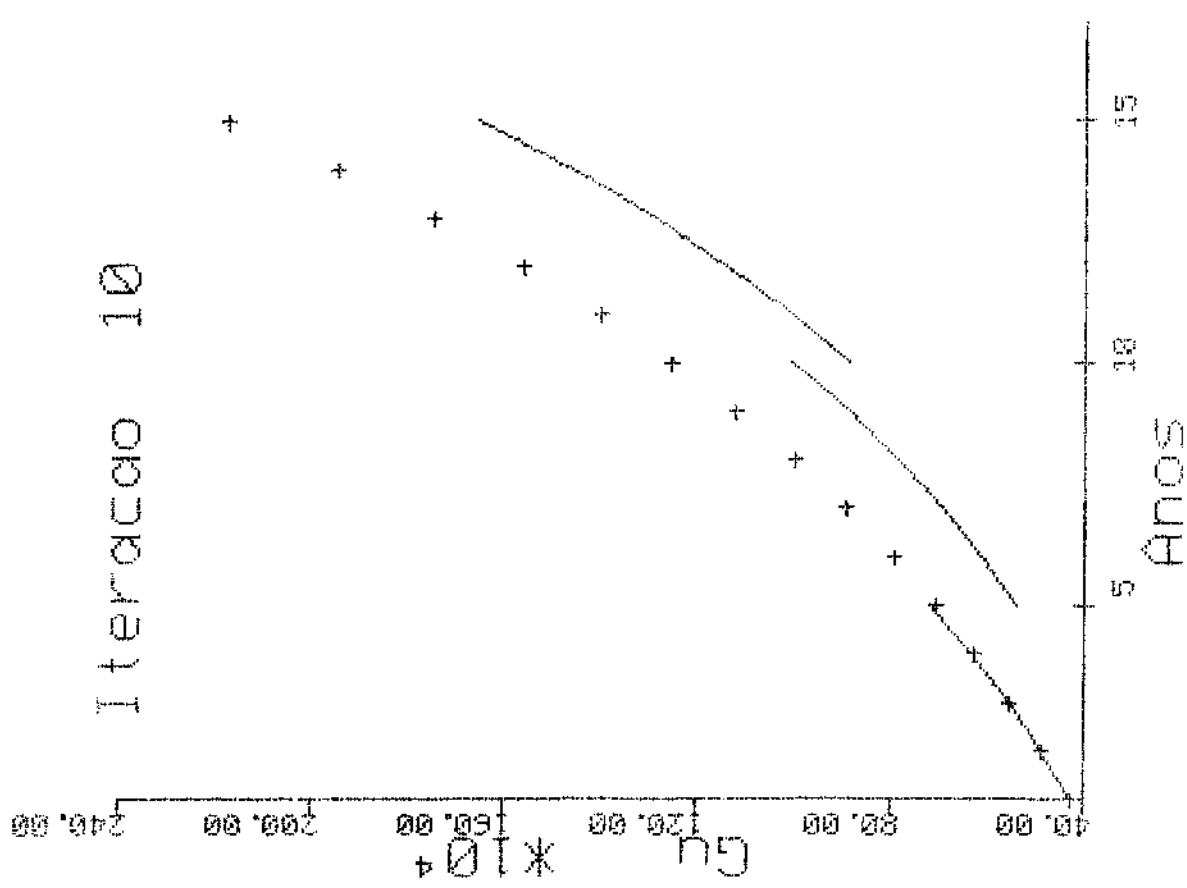




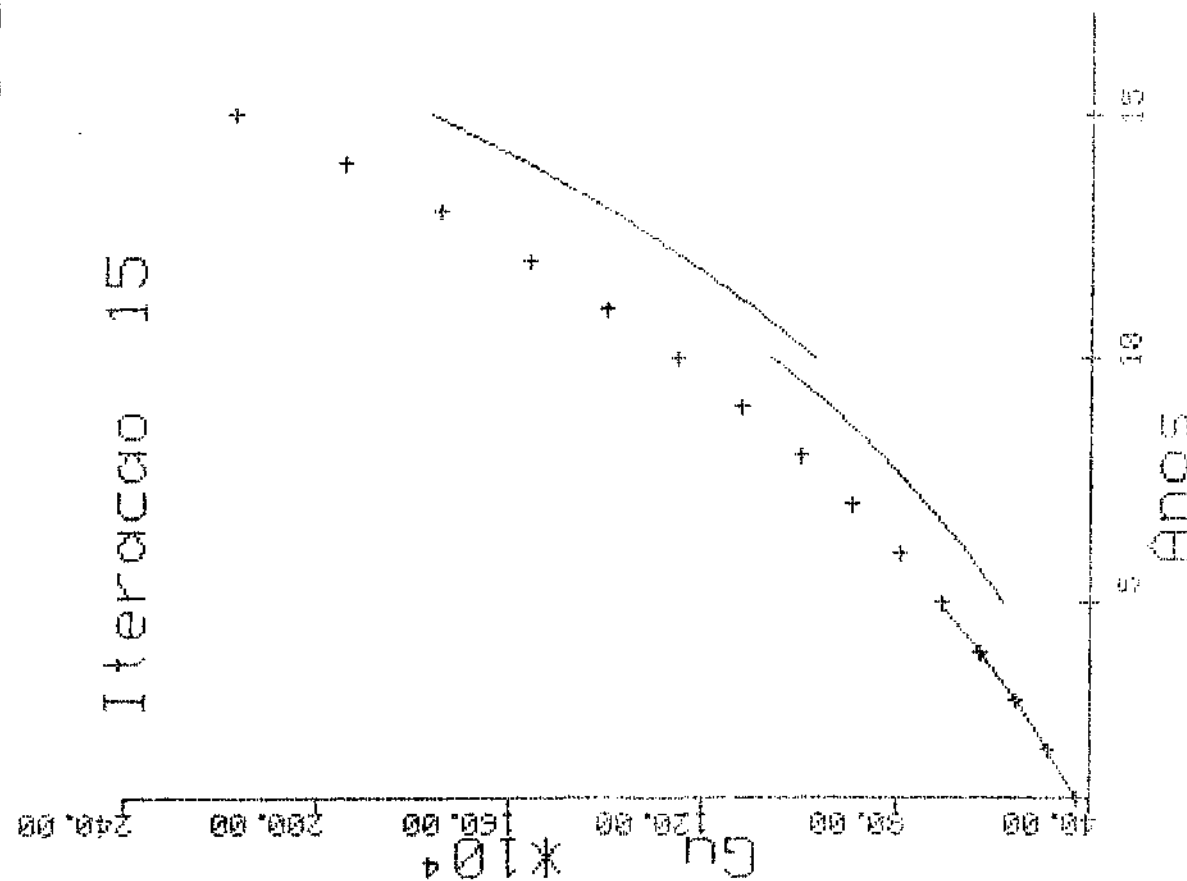




Iteracao 10



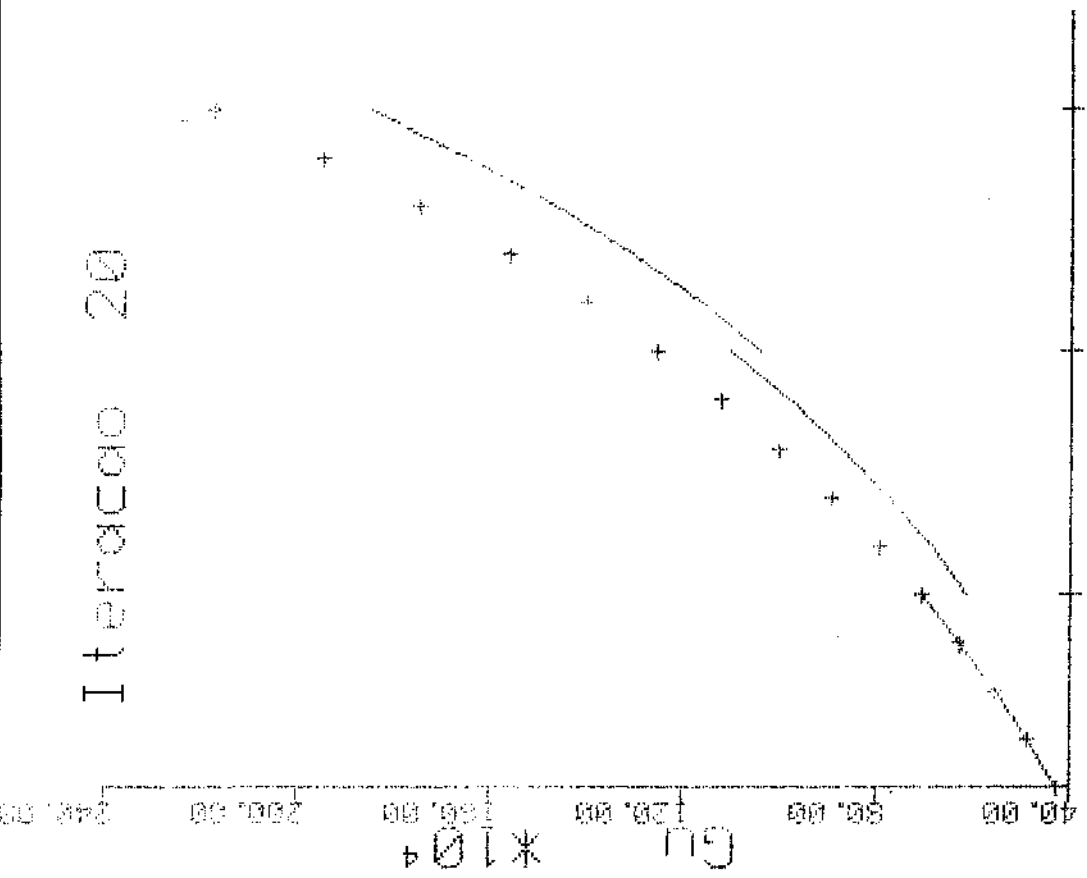
Iteracao 15



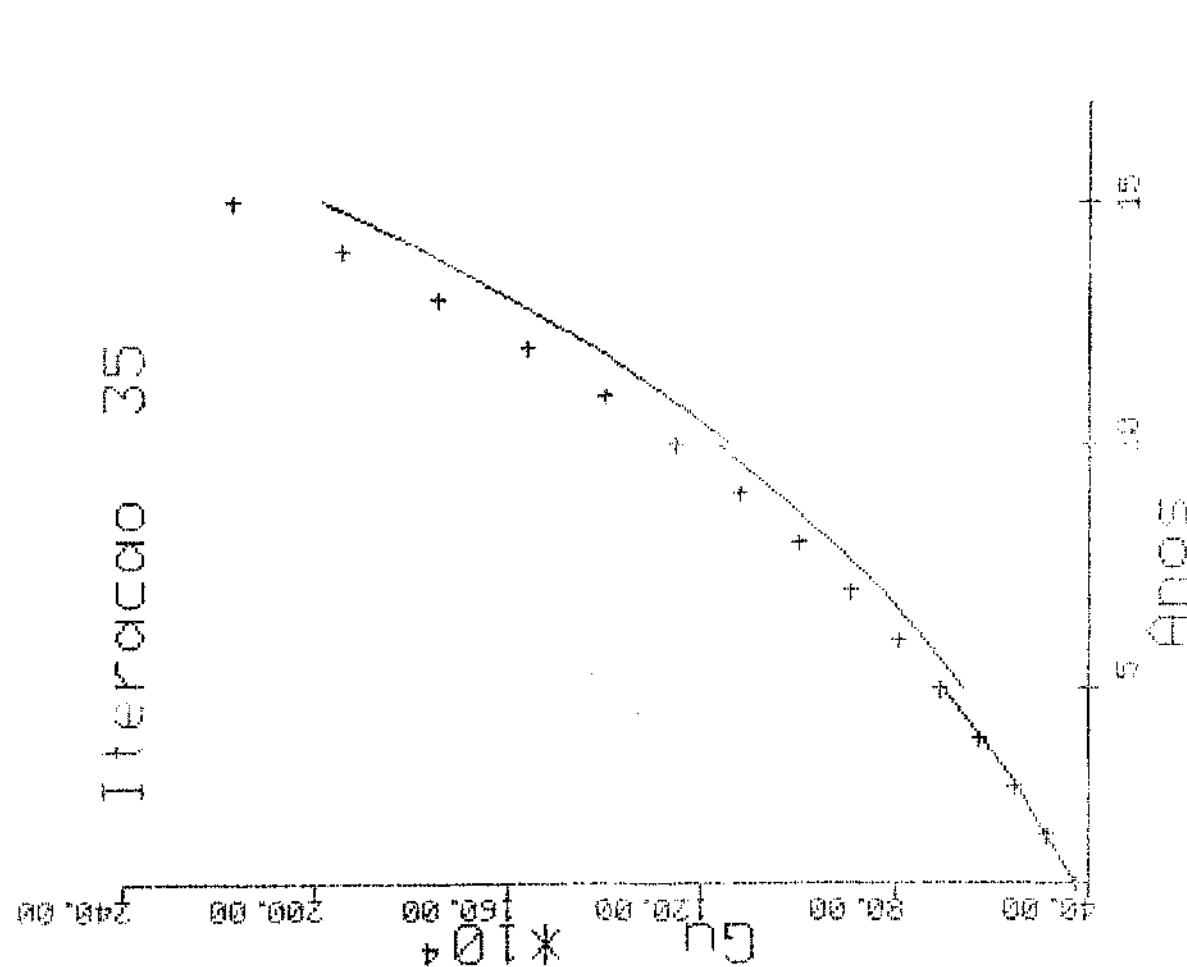
Interpreto 25



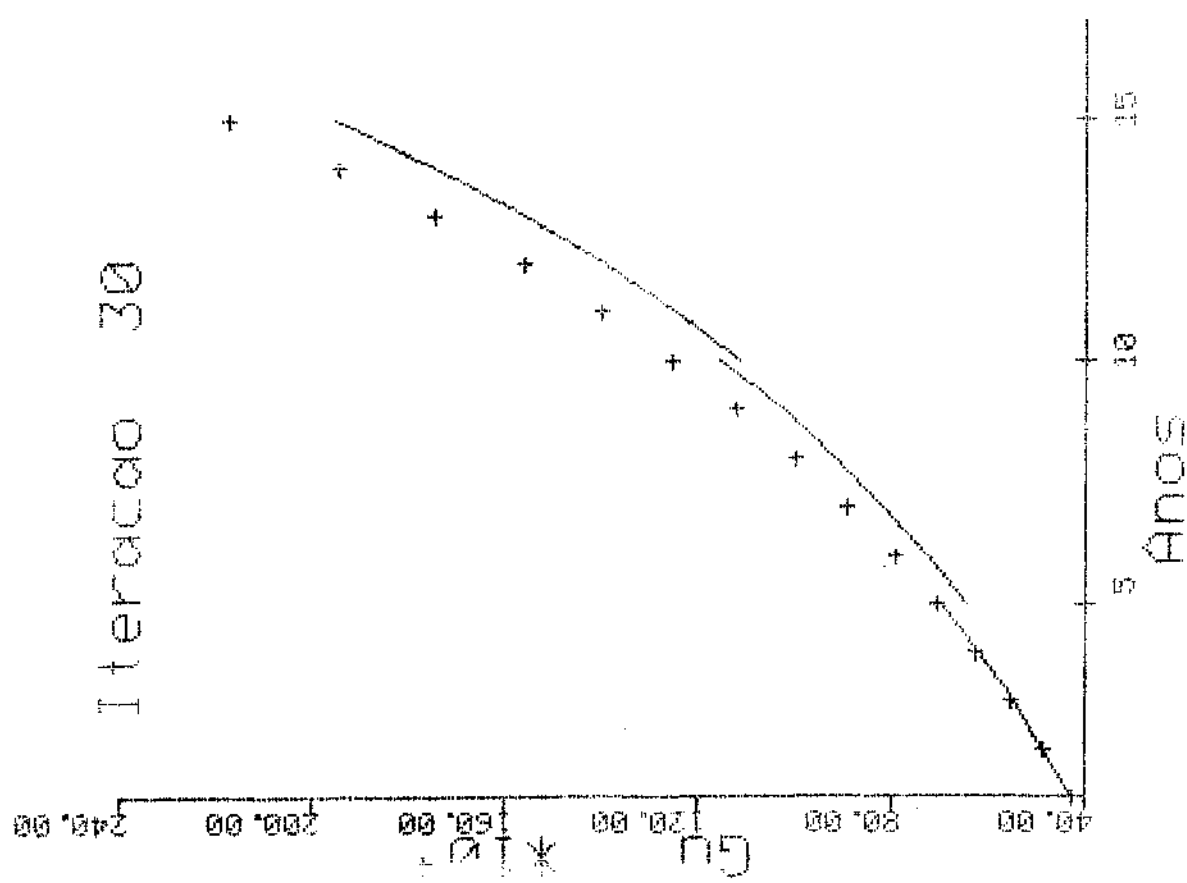
Interpreto 26

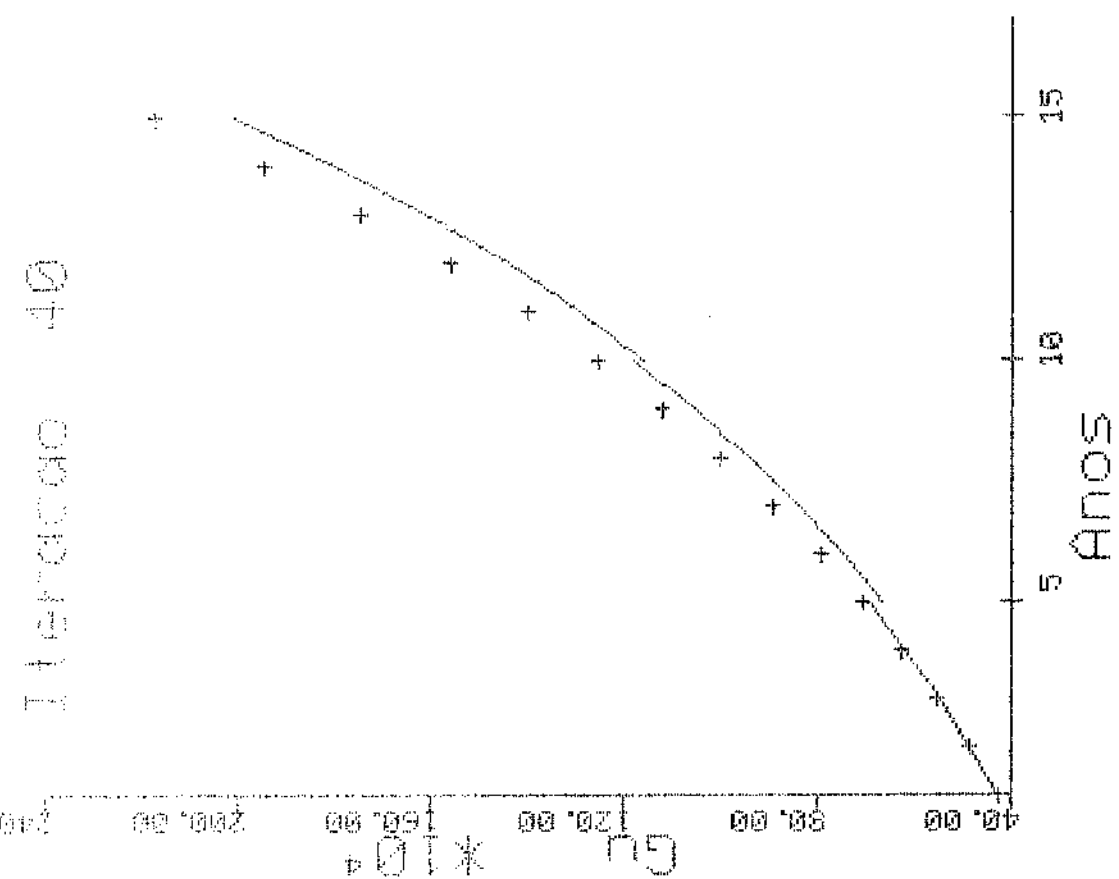
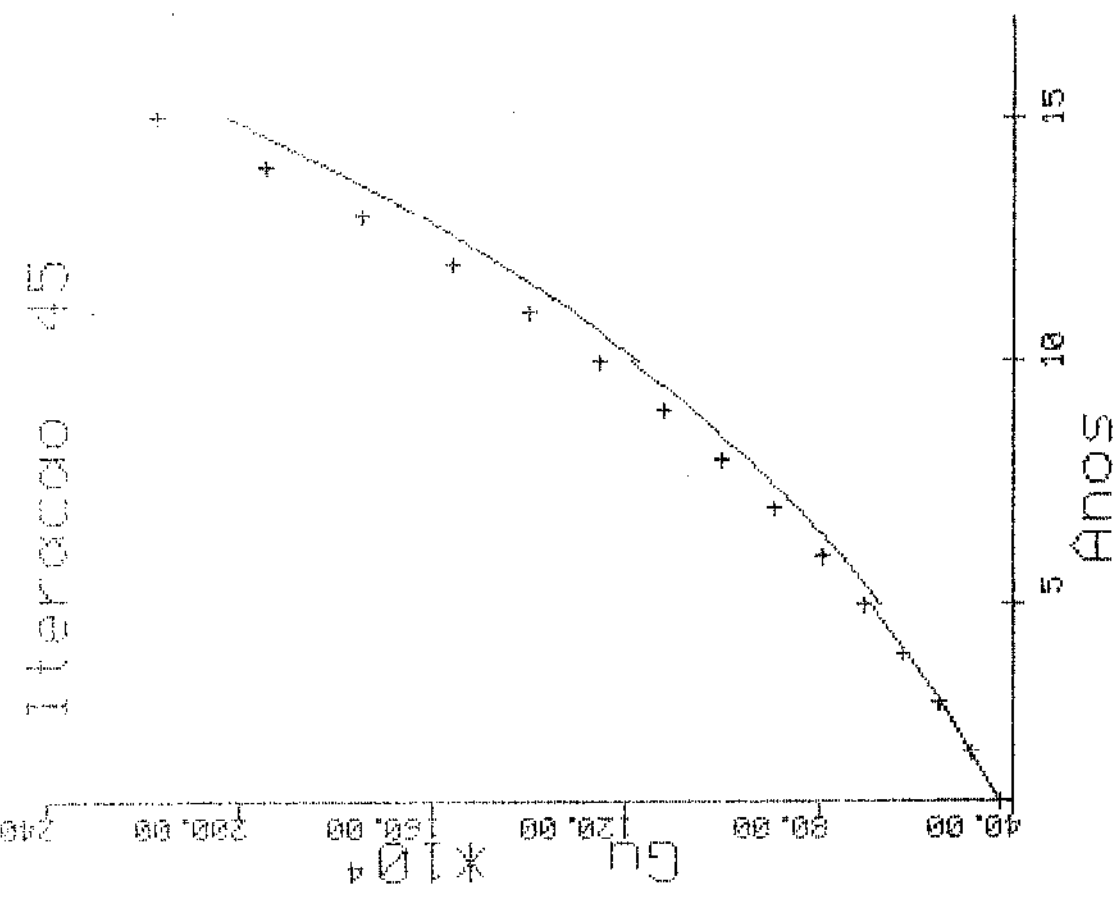


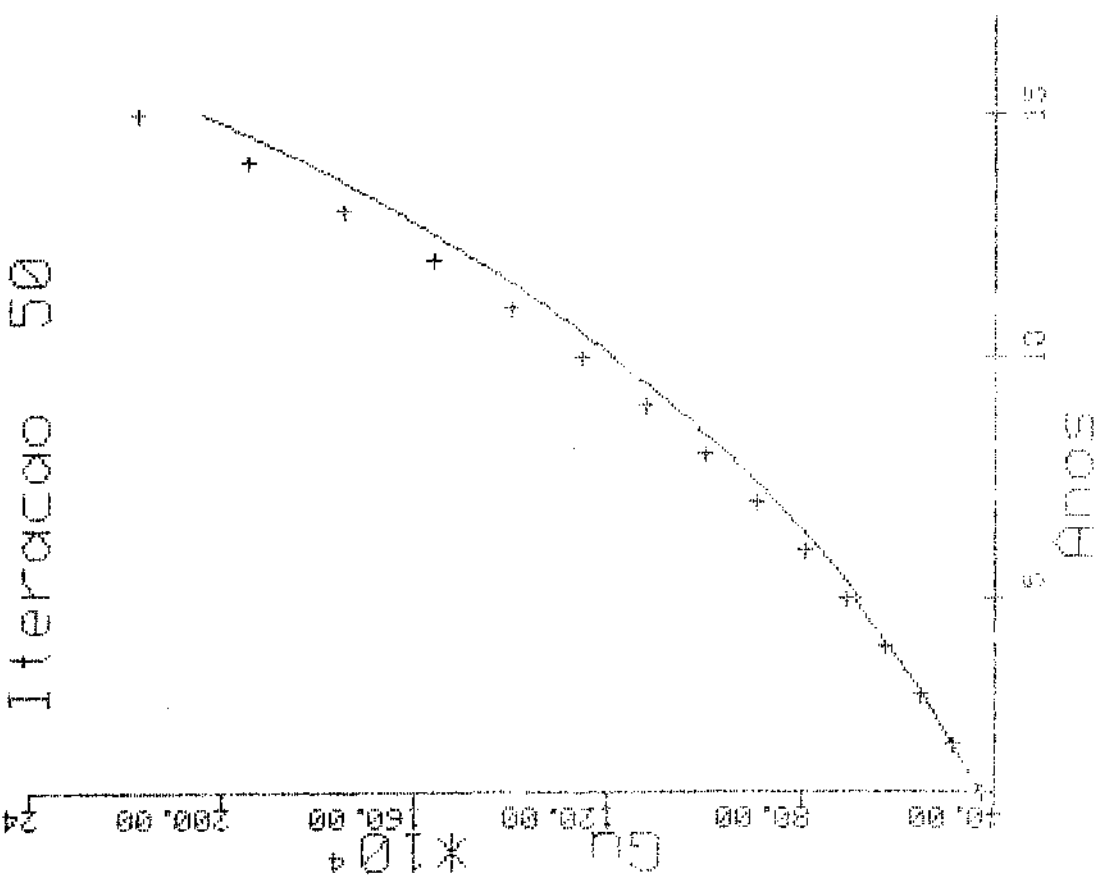
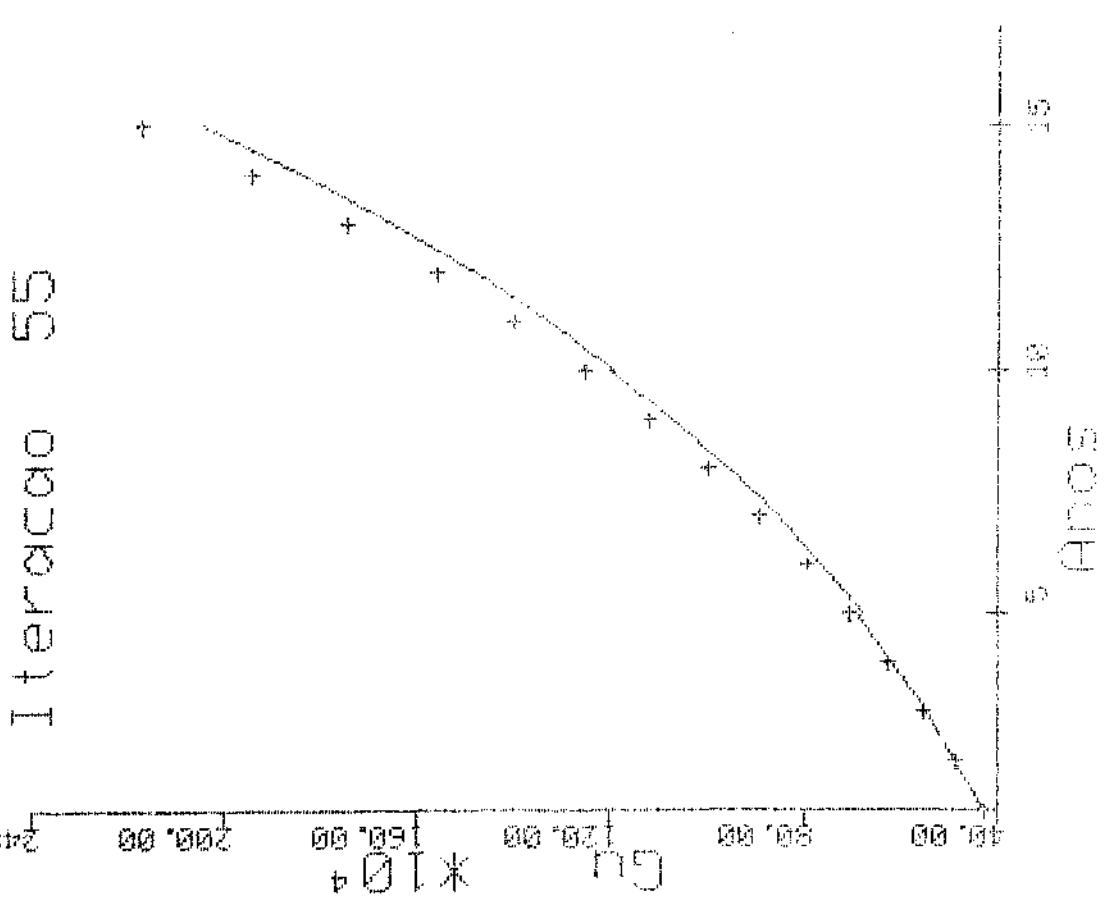
Iteração 35

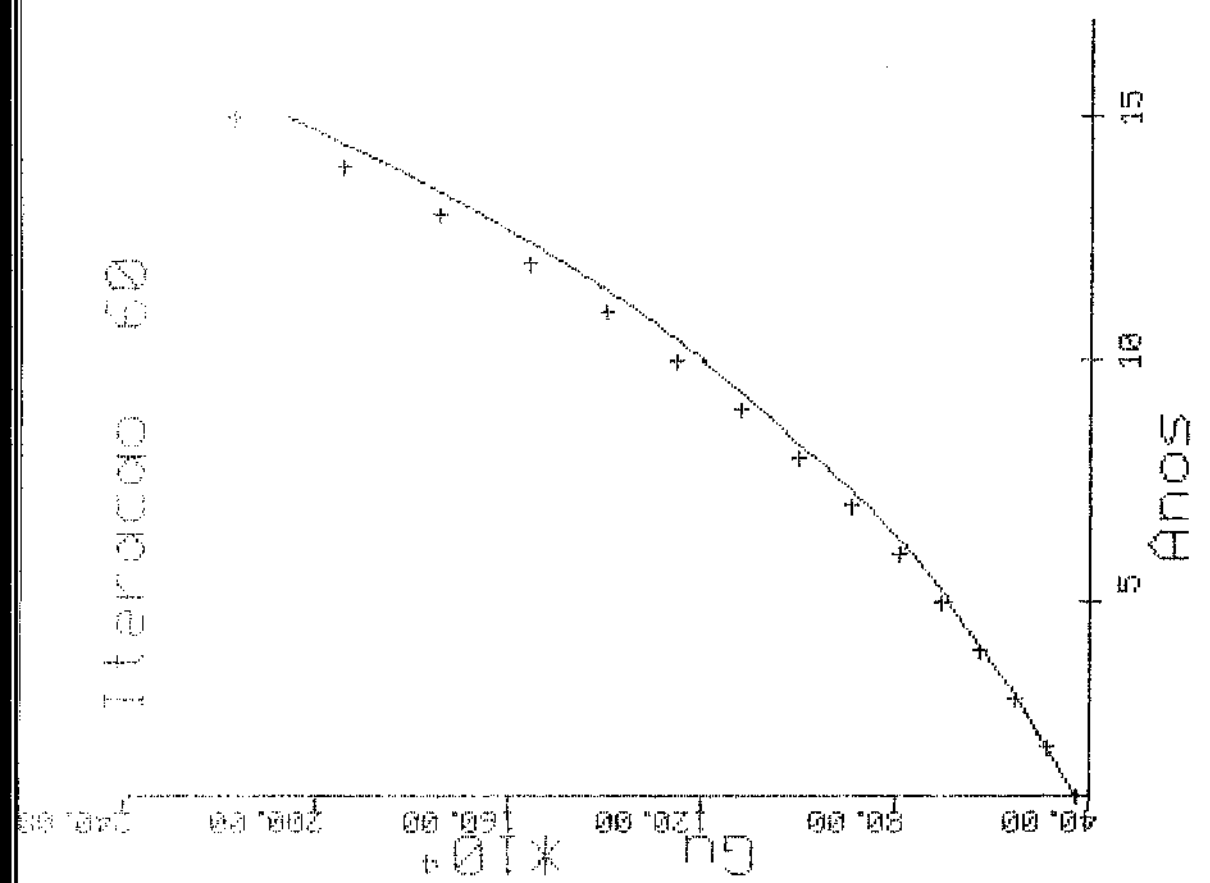
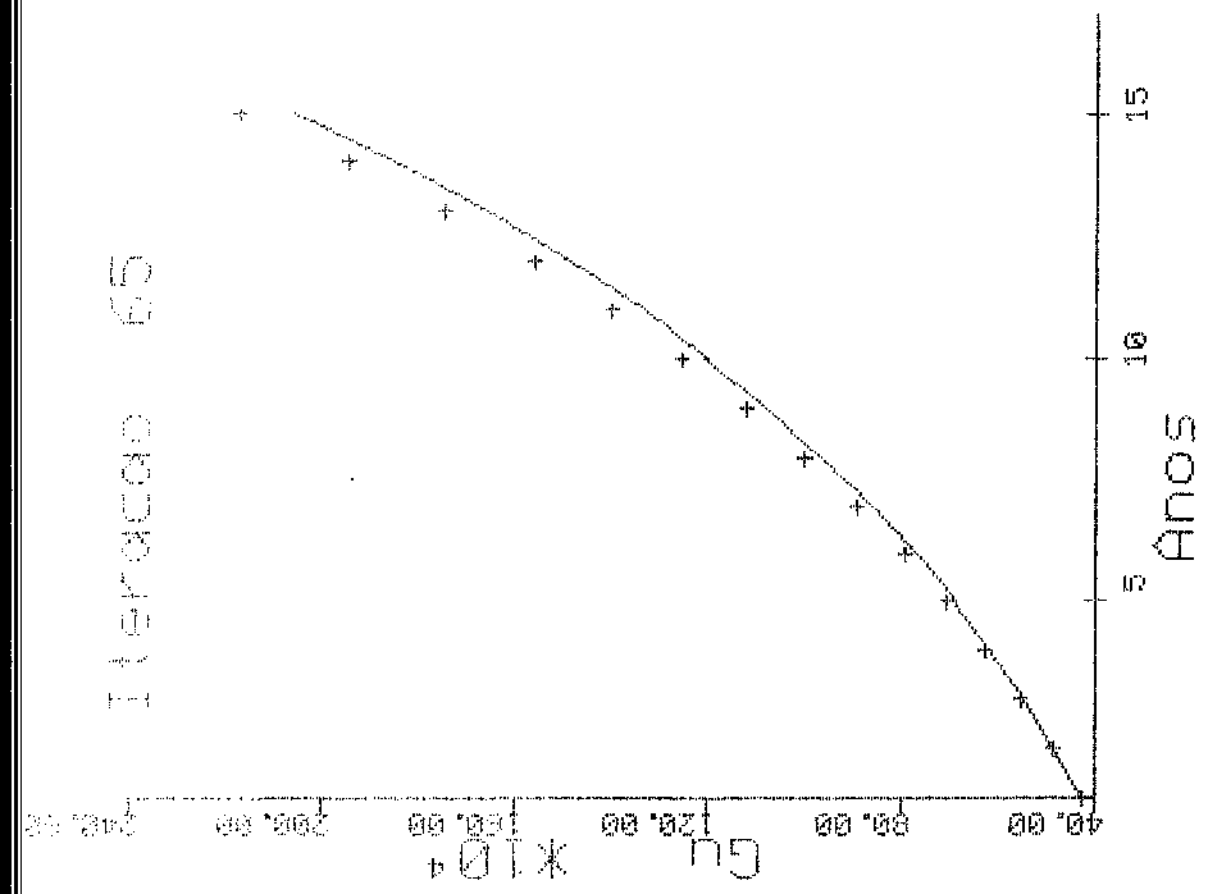


Iteração 30

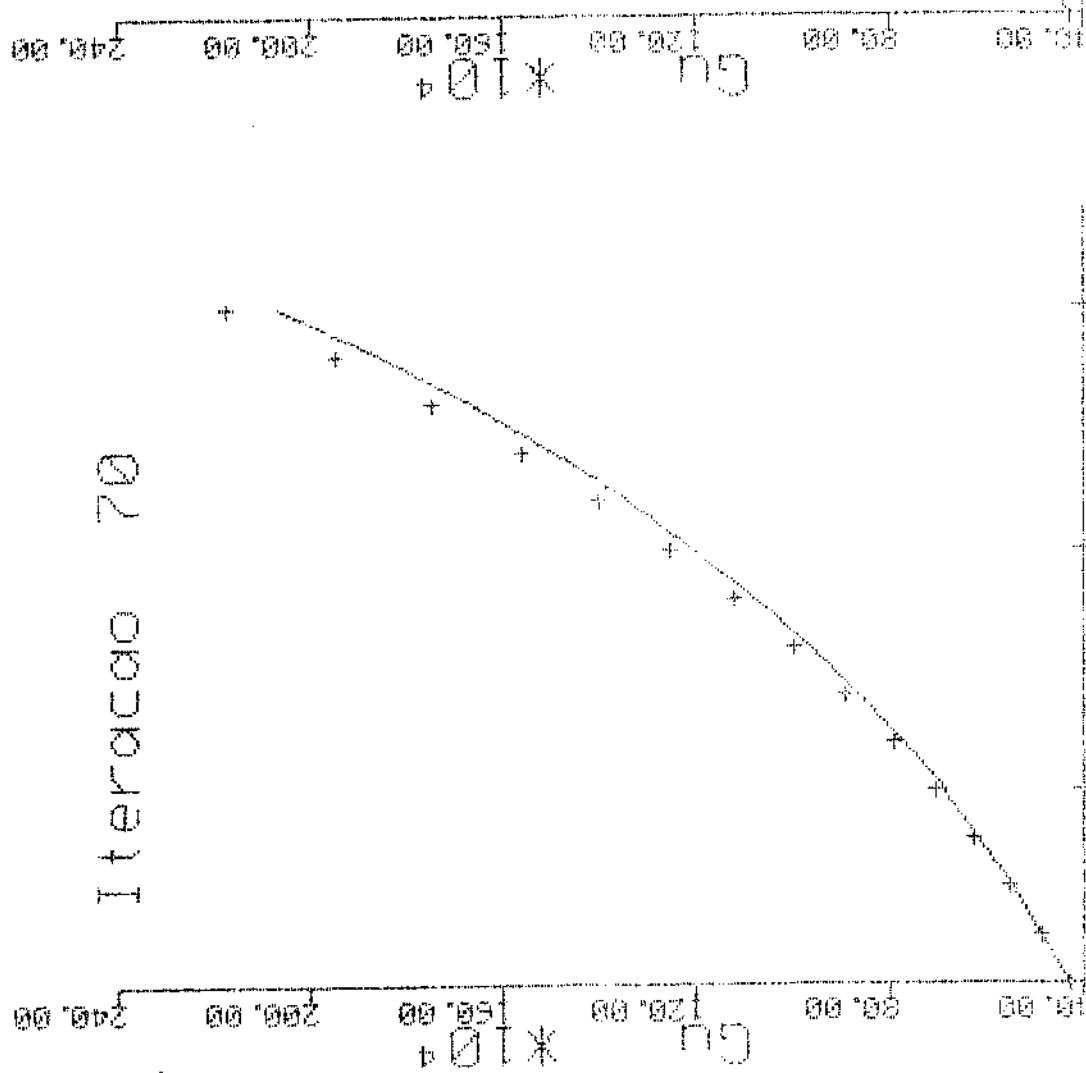




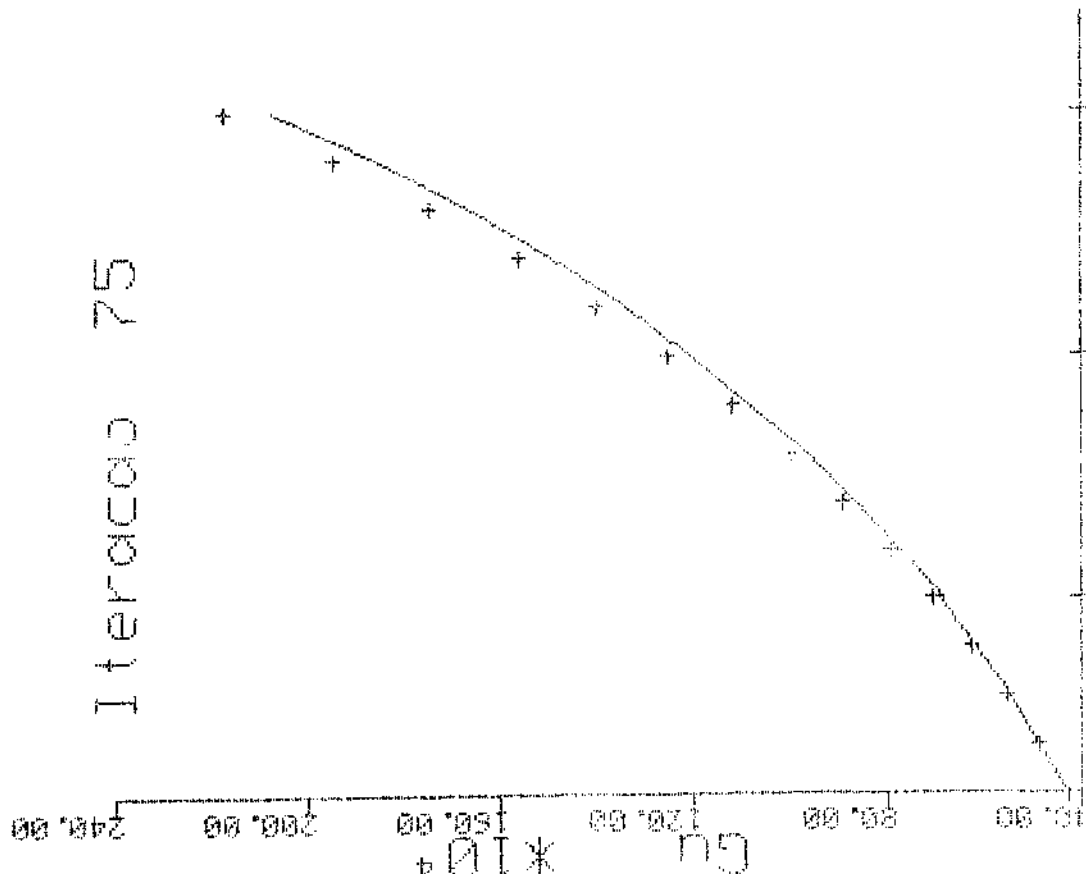


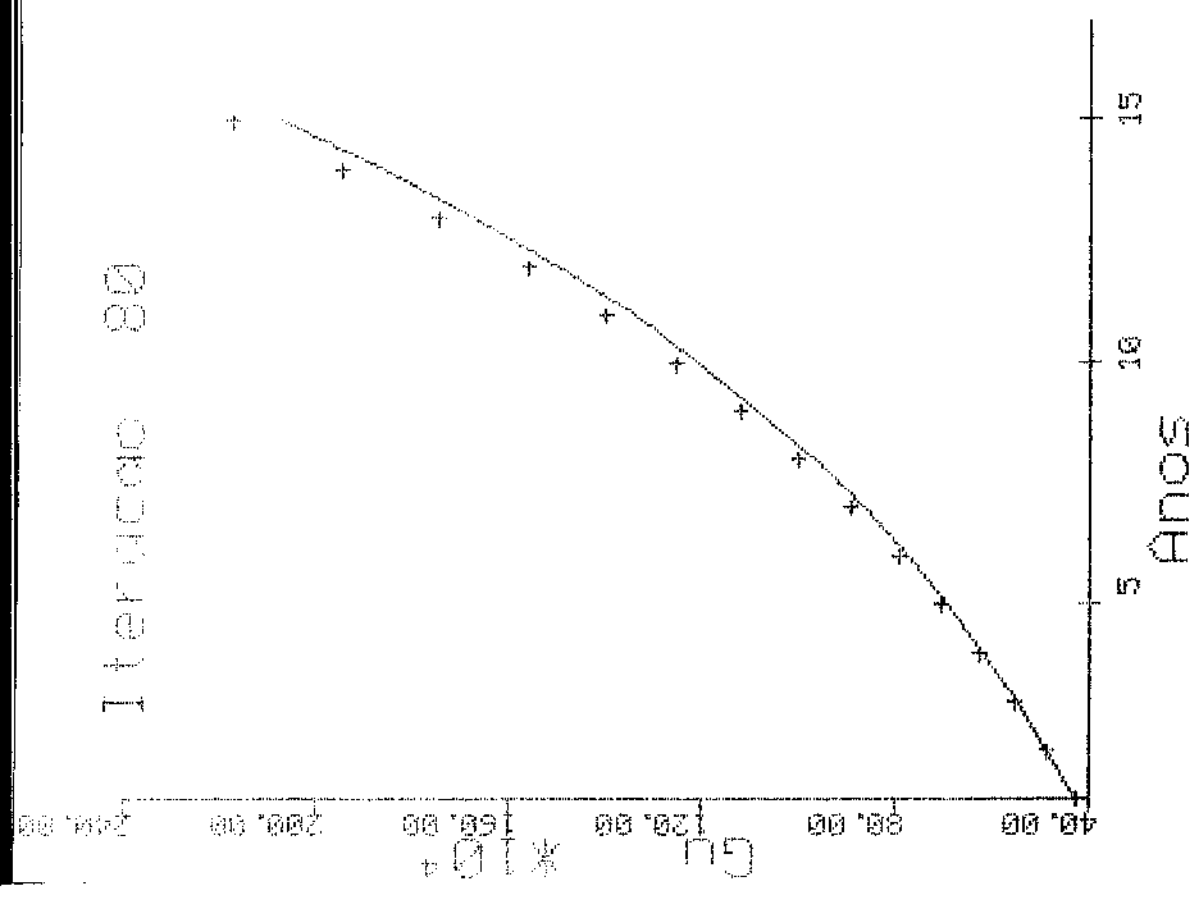


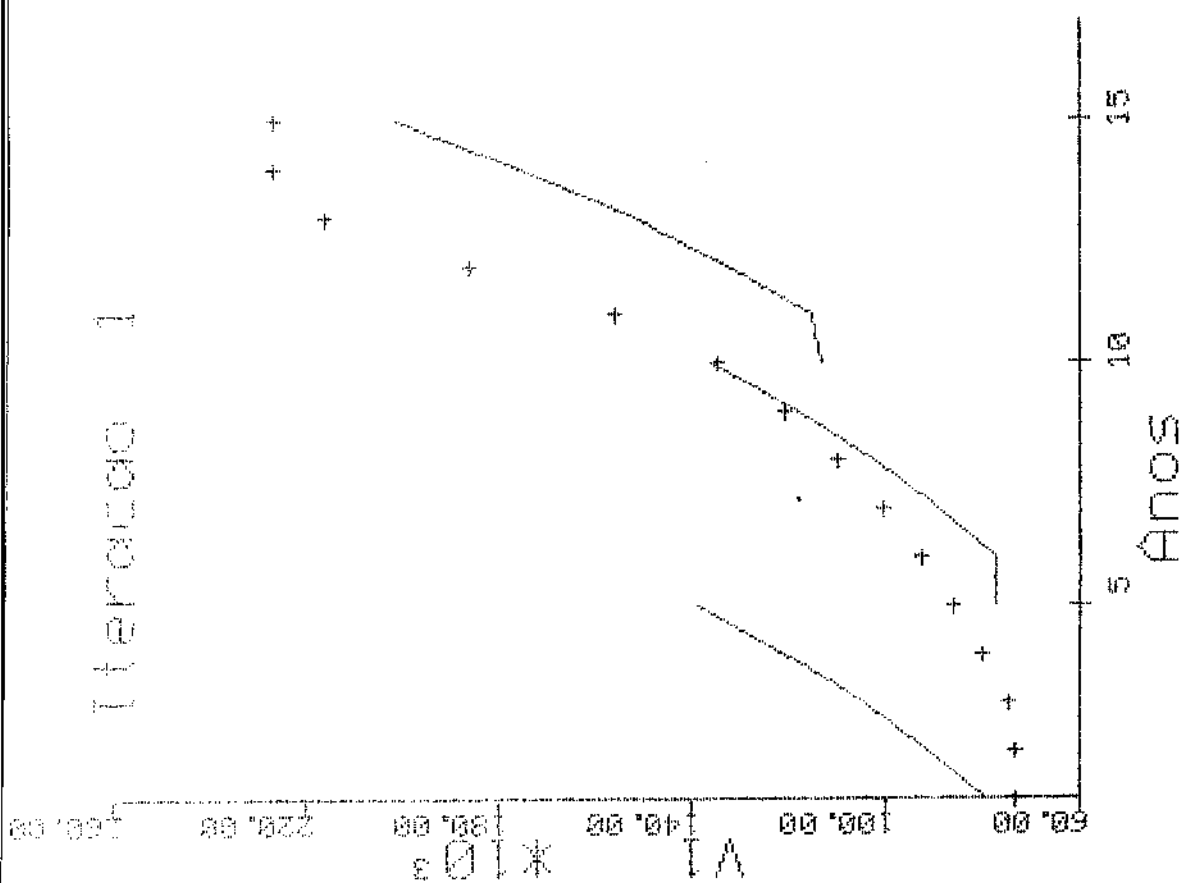
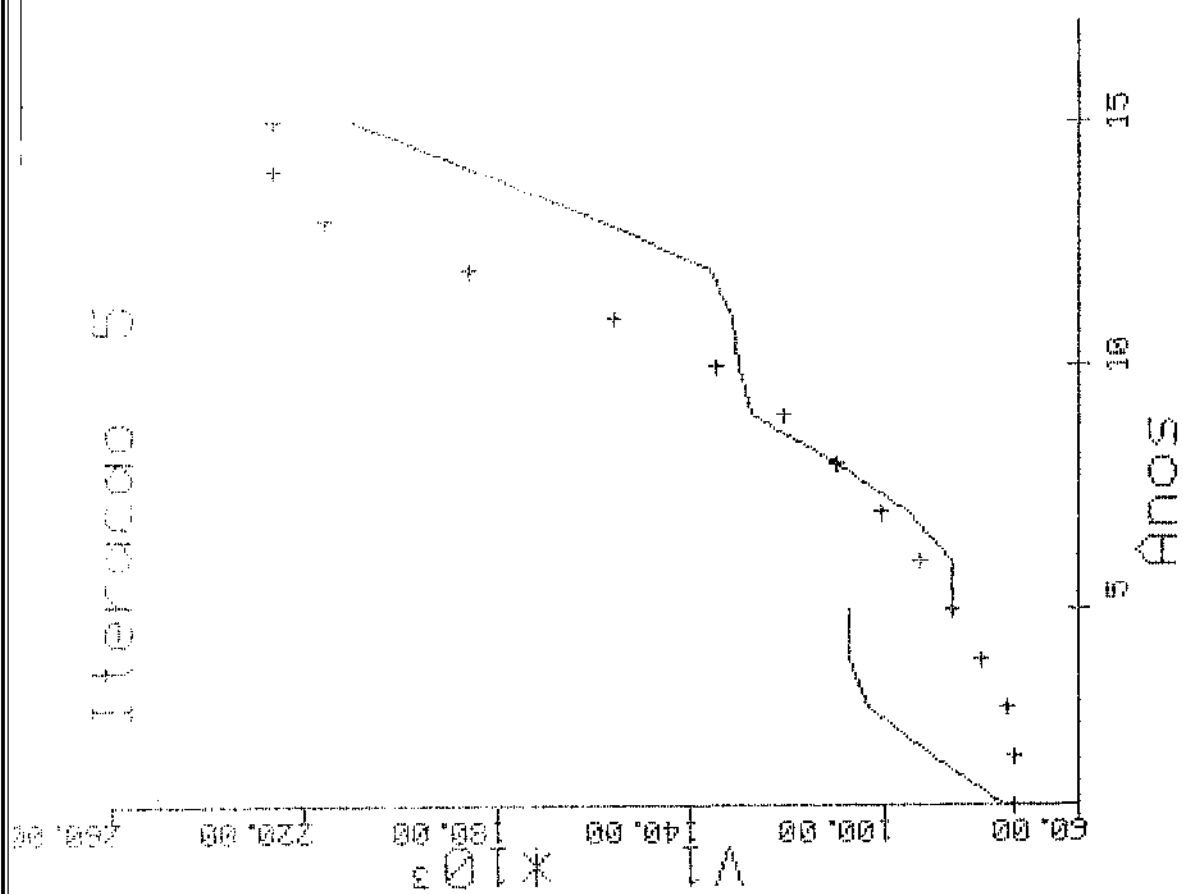
Iteração 70



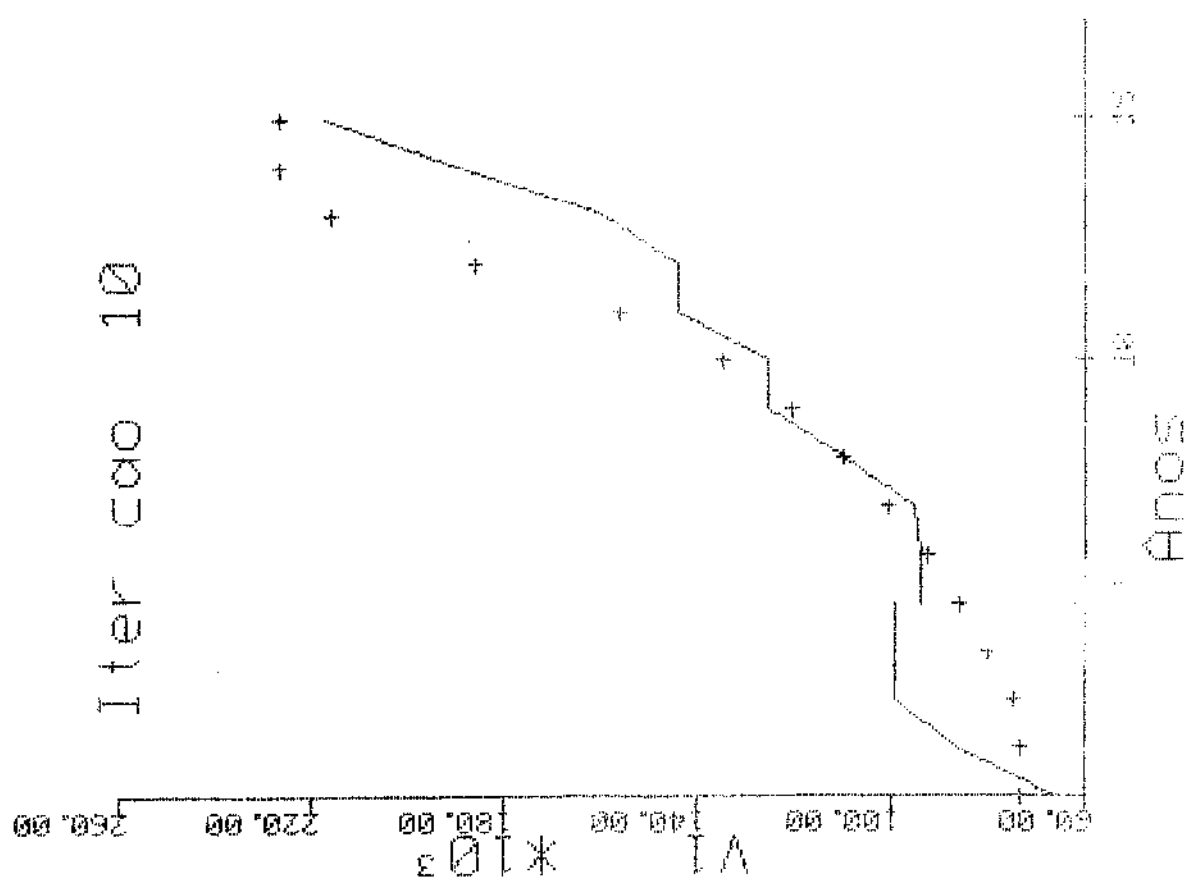
Iteração 75



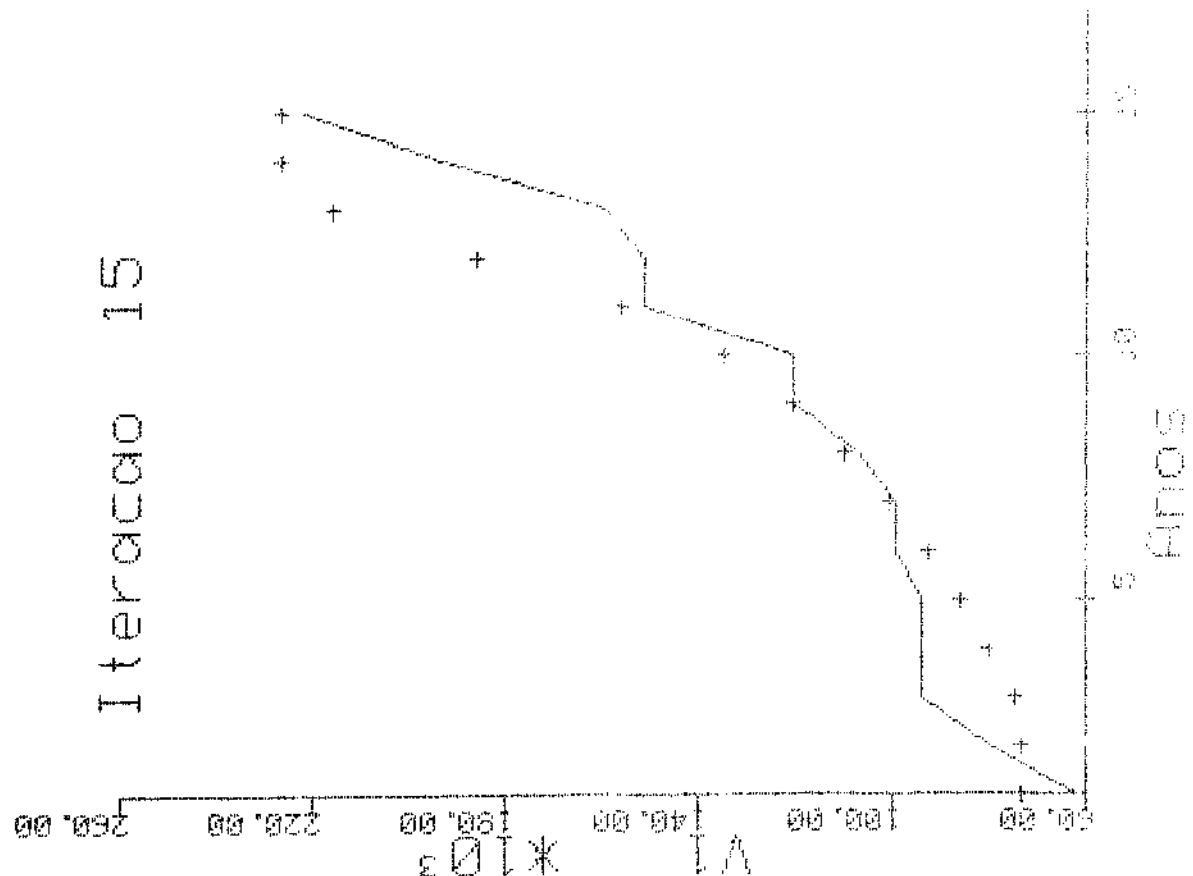


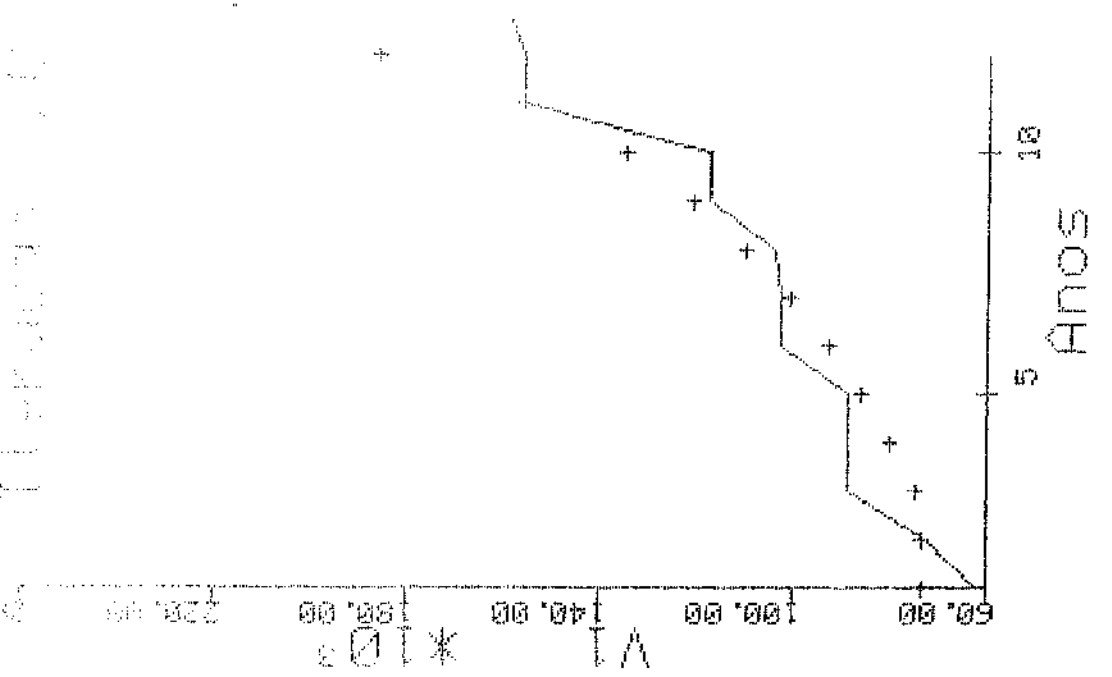
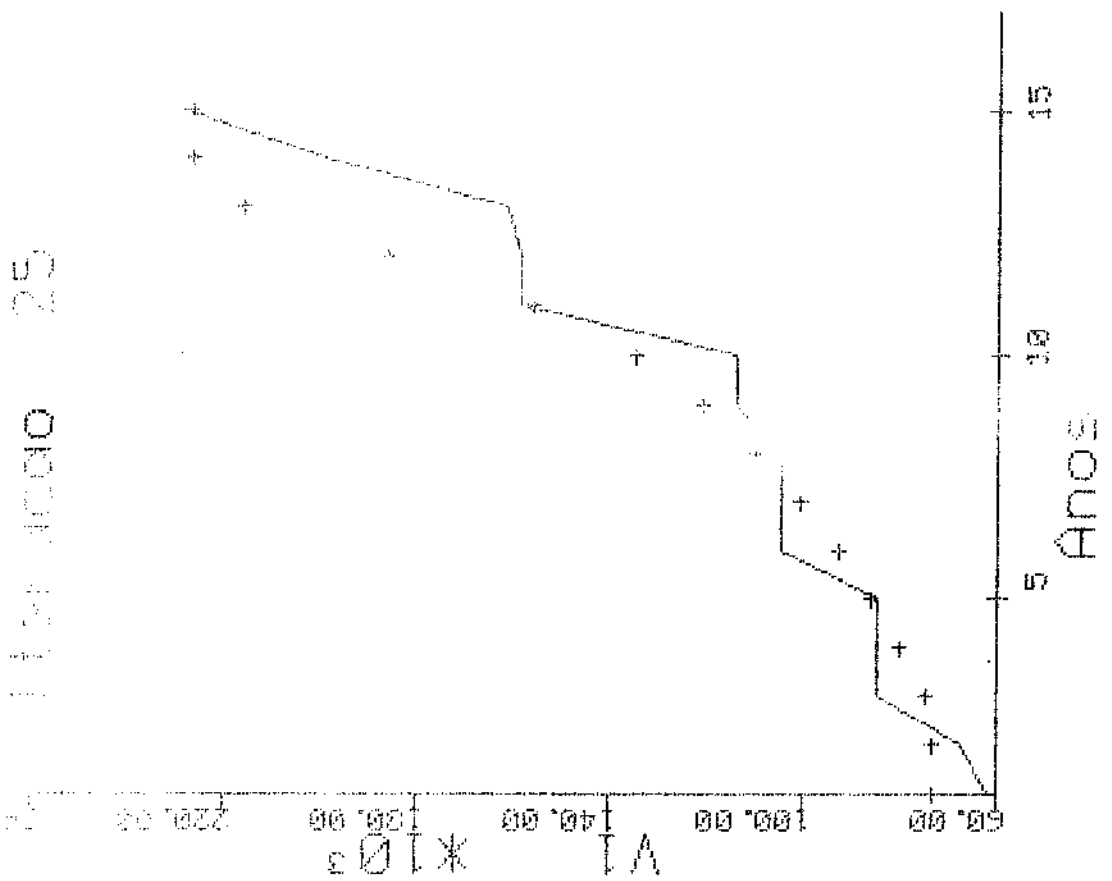


Litter CCO 10

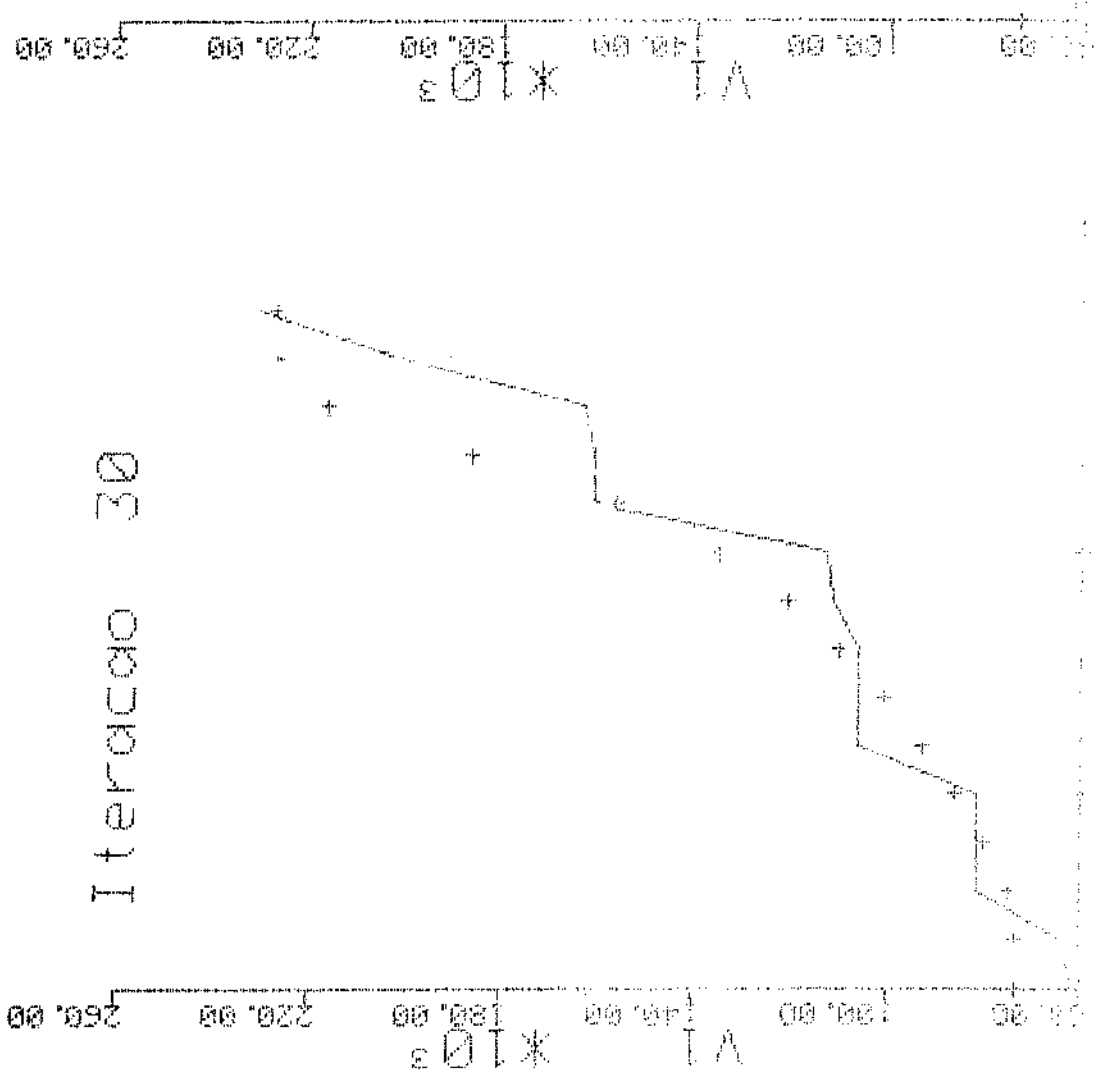


Litter CCO 15

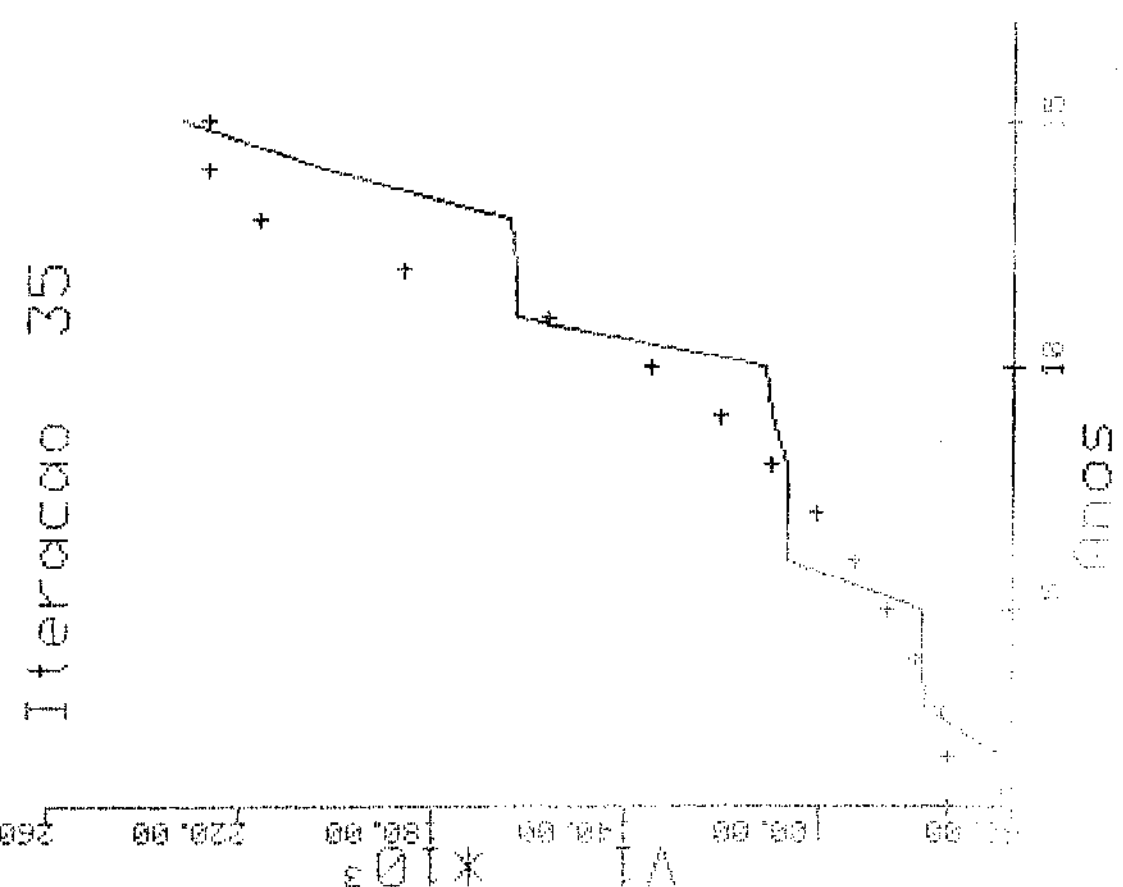


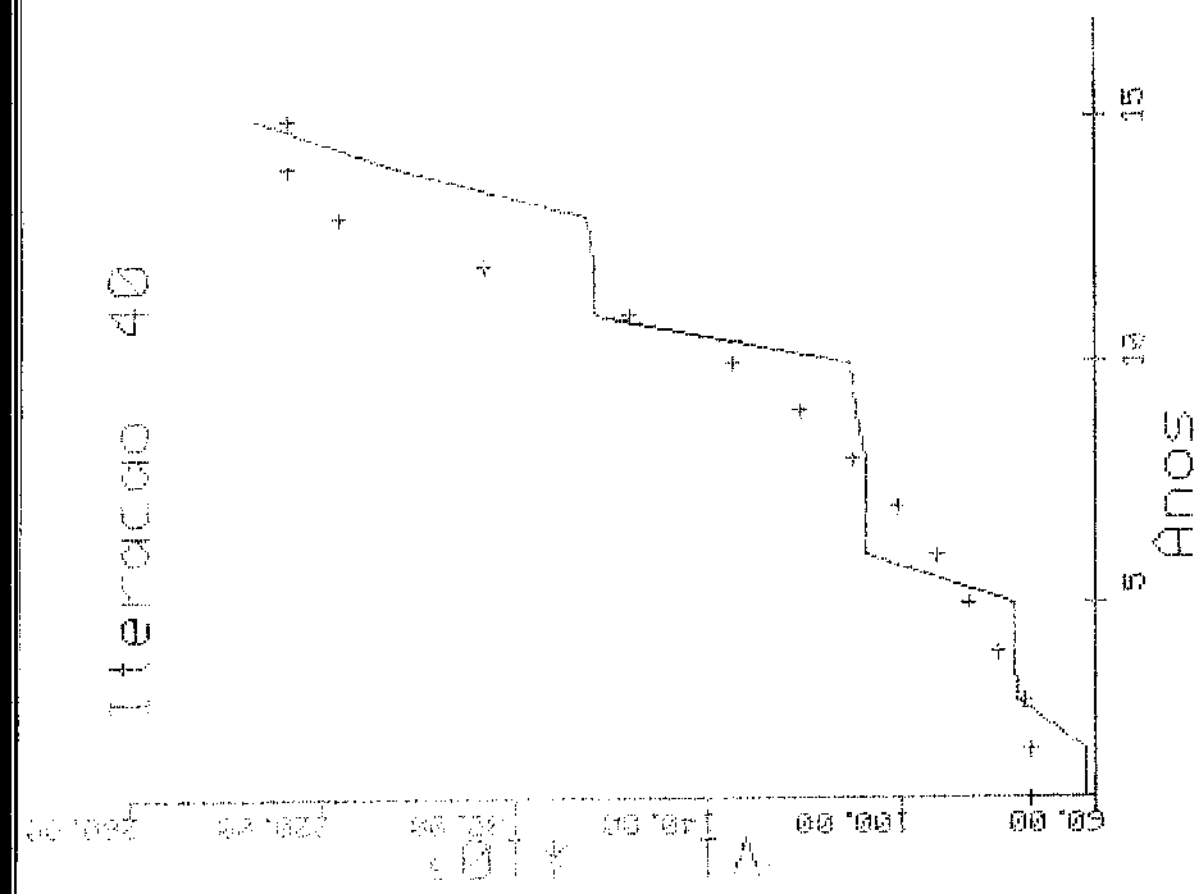
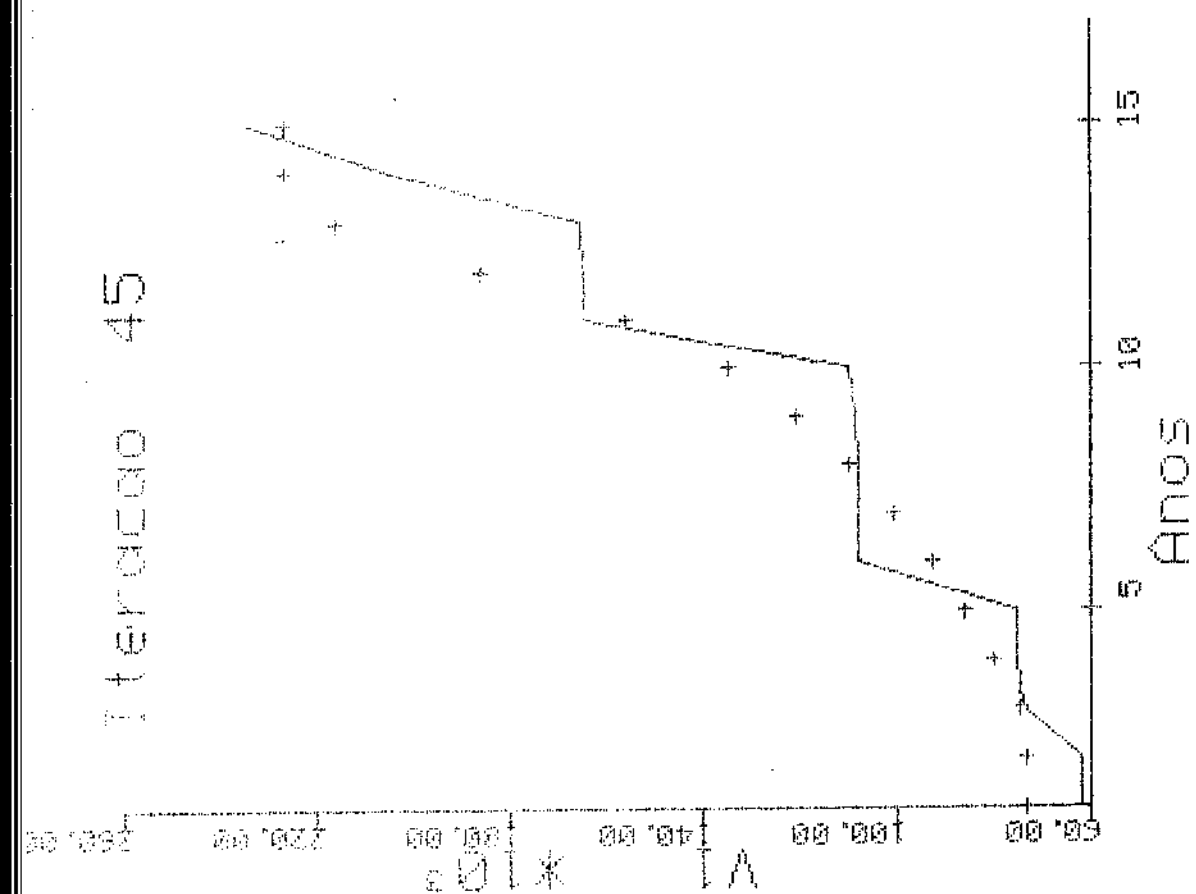


Interacao 30



Interacao 35





55

Intercacao

V10 \* 100.00 148.00 180.00 220.00 260.00

15

10

5

Anos

50

Intercacao

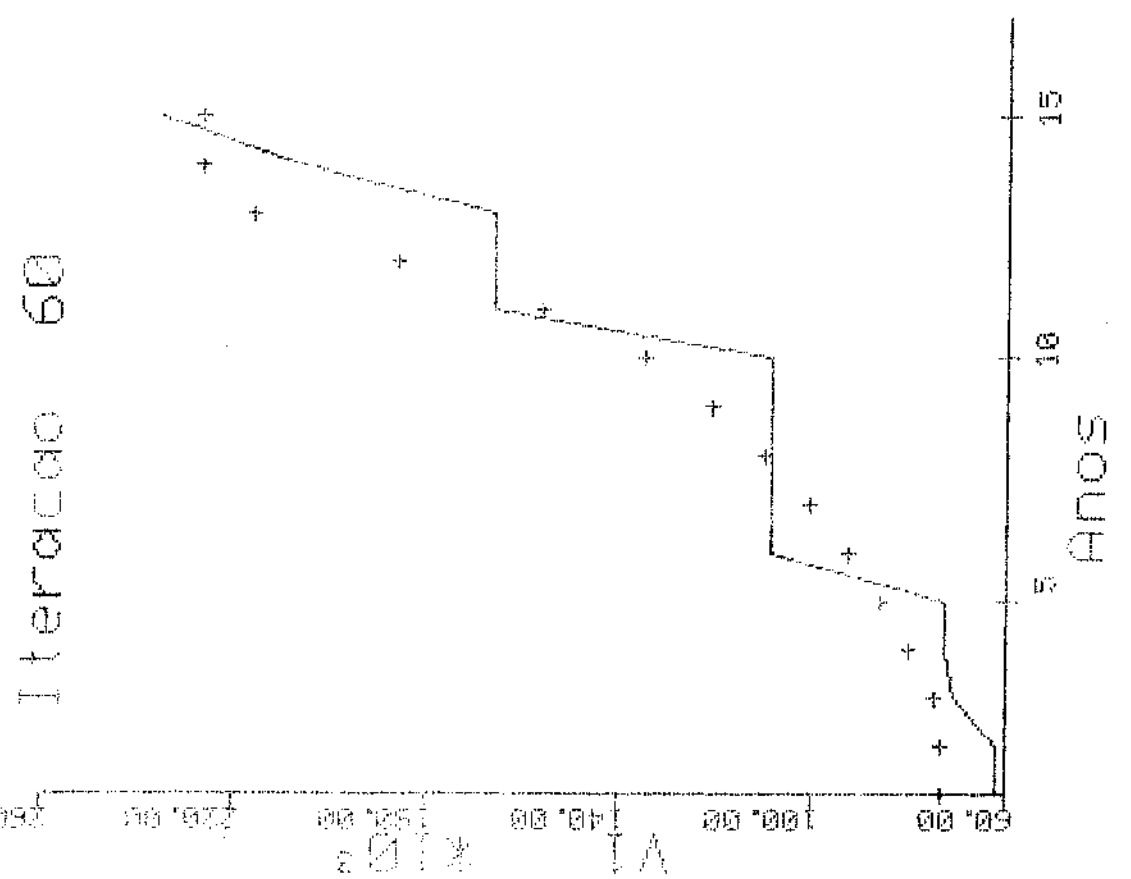
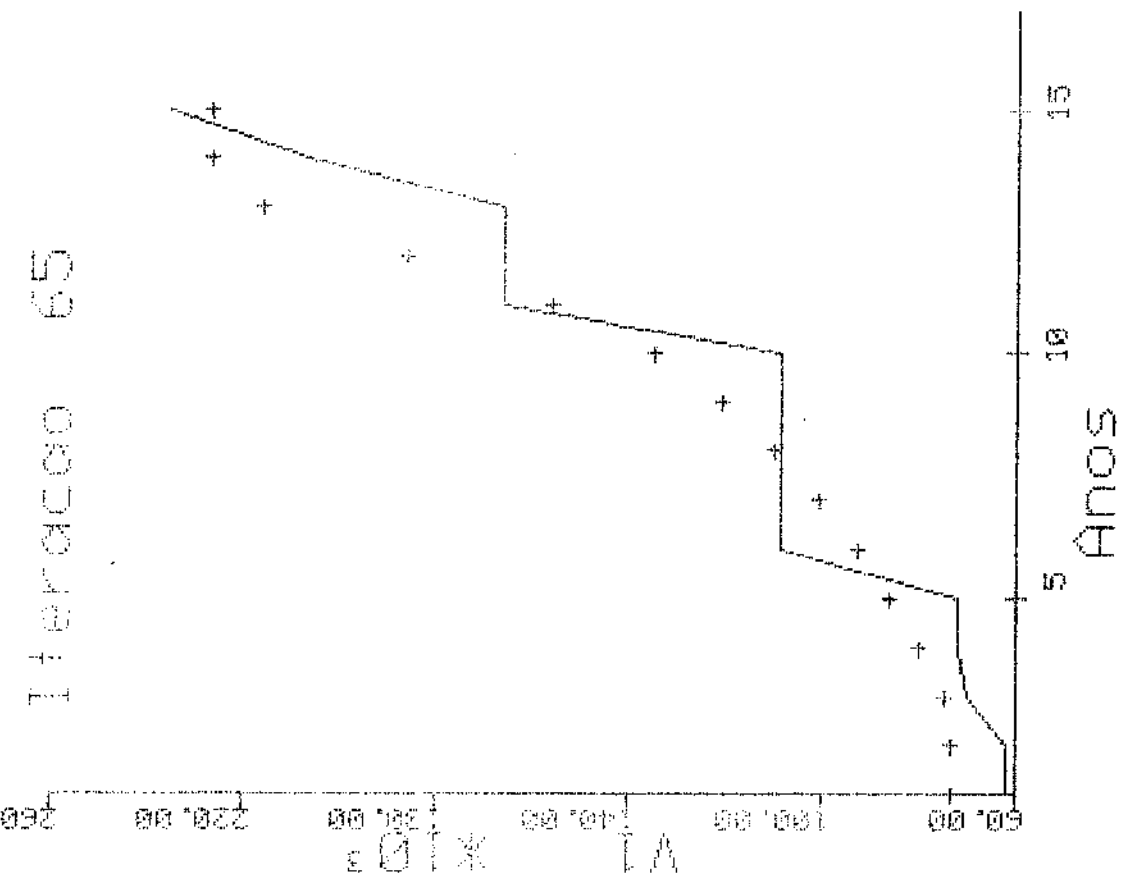
V10 \* 100.00 148.00 180.00 220.00 260.00

15

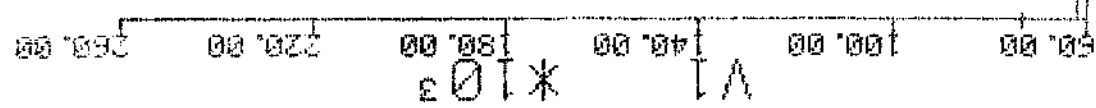
10

5

Anos



Intercalio 75



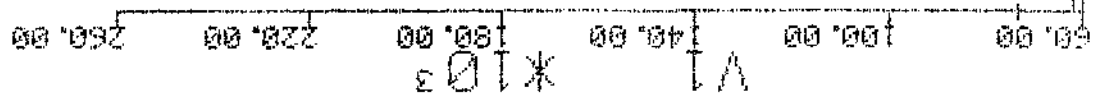
Anos

15

10

5

Intercalio 70

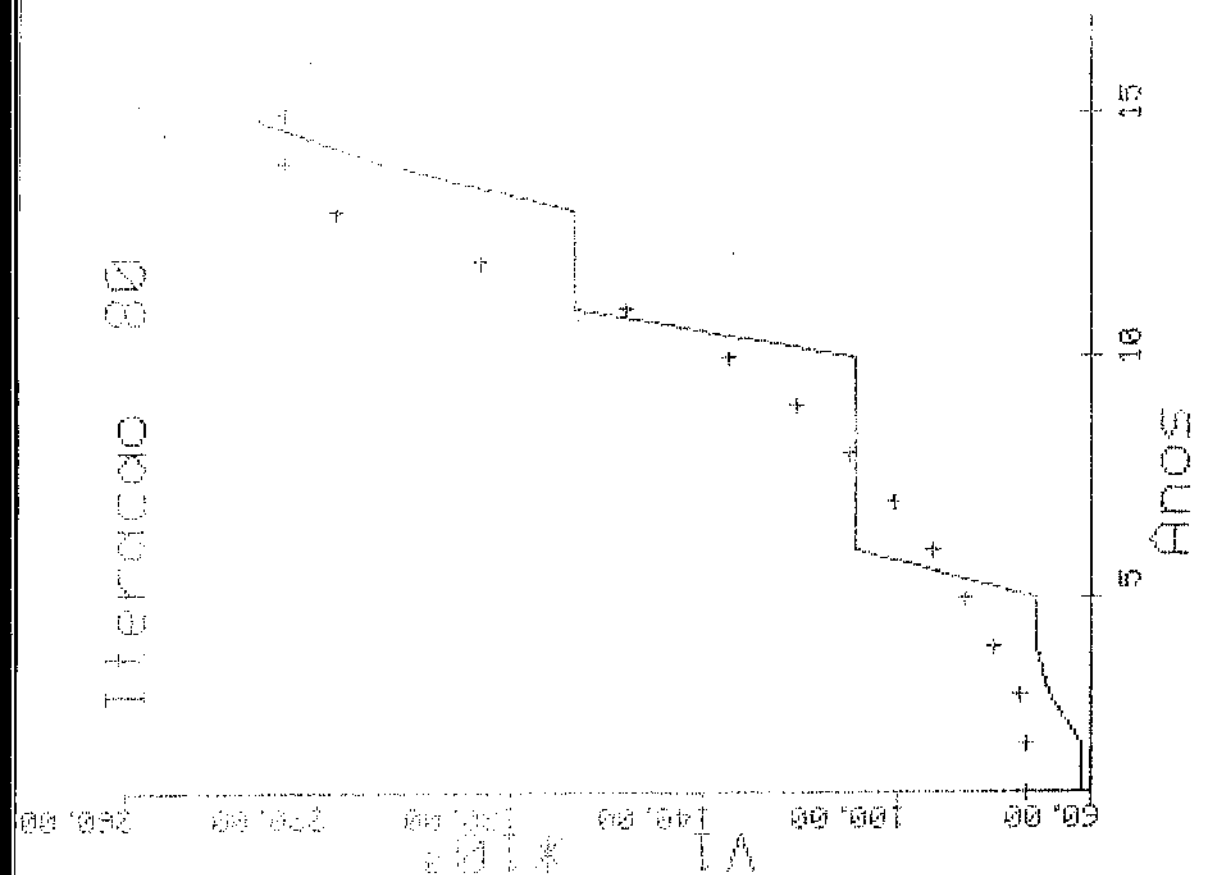


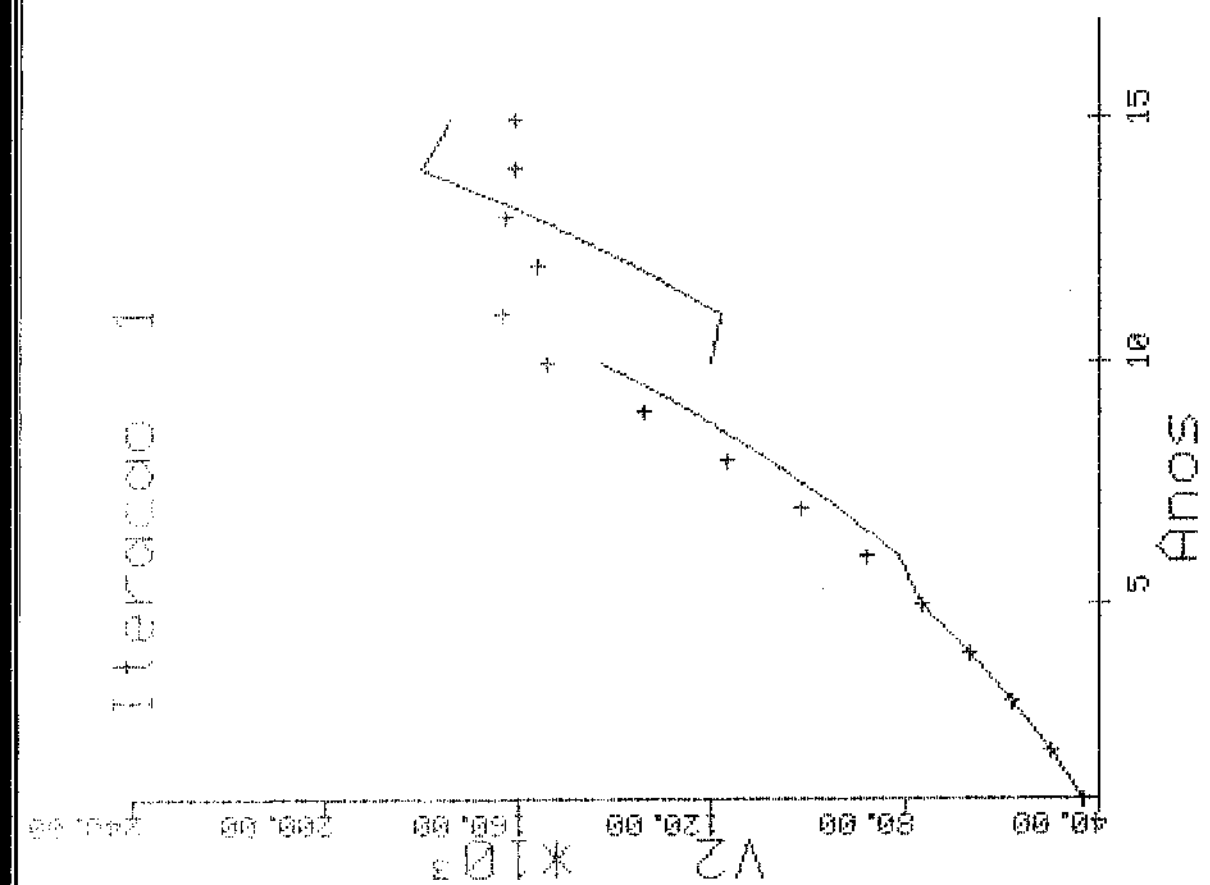
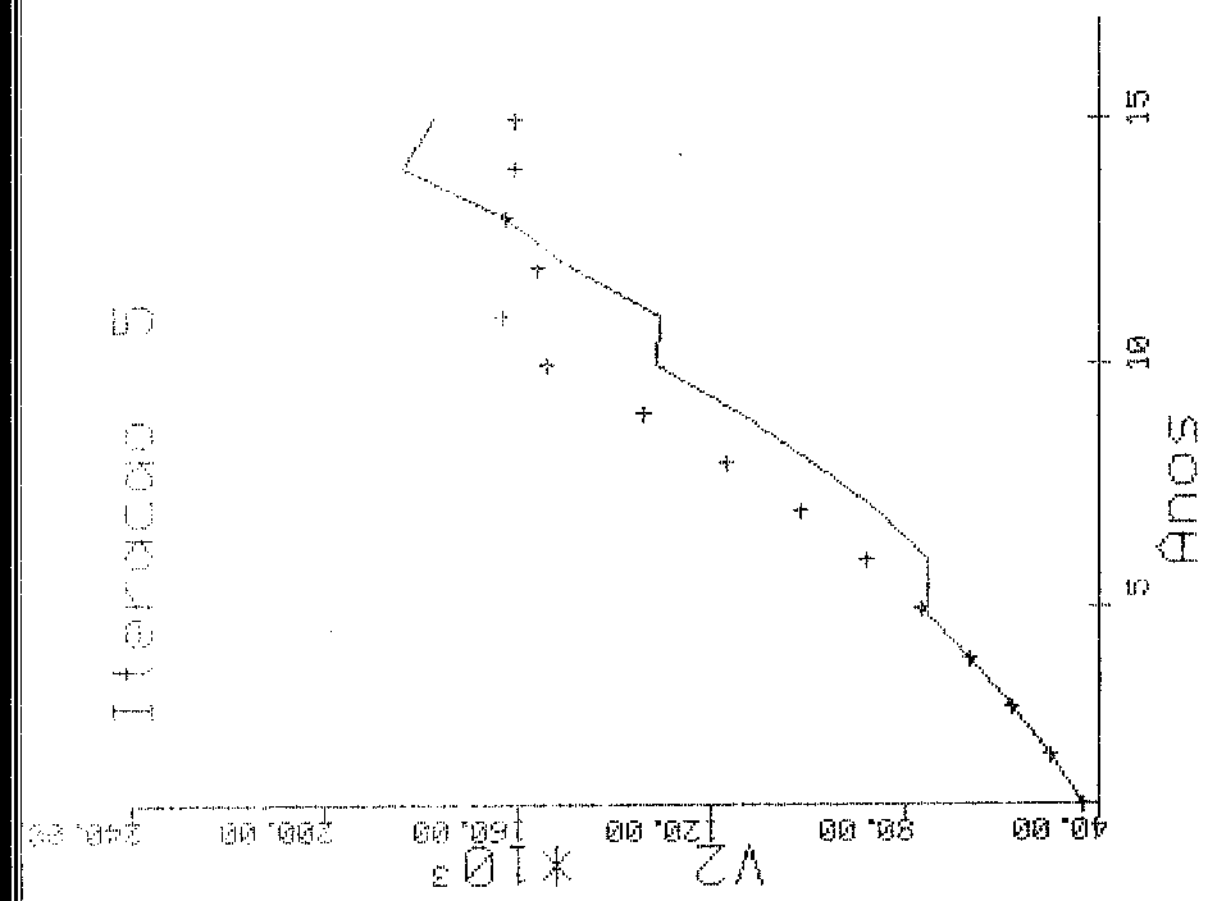
Anos

15

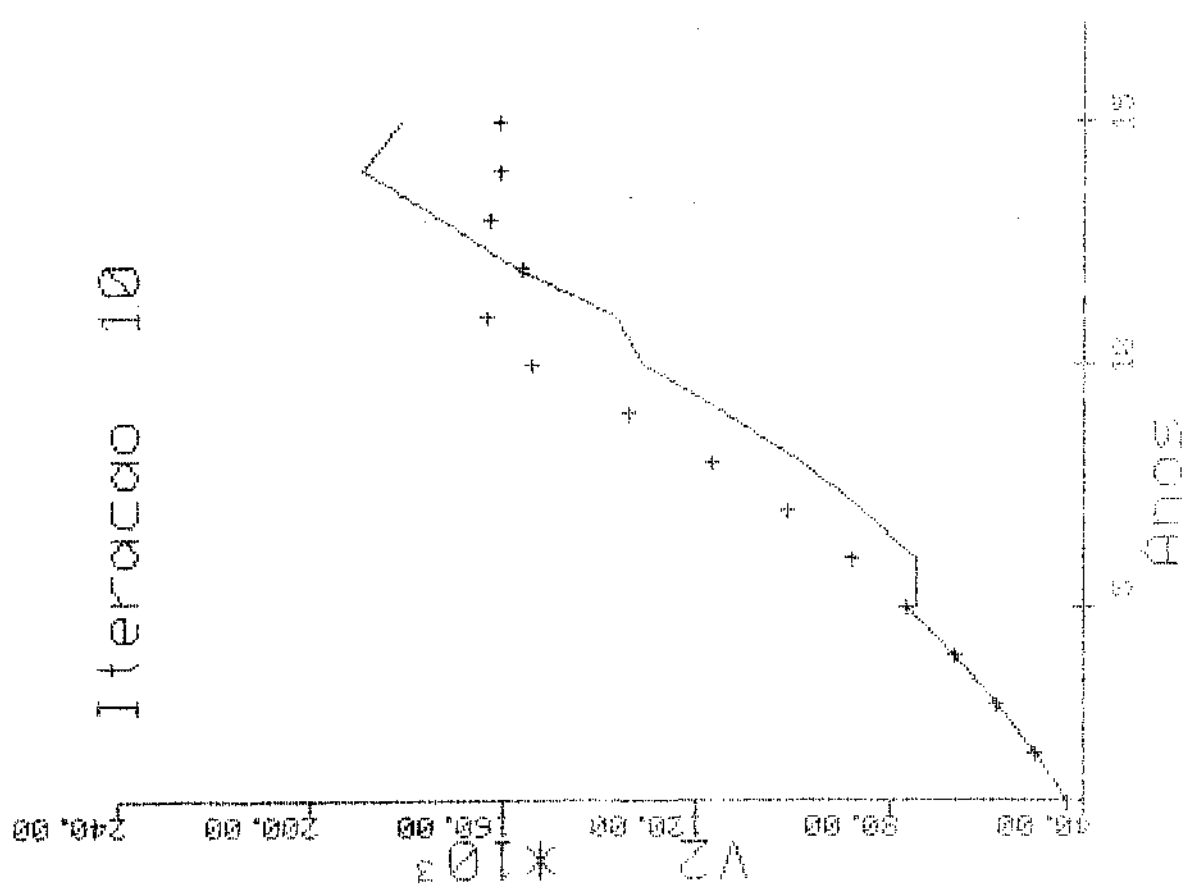
10

5

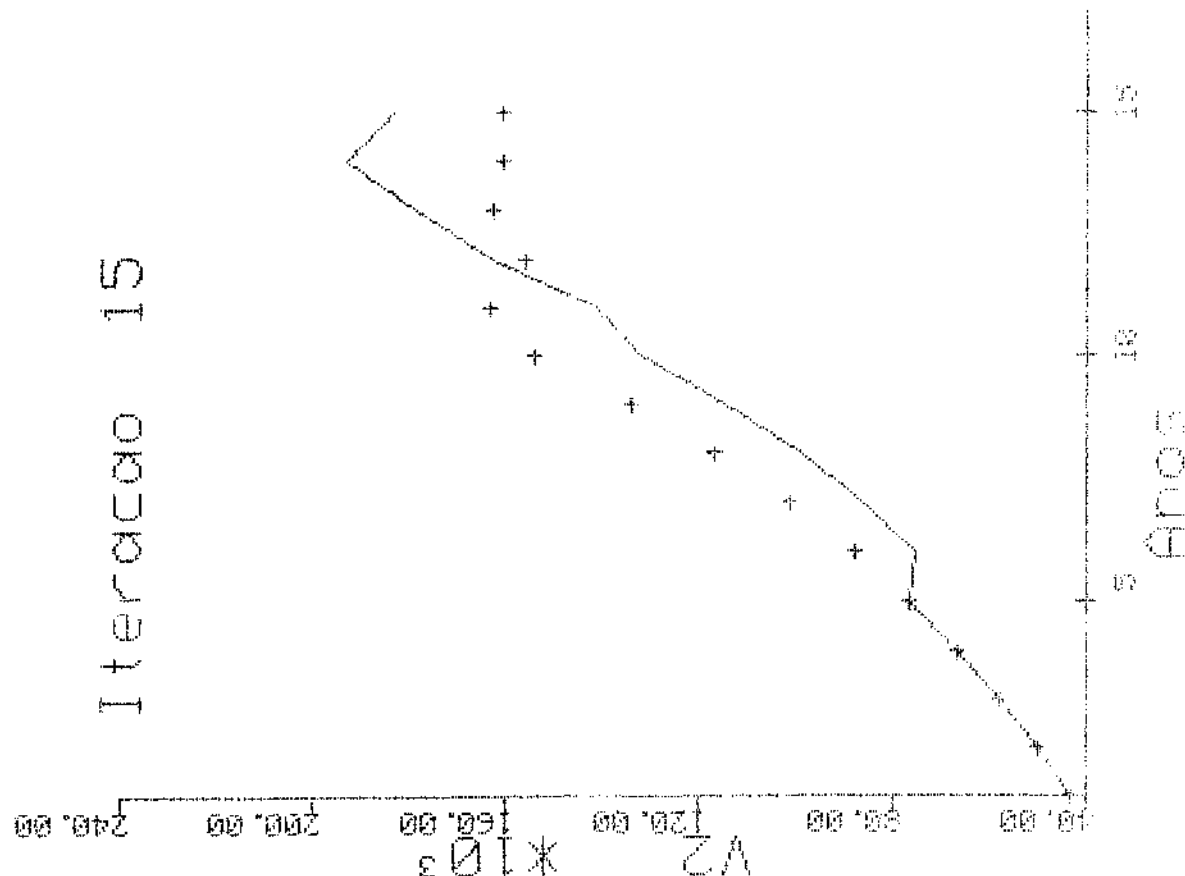




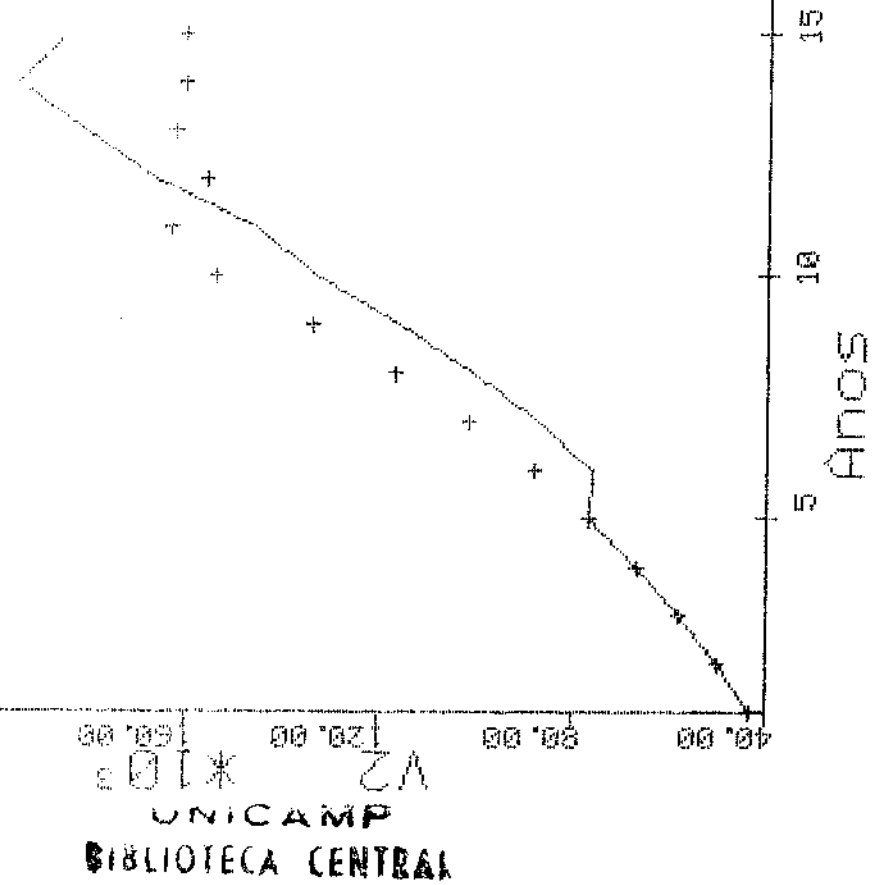
Intercaco 10



Intercaco 15



PROJETO DE  
ESTUDO



UNICAMP

BIBLIOTECA CENTRAL

VZ \* 10<sup>3</sup>

Anos

45

40

35

30

25

20

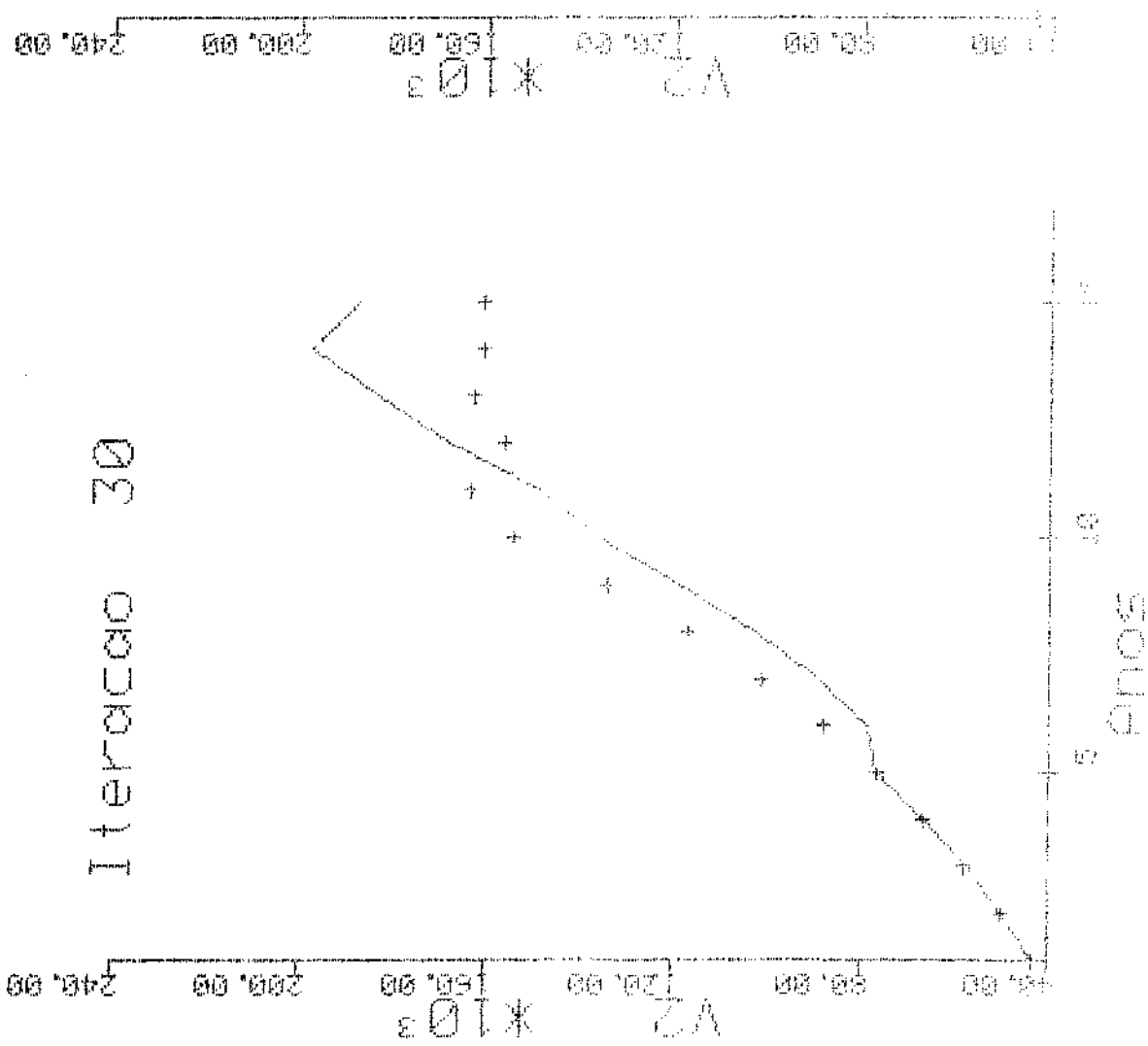
15

10

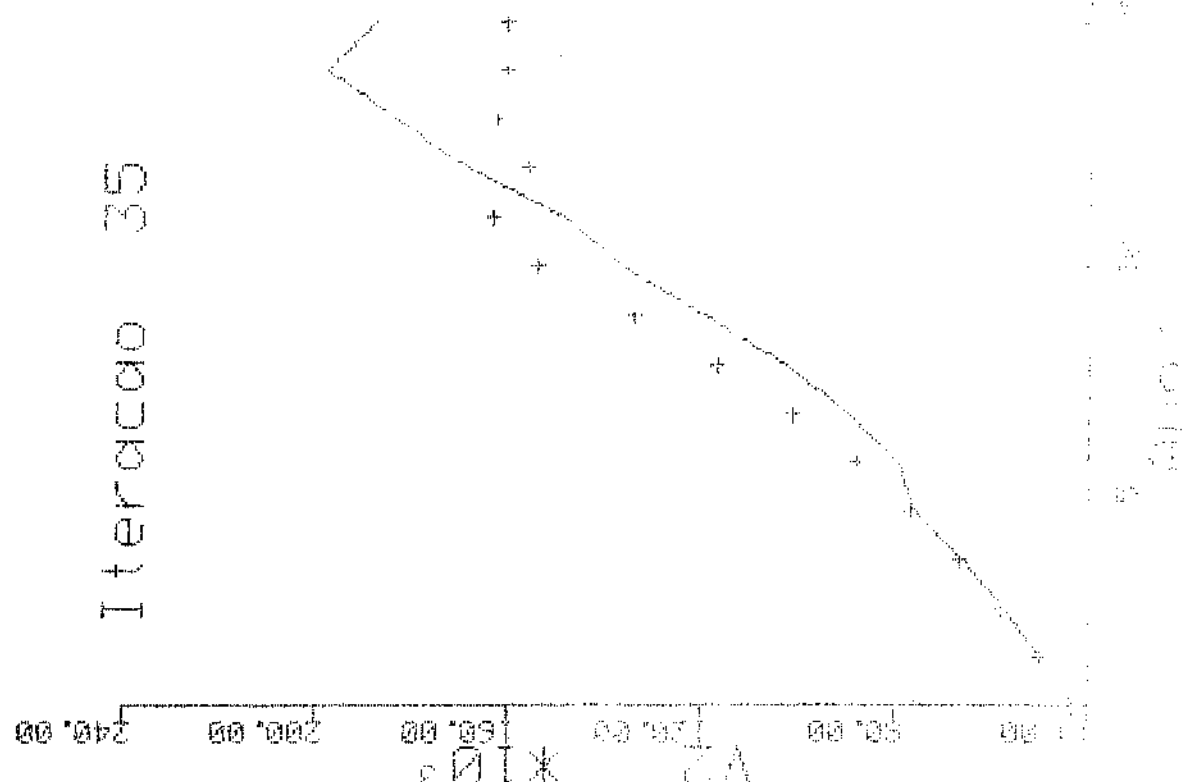
5

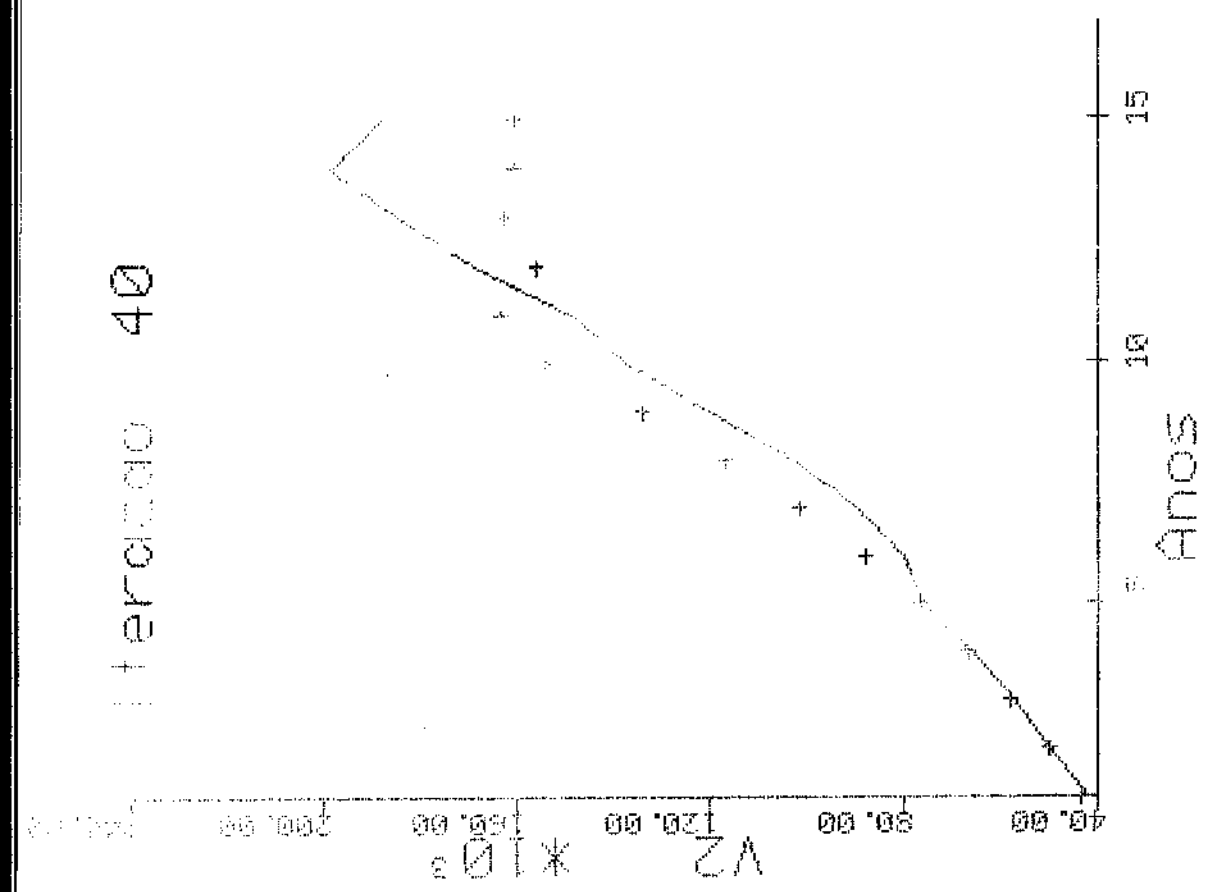
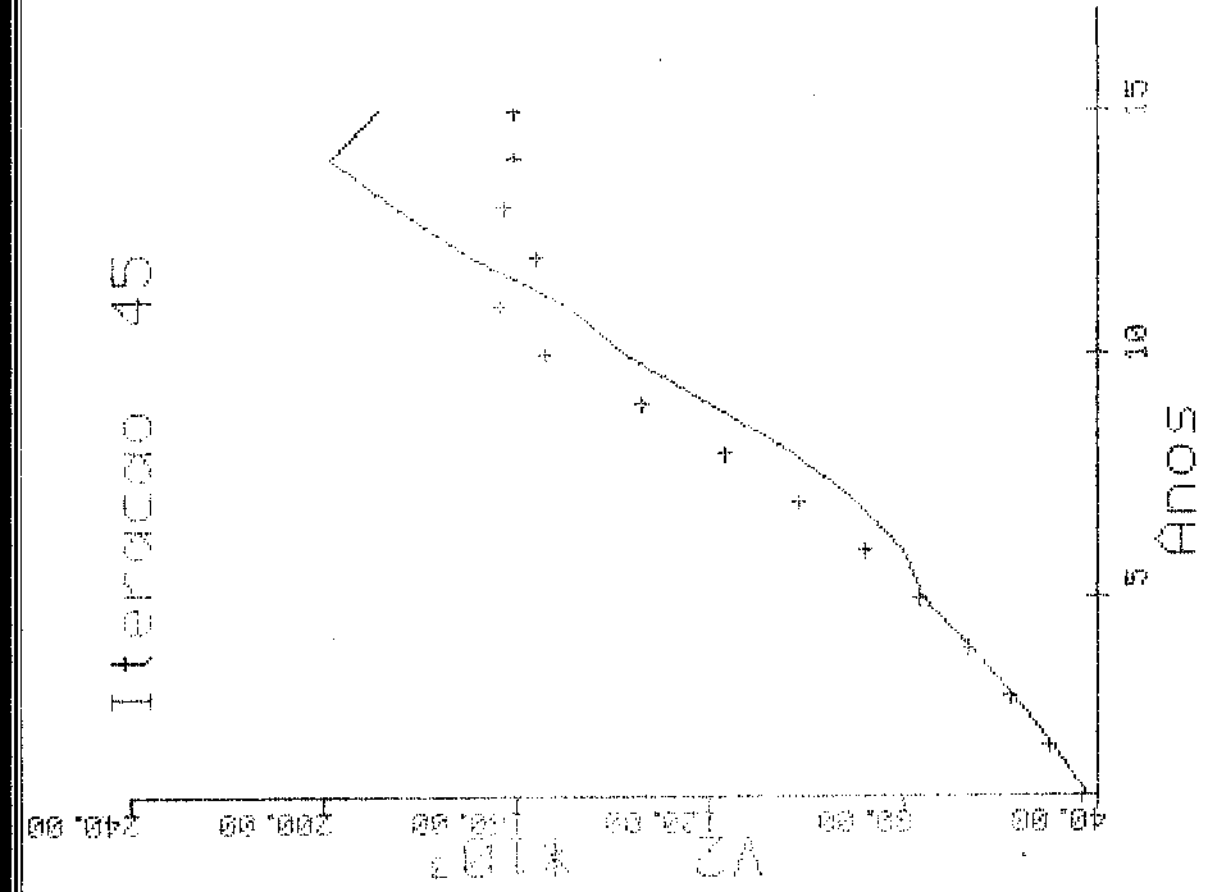
0

Iteración 30

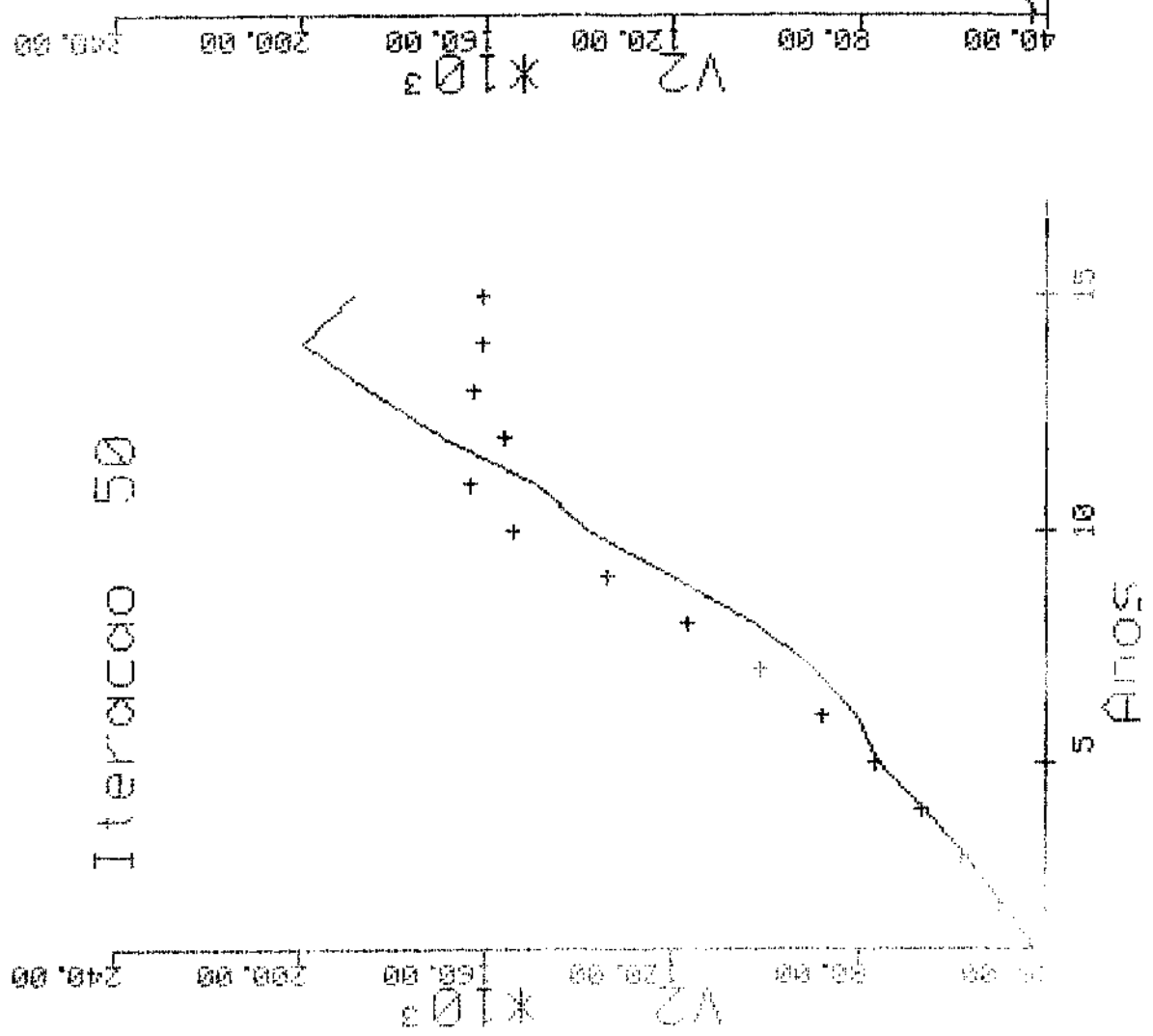


Iteración 35

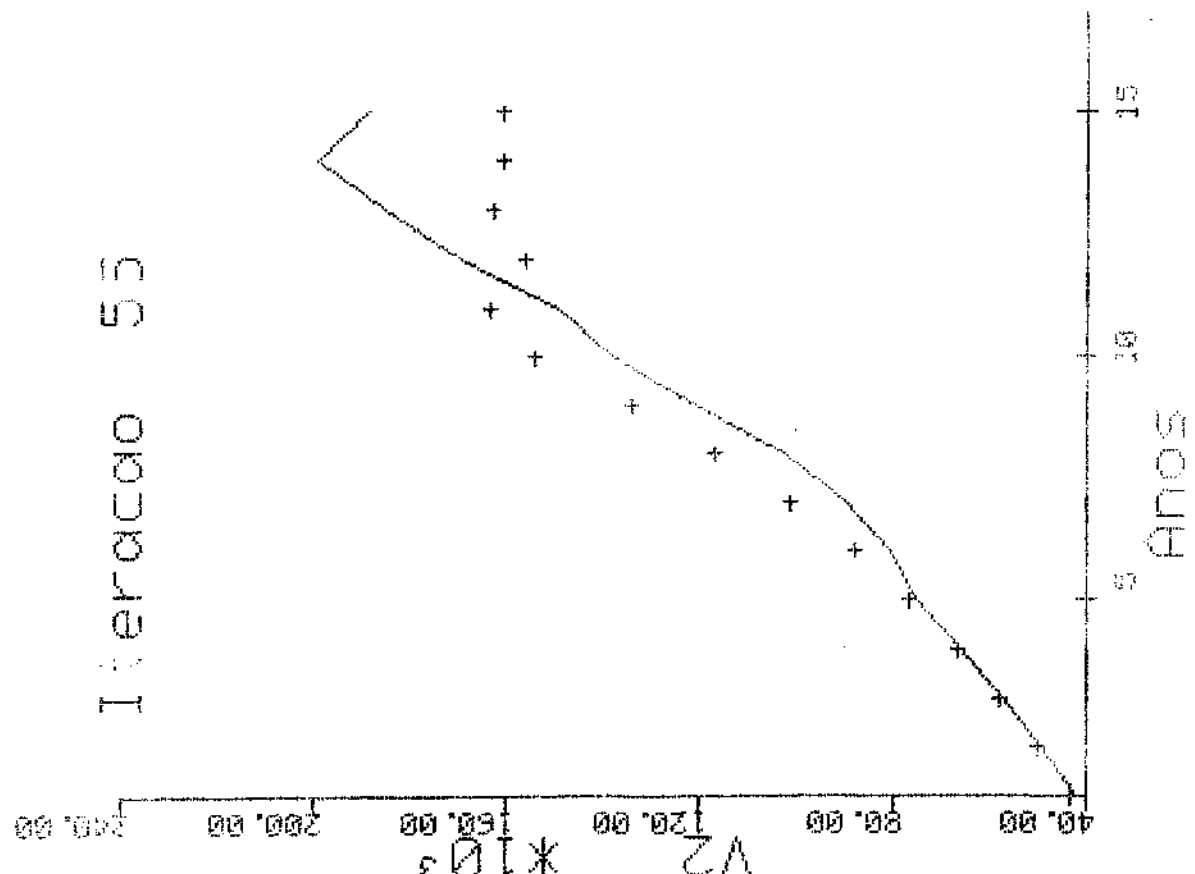




Interacao 50



Interacao 55



INTERPOLADO 65



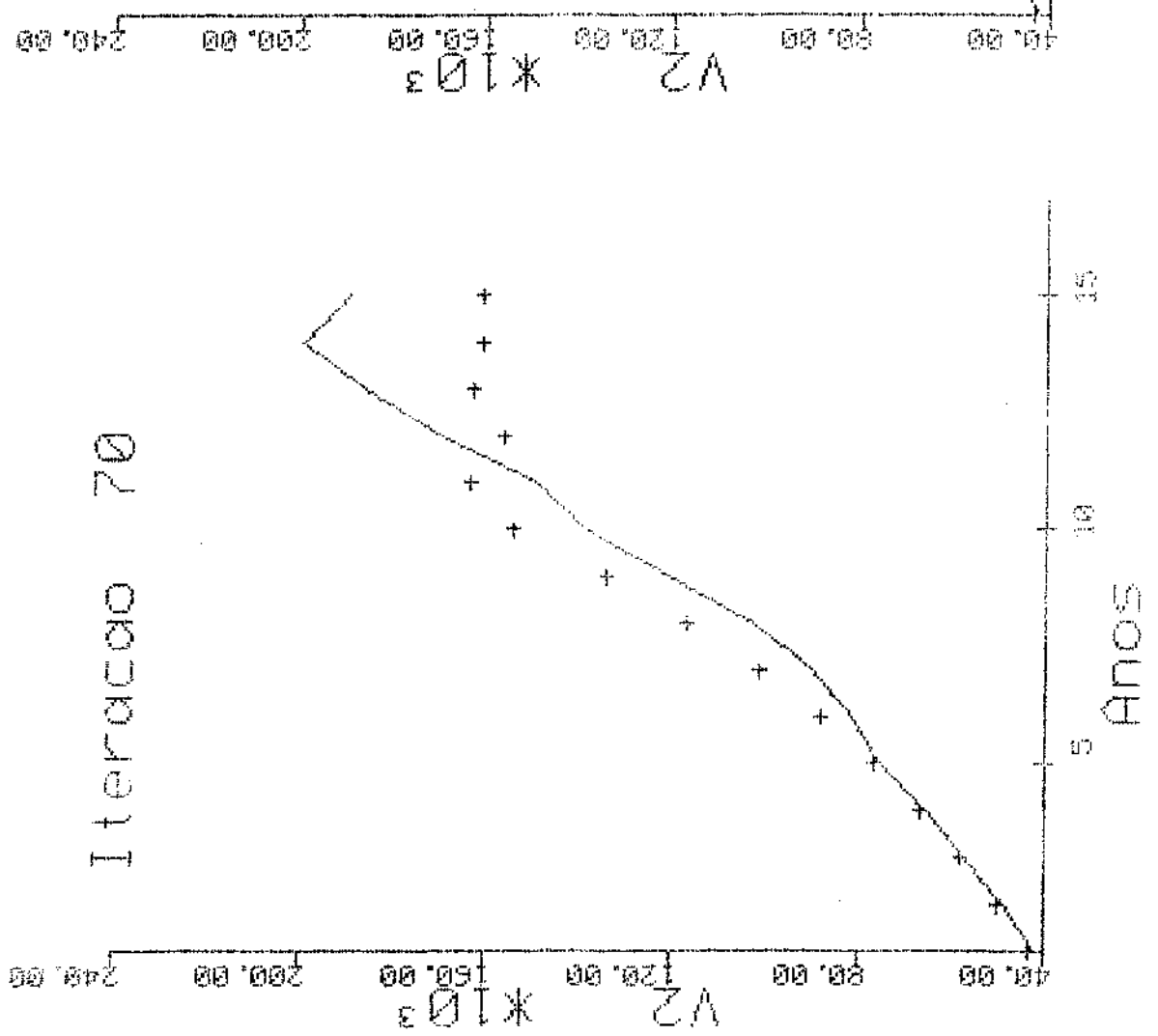
Anos

INTERPOLADO 66

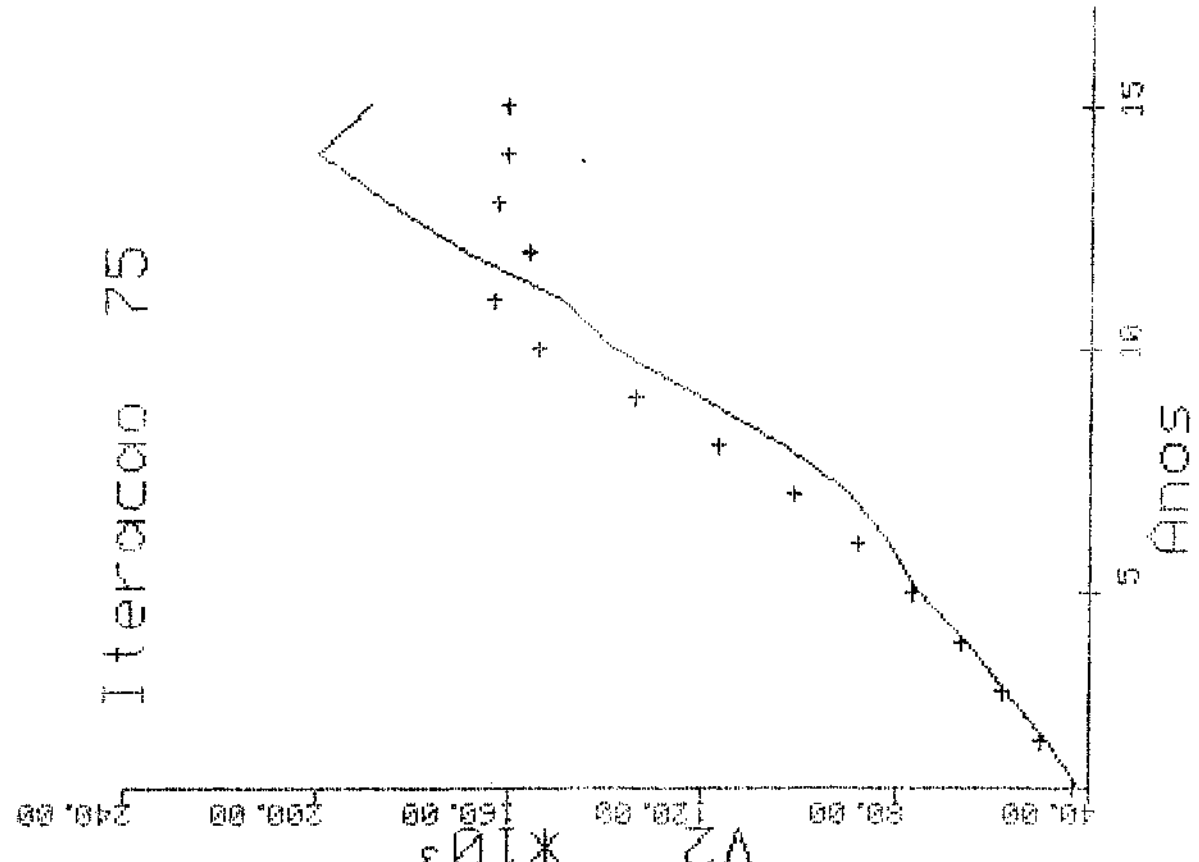


Anos

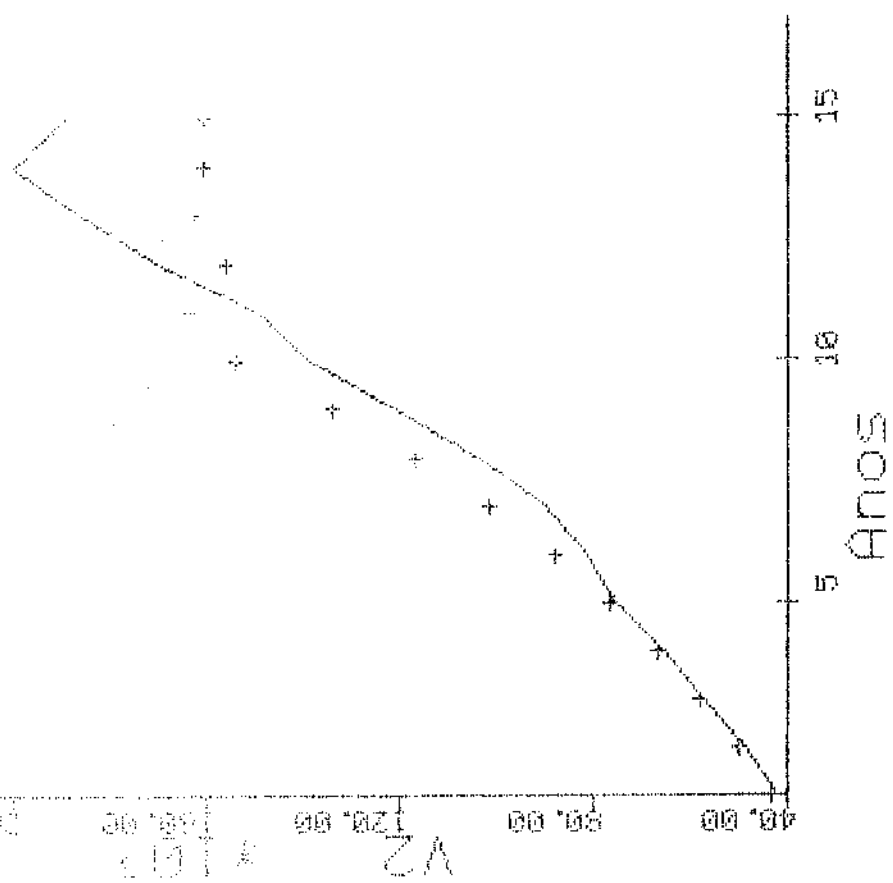
I terreno 70



I terreno 75



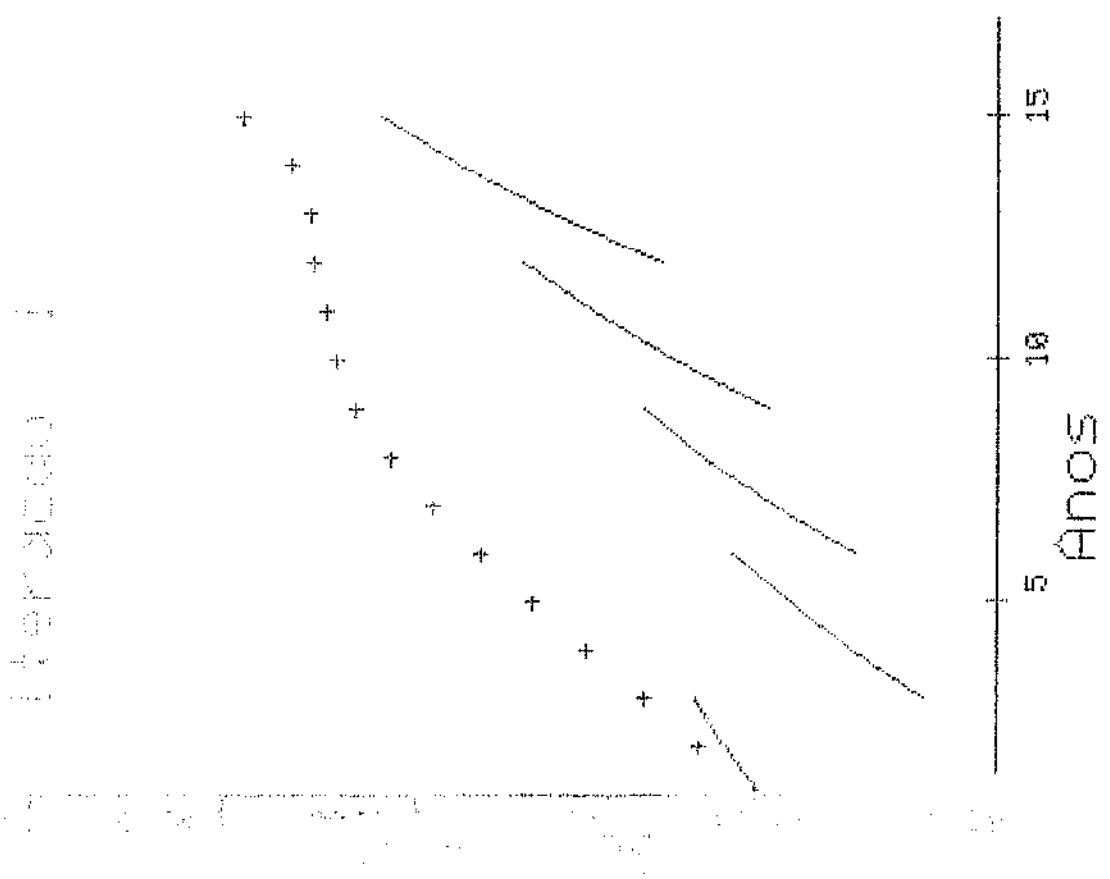
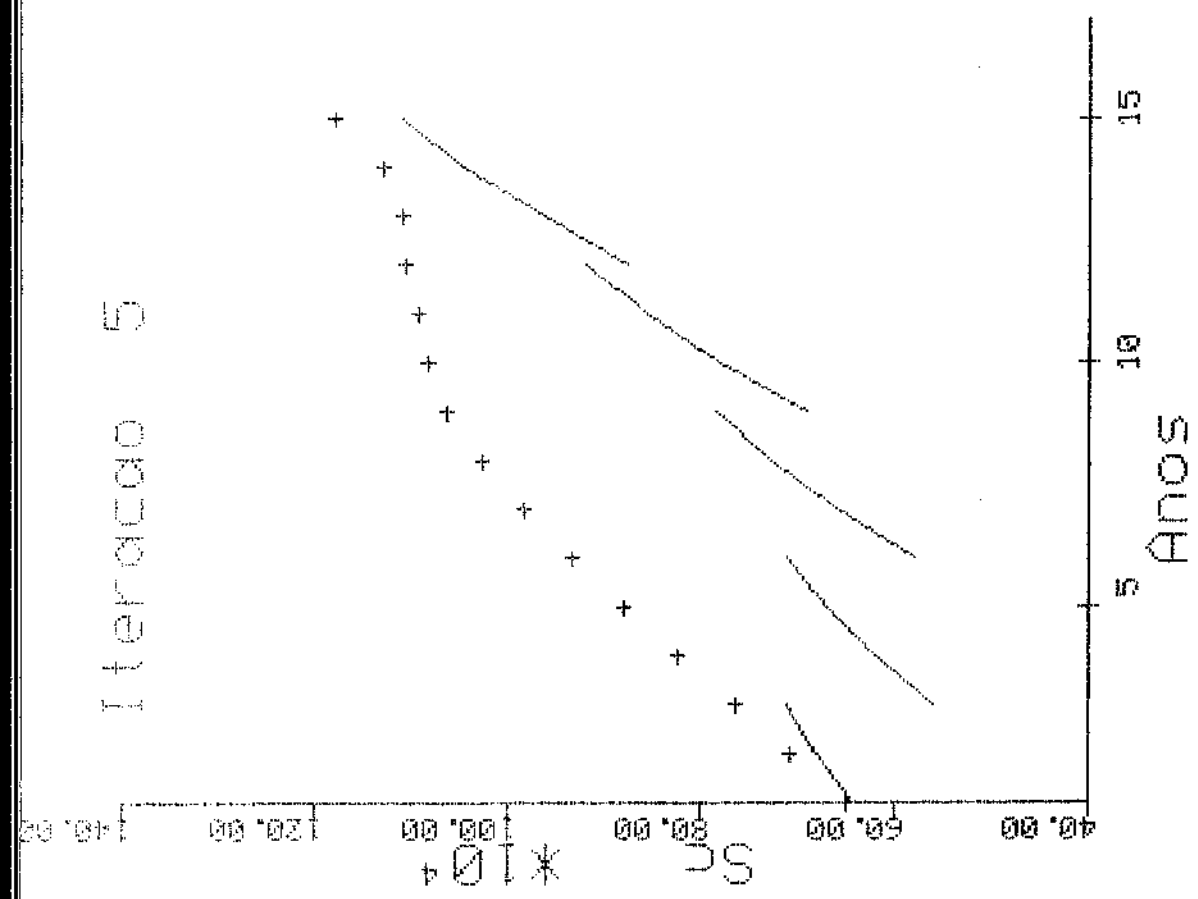
INTERCACCIA



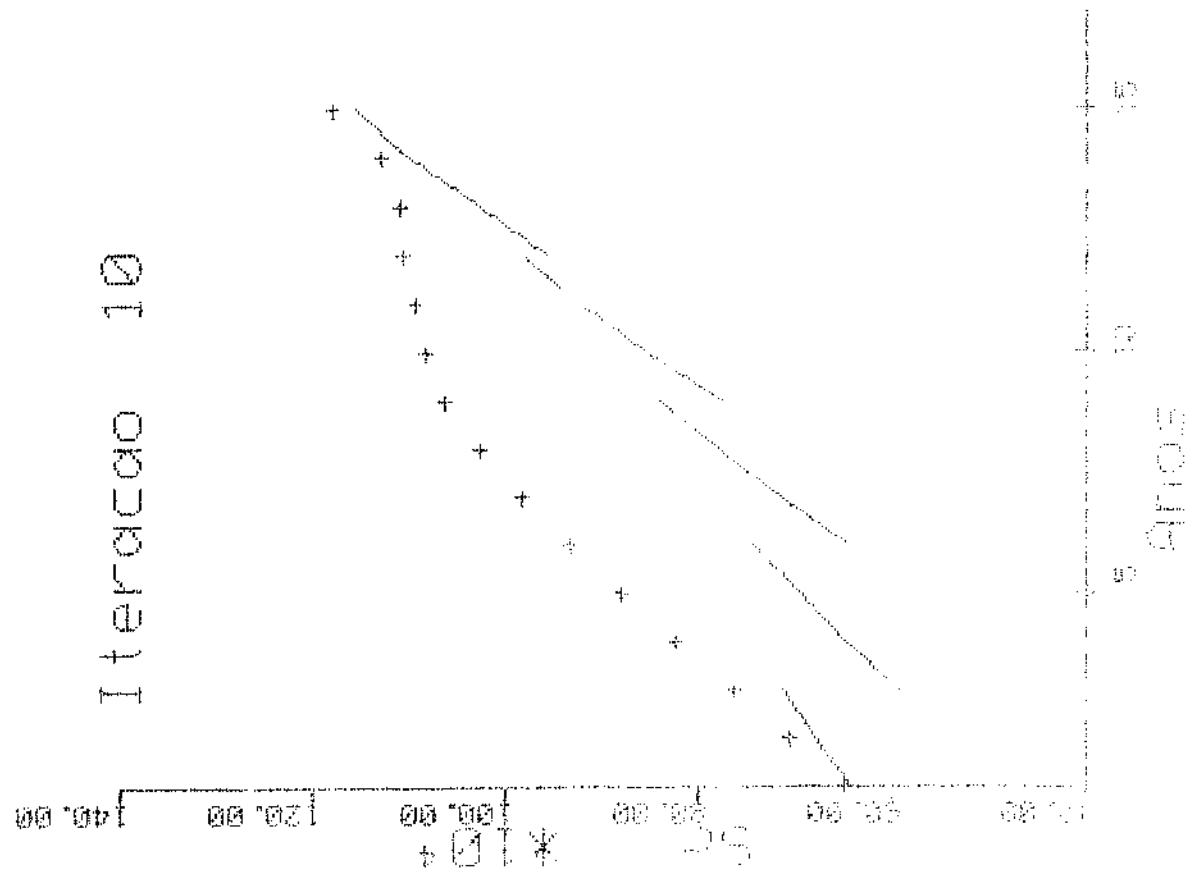
**Apêndice II**

**Horizonte de Quinze Anos**

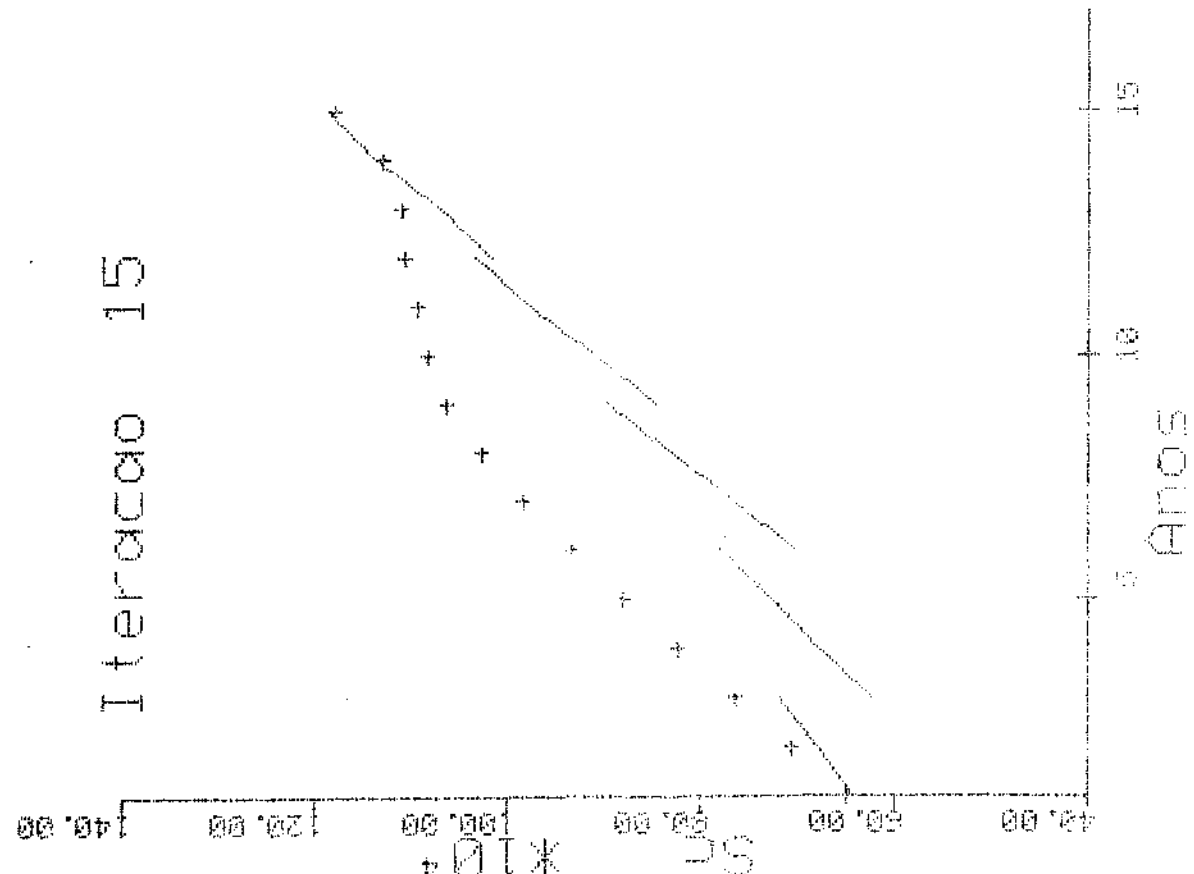
**Número de Períodos Igual a Cinco**



Iteração 10



Iteração 15



25

Intercambio

15

10

5

Años

SC

40,00 44,00 48,00 52,00 56,00 60,00 64,00 68,00

20

Intercambio

15

10

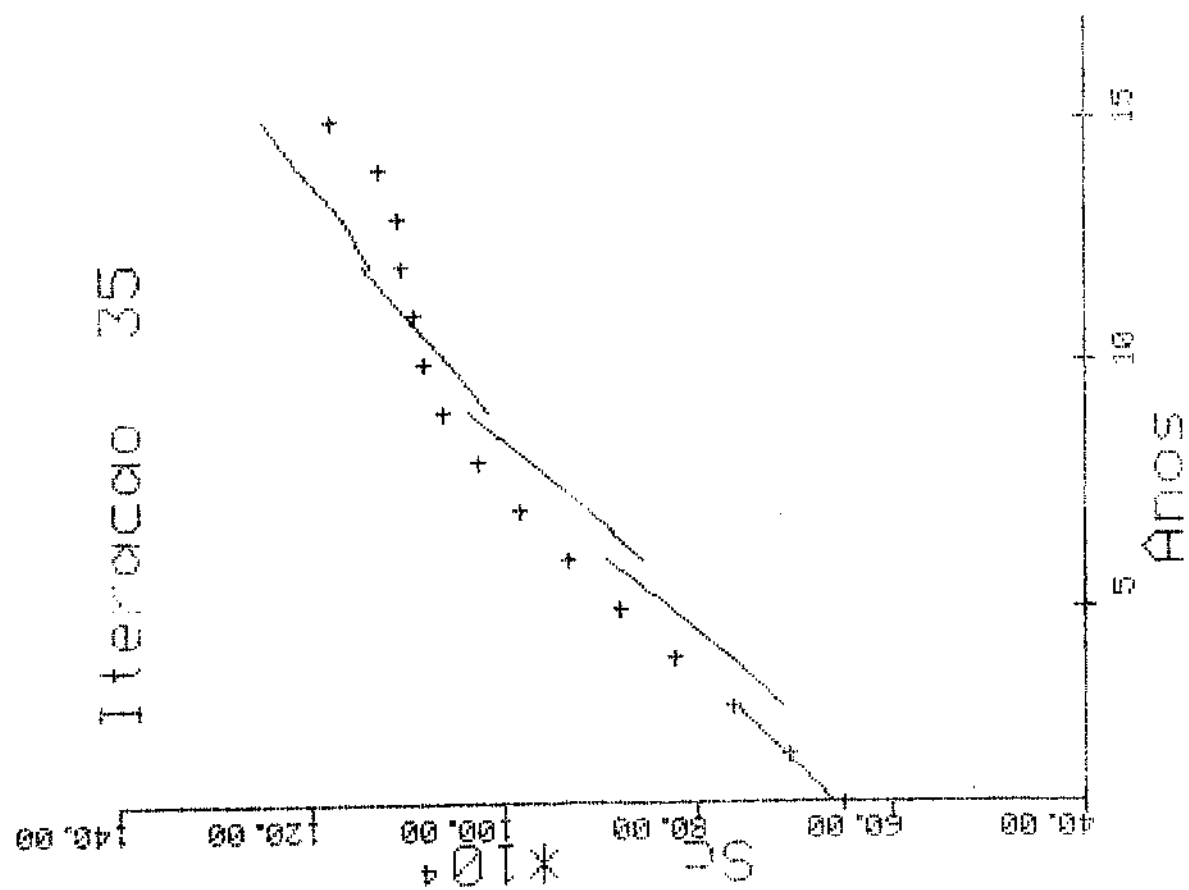
5

Años

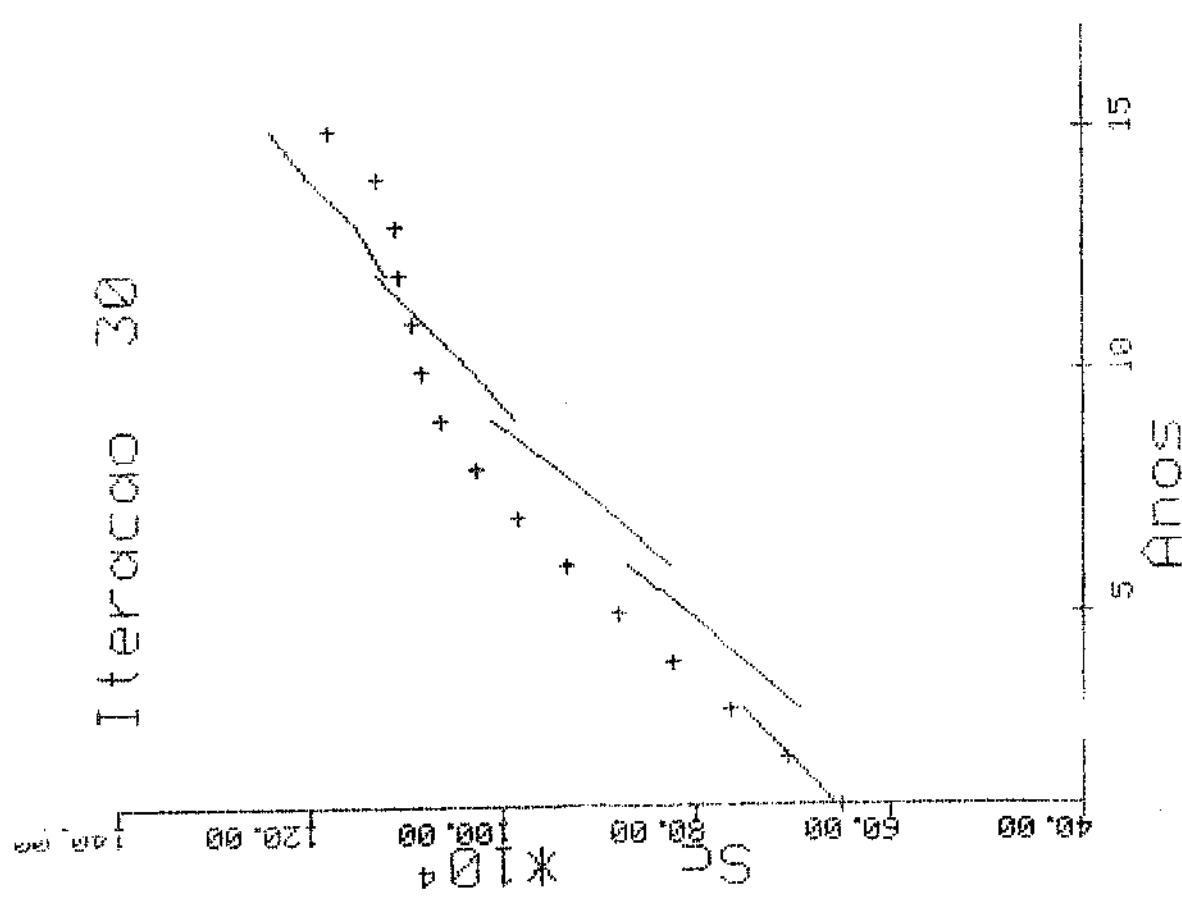
SC

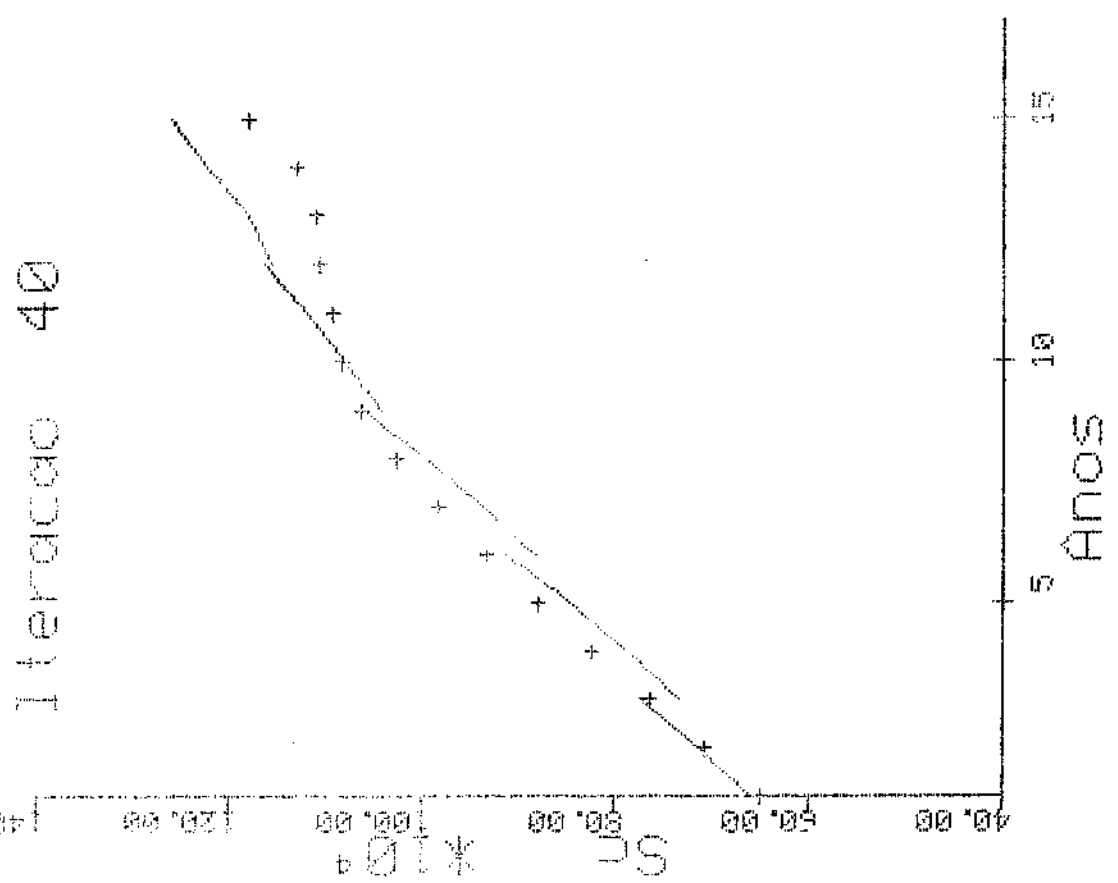
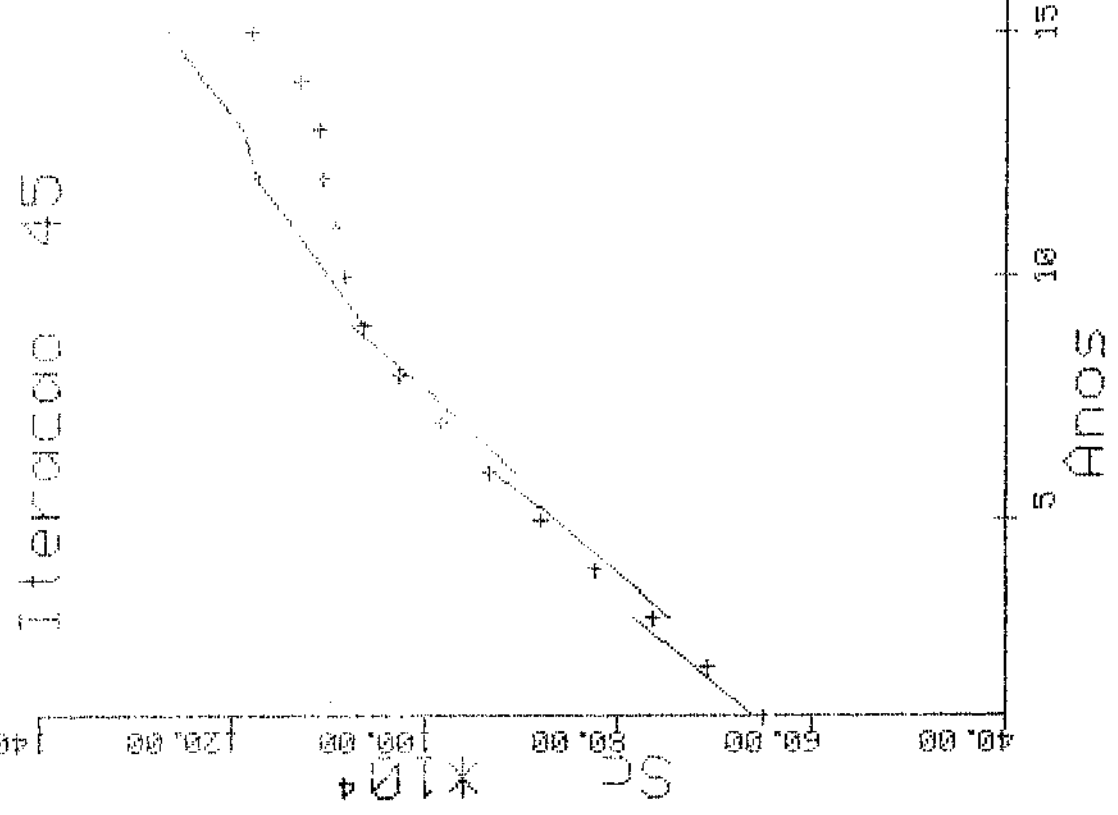
40,00 44,00 48,00 52,00 56,00 60,00 64,00 68,00

Iteración 35

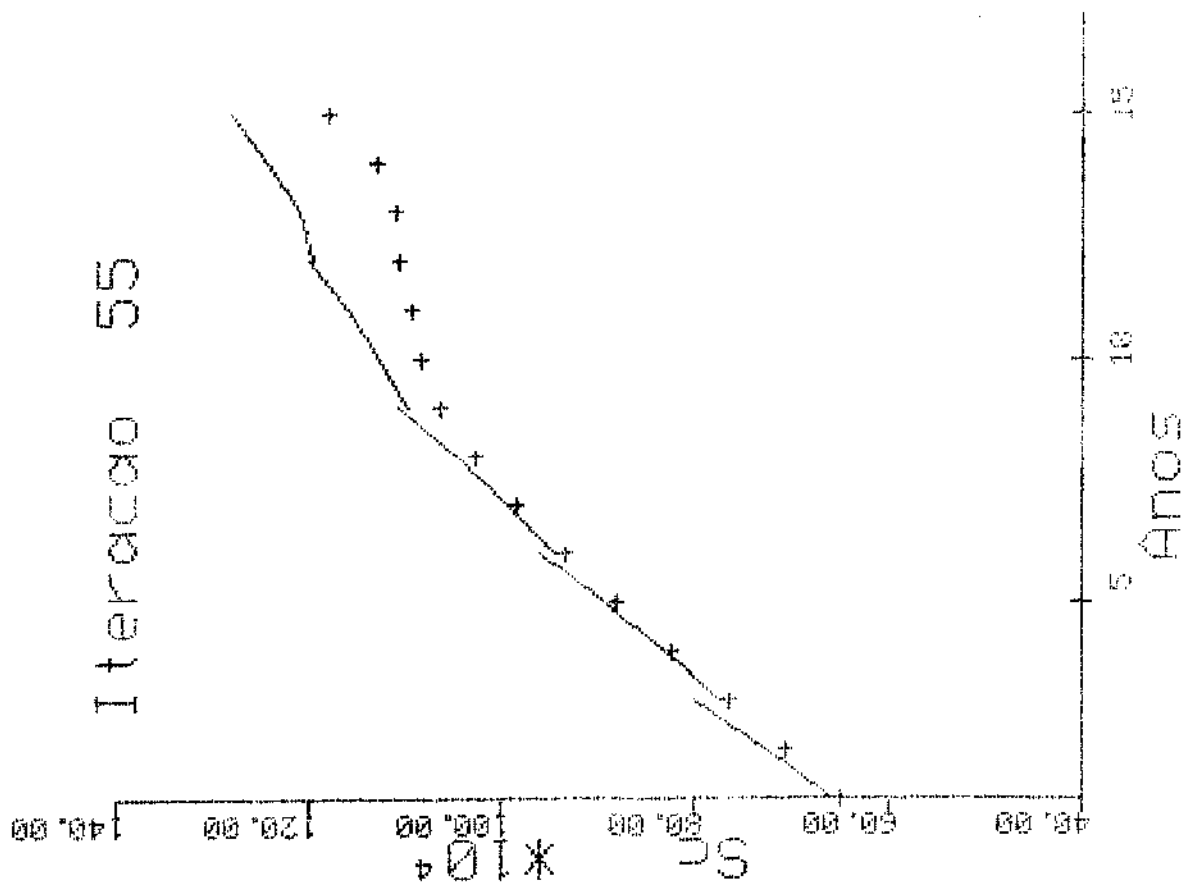


Iteración 36

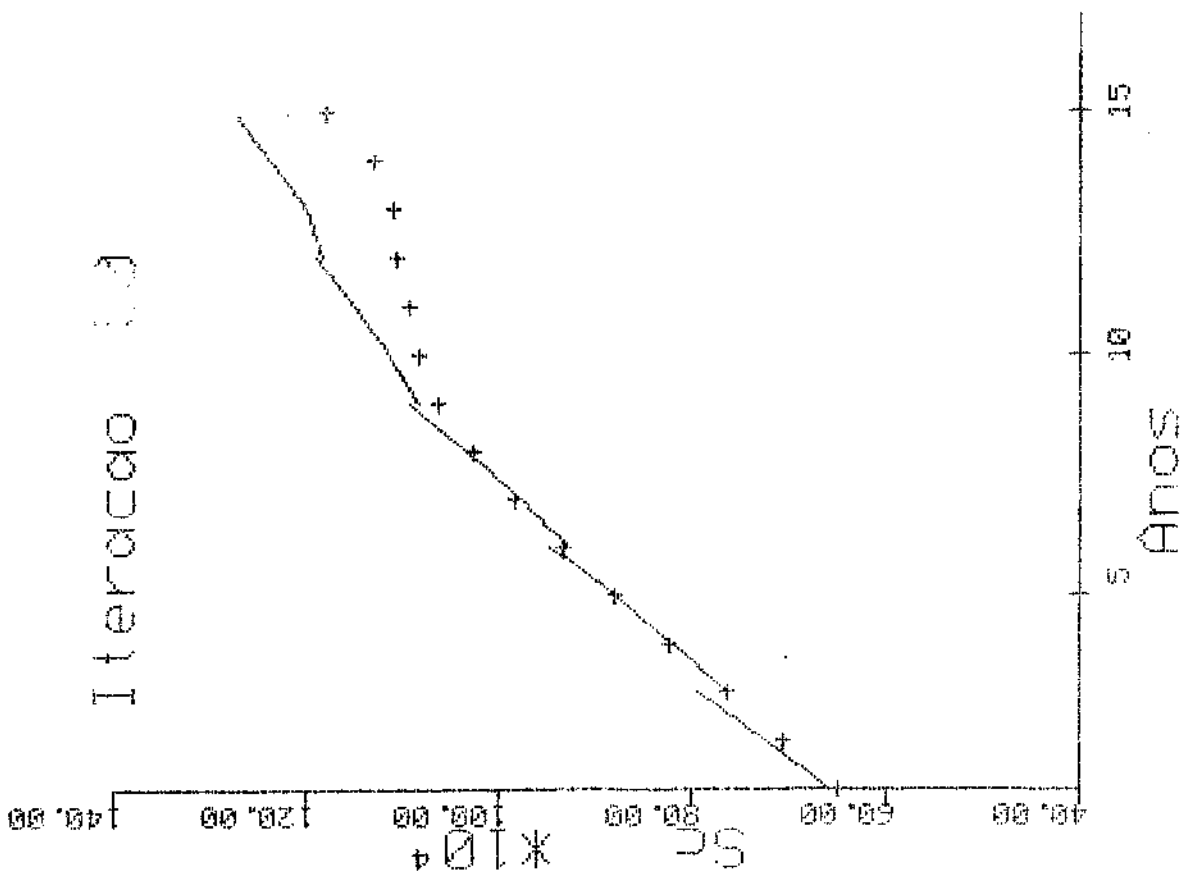


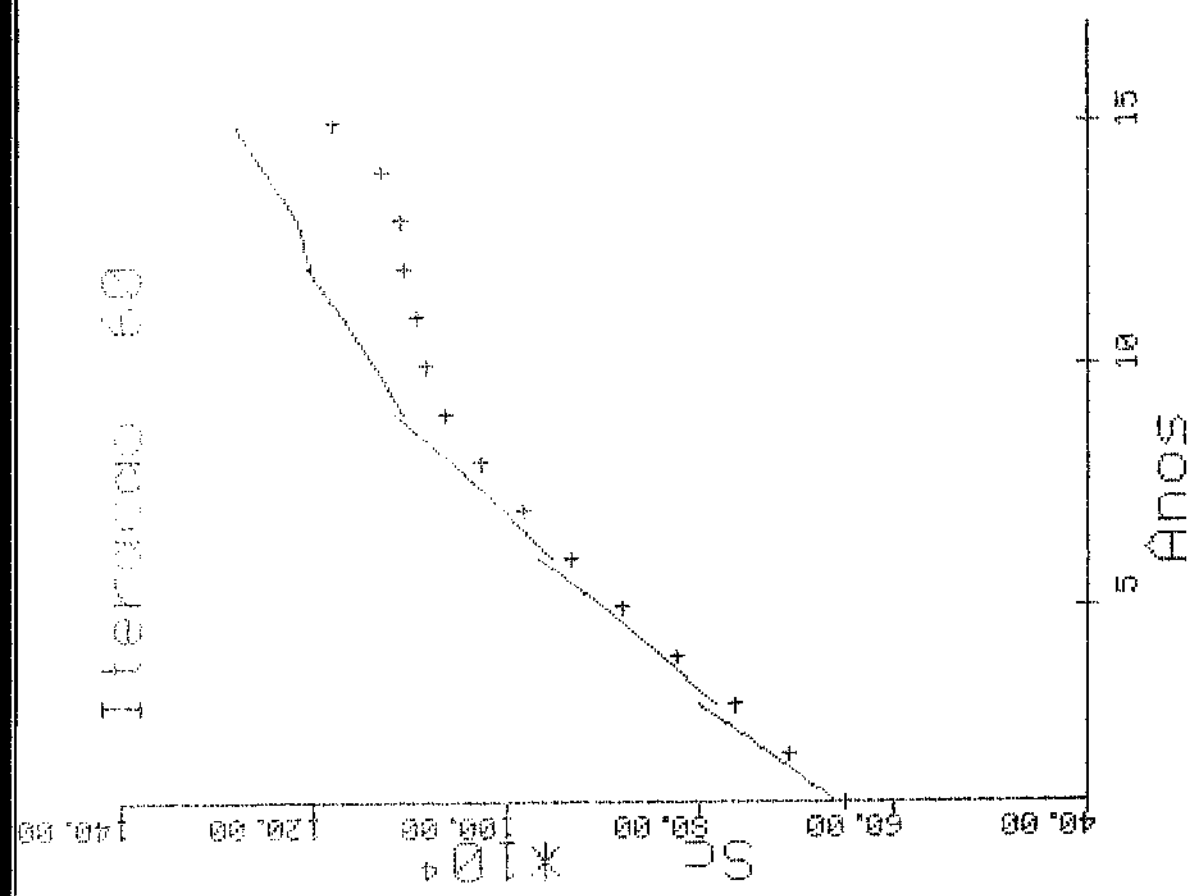
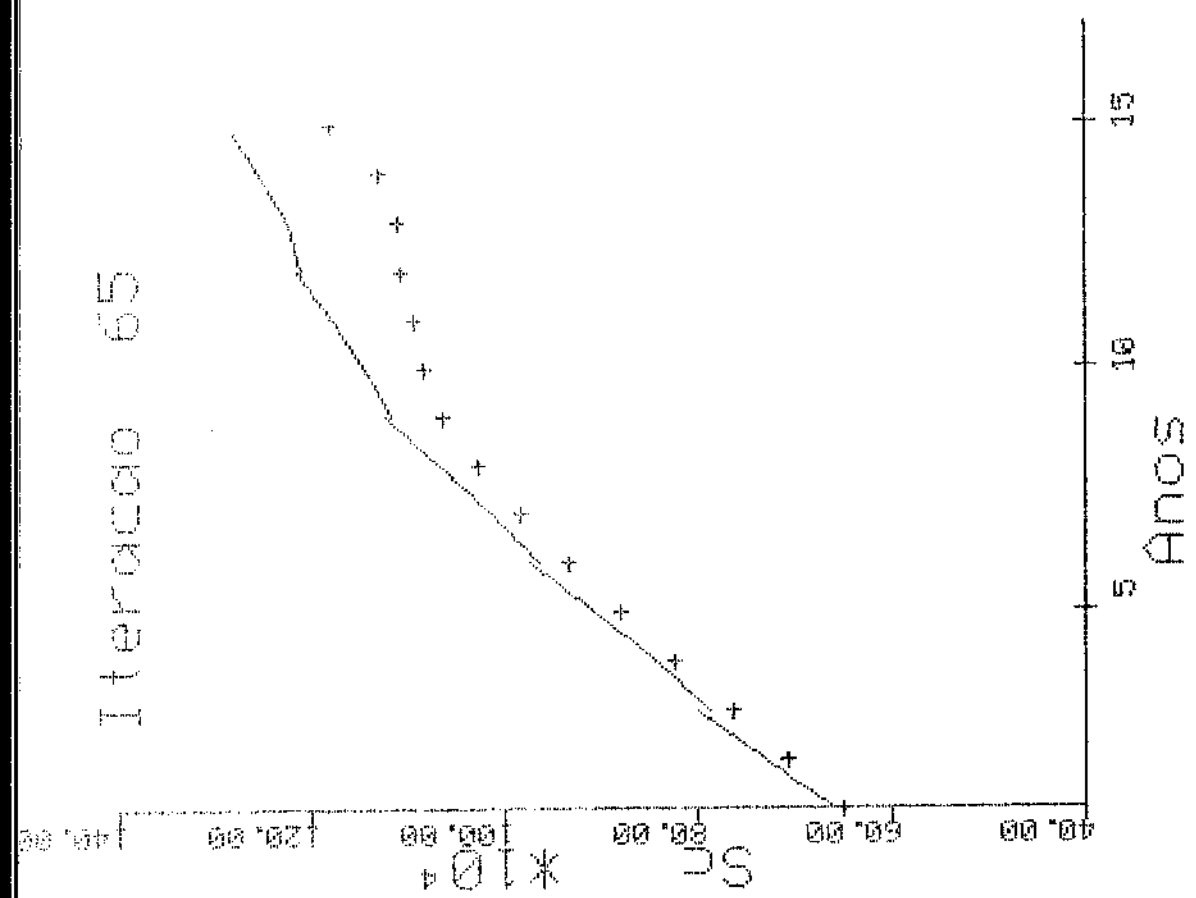


Iteração 55



Iteração 56

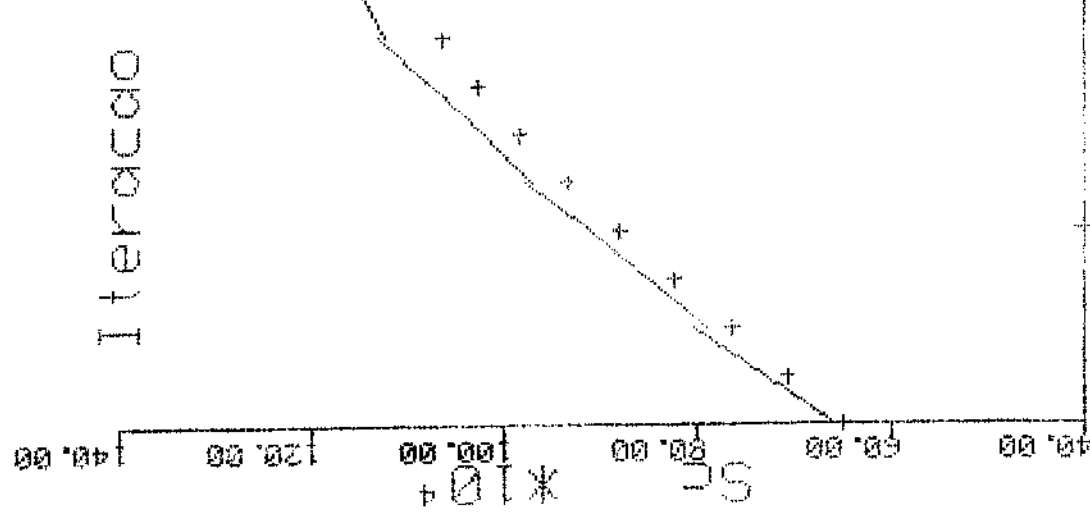


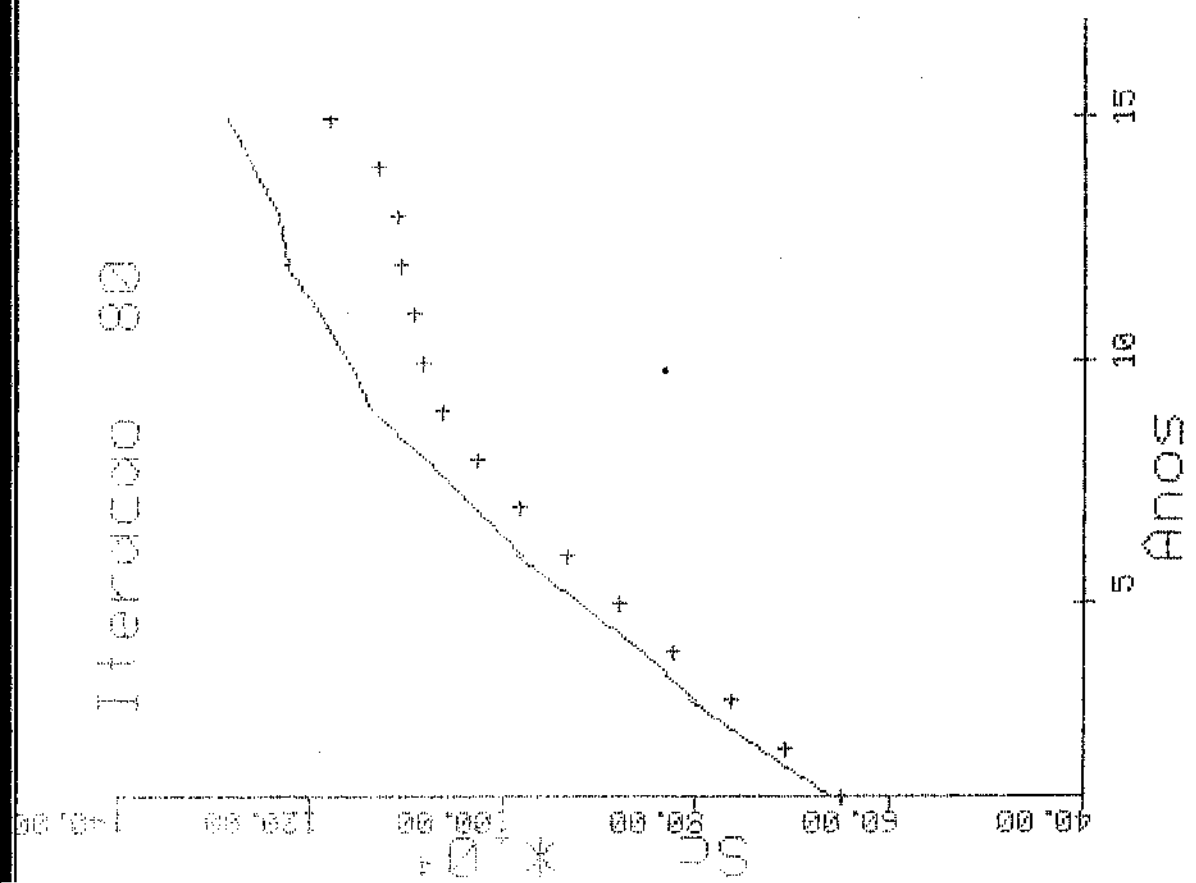


75



70





5

ESTIMATIVA DE  
VALORES DE RENDIMENTO

20.00

EJU 10 \*

EJU 10 \*

ESTIMATIVA DE RENDIMENTO

20.00

EJU 10 \*

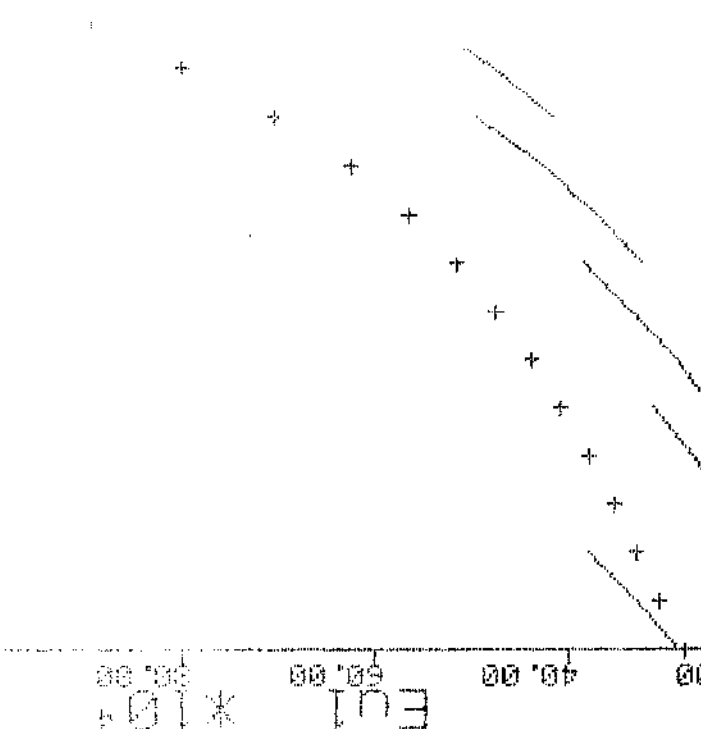
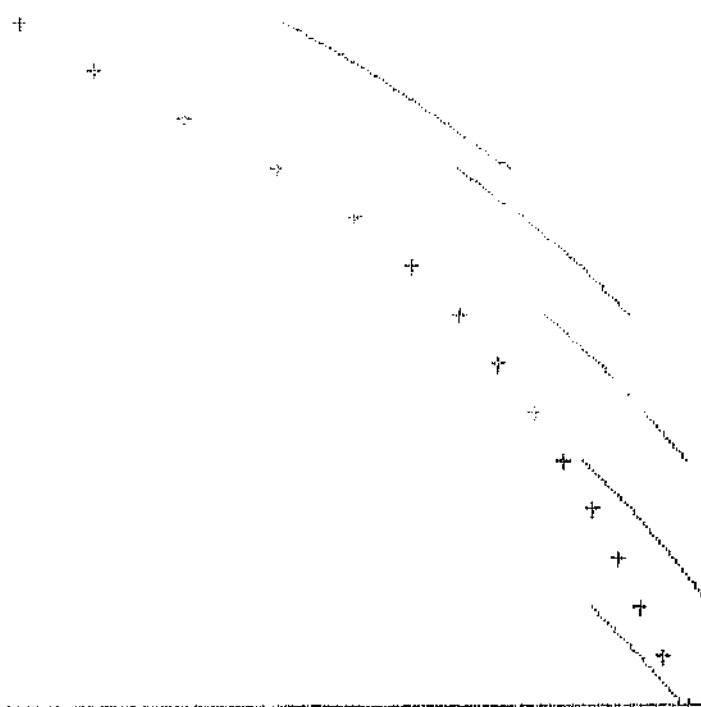
EJU 10 \*

15  
10  
5  
20.00

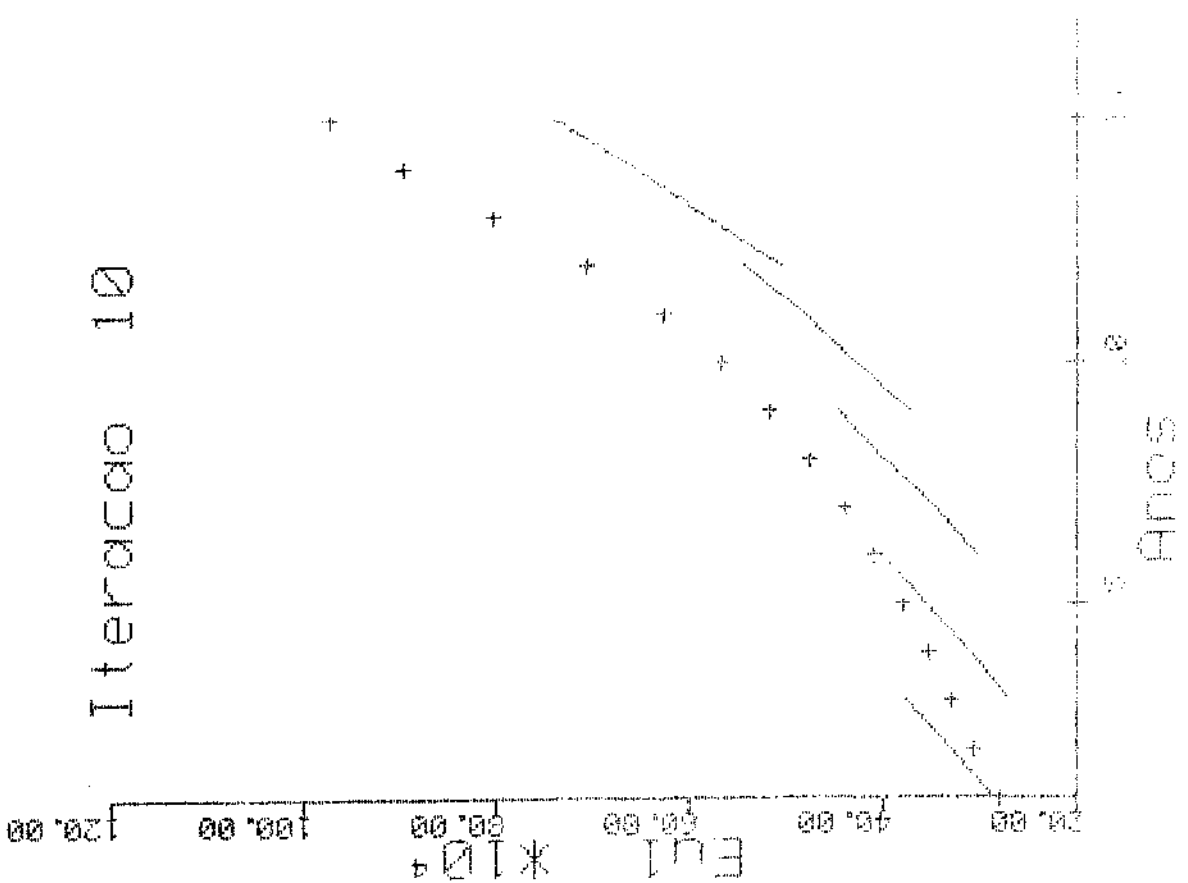
Anos

10  
5  
20.00

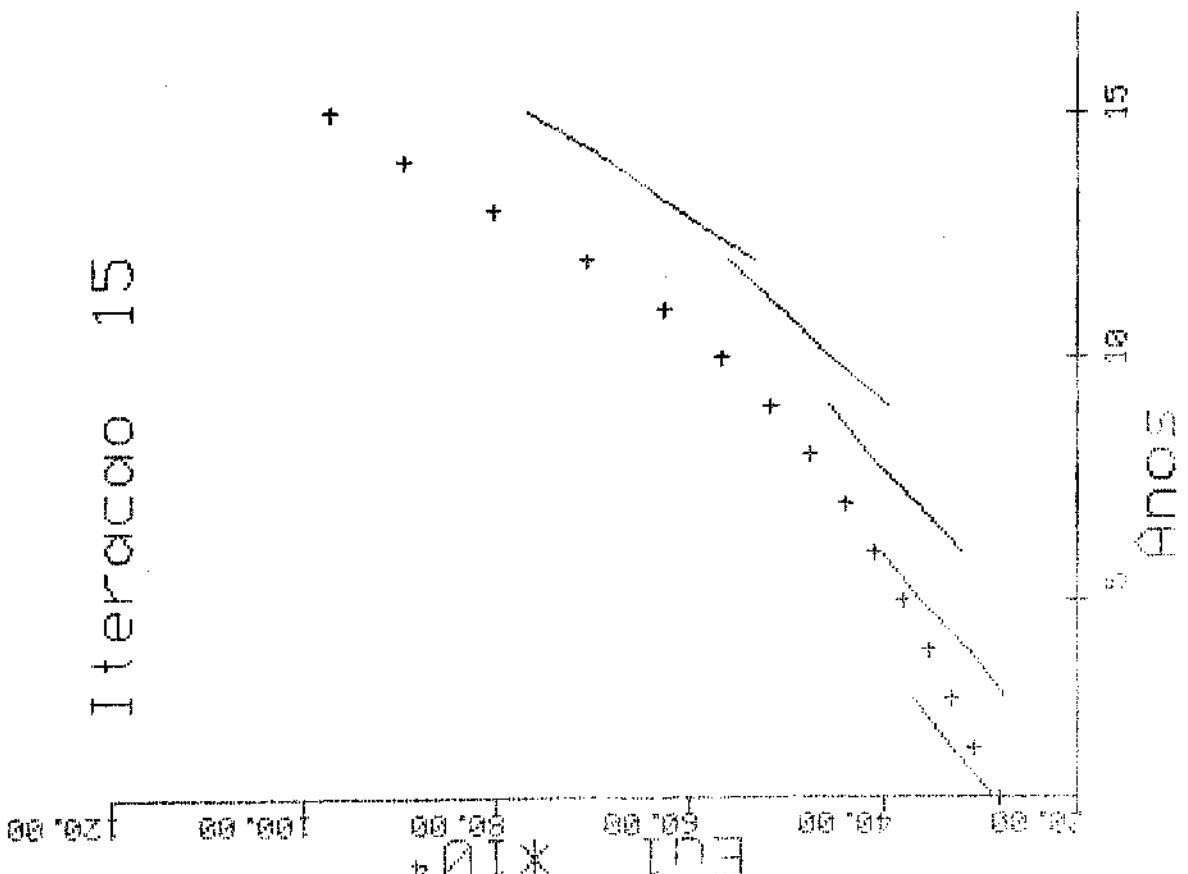
Anos



Iteração 10

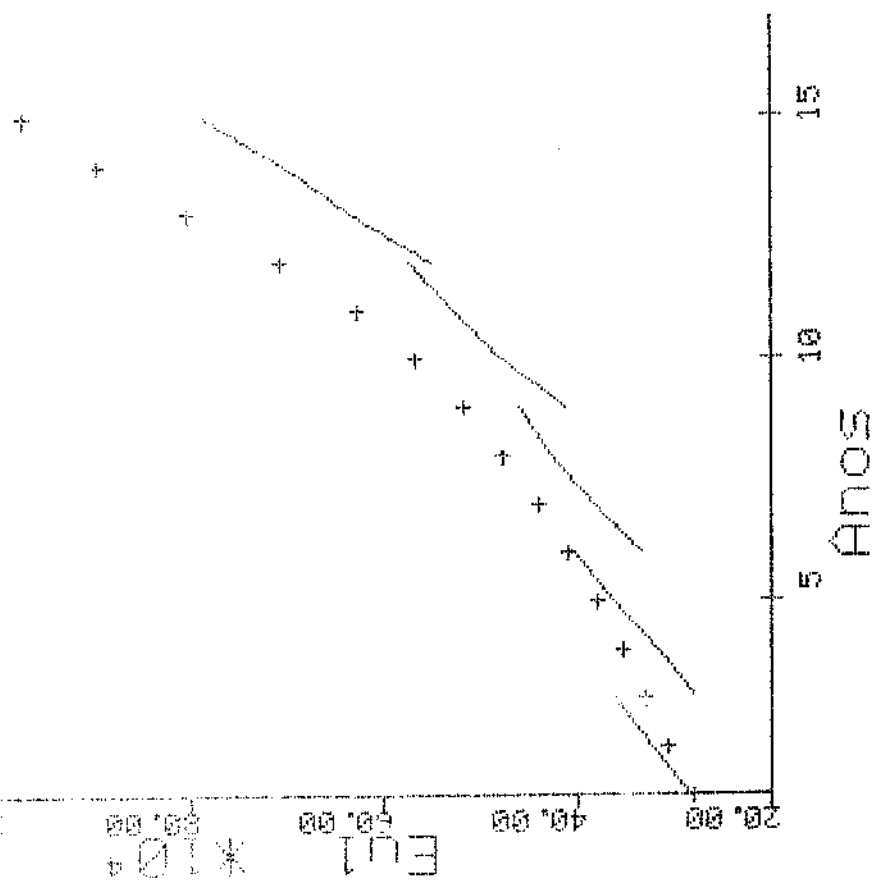
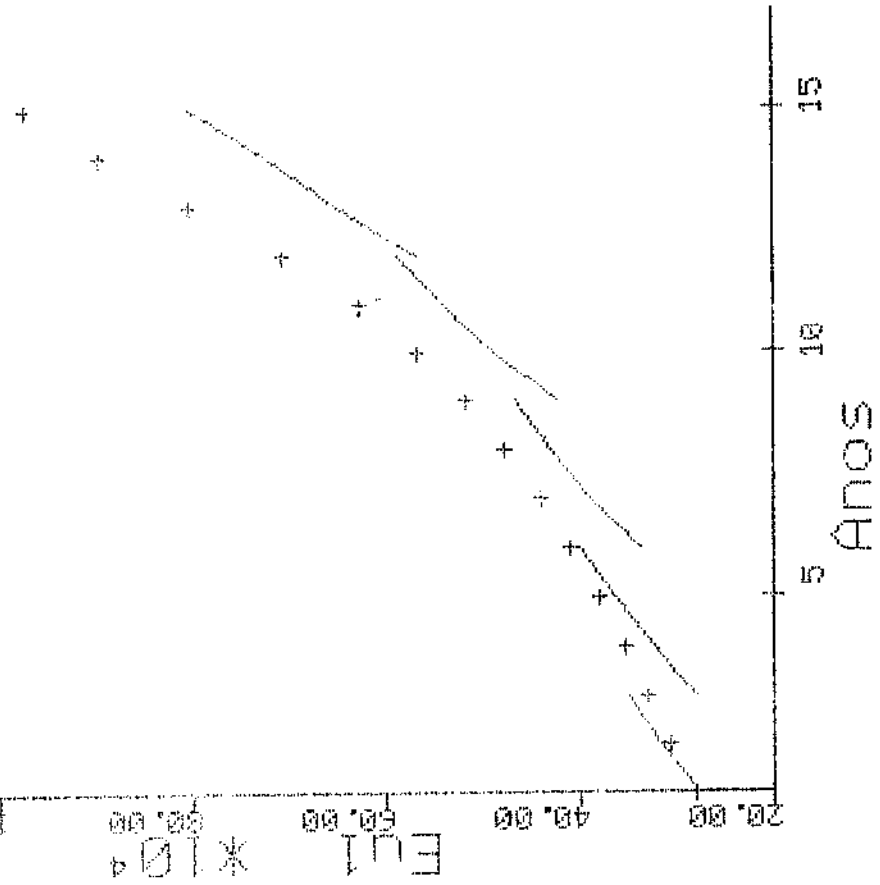


Iteração 15

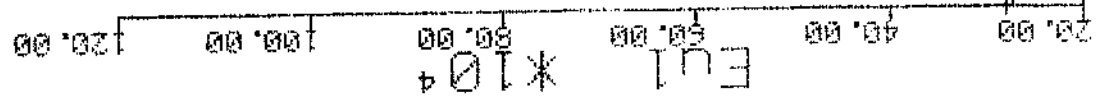


Intercambio 25

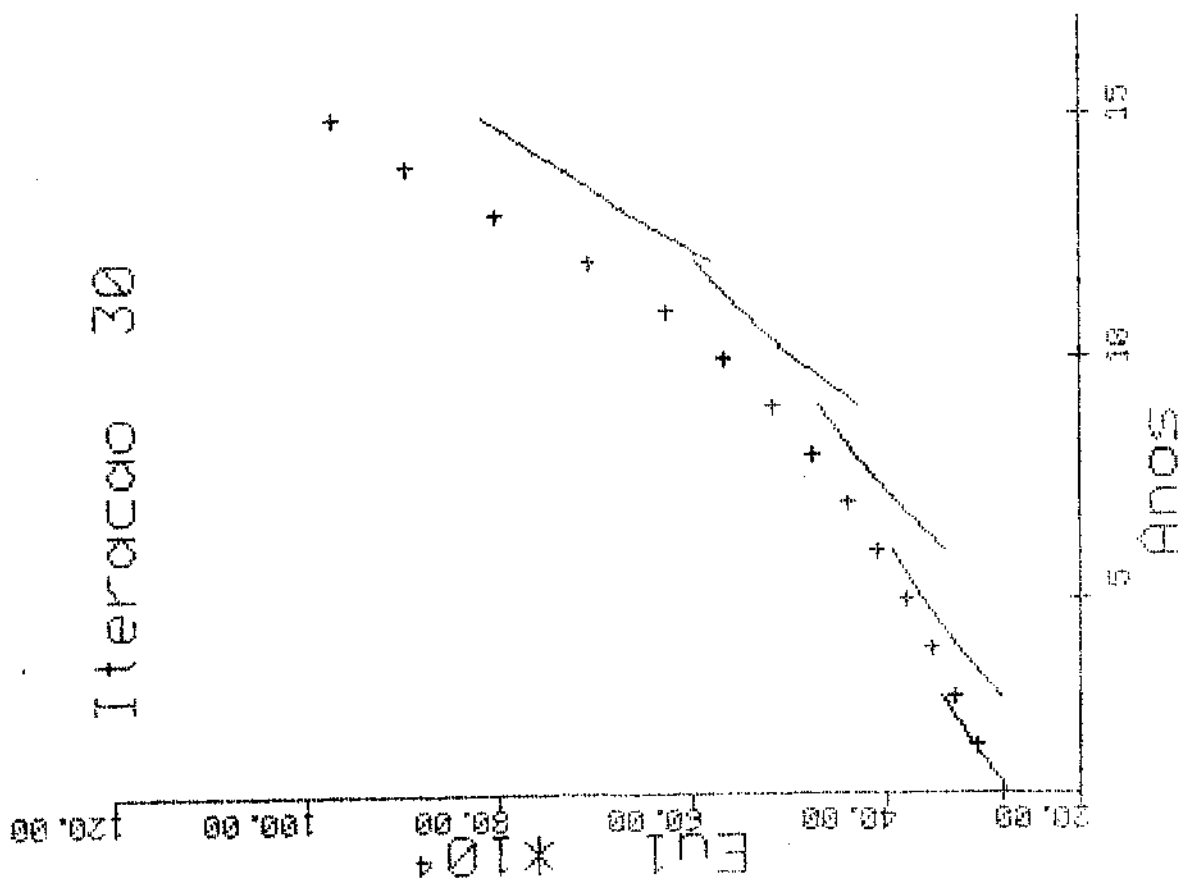
Intercambio 20



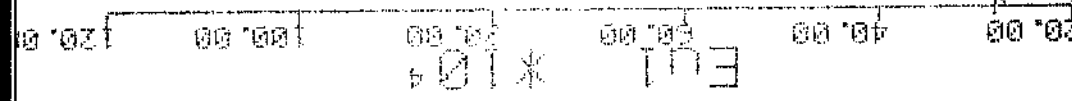
Terracão 35



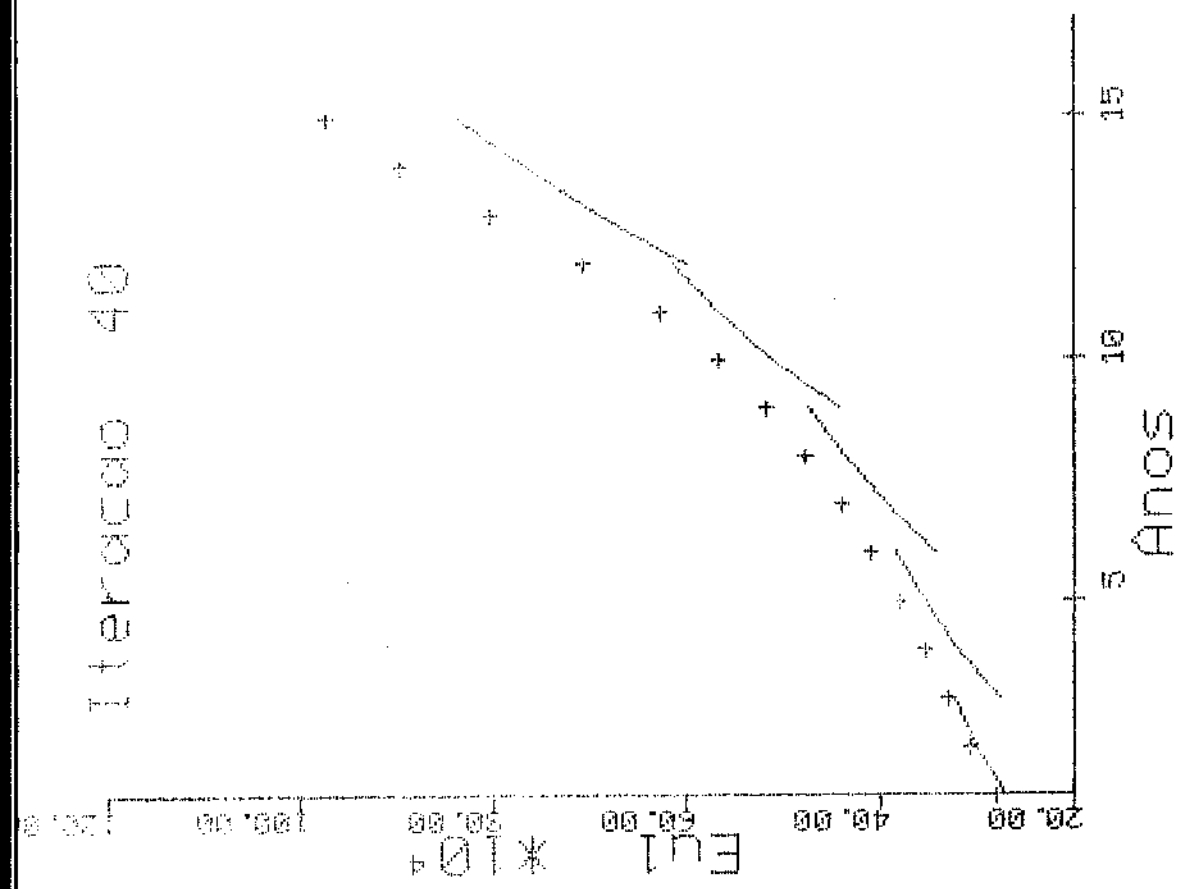
Terracão 30

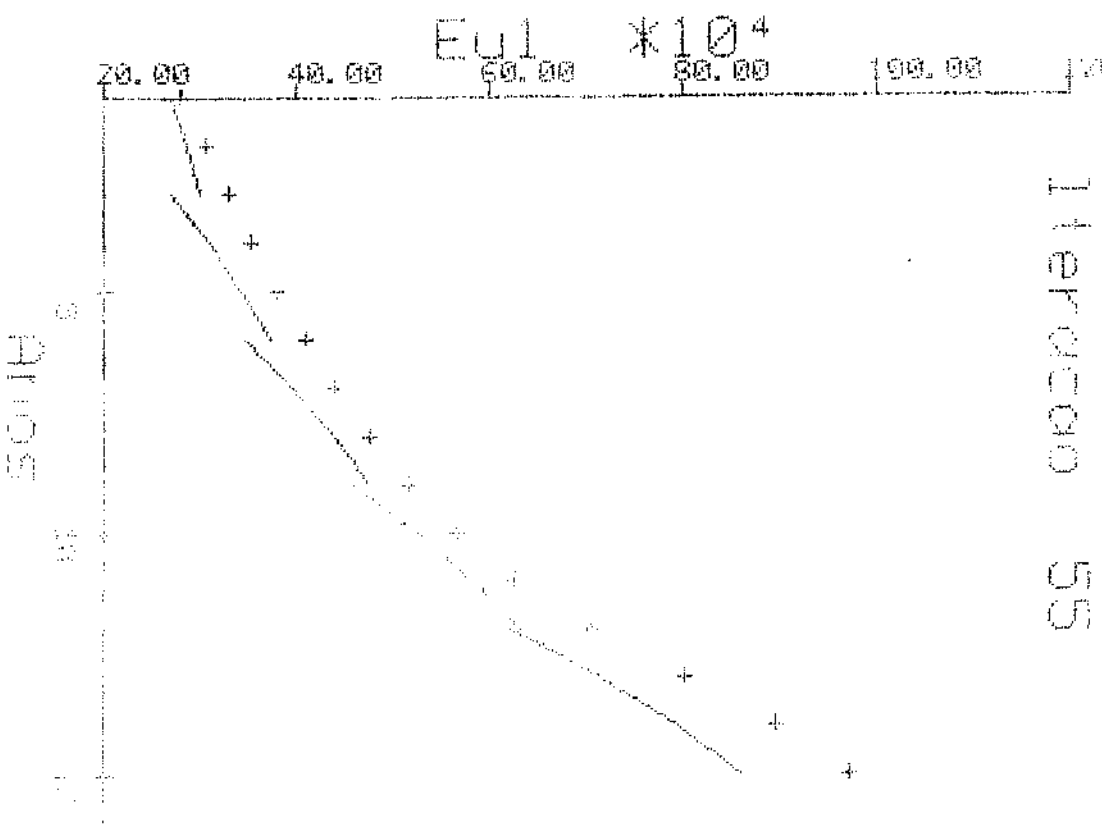
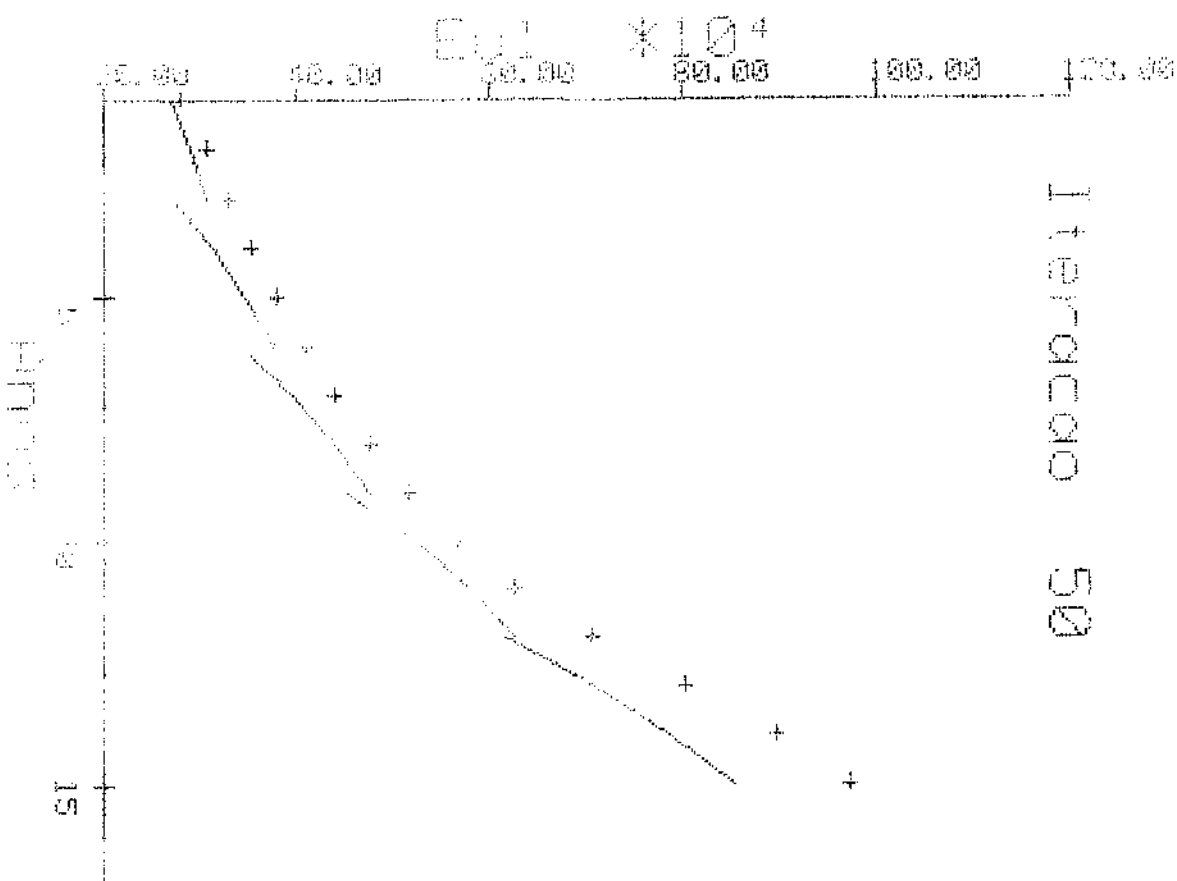


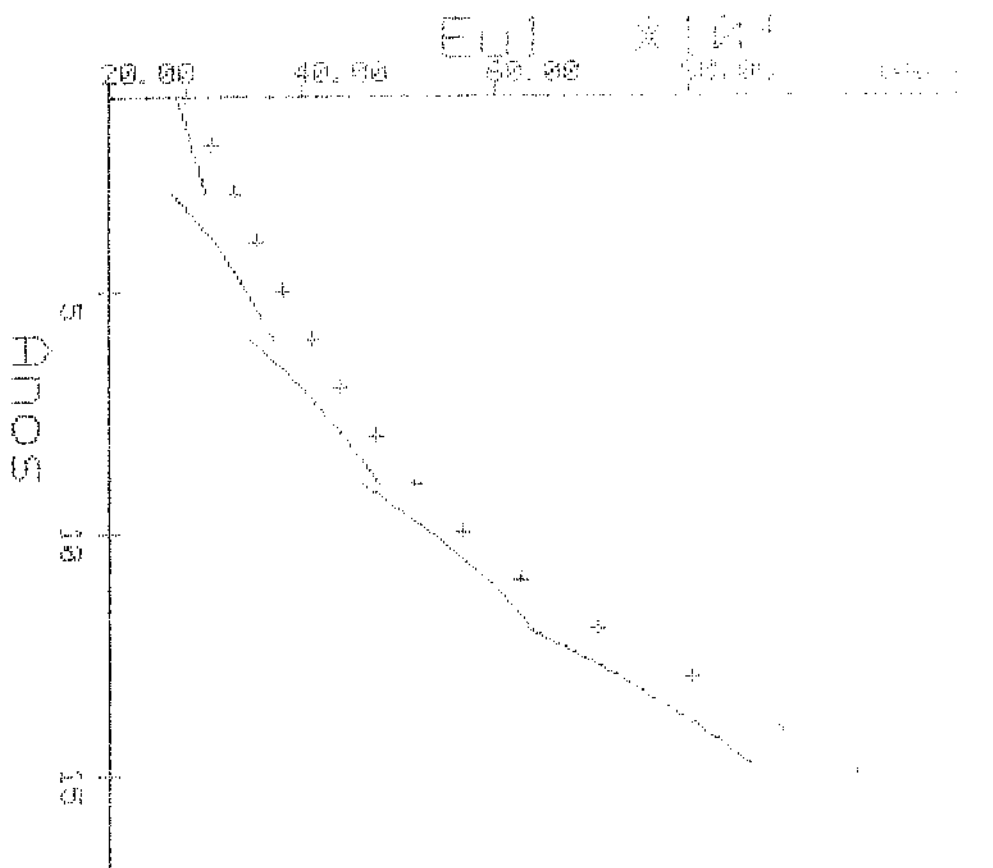
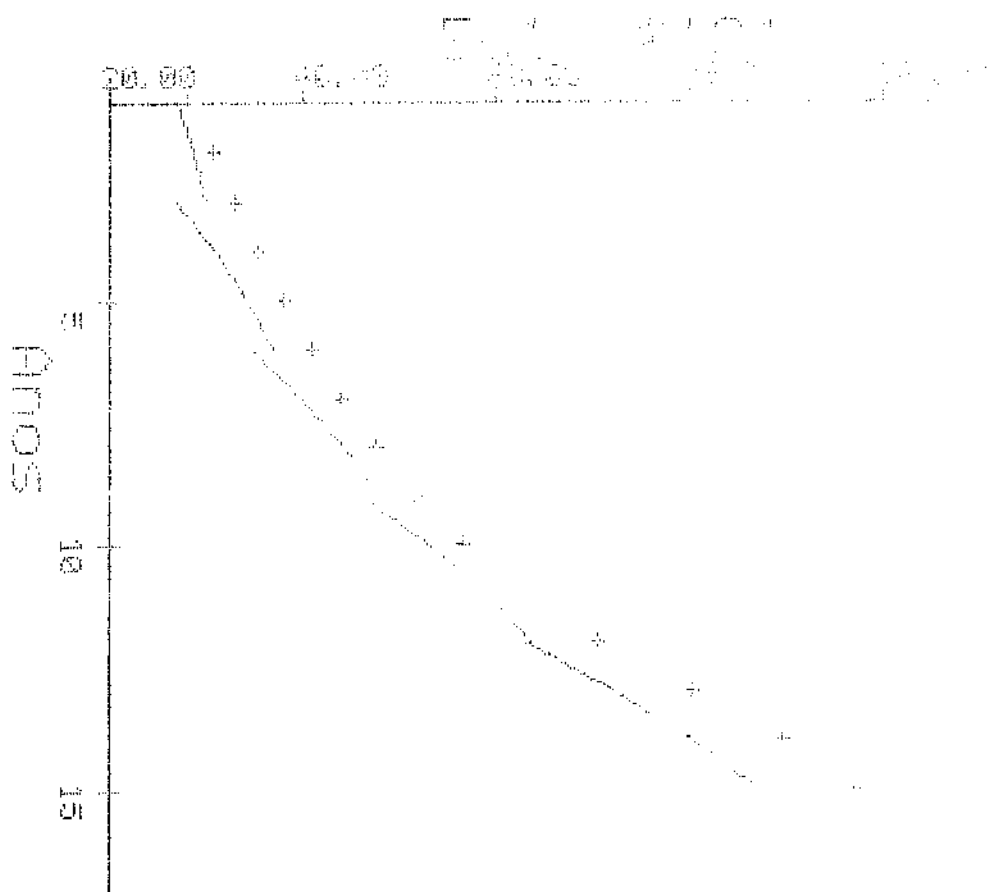
Intercâmbio 45



Intercâmbio 46

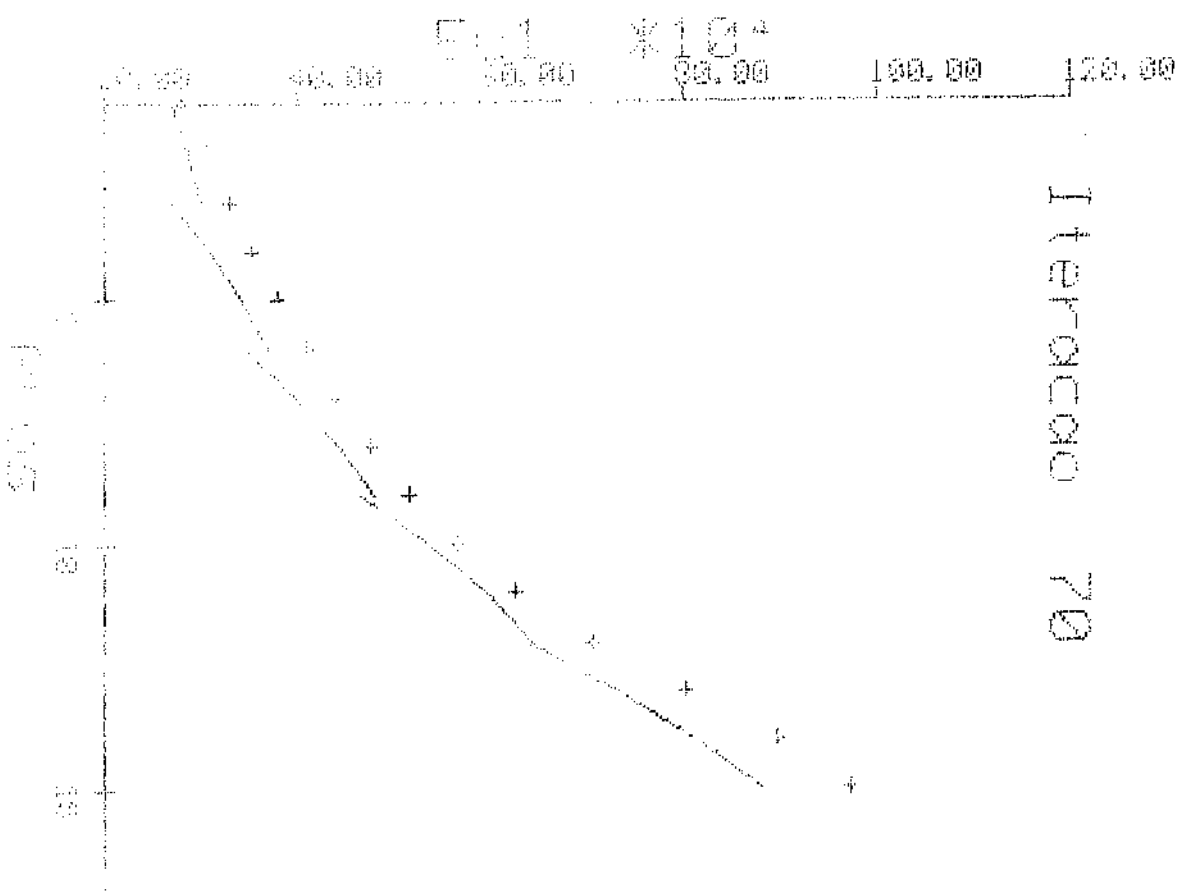


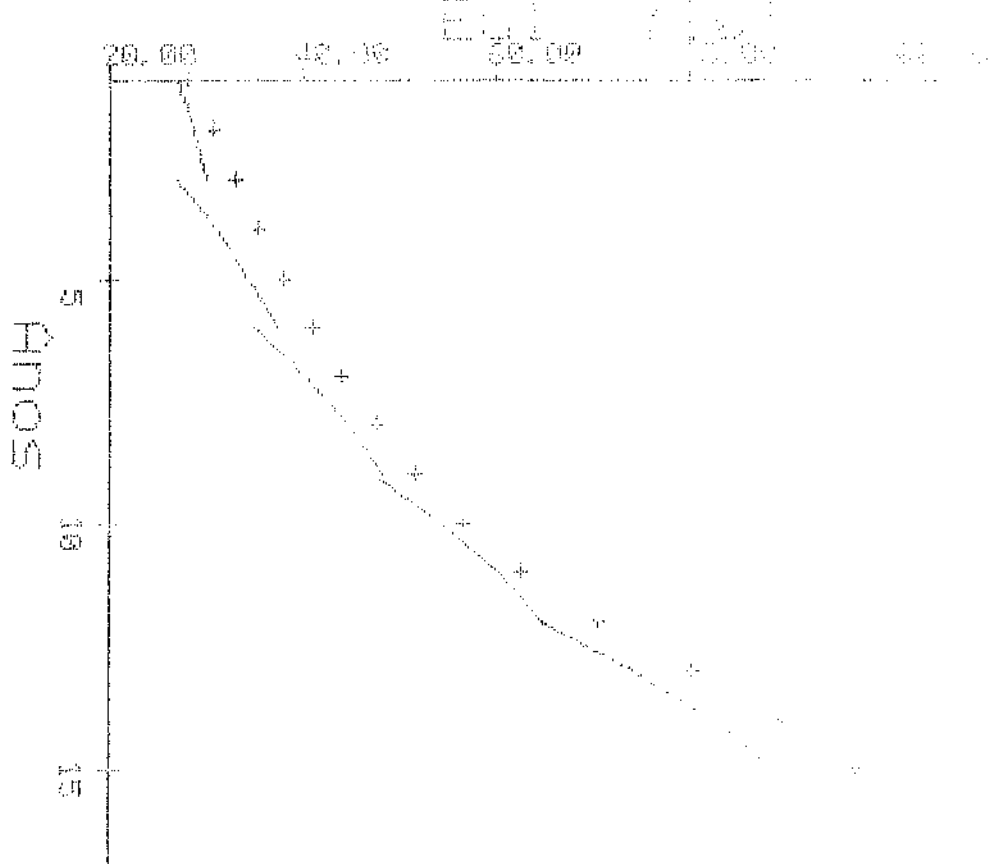


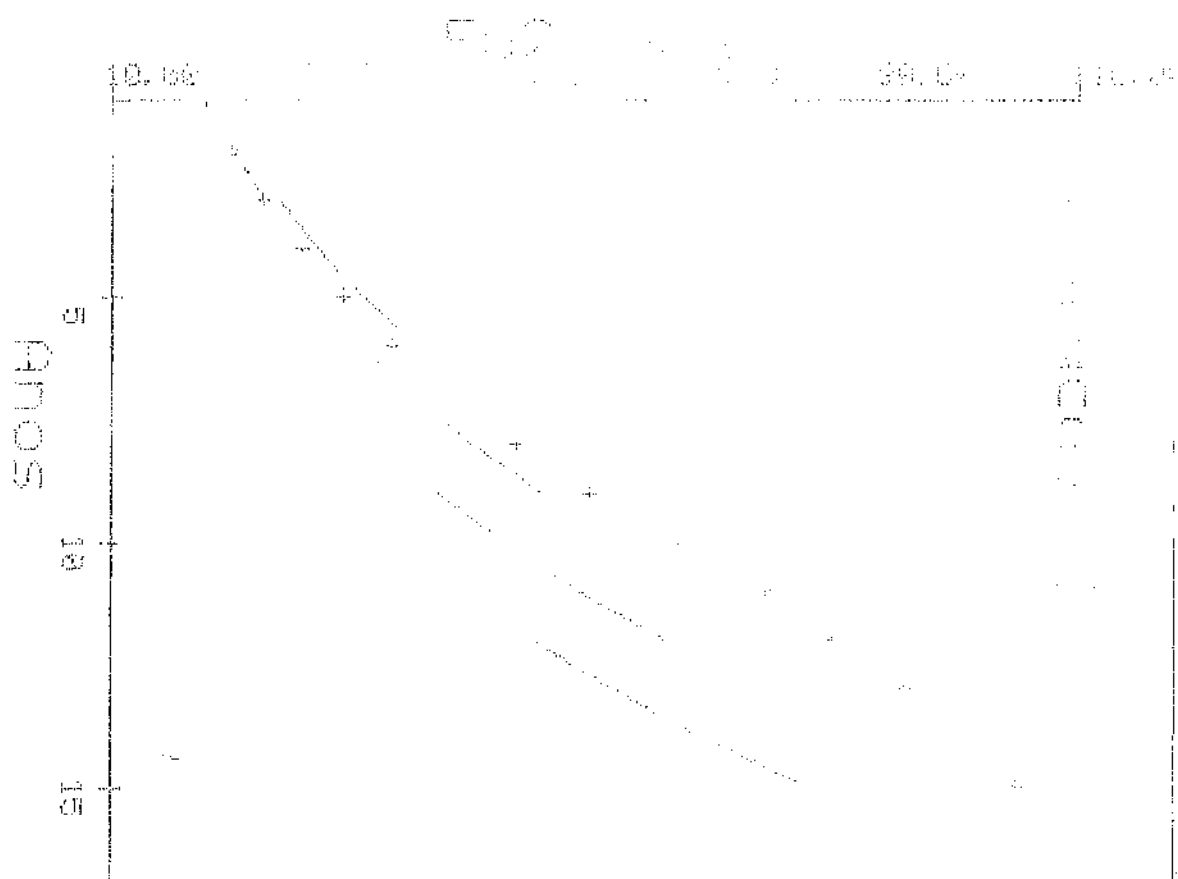


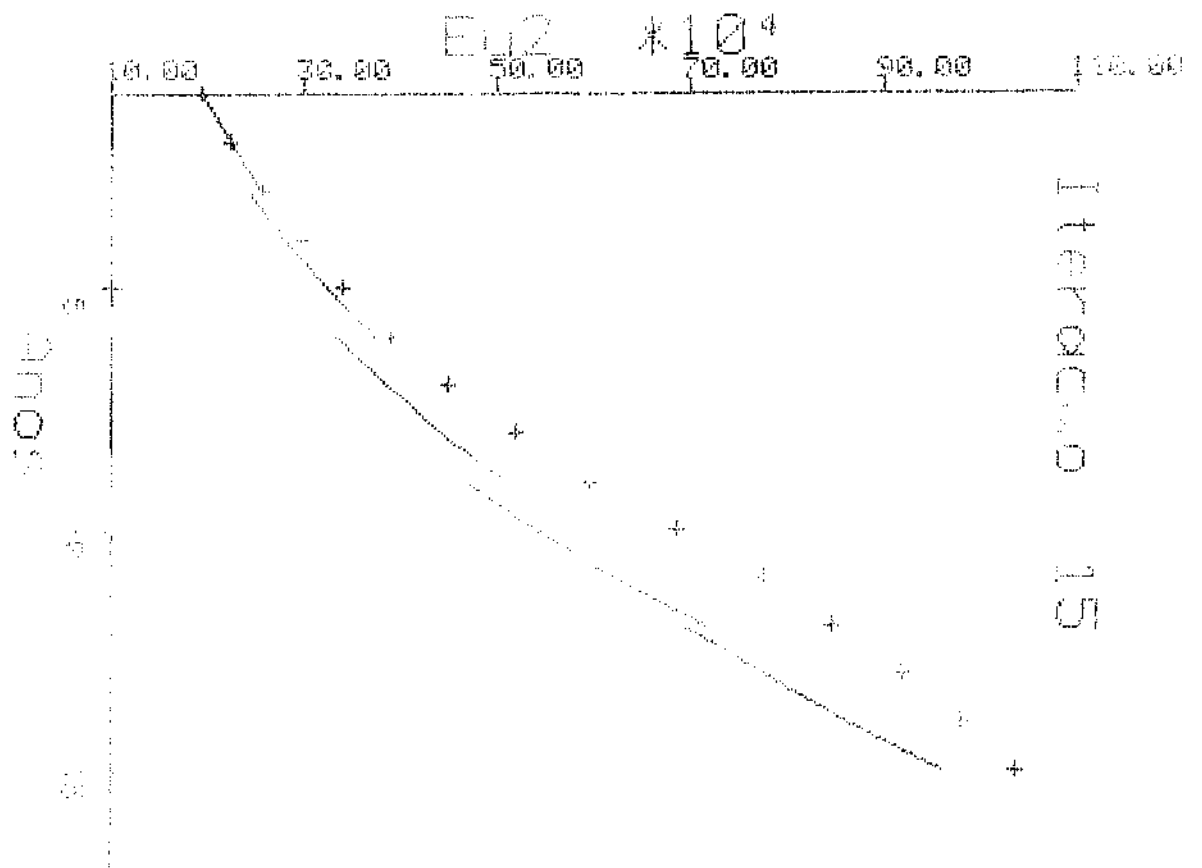
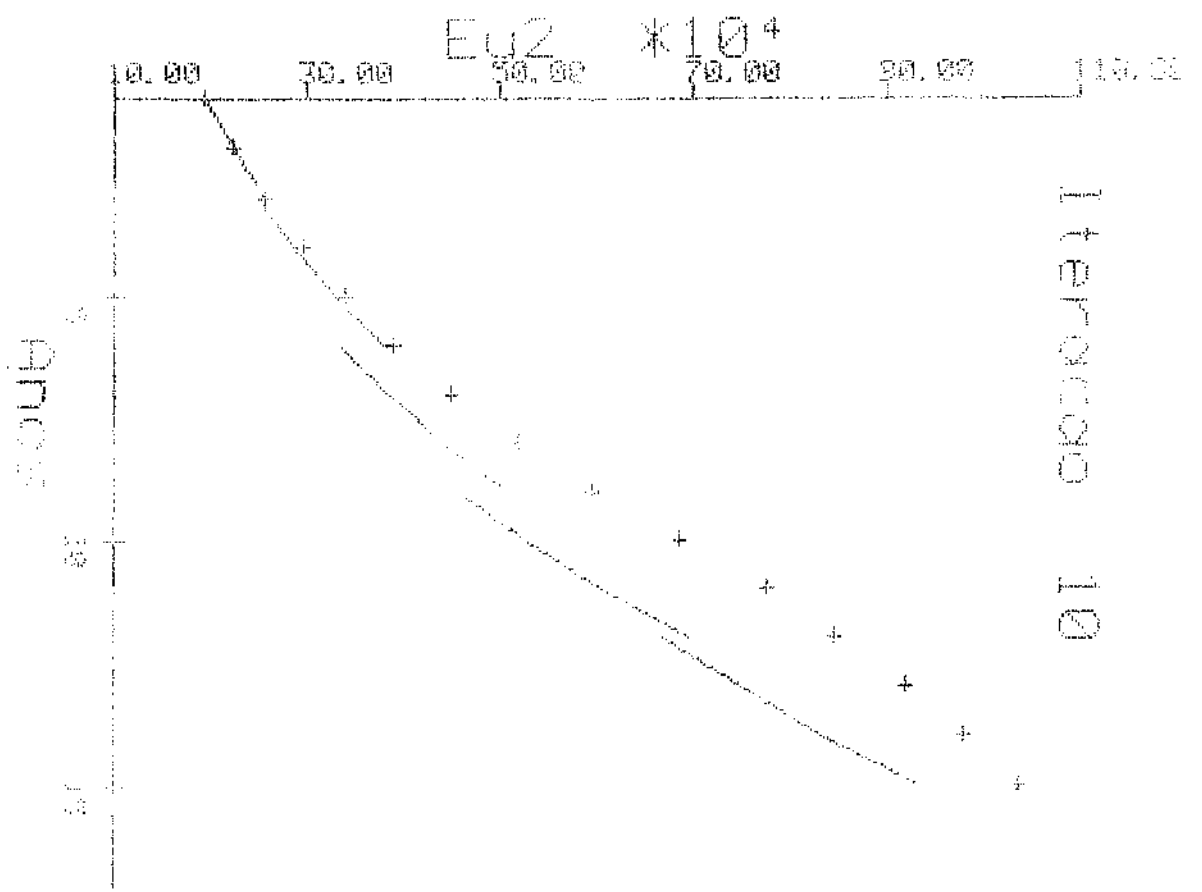
14-P-00000 70

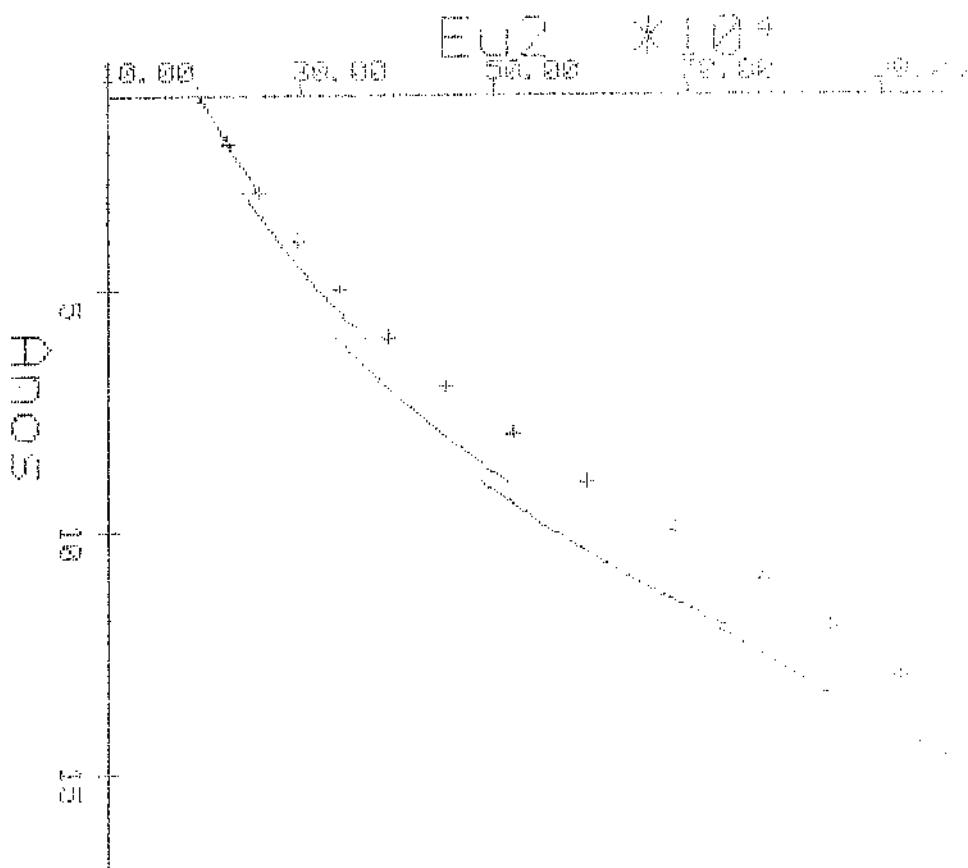
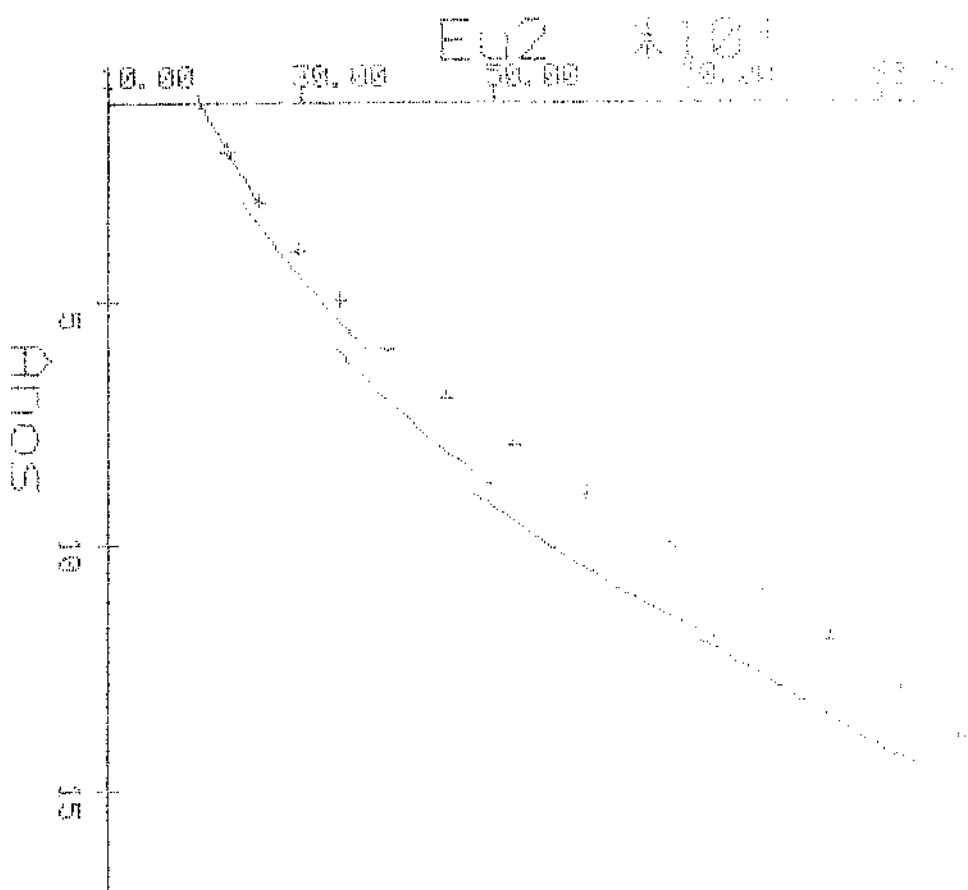
14-P-00000 30







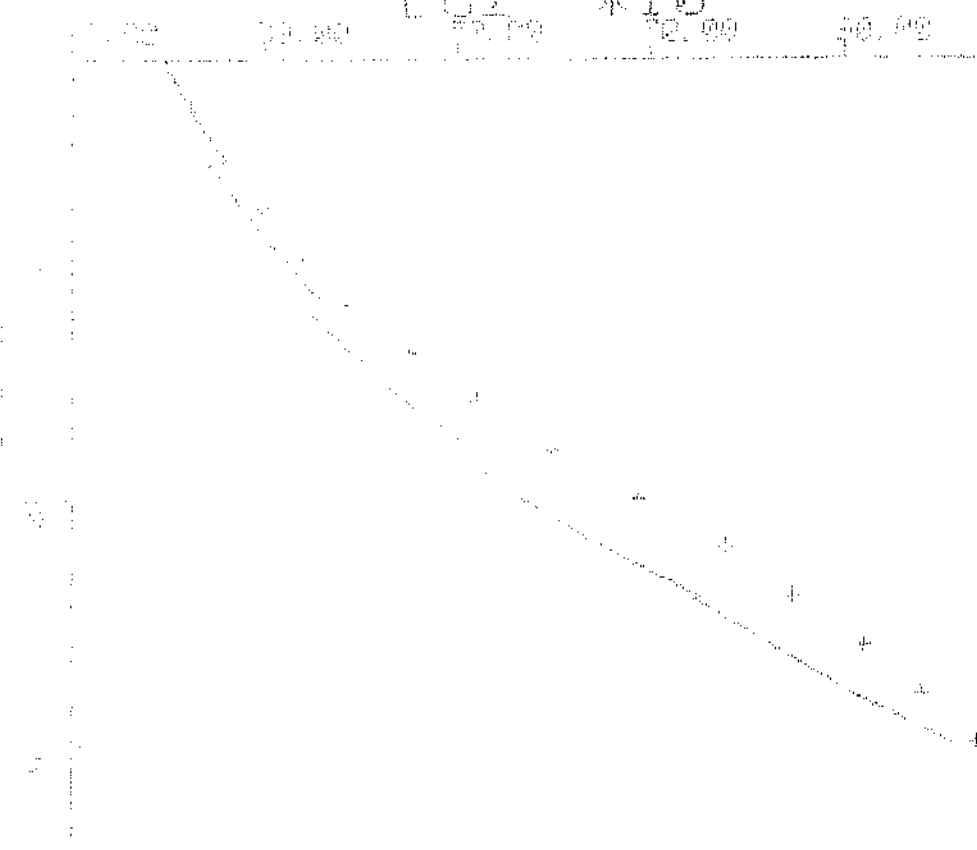




INTERPOLATION

(3)

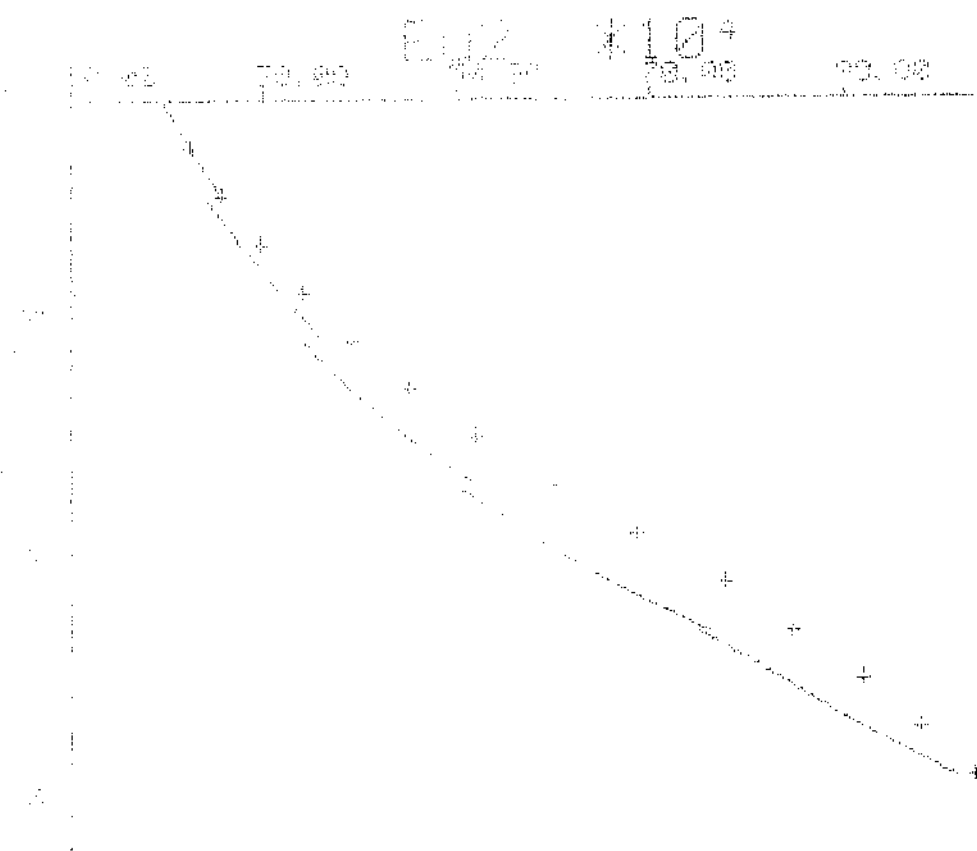
6.02 \* 10<sup>-4</sup>

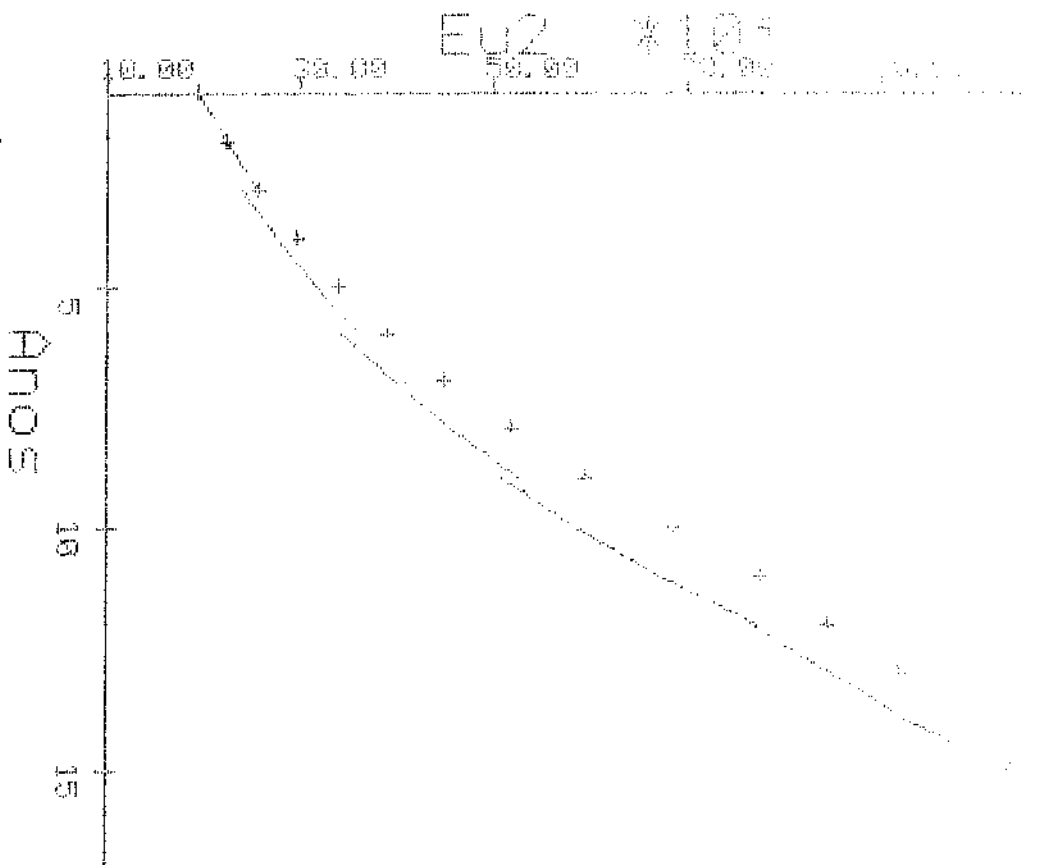
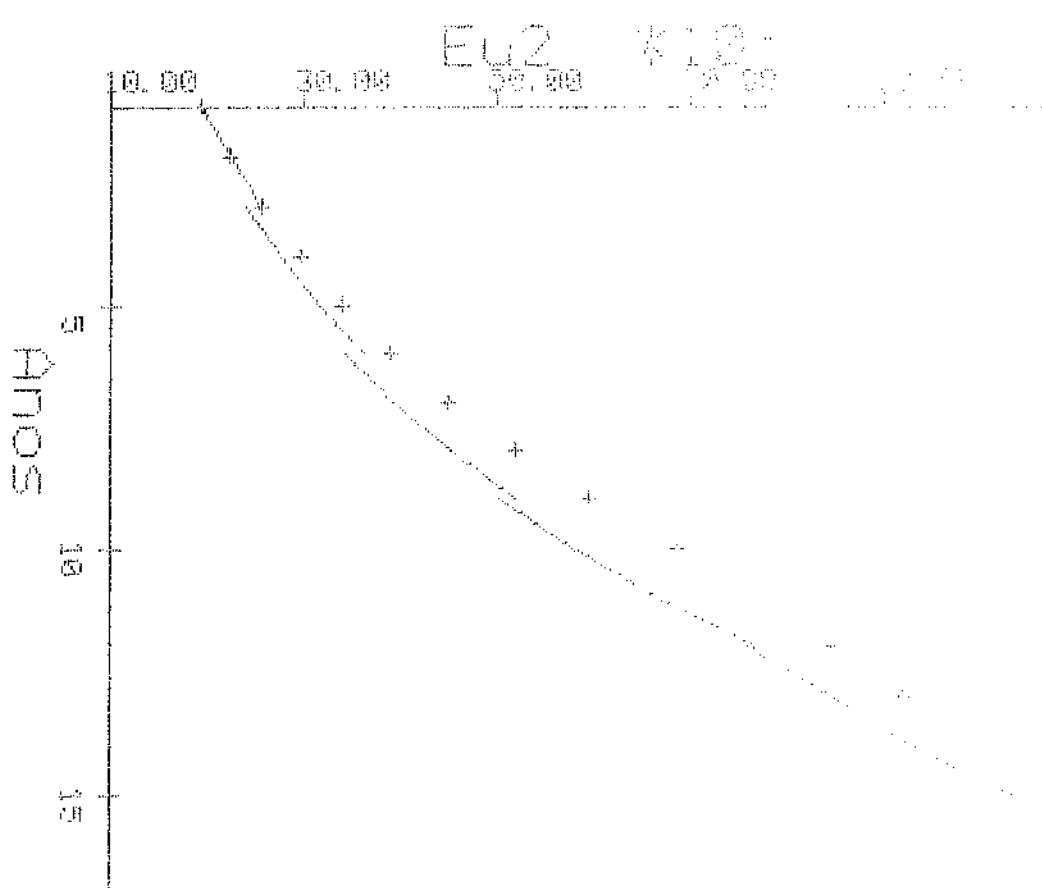


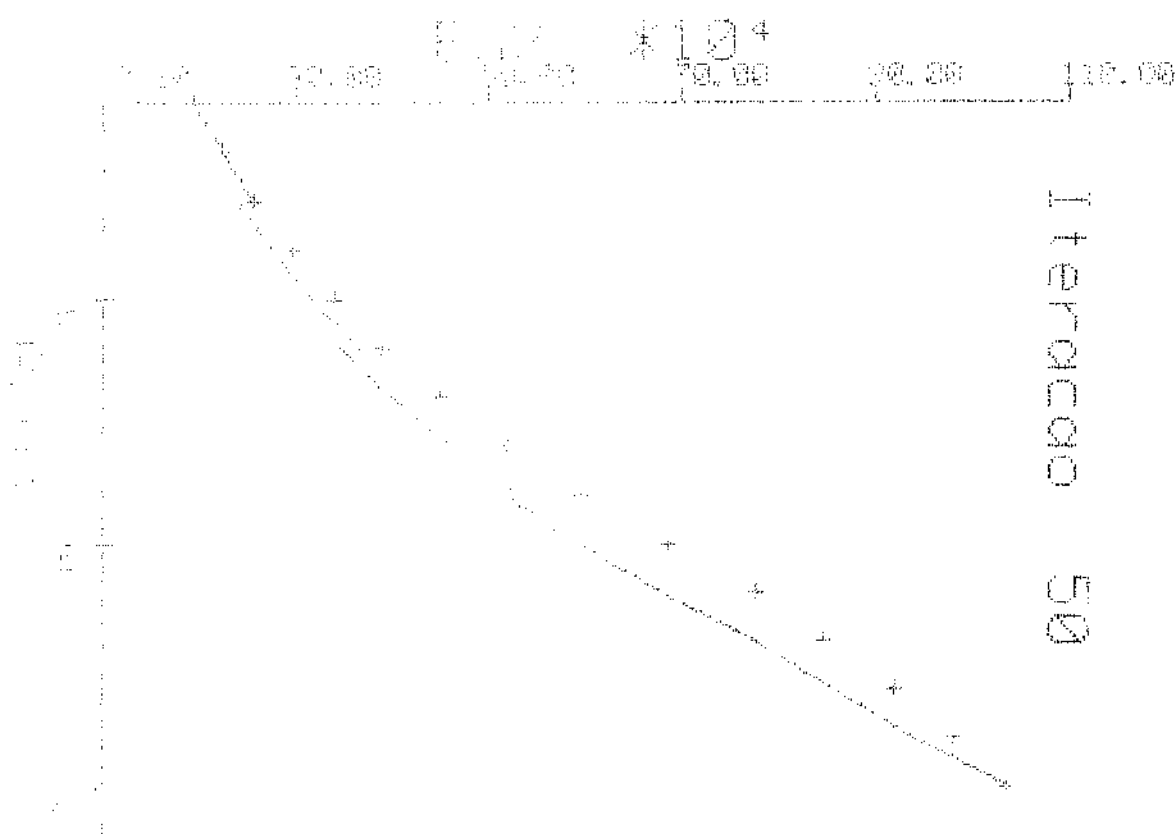
INTERPOLATION

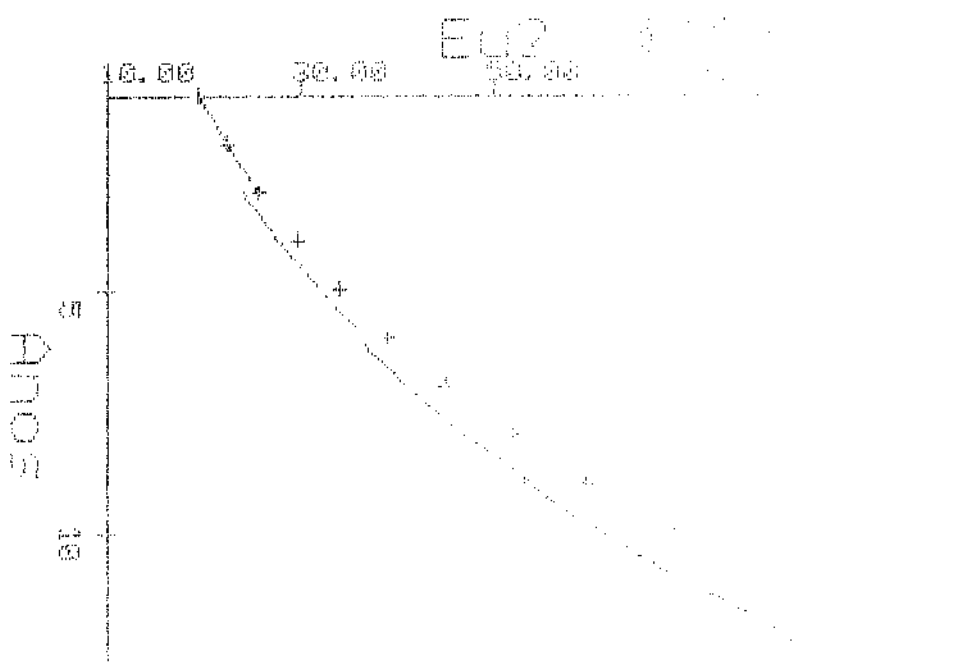
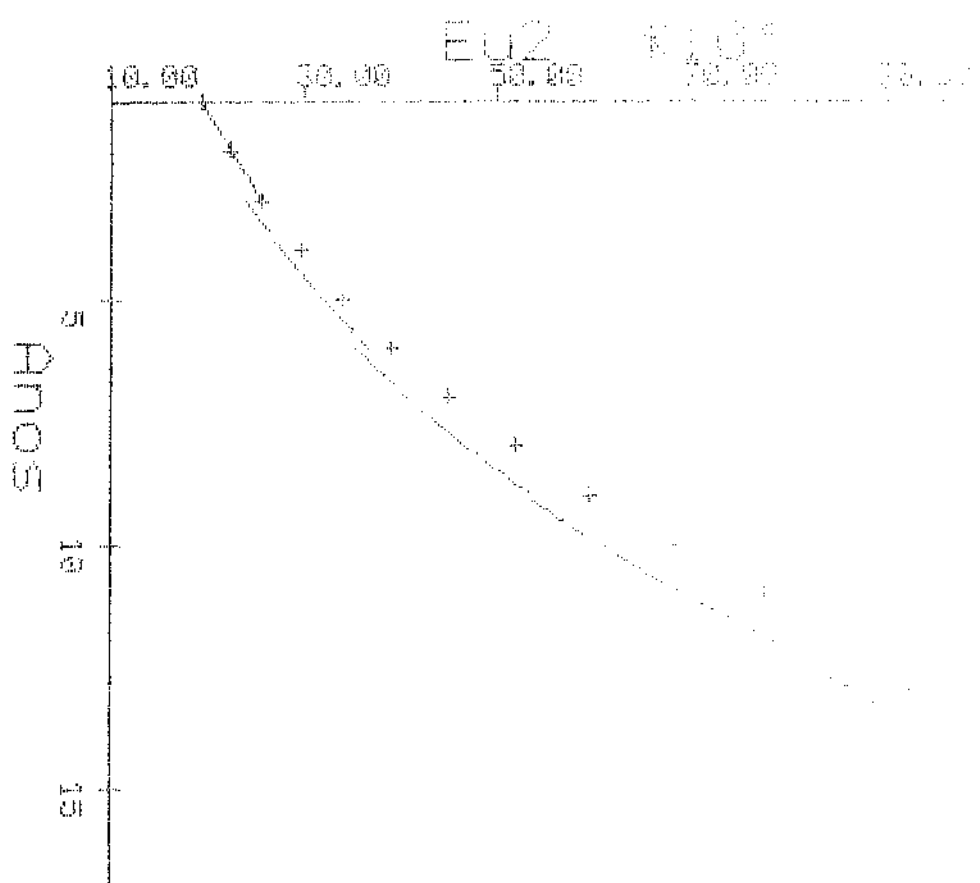
(4)

6.10 \* 10<sup>-4</sup>









卷之三

10

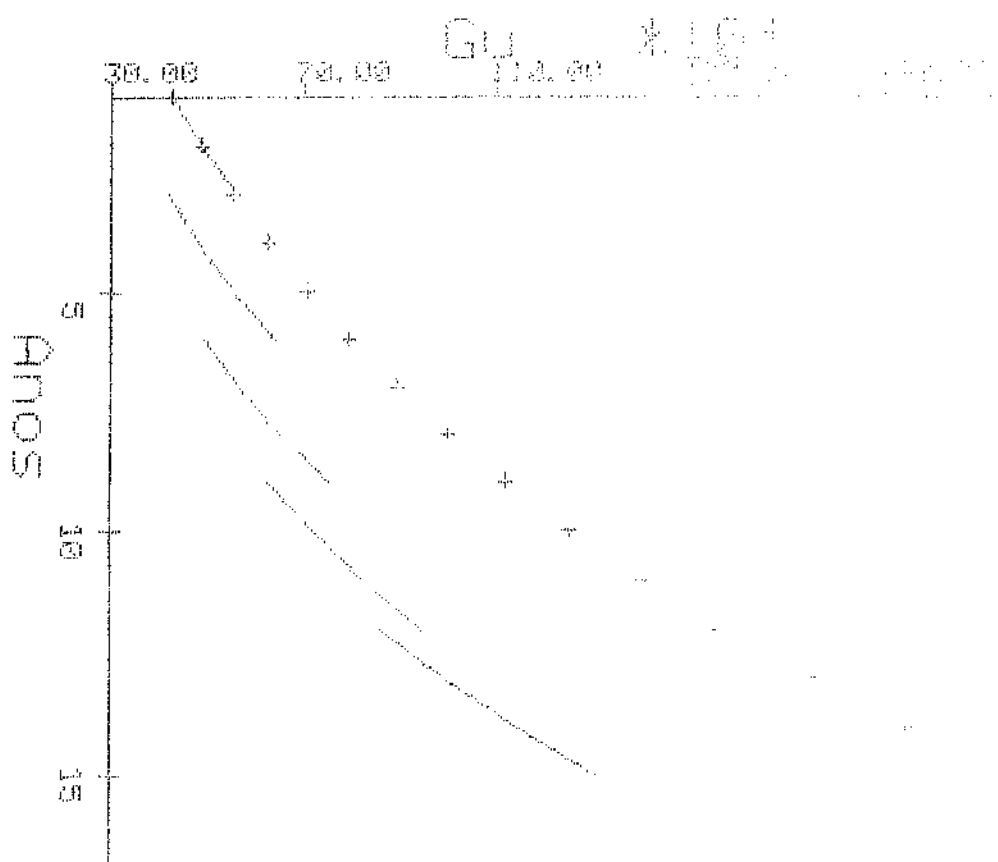
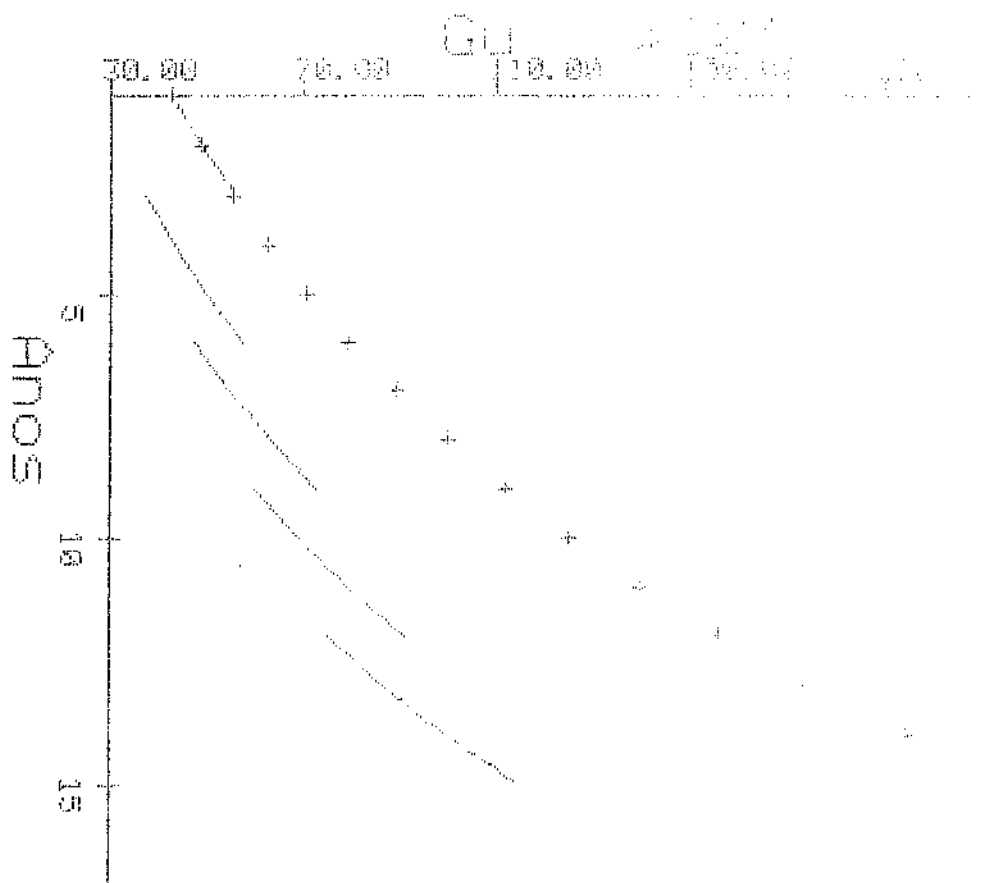
卷之三

60

Figure

18

19



Periodo

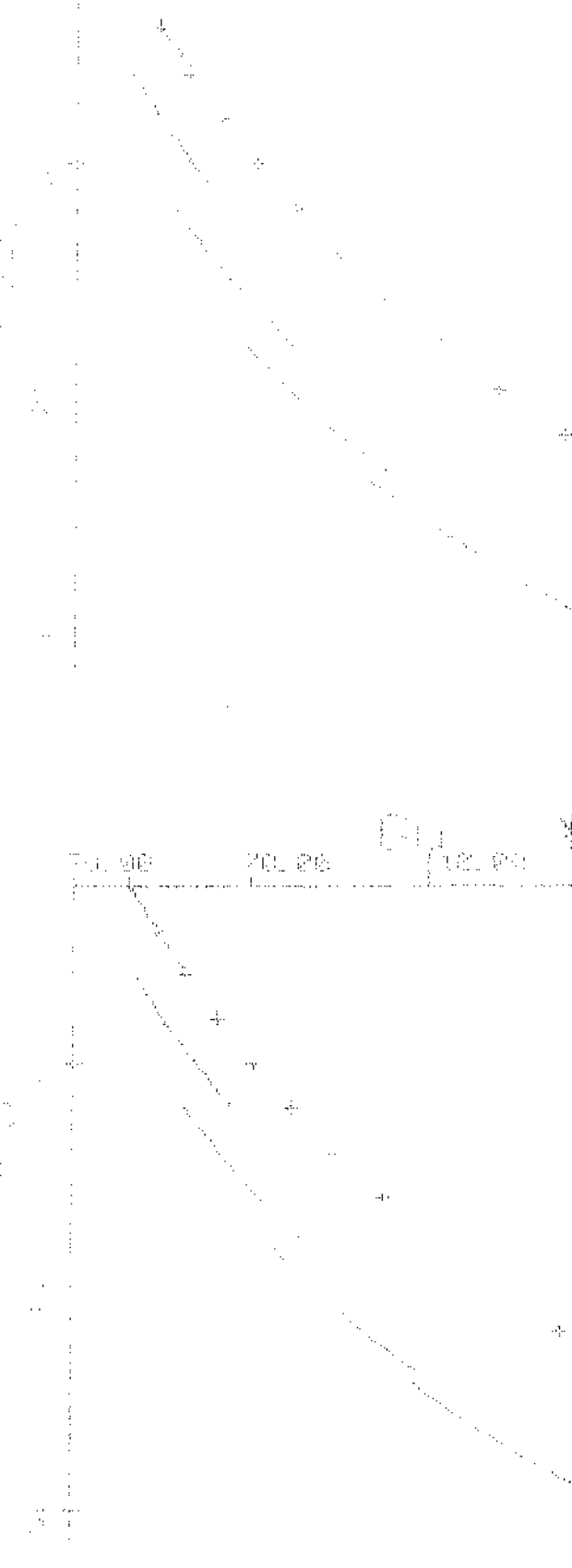
100

Periodo

15

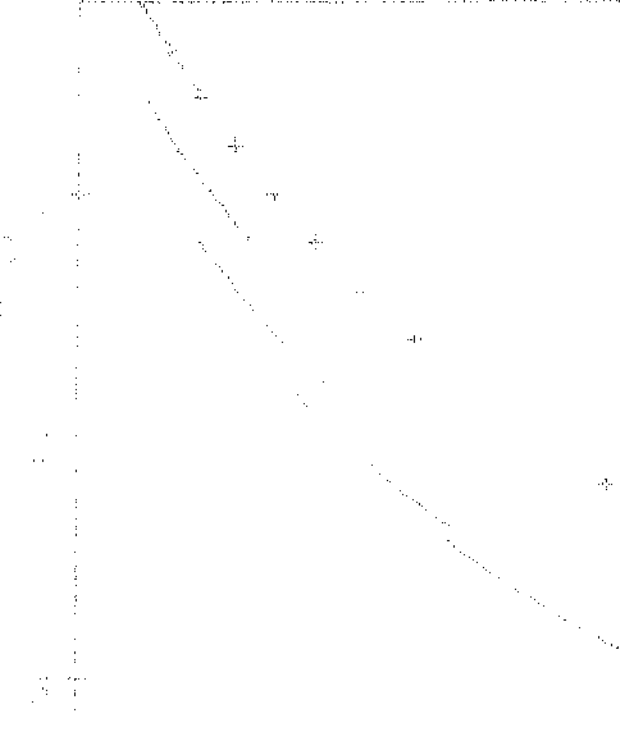
00.00 100.00 200.00 300.00 400.00 500.00 600.00 700.00 800.00 900.00 1000.00

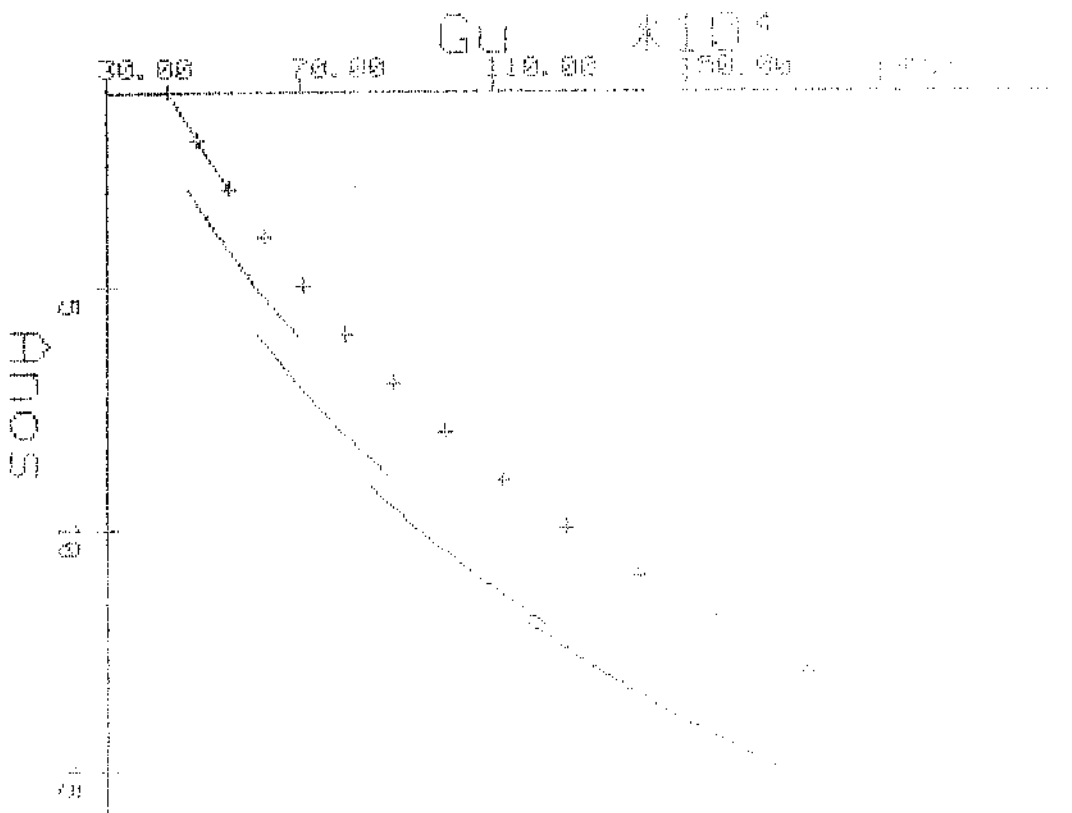
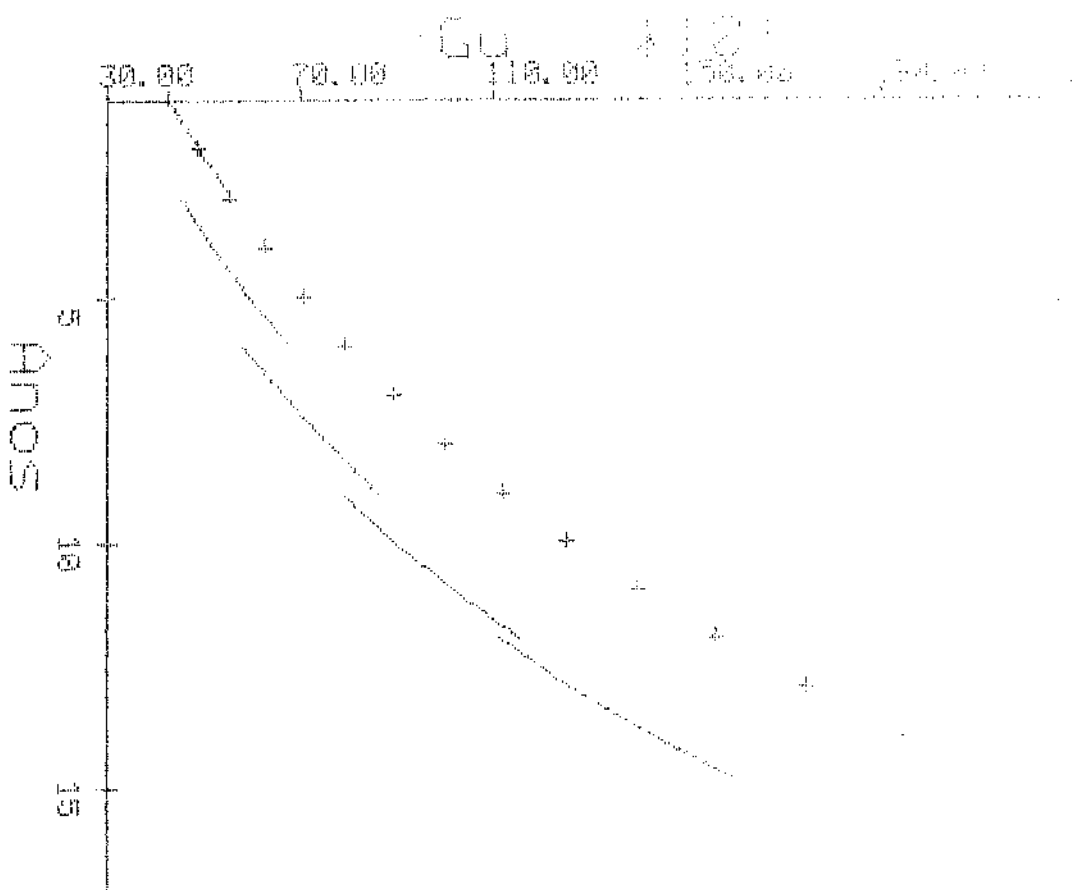
Y104



00.00 100.00 200.00 300.00 400.00 500.00 600.00 700.00 800.00 900.00 1000.00

Y104





100.00 100.00 100.00 100.00 100.00

100.00 100.00 100.00 100.00 100.00

100.00 100.00 100.00 100.00 100.00

100.00 100.00 100.00 100.00 100.00

100.00 100.00 100.00 100.00 100.00

100.00 100.00 100.00 100.00 100.00

100.00 100.00 100.00 100.00 100.00

100.00 100.00 100.00 100.00 100.00

100.00 100.00 100.00 100.00 100.00

100.00 100.00 100.00 100.00 100.00

10

٤٨

10

102

10

10

102

卷之三

Page 60

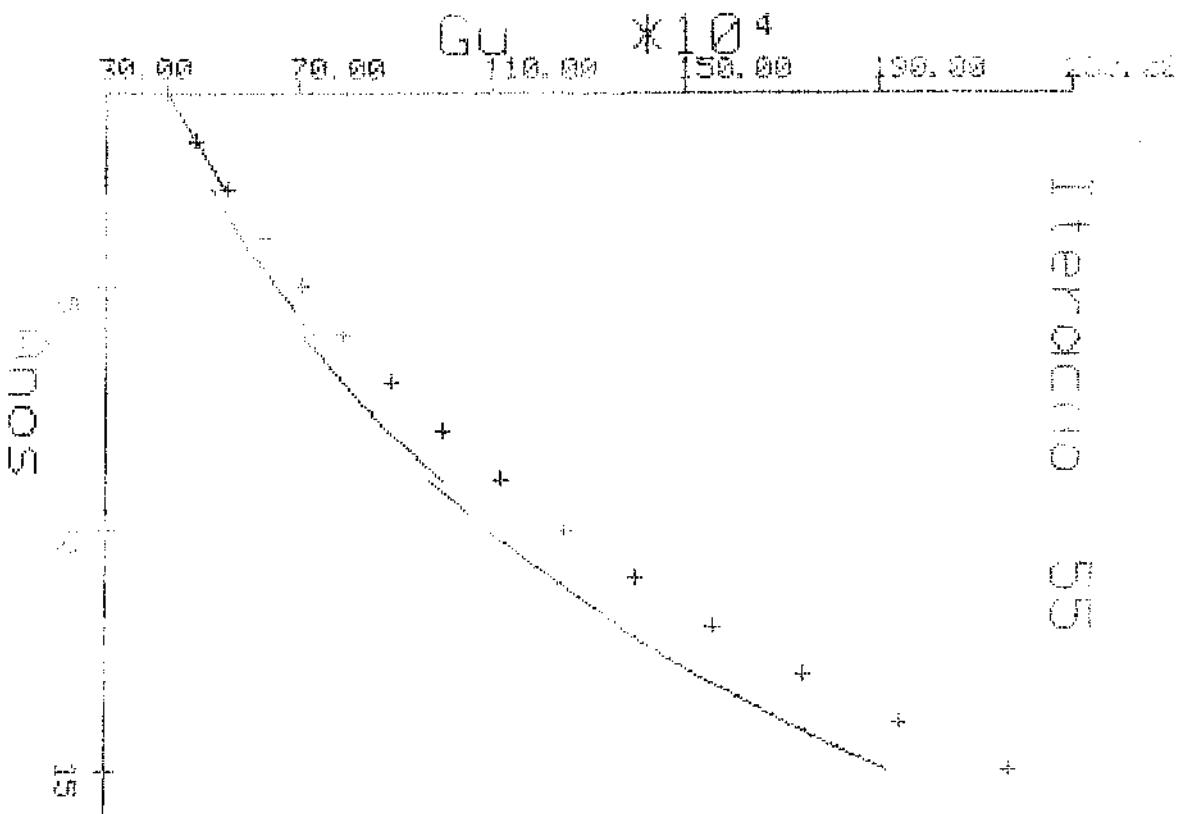
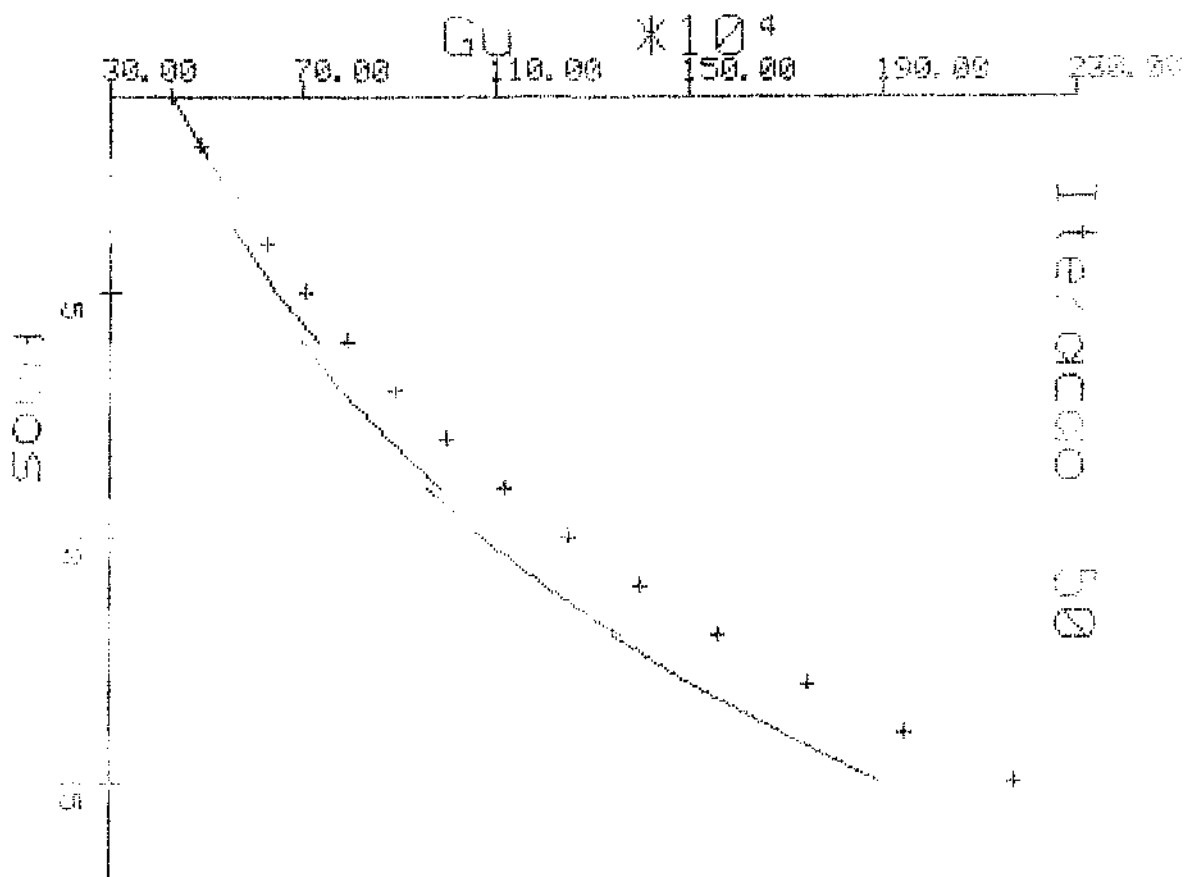
卷之三

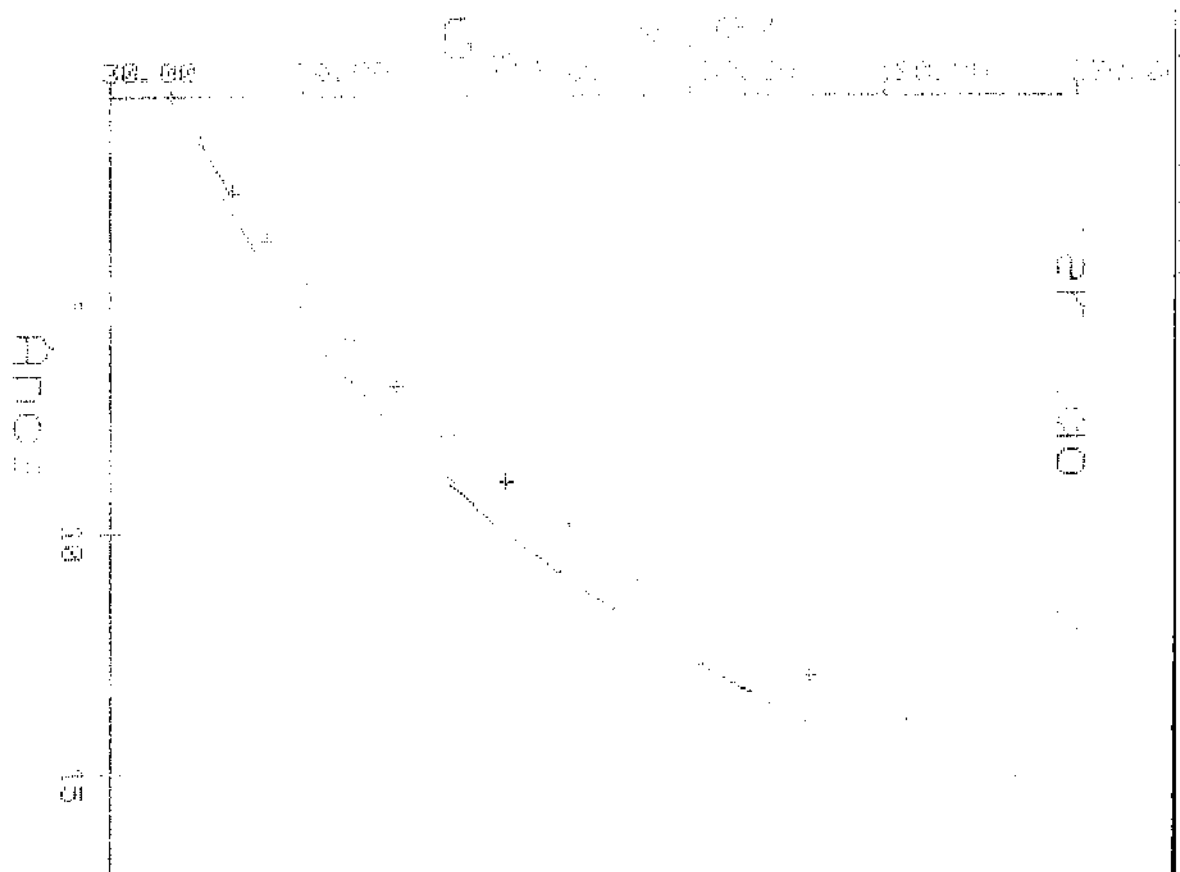
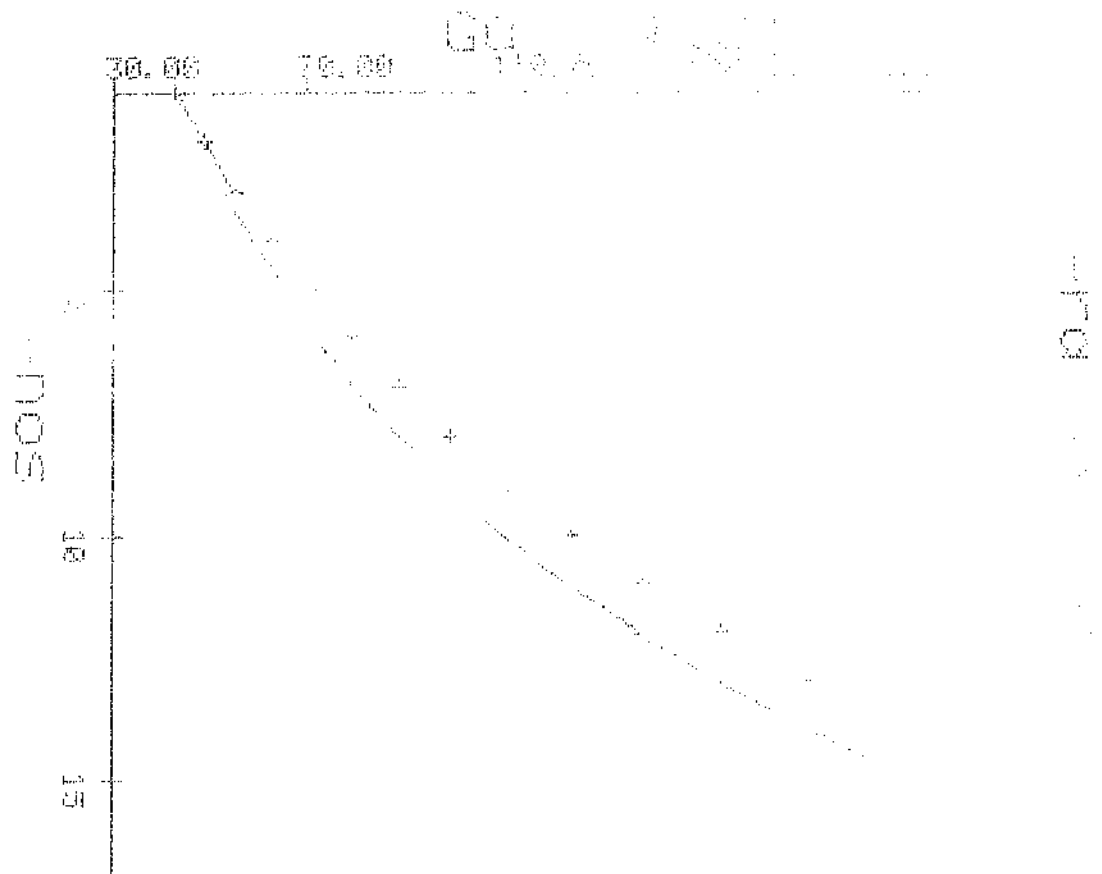
୧୯୮୮ ମାର୍ଚ୍ଚ

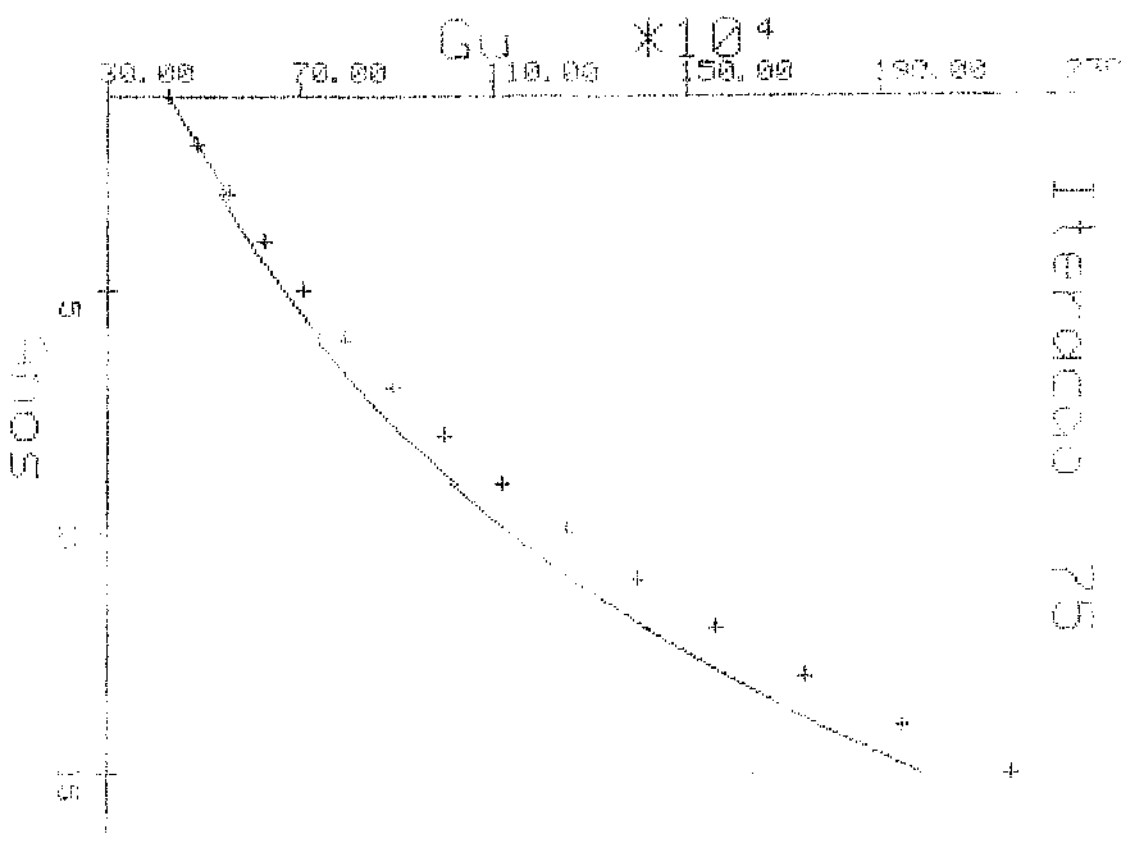
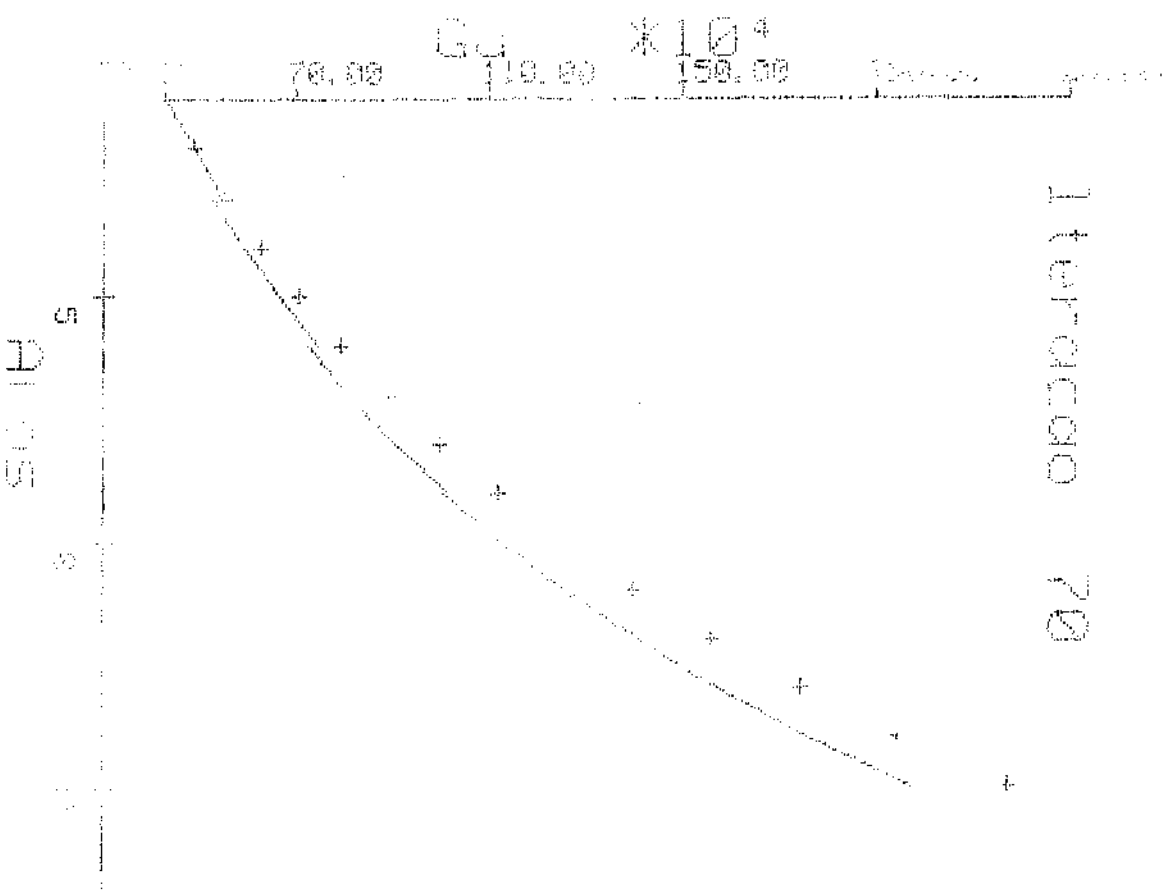
770 50

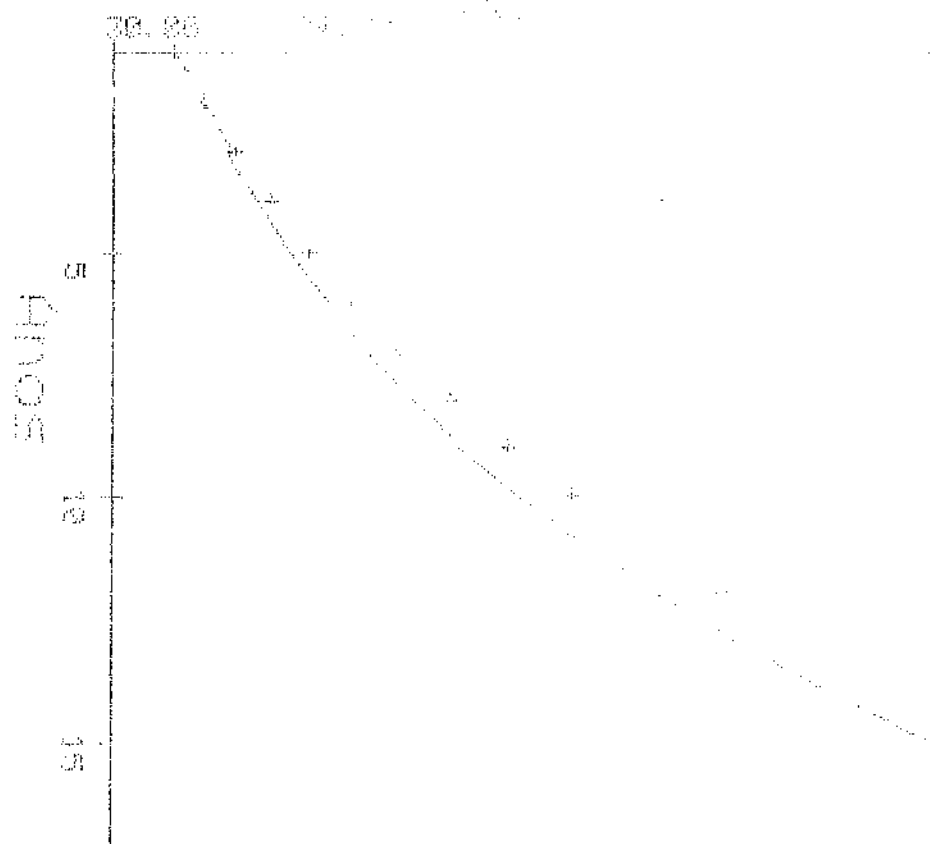
卷之三

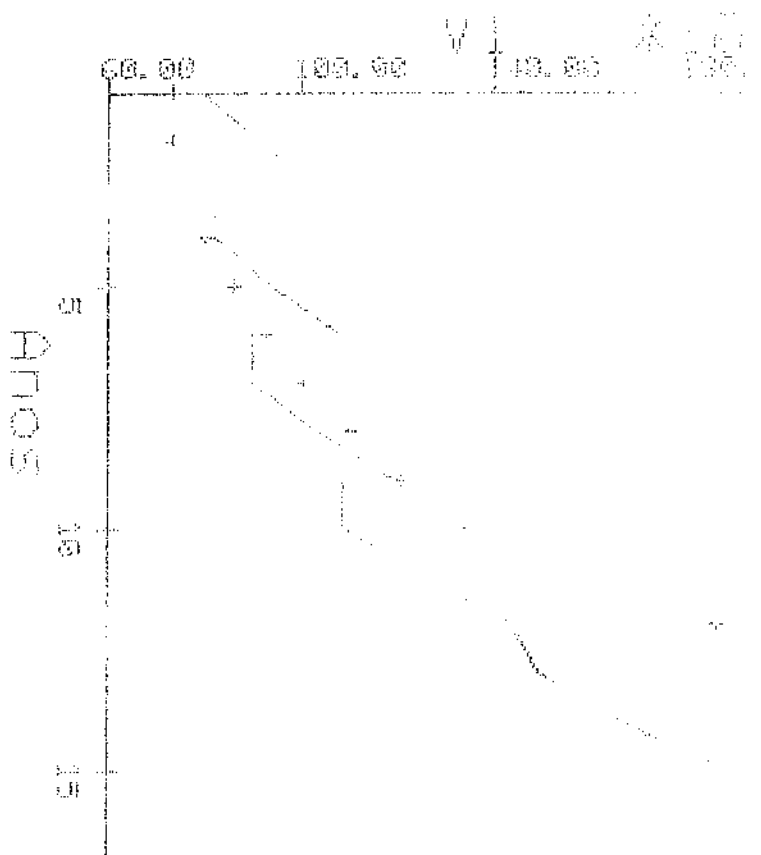
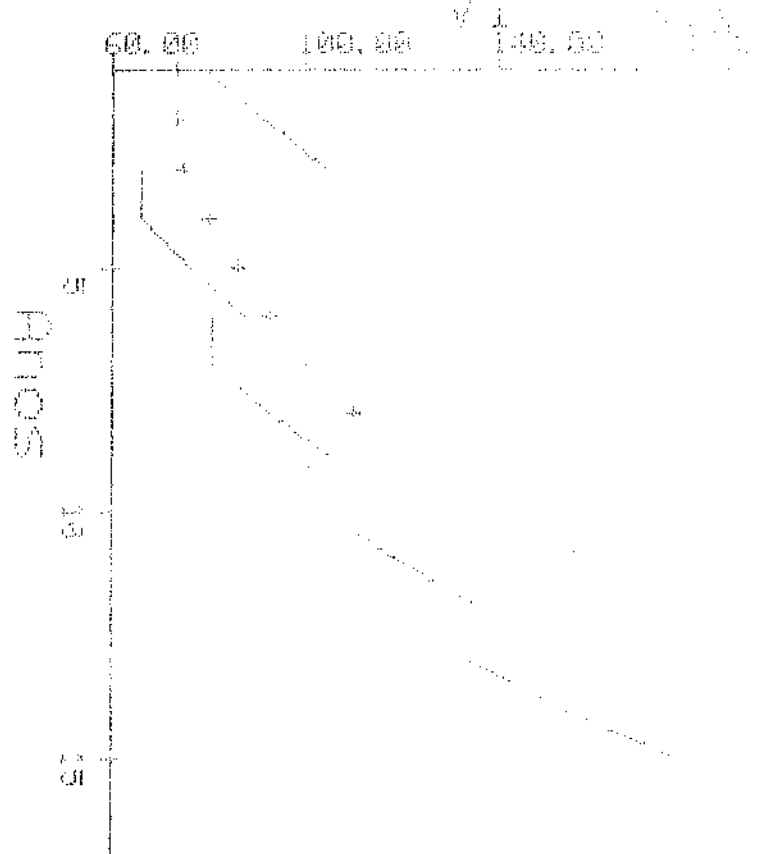
T

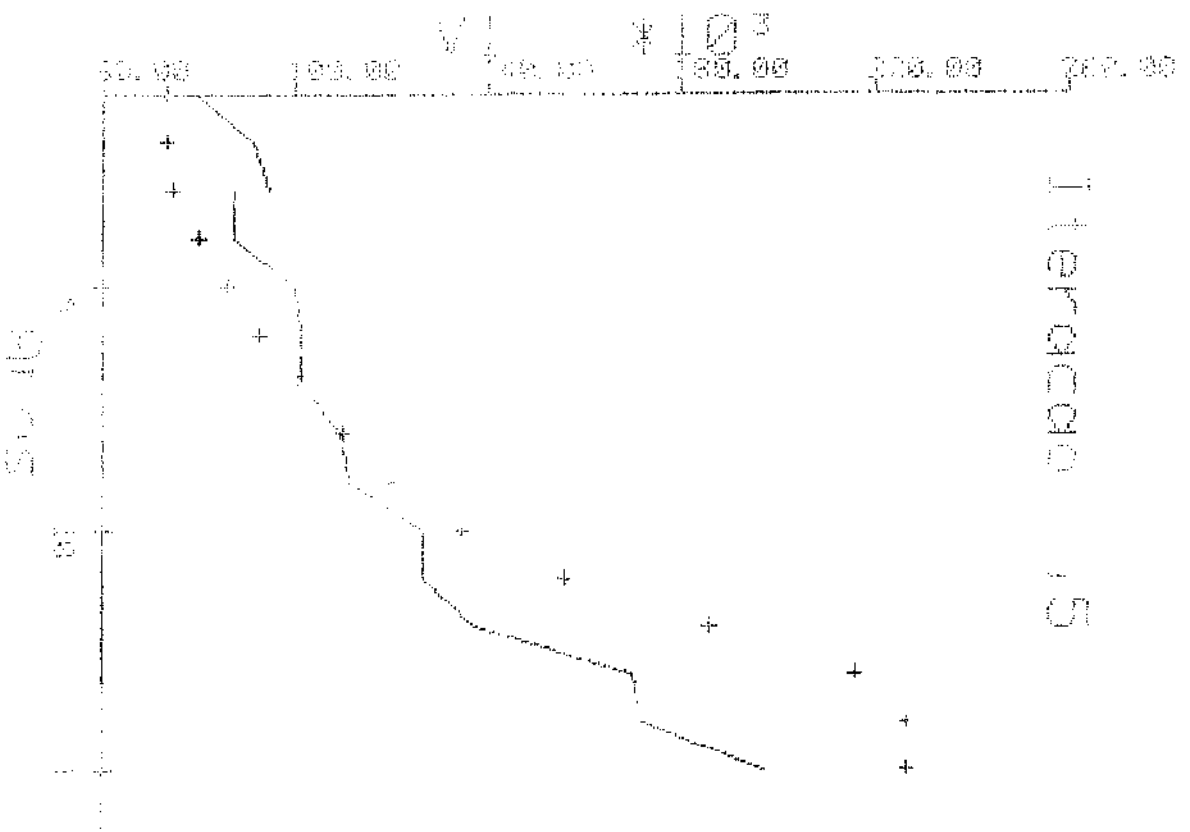
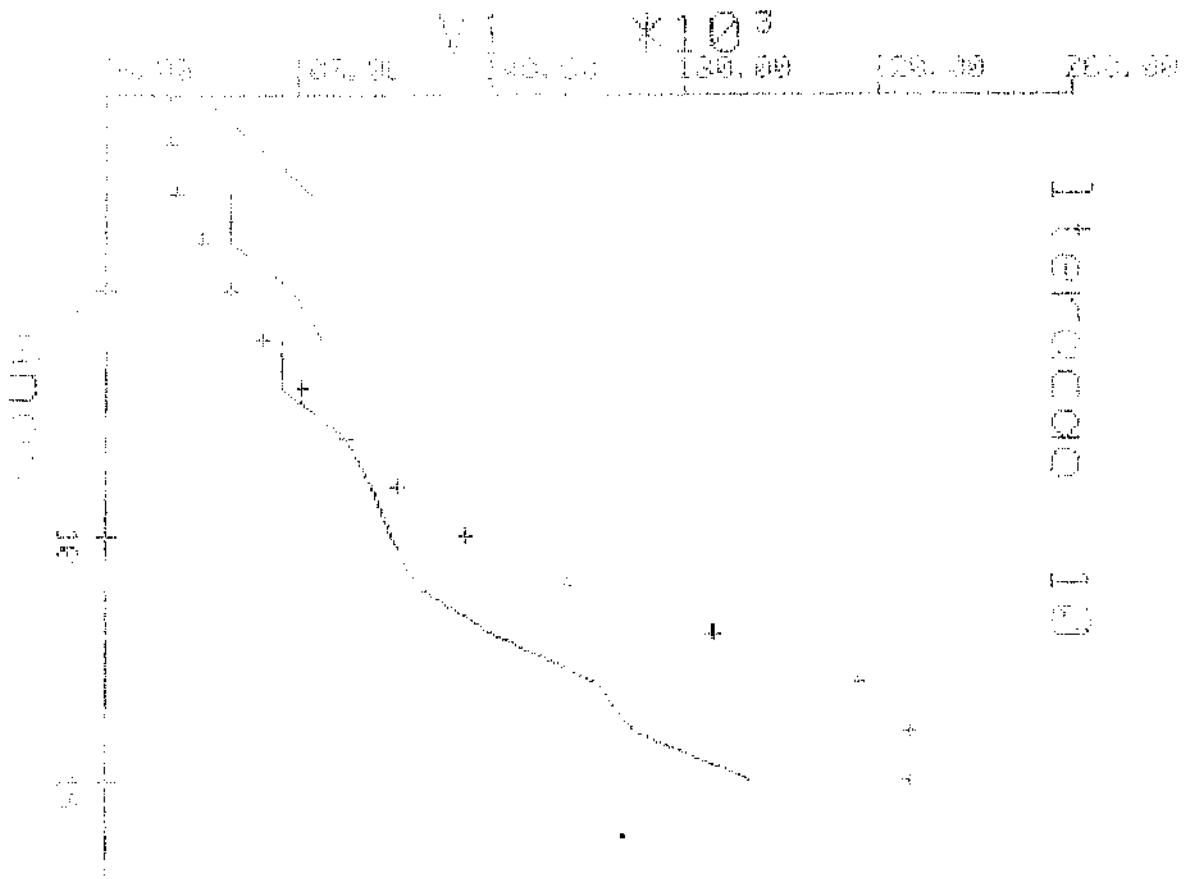


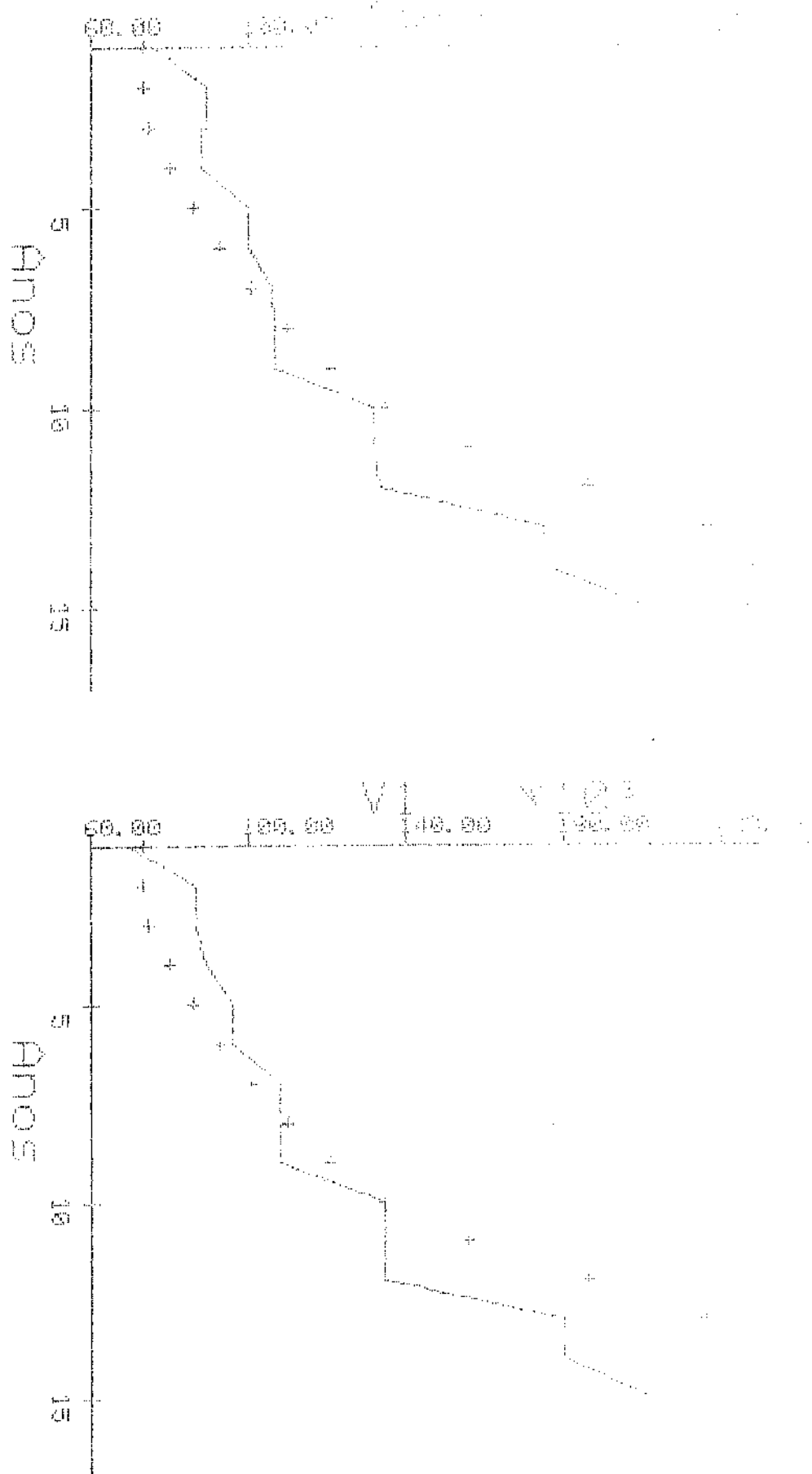






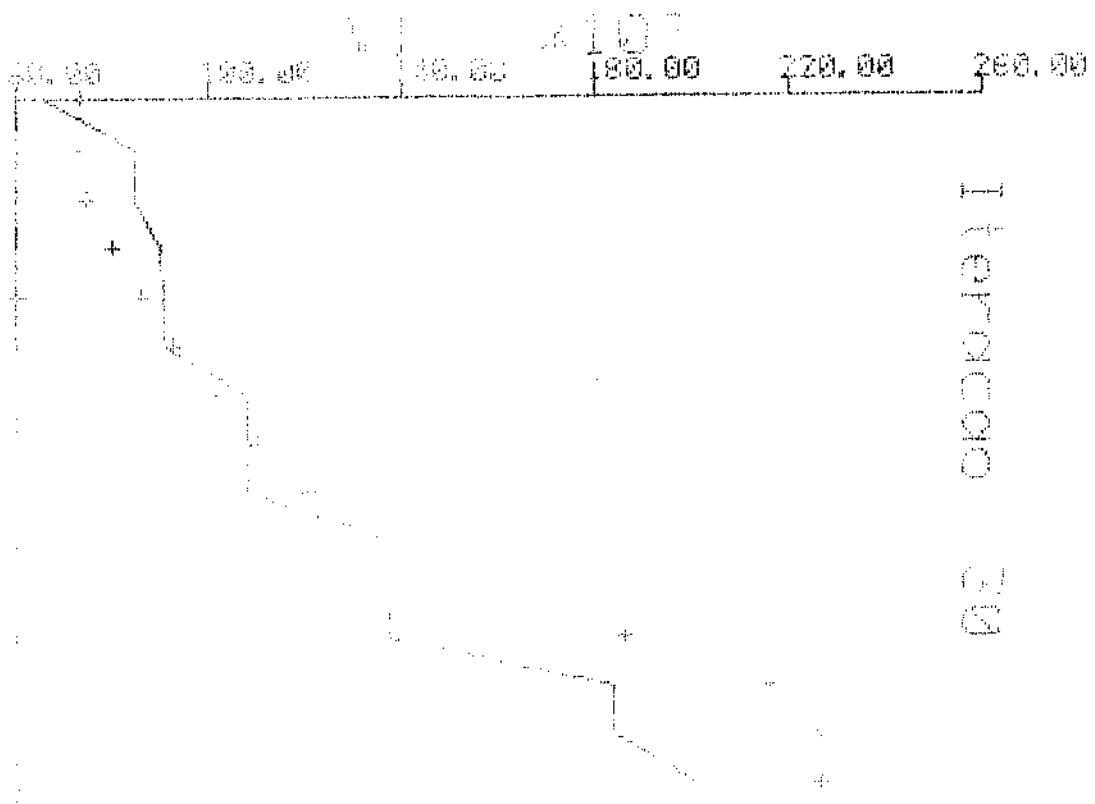






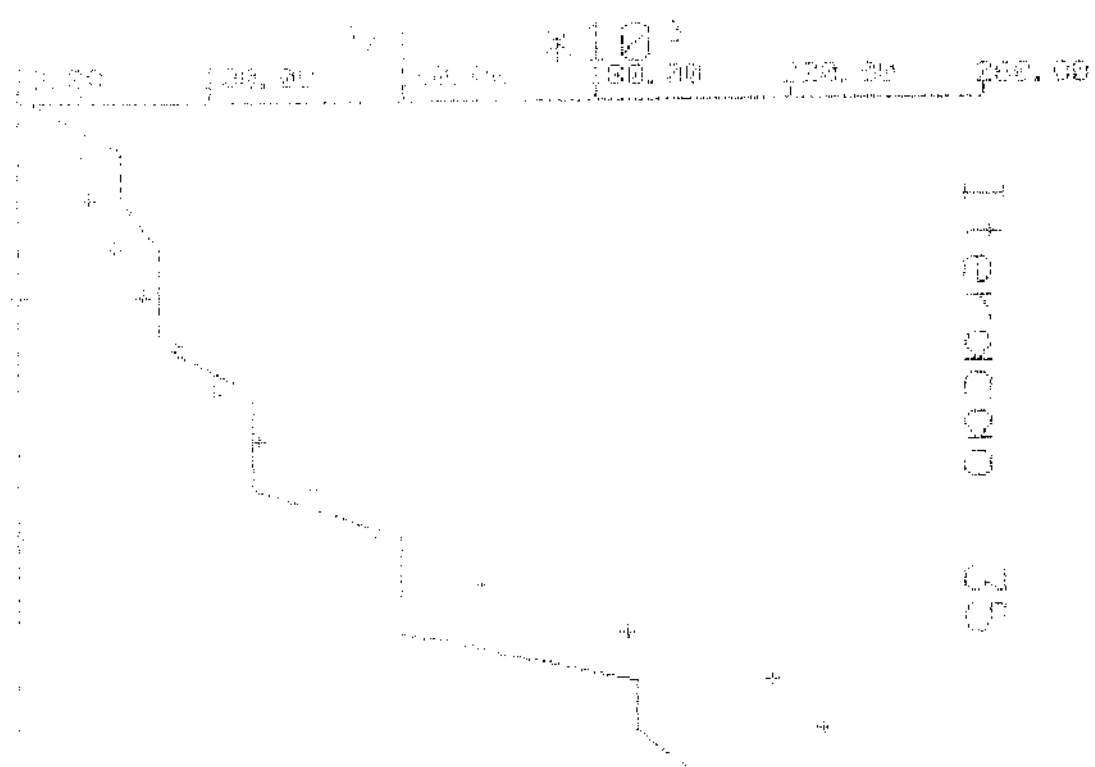
INTERFERENCE

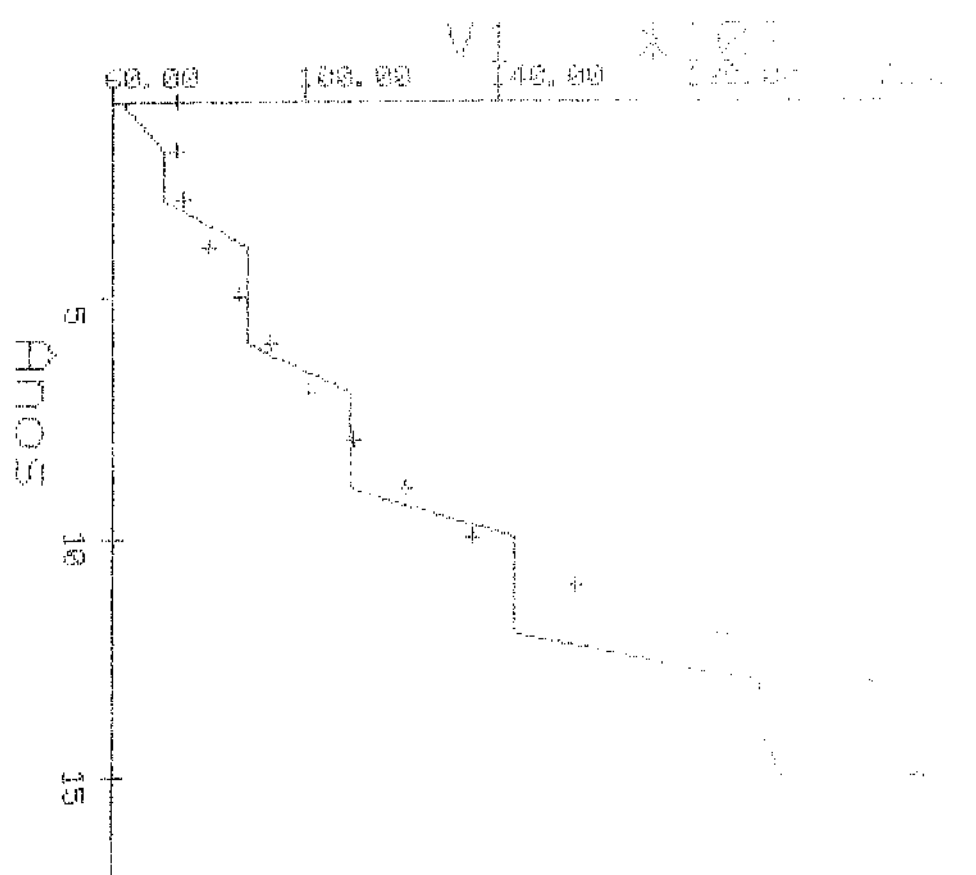
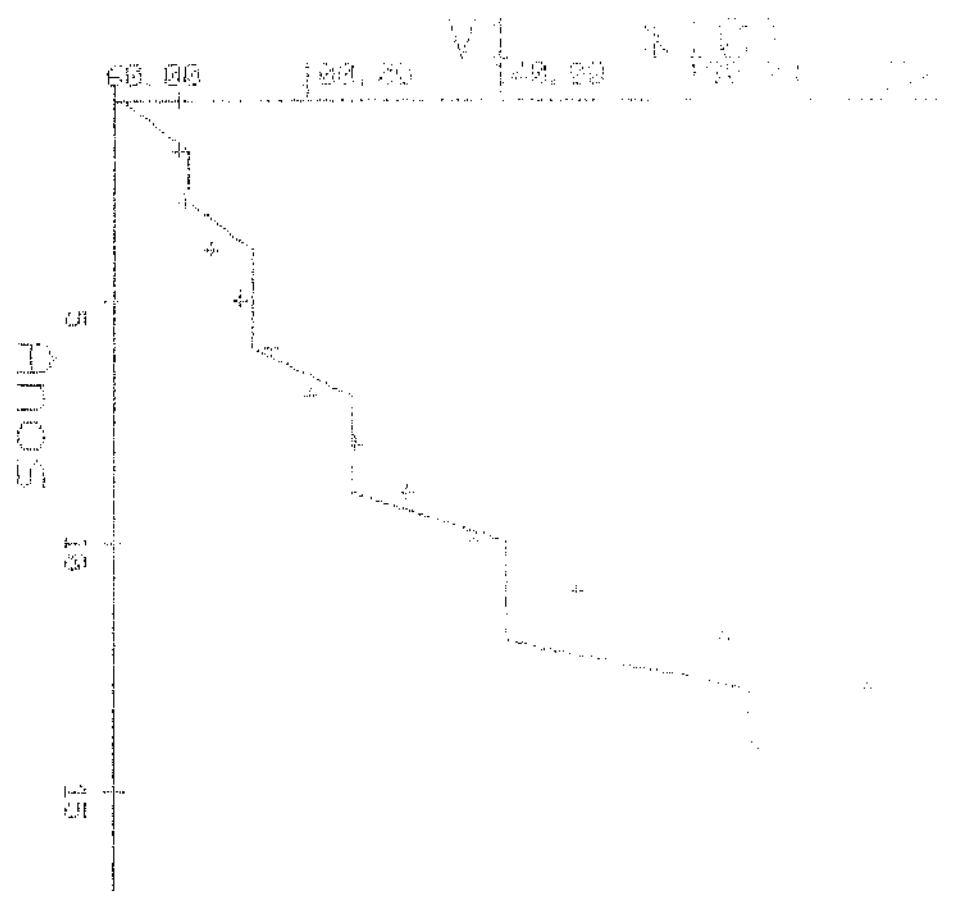
(A)



INTERFERENCE  
(B)

(C)

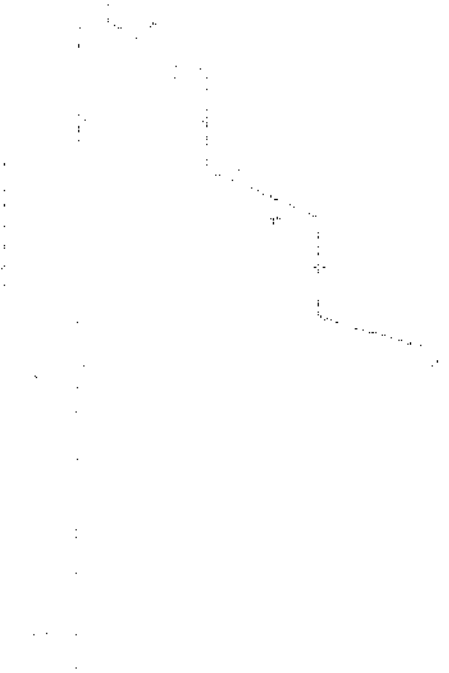




PERSCAO 58

185.00 728.00 266.00

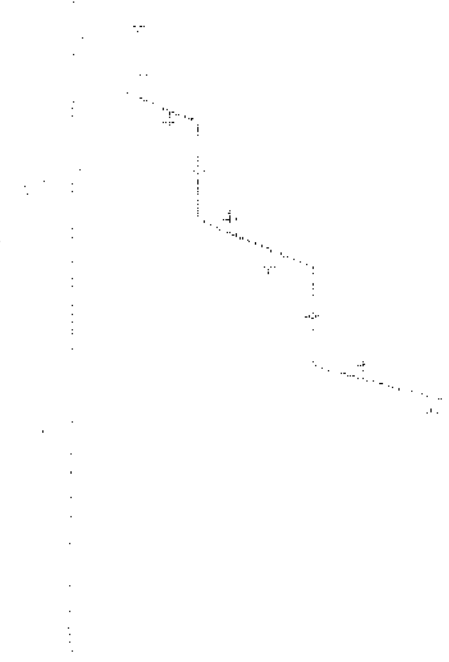
100.00

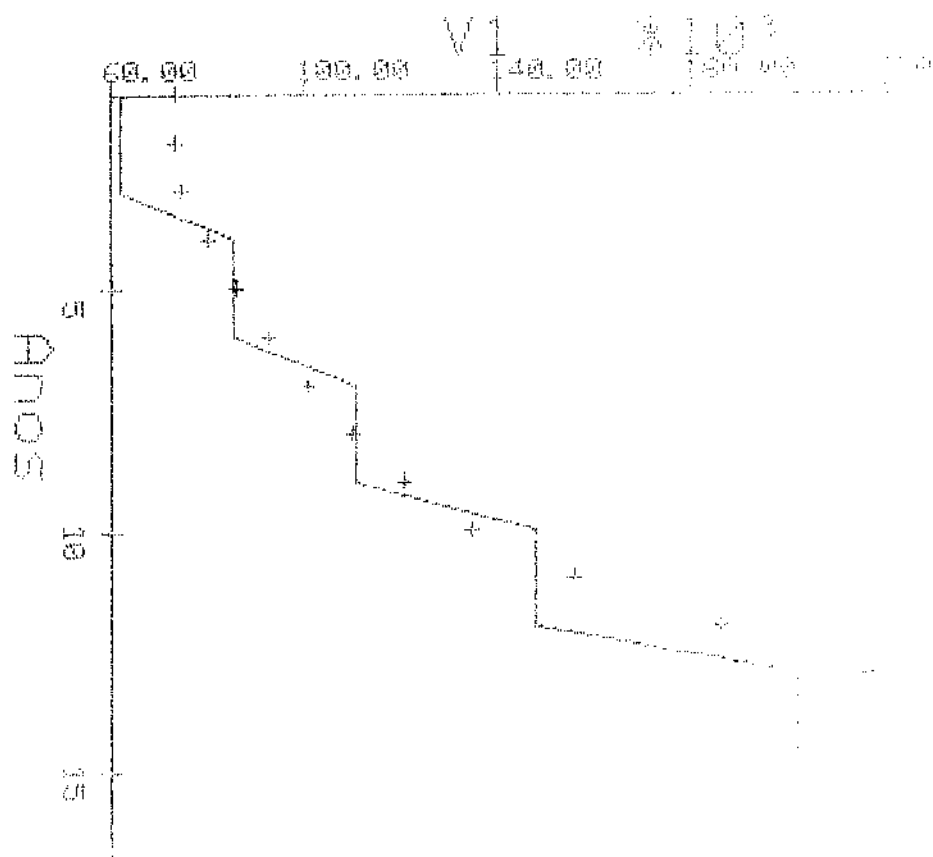
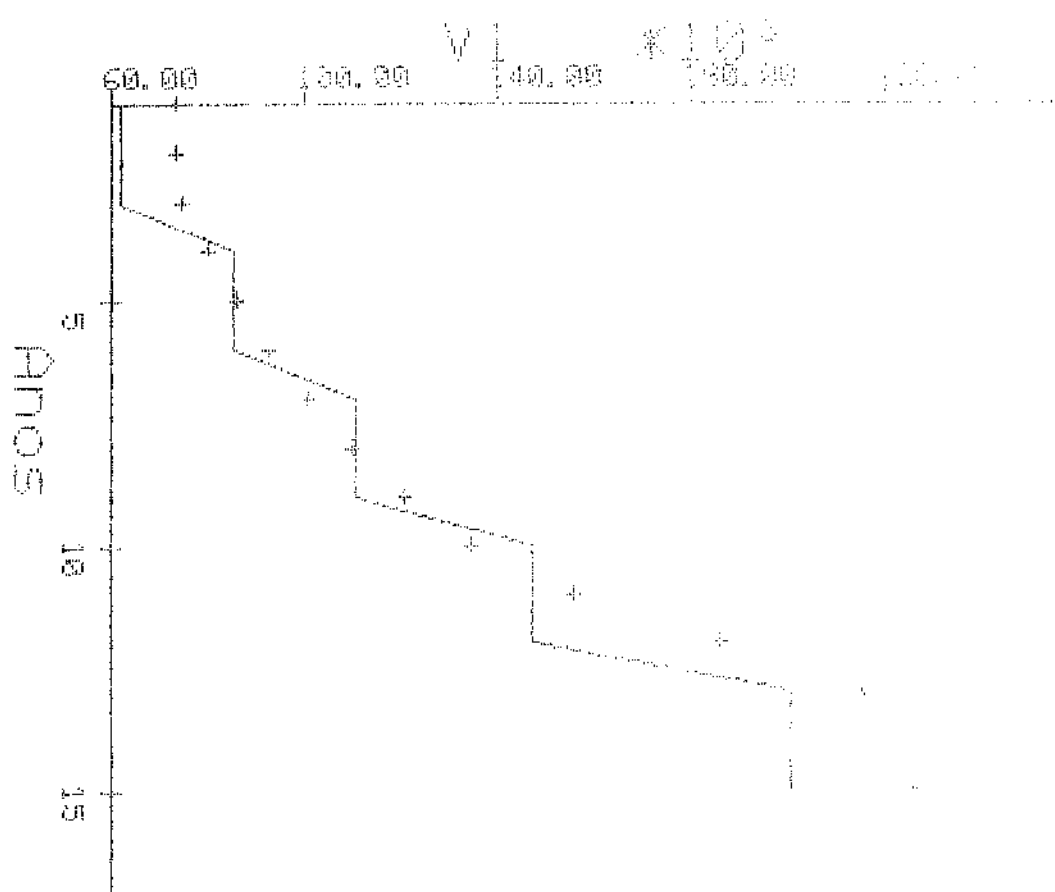


PERSCAO 60

185.00 728.00 266.00

100.00





300

10

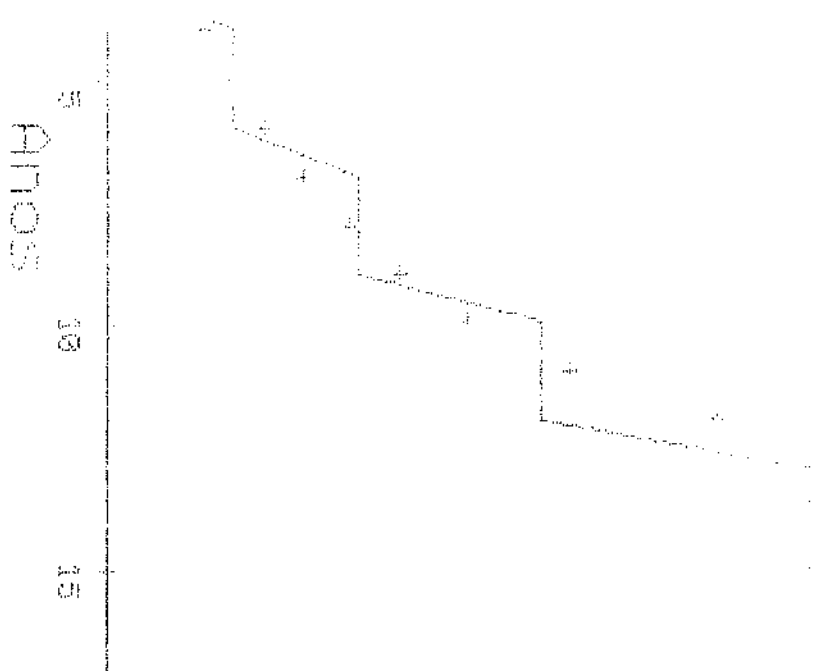
四三〇

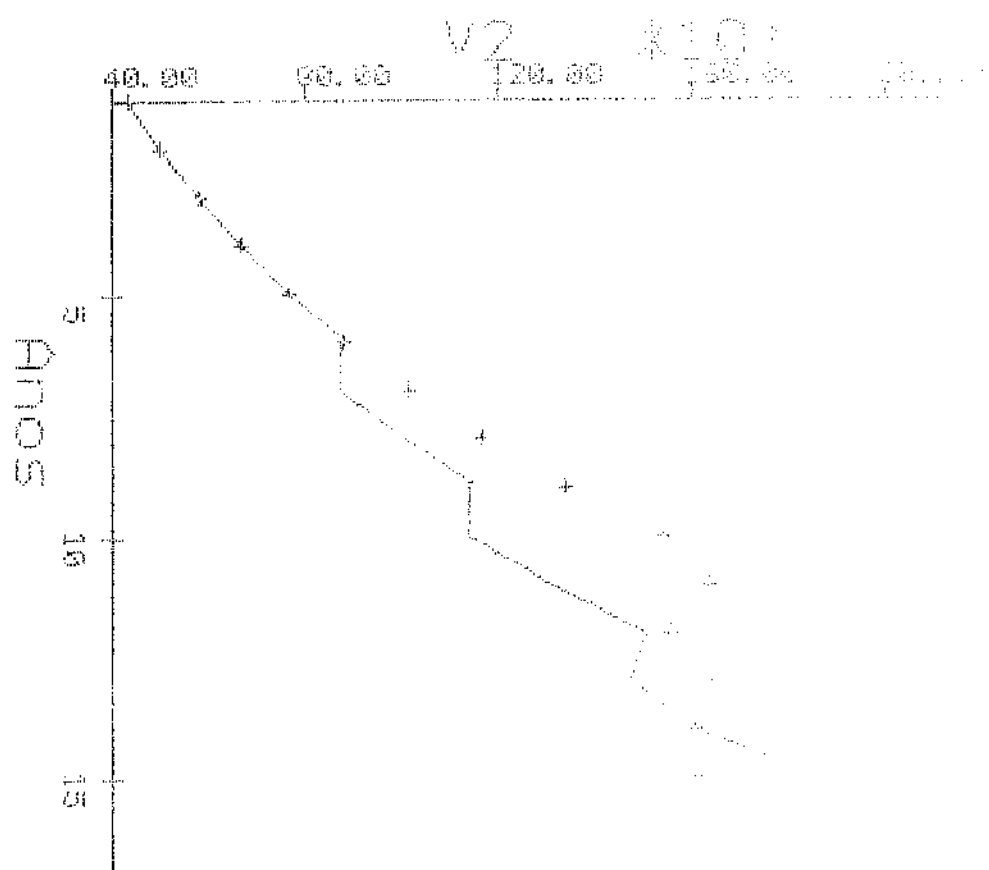
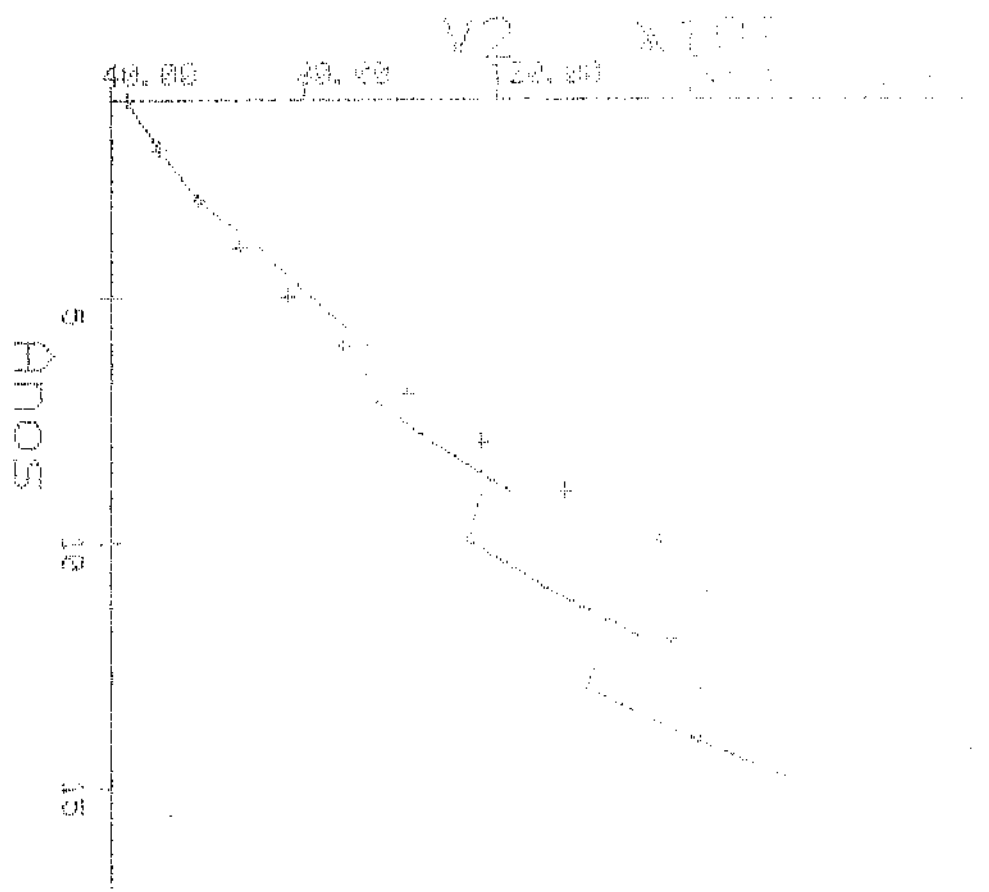
100

1. ....?

卷之三

15





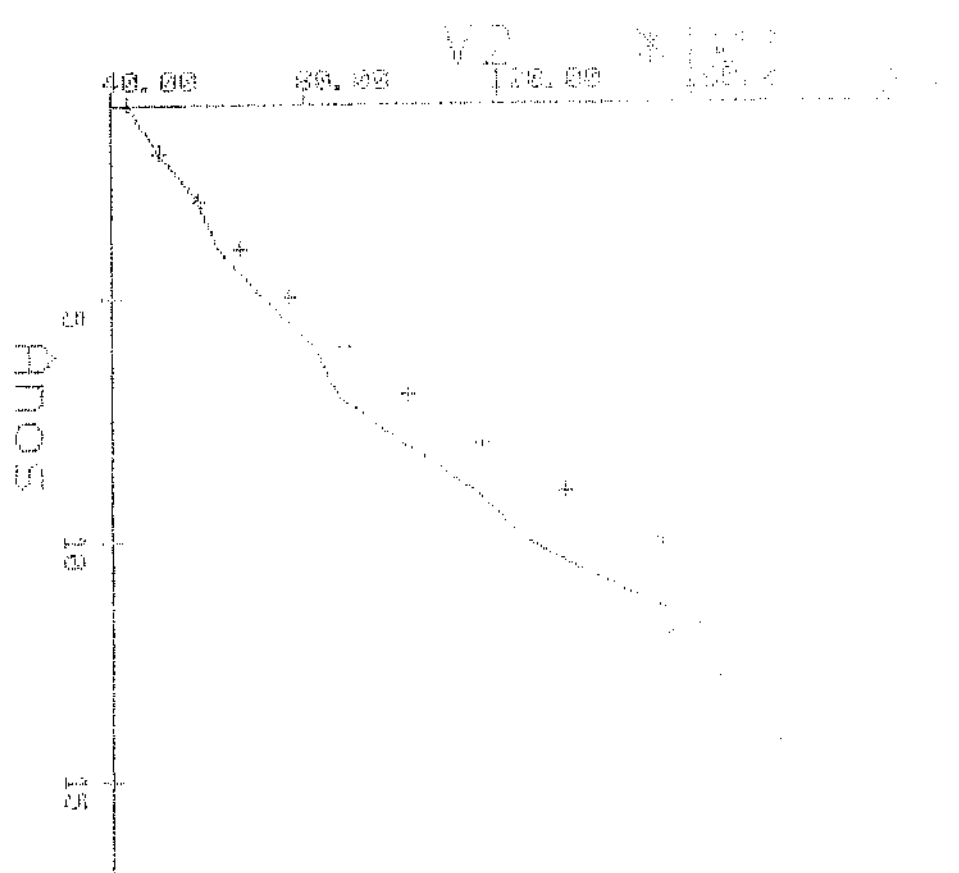
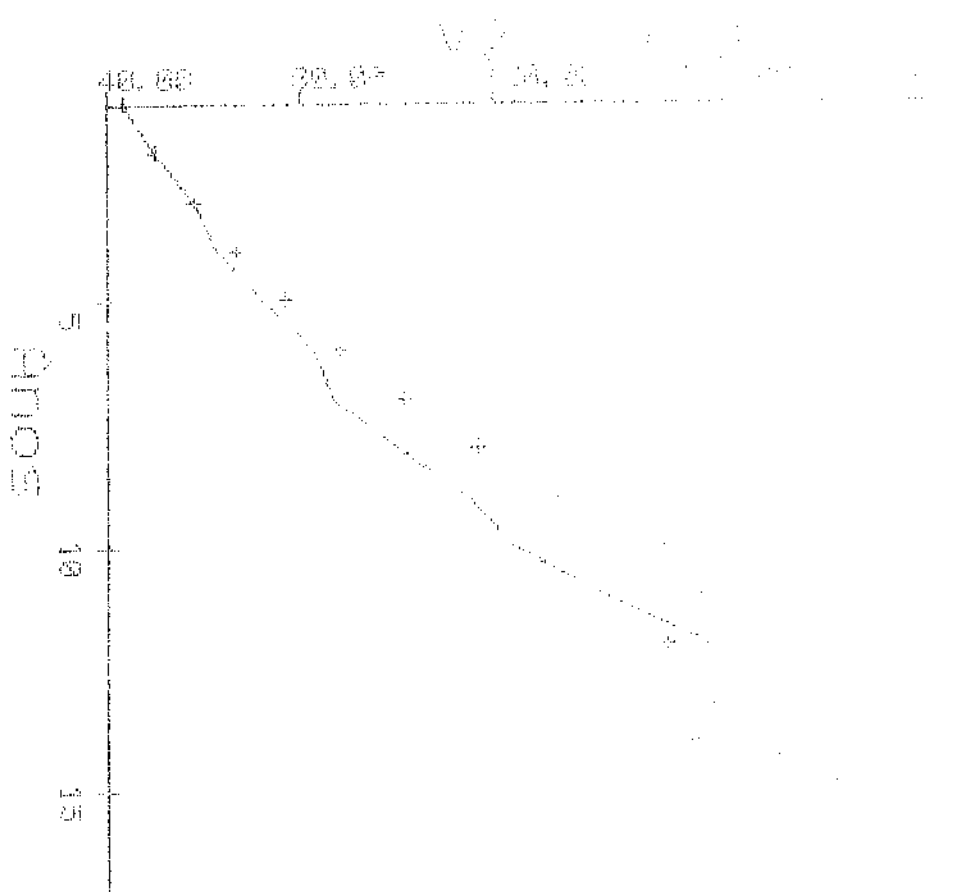
INTERSCCAG 19

14  
15  
16  
17  
18  
19  
20

CP

100 200 300 400 500 600 700 800 900 1000 1100 1200 1300 1400 1500 1600 1700 1800 1900 2000 2100 2200 2300 2400 2500 2600 2700 2800 2900 3000 3100 3200 3300 3400 3500 3600 3700 3800 3900 4000 4100 4200 4300 4400 4500 4600 4700 4800 4900 5000 5100 5200 5300 5400 5500 5600 5700 5800 5900 6000 6100 6200 6300 6400 6500 6600 6700 6800 6900 7000 7100 7200 7300 7400 7500 7600 7700 7800 7900 8000 8100 8200 8300 8400 8500 8600 8700 8800 8900 9000 9100 9200 9300 9400 9500 9600 9700 9800 9900 10000

100 200 300 400 500 600 700 800 900 1000 1100 1200 1300 1400 1500 1600 1700 1800 1900 2000 2100 2200 2300 2400 2500 2600 2700 2800 2900 3000 3100 3200 3300 3400 3500 3600 3700 3800 3900 4000 4100 4200 4300 4400 4500 4600 4700 4800 4900 5000 5100 5200 5300 5400 5500 5600 5700 5800 5900 6000 6100 6200 6300 6400 6500 6600 6700 6800 6900 7000 7100 7200 7300 7400 7500 7600 7700 7800 7900 8000 8100 8200 8300 8400 8500 8600 8700 8800 8900 9000 9100 9200 9300 9400 9500 9600 9700 9800 9900 10000



100 \* 100  
100 100 100 100 100 100

PERIODICO

50

100 \* 100  
100 100 100 100 100 100

PERIODICO

50

40.00 30.00 20.00 10.00

20

10

10

10  
10  
10  
10

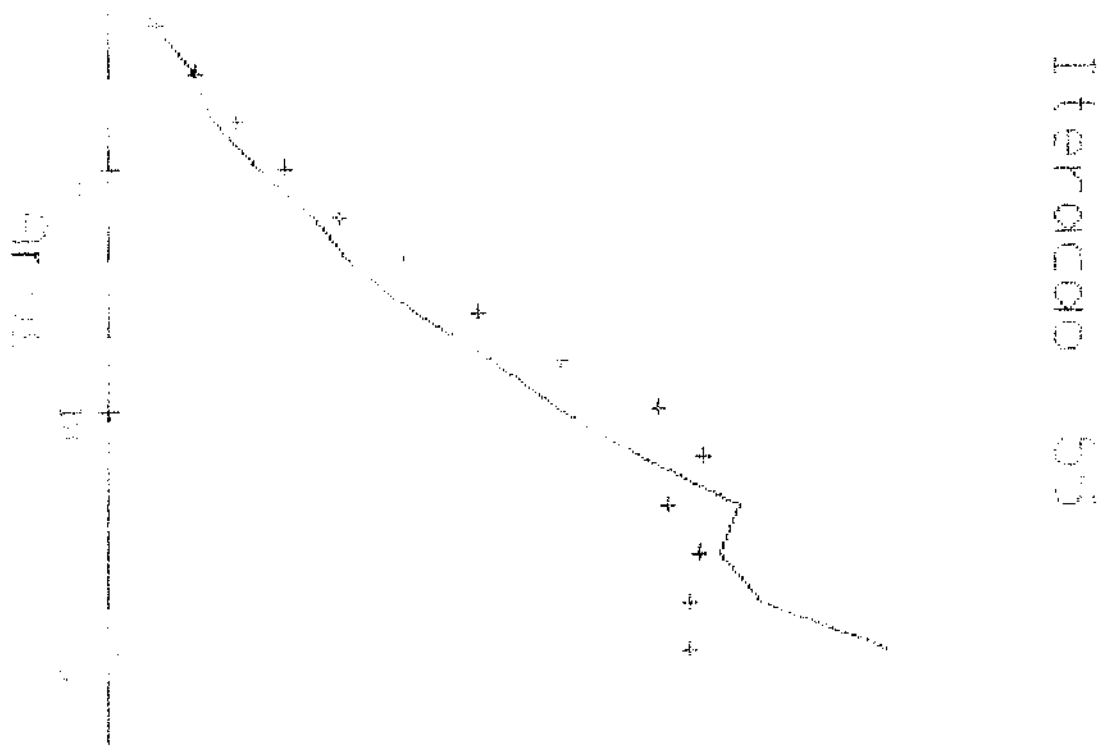
10

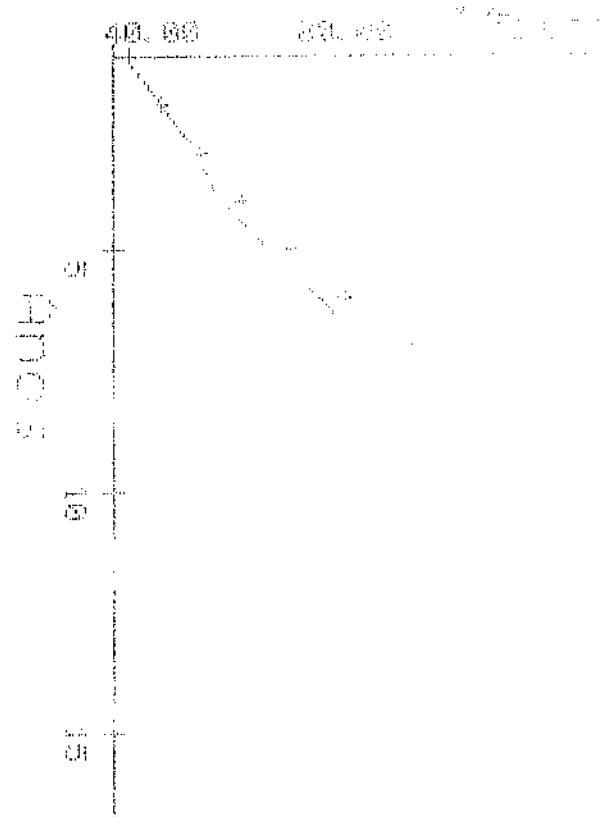
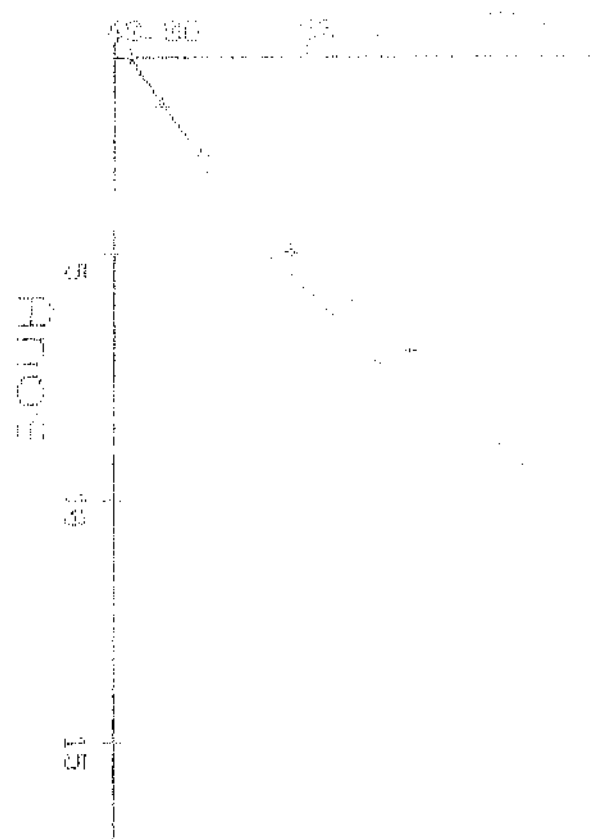
10

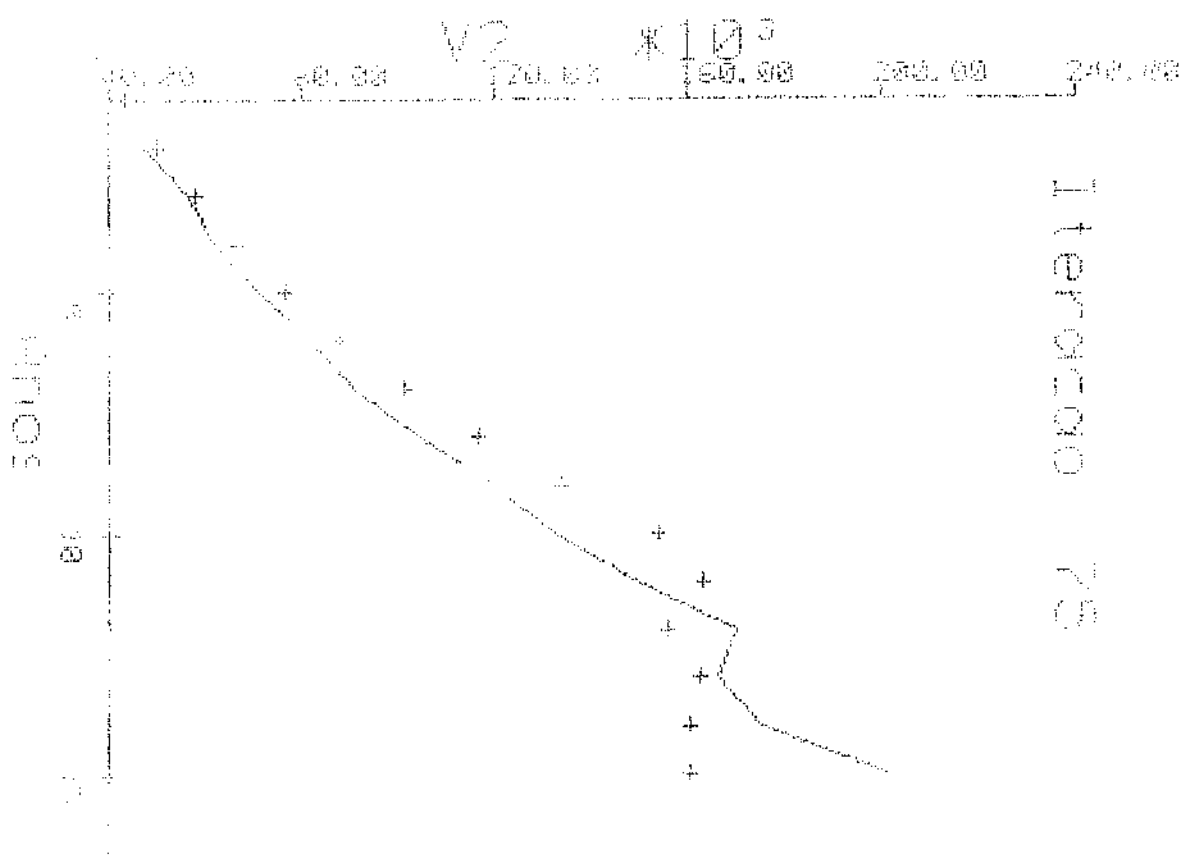
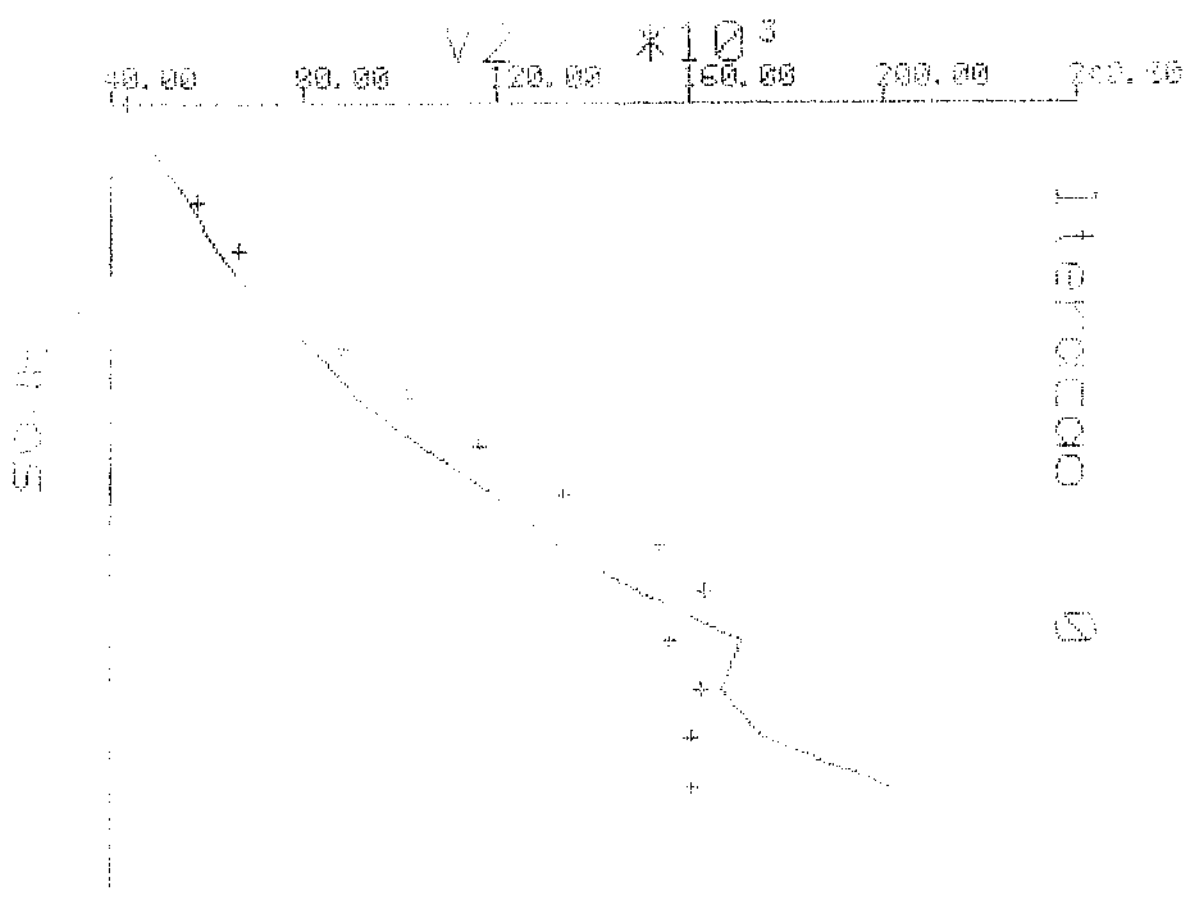
10.00 40.00

$$V_2 \times 10^3$$

40.00	80.00	120.00	160.00	200.00	240.00
-------	-------	--------	--------	--------	--------







A scatter plot showing the relationship between the number of species ( $S$ ) on the y-axis and the number of individuals ( $N$ ) on the x-axis. The y-axis ranges from 0 to 1000 with increments of 200. The x-axis ranges from 0 to 1000 with increments of 200. Data points are plotted as open circles. A regression line is drawn through the points, showing a positive correlation.

Number of individuals ( $N$ )	Number of species ( $S$ )
~100	~100
~200	~200
~300	~300
~400	~400
~500	~500
~600	~600
~700	~700
~800	~800
~900	~900